

Unterschrift des Betreuers



D I P L O M A R B E I T

Zuverlässige a posteriori Fehlerschätzung für datengestörte Randelementmethoden in 2D

Ausgeführt am Institut für
Analysis und Scientific Computing
der Technischen Universität Wien

unter der Anleitung von
Ao.Univ.Prof. Dipl.Math. Dr.techn. Dirk Praetorius

durch
Isabella Roth
Hermannsgasse 22
2700 Wiener Neustadt

Datum

Unterschrift

Kurzfassung

Die mathematische Beschreibung vieler physikalischer und technischer Prozesse führt zu partiellen Differentialgleichungen, die sich nur in wenigen Spezialfällen analytisch lösen lassen. Man ist also an numerischen Methoden interessiert, die die Lösung der Gleichung bis zu einer gewünschten Genauigkeit berechnen.

Zwei berühmte Beispiele für solche Verfahren sind die Finite Elemente Methode (FEM) und die Randelementmethode (BEM, engl. *boundary element method*). Diese Arbeit beschäftigt sich mit der Randelementmethode. Dabei führt die direkte Randintegralmethode zu elliptischen Integralgleichungen erster Art, auf die dann ein Galerkinverfahren angewendet wird. Wir betrachten im Speziellen die Integralgleichung zum Laplaceoperator mit gegebenen Dirichletdaten $g \in H^{1/2}(\Gamma)$, die so genannte Symmsche Integralgleichung $V\phi = (K + \frac{1}{2})g$, die auf dem Rand Γ eines Gebiets zu lösen ist.

Bei numerischen Verfahren ist man besonders an einer a posteriori Fehlerschätzung interessiert, das heißt, die Fehlerschätzung darf von der berechneten Näherungslösung abhängen, ist aber unabhängig von der exakten Lösung. Einerseits kann man somit den Approximationsfehler kontrollieren, andererseits ist mit solchen Fehlerschätzern auch eine Steuerung eines adaptiven Algorithmus möglich.

Von besonderem Interesse sind zuverlässige Fehlerschätzer, das heißt, es gibt eine Konstante $C > 0$, sodass für den Schätzer ϱ_ℓ gilt $\|\phi - \Phi_\ell\| \leq C\varrho_\ell$. Mit ϕ wird hierbei die unbekannte, kontinuierliche, exakte Lösung bezeichnet, Φ_ℓ sei die zugehörige diskrete Galerkinlösung. Geht nämlich ein Fehlerschätzer mit dieser Eigenschaft gegen 0, so konvergiert das Verfahren.

Es ist im Allgemeinen nicht möglich, für beliebige Funktionen $g \in H^{1/2}(\Gamma)$ die Funktion $Kg \in H^{1/2}(\Gamma)$ numerisch zu berechnen. Daher ersetzen wir g durch eine Approximation g_ℓ , für die Kg_ℓ exakt berechnet werden kann. Die „gestörte“ Symmsche Integralgleichung lautet daher $V\tilde{\phi}_\ell = (K + \frac{1}{2})g_\ell$. In diesem Fall bezeichnet $\tilde{\phi}_\ell$ die unbekannte, kontinuierliche, gestörte Lösung und $\tilde{\Phi}_\ell$ die entsprechende diskrete Galerkinlösung. Aus diesem Grund steht die Entwicklung eines Fehlerschätzers, der außer dem Verfahrensfehler $\|\tilde{\phi}_\ell - \tilde{\Phi}_\ell\|$ auch den Datenfehler $\|\phi - \tilde{\phi}_\ell\|$ berücksichtigt, im Mittelpunkt dieser Arbeit.

Für den Gesamtfehlerschätzer ω_ℓ , bestehend aus dem für $\|\tilde{\phi}_\ell - \tilde{\Phi}_\ell\|$ zuverlässigen Residualschätzer $\varrho_\ell := \|h_\ell^{1/2}(V\tilde{\Phi}_\ell - (K + \frac{1}{2})g_\ell)'\|_{L^2(\Gamma)}$ und einem Datenfehlerschätzer $\zeta_\ell := \|h_\ell^{1/2}(g - g_\ell)'\|_{L^2(\Gamma)}$, der $\|\phi - \tilde{\phi}_\ell\| \leq C_{\text{data}}\zeta_\ell$ erfüllt, wird Zuverlässigkeit bewiesen.

In numerischen Beispielen wird die Zuverlässigkeit dieses Gesamtfehlerschätzers experimentell überprüft und bestätigt. Der Fehler $\|\phi - \Phi_\ell\|$ der „ungestörten“ Symmschen Integralgleichung wurde mit dem Fehler $\|\phi - \tilde{\Phi}_\ell\|$ der Symmschen Integralgleichung mit approximierten Dirichletdaten verglichen und eine Annäherung der beiden festgestellt. Dazu war es nötig, den in der rechten Seite der Symmschen Integralgleichung vorkommenden Integraloperator K zu implementieren. Die Berechnung der dafür benötigten Einfach- und Doppelintegrale ist in dieser Arbeit genau aufgeführt.

Außerdem wird als zentrales Resultat dieser Arbeit die Konvergenz der aus dem mit dem Gesamtfehlerschätzer $\omega_\ell = (\varrho_\ell^2 + \zeta_\ell^2)^{1/2}$ gesteuerten adaptiven Algorithmus entstehenden Galerkinlösung $\tilde{\Phi}_\ell$ gegen die exakte Lösung ϕ bewiesen.

Gewidmet meinem Opa

Inhaltsverzeichnis

1	Einleitung	1
1.1	Modellproblem und Motivation	1
1.2	Aufbau der Arbeit und Kernresultate	2
1.3	Danksagung	4
2	Die Randelementmethode	5
2.1	Darstellungsformel	5
2.2	Sobolevräume und Variationsformulierung	6
2.3	Calderónsystem und Integraloperatoren	9
2.4	Galerkin-Randelementmethode	13
2.5	Einfluss von Störungen	17
3	Adaptiver Algorithmus mit residualem Fehlerschätzer	19
3.1	Lokalisierungstechniken für $H^{1/2}(\Gamma)$	20
3.2	Residualschätzer	21
3.3	Datenfehlerschätzer	22
3.4	Gesamfehlerschätzer	23
3.5	Adaptiver Algorithmus	23
3.6	Konvergenz des adaptiven Verfahrens	26
4	Adaptiver Algorithmus mit $h - h/2$- Fehlerschätzer	33
4.1	Lokalisierungstechniken für $H^{-1/2}(\Gamma)$	34

4.2	$h - h/2$ -Fehlerschätzer für ungestörtes Galerkinverfahren	34
4.3	Saturationsannahme	36
4.4	$h - h/2$ -Fehlerschätzer für gestörtes Galerkinverfahren	36
4.5	Gesamtfehlerschätzer	37
4.6	Adaptiver Algorithmus	38
5	Die Symm'sche Integralgleichung in 2D	39
5.1	Markierungsstrategie	39
5.1.1	Dörflermarkierung	39
5.1.2	Markierung für $\kappa(\mathcal{T}_\ell)$	40
5.2	einfache Integrale	42
5.3	Doppelintegrale	43
5.4	Steifigkeitsmatrix und rechte Seite	44
5.4.1	Einfachschichtpotential	46
5.4.2	Doppelschichtpotential	52
5.4.3	exakte rechte Seite	61
5.5	Fehlerschätzer	66
5.5.1	$h - h/2$ -Schätzer	66
5.5.2	Residualschätzer	67
5.5.3	Datenfehlerschätzer	72
6	Änderungen im Fall $d = 3$	75
6.1	Die Randelementmethode	75
6.2	Adaptiver Algorithmus mit residualem Fehlerschätzer	76
6.3	Adaptiver Algorithmus mit $h - h/2$ - Fehlerschätzer	76
7	Numerische Experimente	77
7.1	Laplaceproblem am Quadrat	77
7.2	Laplaceproblem am L-förmigen Gebiet	88

7.2.1	Erstes Experiment	88
7.2.2	Zweites Experiment	97
7.3	Laplaceproblem am Z-förmigen Gebiet	102
A	Quelltexte	111
A.1	elementare Integrale	111
A.1.1	integrals.h	111
A.1.2	integrals.c	111
A.2	rechte Seite der Symm'schen Integralgleichung	117
A.2.1	exakte rechte Seite	117
A.2.2	approximative rechte Seite	124
A.3	Einfach- und Doppelschichtpotential	137
A.3.1	Einfachschichtpotential	137
A.3.2	Doppelschichtpotential	145
A.4	Fehlerschätzer	157
A.4.1	Datenfehlerschätzer	157
A.4.2	Residualfehlerschätzer	157

Kapitel 1

Einleitung

Die mathematische Beschreibung vieler physikalischer und technischer Prozesse führt auf elliptische, partielle Differentialgleichungen. Das analytische Lösen dieser Gleichungen ist nur in seltenen Spezialfällen möglich, und das macht die Entwicklung numerischer Verfahren zur näherungsweise Lösung notwendig. Diese Verfahren sollen mit gewisser Genauigkeit die exakte Lösung der Differentialgleichung approximieren.

Die Finite Elemente Methode (FEM) und die Randelementmethode (BEM, engl. *boundary element method*) sind berühmte Beispiele solcher Verfahren zur Lösung elliptischer Randwertprobleme. Bei Kenntnis der Fundamentallösung des Differentialoperators entstehen durch Umformung von Randwertproblemen im d -dimensionalen Raum Randintegralgleichungen auf der $(d - 1)$ -dimensionalen Oberfläche, die dann mit Hilfe der BEM gelöst werden können. Dadurch wird der Diskretisierungsaufwand im Vergleich zur FEM stark gesenkt. Die Netzverwaltung und Netzverfeinerung wird vereinfacht und die Anzahl an Freiheitsgraden wesentlich verringert. Eine Diskretisierung führt bei beiden Methoden auf ein lineares Gleichungssystem, das bei der FEM schwach, bei der BEM hingegen voll besetzt ist. Allerdings konvergiert die Randelementmethode asymptotisch schneller als die Methode der Finiten Elemente.

Zwar können mittels BEM auch Außenraumprobleme, d.h. Probleme auf unbeschränkten Gebieten behandelt werden, doch im Gegensatz zur wesentlich verbreiteteren FEM, muss die Fundamentallösung des Differentialoperators explizit bekannt sein, was die Anwendung der Randelementmethode auf Differentialgleichungen mit stückweise konstanten Koeffizienten einschränkt. Doch auch für diese Klasse von Gleichungen gibt es breite Anwendungsmöglichkeiten, beispielsweise in der Elektrostatik, Festkörpermechanik, Elastostatik, Akustik oder Strömungsmechanik.

1.1 Modellproblem und Motivation

Sei $\Omega \subseteq \mathbb{R}^2$ ein Gebiet mit hinreichend glattem Rand $\Gamma := \partial\Omega$. Wir betrachten nun das Dirichletrandwertproblem

$$\begin{aligned} -\Delta u &= 0 \text{ in } \Omega \\ u &= g \text{ auf } \Gamma. \end{aligned} \tag{1.1}$$

Ziel ist es dieses Randwertproblem mittels BEM zu lösen.

1.2 Aufbau der Arbeit und Kernresultate

Zunächst werden in Kapitel 2 die benötigten Funktionenräume und ihre Eigenschaften vorgestellt, die analytischen Grundlagen gebracht und kurz zusammengefasst, wie man vom gestellten Dirichletproblem (1.1) zur dazu äquivalenten so genannten Symmschen Integralgleichung

$$V\phi = (K + \frac{1}{2})g \quad \text{auf } \Gamma \quad (1.2)$$

übergeht. Dabei gehen wir vor wie in PRAETORIUS 2007 [17]. Die wesentlichen Resultate sind SAUTER/SCHWAB 2004 [19] und STEINBACH 2004 [21] entnommen.

Gesucht ist also die kontinuierliche Funktion ϕ als Lösung der Symmschen Integralgleichung.

Im Allgemeinen ist es nicht möglich, die Funktion $Kg \in H^{1/2}(\Gamma)$ für eine beliebige Funktion $g \in H^{1/2}(\Gamma)$ numerisch zu berechnen. Für glattes g kann man Kg in einen glatten und einen logarithmisch-singulären Teil aufspalten, die dann geeignet numerisch integriert werden. Diese Idee wird in Abschnitt 5 behandelt. Eine andere Möglichkeit ist, g durch eine Approximation g_ℓ — beispielsweise die nodale Interpolation — zu ersetzen, für die man Kg_ℓ exakt berechnen kann. Das hat auch den Vorteil, dass man den Operator mit geeigneten Matrixkompressionstechniken effizient realisieren kann.

Die kontinuierliche Funktion $\tilde{\phi}_\ell$ ist Lösung der „datengestörten“ Symmschen Integralgleichung $V\tilde{\phi}_\ell = (K + \frac{1}{2})g_\ell$. Mit Φ_ℓ bzw. $\tilde{\Phi}_\ell$ bezeichnen wir die zu ϕ und $\tilde{\phi}_\ell$ gehörigen diskreten Galerkinlösungen.

Ein zentraler Begriff ist die K-Netz-Eigenschaft einer Partition \mathcal{T}_ℓ : Gibt es eine Konstante $\kappa(\mathcal{T}_\ell) \geq 1$, sodass für $\bar{T}_1 \cap \bar{T}_2 \neq \emptyset$ gilt $h_\ell(T_1)/h_\ell(T_2) \leq \kappa(\mathcal{T}_\ell)$, so sagt man die Partition \mathcal{T}_ℓ erfüllt die K-Netz-Eigenschaft.

Diese wichtige Größe fließt in mehrere Abschätzungen ein. So sind die $h - h/2$ -Fehlerschätzer

$$\mu_\ell := \|h_\ell^{1/2}(\hat{\Phi}_\ell - \tilde{\Phi}_\ell)\|_{L^2(\Gamma)} \quad \text{und} \quad \eta_\ell := \|\hat{\Phi}_\ell - \tilde{\Phi}_\ell\|$$

nur dann äquivalent — nachzulesen in FERRAZ-LEITE/PRAETORIUS 2007 [12] —, falls $\sup_{\ell \in \mathbb{N}} \kappa(\mathcal{T}_\ell) < \infty$ gilt. Die mit $\hat{\cdot}$ gekennzeichneten Galerkinlösungen sind Lösungen über dem Netz $\hat{\mathcal{T}}_\ell$, das aus \mathcal{T}_ℓ durch uniforme Verfeinerung hervorgeht.

Auch die Zuverlässigkeit des Residualschätzers aus CARSTENSEN 1997 [6]

$$C_{\text{rel}}^{-1} \|\tilde{\phi}_\ell - \tilde{\Phi}_\ell\| \leq \varrho_\ell := \|h_\ell^{1/2}(V\tilde{\Phi}_\ell - (K + \frac{1}{2})g_\ell)'\|_{L^2(\Gamma)}$$

ist abhängig von $\kappa(\mathcal{T}_\ell)$, in dem Sinn, dass C_{rel} mit $\kappa(\mathcal{T}_\ell)$ gegen unendlich strebt.

Die Entwicklung eines Datenfehlerschätzers

$$\zeta_\ell := \|h^{1/2}(1 - \Pi_\ell)g'\|$$

als obere Schranke für $\|\phi - \tilde{\phi}_\ell\|$ stützt sich auf CARSTENSEN/PRAETORIUS 2007 [8]. Diese Bedingung für den Datenfehler und damit ebenso die Konvergenz des adaptiven Verfahrens, beruhen auf der Beschränktheit von $\kappa(\mathcal{T}_\ell)$.

Zusammenfassend sollte also eine geeignete Netzverfeinerungsstrategie zunächst $\sup_{\ell \in \mathbb{N}} \kappa(\mathcal{T}_\ell) < \infty$ erzwingen, damit alle Konstanten in den beschriebenen Abschätzungen beschränkt bleiben.

Zum Auffinden der diskreten Lösung $\tilde{\Phi}_\ell$ benutzen wir folgenden adaptiven Algorithmus:

Algorithmus 1.1. *Input:* Startnetz \mathcal{T}_0 , Markierungsparameter $\theta \in (0, 1)$, Abbruchparameter $\varepsilon > 0$.

- (1) Berechne diskrete Lösung $\tilde{\Phi}_\ell$.
- (2) Berechne Fehlerschätzer $\varrho_\ell(T)$ und $\zeta_\ell(T)$ für alle $T \in \mathcal{T}_\ell$.
- (3) Berechne Verfeinerungsindikator $\omega_\ell(T) = (\varrho_\ell(T)^2 + \zeta_\ell(T)^2)^{1/2}$ für alle $T \in \mathcal{T}_\ell$.
- (4) Stoppe, falls $\omega_\ell := (\sum_{T \in \mathcal{T}_\ell} \omega_\ell(T)^2)^{1/2} \leq \varepsilon$.
- (5) Bilde Menge \mathcal{M}_ℓ , der zur Verfeinerung markierten Elemente, durch Markierung nach Dörfler für ω_ℓ .
- (6) Markiere zusätzliche Elemente, damit $\kappa(\mathcal{T}_\ell) \leq 2\kappa(\mathcal{T}_0)$.
- (7) Verfeinere mindestens die Elemente $T \in \mathcal{M}_\ell$ und erhalte $\mathcal{T}_{\ell+1}$.
- (8) Erhöhe Zähler $\ell \rightarrow \ell + 1$ und gehe zu (1).

Output: Approximation $\tilde{\Phi}_\ell$ von ϕ .

Um also $\kappa(\mathcal{T}_\ell) < \infty$ zu garantieren ist die Erweiterung der Markierungsstrategie um Punkt (6) notwendig. Ein entsprechender Beweis findet sich in Kapitel 3, das gemeinsam mit Abschnitt 4 den Mittelpunkt dieser Arbeit darstellt.

In den Kapitel 3 und 4 steht die Theorie der Fehlerschätzer und die Konvergenz der adaptiven Verfahren bei Verwendung des Residualschätzers im Zentrum. Der Beweis für die Zuverlässigkeit des Residualschätzers ist in Abschnitt 3 zu finden. Die Gültigkeit der Bedingung $\|\phi - \tilde{\phi}_\ell\| \lesssim \zeta_\ell$ für den neu entwickelten Datenfehlerschätzer ζ_ℓ wird dort ebenfalls gezeigt. Eine Folge dieser beiden Eigenschaften ist die Zuverlässigkeit des Gesamtfehlerschätzers $\omega_\ell := (\varrho_\ell^2 + \zeta_\ell^2)^{1/2}$. Das letzte wichtige und neue Resultat in diesem Abschnitt ist die Konvergenz des mit diesem Gesamtfehlerschätzer gesteuerten, adaptiven Verfahrens.

In Abschnitt 4 werden Effizienz und unter der Saturationsannahme auch Zuverlässigkeit der $h - h/2$ -Fehlerschätzer gezeigt. Daraus folgt wiederum die Zuverlässigkeit des Gesamtfehlerschätzers $\omega_\ell = (\mu_\ell^2 + \zeta_\ell^2)^{1/2}$.

Kapitel 5 enthält eine detaillierte Beschreibung der Berechnung des Einfachschichtpotentials V , des Doppelschichtpotentials K und der dabei auftretenden einfachen und doppelten Integrale. Auch eine Erklärung zur Berechnung der rechten Seite der Symmschen Integralgleichung sowie die Implementierung des Datenfehlerschätzers ζ_ℓ und des residualen Fehlerschätzers ϱ_ℓ werden angegeben.

Die theoretischen Grundlagen und Berechnungen der auftretenden Operatoren sind hier nur für den zweidimensionalen Fall aufgeführt. In Kapitel 6 wird daher zusammengefasst, was sich für den Fall $d = 3$ ändert.

Zur Überprüfung der theoretischen Resultate wurden auch numerische Experimente durchgeführt. Anhand dreier Beispiele konnte die mathematisch bewiesenen Zuverlässigkeit des Gesamtfehlerschätzers $\omega_\ell := (\varrho_\ell^2 + \zeta_\ell^2)^{1/2}$ und die Beschränktheit von $\kappa(\mathcal{T}_\ell)$ bestätigt werden. Außerdem beobachten wir, dass aus numerischer Sicht auch der $h - h/2$ -Fehlerschätzer geeignet ist zur Steuerung des adaptiven Algorithmus, was den Implementierungs- und Rechenaufwand erheblich senkt.

1.3 Danksagung

Zuerst möchte ich mich bei meinen Eltern Christa und Manfred Roth und meiner Schwester Florentina dafür bedanken, dass sie mich stets in jeder Hinsicht in der Verwirklichung meiner Träume unterstützt haben.

Meinem Lebensgefährten Ernst Moser gilt mein Dank dafür, dass er immer an meiner Seite steht und mir Rückhalt bietet.

Außerdem möchte ich meinem Betreuer Dirk Praetorius für seine fachliche Hilfe, sein großes Engagement und seine Ehrlichkeit danken. Ich habe viel von ihm gelernt und freue mich, dies auch weiterhin tun zu dürfen. Mein Studienkollege Samuel Ferraz-Leite stand mir stets mit Rat und Tat zur Seite. Ihm bin ich besonders für seine grenzenlose Geduld zu Dank verpflichtet.

Abschließend möchte ich mich noch bei meinem Opa bedanken, der mit über 70 Jahren noch mit mir Maturabeispiele gerechnet und mein Interesse an einem technischen Studium geweckt hat.

Wiener Neustadt, am 2. Januar 2009

Kapitel 2

Die Randelementmethode

In diesem Kapitel werden die analytischen Grundlagen für die Randelementmethode gesammelt.

Im Wesentlichen werden hier bereits bekannte Ergebnisse aus der Literatur zusammengetragen, vor allem aus STEINBACH 2004 [21] und SAUTER/SCHWAB 2004 [19].

Der inhaltliche Aufbau dieses Kapitels folgt dabei PRAETORIUS 2007 [17], ist aber in einigen Bereichen ausführlicher.

Zunächst wird für das Modellproblem die so genannte Darstellungsformel aufgestellt. Als geeignete Lösungsräume der schwachen Formulierung der Poissongleichung werden Sobolevräume eingeführt und ihre wichtigsten Eigenschaften beschrieben. Die in der Darstellungsformel auftretenden Integraloperatoren und die zugehörigen, im Caldéron-System vorkommenden Randintegraloperatoren werden vorgestellt. Der nächste Abschnitt beschäftigt sich mit der Galerkin-Randelementmethode und deren Eigenschaften. Die a priori Analysis, die eine Aussage über die Konvergenzgeschwindigkeit der BEM trifft, wird am Ende dieses Kapitels behandelt.

2.1 Darstellungsformel

In diesem Abschnitt wird die so genannte Darstellungsformel (oder 3. Greensche Formel) vorgestellt, die besagt, dass die Lösung des Laplace-Problems $-\Delta u = f$ eindeutig durch die Cauchydaten $(u, \partial_n u)$ bestimmt ist.

Dazu definieren wir zunächst den so genannten Newton-Kern wie in STEINBACH 2004 [21, Kapitel 5.1, Seite 94].

Definition 2.1. *Die Fundamentallösung des Laplaceoperators ist für $z \in \mathbb{R}^2$ durch*

$$G(z) := -\frac{1}{2\pi} \log |z| \tag{2.1}$$

gegeben und wird Newton-Kern genannt.

Wir definieren nun drei Integraloperatoren, die in der Darstellungsformel Verwendung finden.

Definition 2.2. Zu einer Funktion $f : \Omega \rightarrow \mathbb{R}$ definiert $\tilde{N}f$ mit

$$\tilde{N}f(x) := \int_{\Omega} G(x-y)f(y) dy \quad \text{für } x \in \Omega \quad (2.2)$$

das Newtonpotential der Funktion f .

Zu einer Funktion $\phi : \Gamma \rightarrow \mathbb{R}$ definiert $\tilde{V}\phi$ mit

$$\tilde{V}\phi(x) := \int_{\Gamma} G(x-y)\phi(y) ds_y \quad \text{für } x \in \Omega \quad (2.3)$$

das Einfachschichtpotential der Funktion ϕ .

Zu einer Funktion $g : \Gamma \rightarrow \mathbb{R}$ definiert $\tilde{K}g$ mit

$$\tilde{K}g(x) := \int_{\Gamma} \partial_{n(y)}G(x-y)g(y) ds_y \quad \text{für } x \in \Omega \quad (2.4)$$

das Doppelschichtpotential der Funktion g .

Die Darstellungsformel für die Laplacegleichung lautet nun nach STEINBACH 2004 [21, Kapitel 6., Seite 106ff] folgendermaßen:

Satz 2.3. Sei $\Omega \subset \mathbb{R}^d$ ein beschränktes Gebiet mit Rand $\Gamma := \partial\Omega$ und $u \in \mathcal{C}^2(\overline{\Omega})$. Mit $-\Delta u = f \in \mathcal{C}(\overline{\Omega})$ gilt

$$u(x) = \tilde{N}(-\Delta u) + \tilde{V}(\partial_n u) - \tilde{K}(u) \quad \text{in } \Omega. \quad (2.5)$$

□

2.2 Sobolevräume und Variationsformulierung

In diesem Abschnitt fassen wir die funktionalanalytischen Grundlagen zusammen, um die Variationsformulierung der Laplacegleichung herzuleiten.

Sei $u \in \mathcal{C}^2(\overline{\Omega})$ die klassische Lösung von

$$-\Delta u = f. \quad (2.6)$$

Wir multiplizieren die Gleichung mit einer Testfunktion $v \in \mathcal{C}^1(\overline{\Omega})$ und integrieren über Ω . Mittels partieller Integration erhalten wir dann für alle $v \in \mathcal{C}^1(\overline{\Omega})$

$$\langle f, v \rangle_{\Omega} = \langle \nabla u, \nabla v \rangle_{\Omega} - \langle \partial_n u, v \rangle_{\Gamma},$$

bzw. nach Umformung

$$\langle \nabla u, \nabla v \rangle_{\Omega} = \langle f, v \rangle_{\Omega} + \langle \partial_n u, v \rangle_{\Gamma}. \quad (2.7)$$

Die Suche nach geeigneten Lösungsräumen führt nun zu den Sobolevräumen. Dazu benötigen wir zunächst einige Definitionen aus STEINBACH 2004 [21, Kapitel 2.2, Seite 28ff].

Definition 2.4. Eine Funktion $u \in L^1_{\text{loc}}(\Omega)$, die bezüglich jeder abgeschlossenen und beschränkten Teilmenge $M \subset \Omega$ integrierbar ist, heißt lokal integrierbar.

Definition 2.5. Eine Funktion $u \in L^1_{\text{loc}}(\Omega)$ heißt schwach differenzierbar mit schwacher Ableitung $\partial_j u \in L^1_{\text{loc}}(\Omega)$ für $j = 1, \dots, d$, wenn die Formel der partiellen Integration gilt, d.h. $(u, \partial_j v)$ erfüllen

$$\int_{\Omega} u(\partial_j v) \, dx = - \int_{\Omega} (\partial_j u)v \, dx \quad \text{für alle } v \in C_c^\infty(\Omega). \quad (2.8)$$

In diesem Fall ist $\partial_j u$ eindeutig bestimmt und stimmt für eine C^1 -Funktion mit der klassischen Ableitung überein. Nun können wir Sobolevräume auf Gebieten definieren.

Definition 2.6. Der Sobolevraum $H^0(\Omega)$ wird als $L^2(\Omega)$ definiert.

$$H^0(\Omega) := L^2(\Omega). \quad (2.9)$$

Weiters definiert man

$$H^1(\Omega) := \{u \in L^2(\Omega) \mid u \text{ ist schwach differenzierbar mit } \nabla u \in L^2(\Omega)^d\}. \quad (2.10)$$

Die zugehörige Norm lautet $\|u\|_{H^1(\Omega)}^2 = \|u\|_{L^2(\Omega)}^2 + \|\nabla u\|_{L^2(\Omega)}^2$.

Die weiteren Sobolevräume ganzzahliger Ordnung werden induktiv definiert durch

$$H^k(\Omega) := \{u \in L^2(\Omega) \mid u \text{ ist schwach differenzierbar mit } \nabla u \in H^{k-1}(\Omega)\} \quad (2.11)$$

mit der Norm $\|u\|_{H^k(\Omega)}^2 = \|u\|_{L^2(\Omega)}^2 + \|\nabla u\|_{H^{k-1}(\Omega)}^2$. Auf $H^k(\Omega)$ ist

$$|u|_{H^k(\Omega)} := \|D^k u\|_{L^2(\Omega)} \quad (2.12)$$

eine Seminorm. $D^k u$ ist hierbei die k -te schwache Ableitung von u .

Definition 2.7. Für reelle Zahlen $0 < s < 1$ ist die so genannte Sobolev-Slobodeckij Seminorm gegeben durch

$$|u|_{s,\Omega} := \left(\int_{\Omega} \int_{\Omega} \frac{|u(x) - u(y)|^2}{|x - y|^{d+2s}} \right)^{1/2}. \quad (2.13)$$

Mit Hilfe der Sobolev-Slobodeckij Seminorm können Sobolevräume mit nicht ganzzahliger Ordnung definiert werden.

Definition 2.8. Sobolevräume mit nicht ganzzahliger Ordnung werden für $k \in \mathbb{N}_0$ und $0 < s < 1$ definiert durch

$$H^{k+s}(\Omega) := \{u \in H^k(\Omega) \mid |D^k u|_{s,\Omega} < \infty\} \quad (2.14)$$

mit der Norm $\|u\|_{H^{k+s}(\Omega)}^2 := \|u\|_{H^k(\Omega)}^2 + |D^k u|_{s,\Omega}^2$.

Satz 2.9. (EVANS 1998 [10, Kapitel 5.2, Theorem 2]). Für $s \geq 0$ ist der Sobolevraum $H^s(\Omega)$ ein Hilbertraum. \square

Satz 2.10. (WLOKA 1982 [23, Kapitel 3.2, Satz 3.6]). Alle Räume $C^k(\bar{\Omega})$ mit $k \geq s$ liegen dicht in $H^s(\Omega)$. \square

Der erste Summand der rechten Seite von (2.7)

$$v \mapsto \langle f, v \rangle_\Omega$$

definiert ein Funktional in $H^1(\Omega)^*$.

Um den Dualraum $H^1(\Omega)^*$ von $H^1(\Omega)$ als Erweiterung von $L^2(\Omega)$ definieren zu können, benötigen wir zunächst noch folgendes Lemma:

Lemma 2.11. *Seien X, Y zwei reelle Hilberträume mit stetiger Einbettung $X \subseteq Y$. Dann ist die Rieszabbildung*

$$J_Y : Y \hookrightarrow Y^*, \quad J_Y y := \langle y, \cdot \rangle_Y \quad (2.15)$$

als Operator $J_Y \in L(Y, X^*)$ wohldefiniert und $J_Y(Y)$ ist ein dichter Unterraum von X^* .

Beweis: Da X in Y stetig eingebettet ist gilt $\|x\|_Y \leq C\|x\|_X$ für beliebiges $x \in X$. Aus der Cauchyungleichung folgt

$$\langle y, x \rangle_Y \leq \|y\|_Y \|x\|_Y \leq C\|y\|_Y \|x\|_X.$$

Die Rieszabbildung ist also wohldefiniert.

Sei $J_X : X \hookrightarrow X^*$ die Rieszabbildung für X . Dann ist $J_Y(Y)$ genau dann dicht in X^* , wenn $V := J_X^{-1}(J_Y(Y))$ dicht in $X = \overline{V} \oplus \overline{V}^\perp$ ist. Man muss also nur noch $\overline{V}^\perp = \{0\}$ zeigen.

Sei $x \in \overline{V}^\perp$ und $y \in Y$, dann gilt

$$0 = \langle x, J_X^{-1}(J_Y y) \rangle_X = (J_Y y)(x) = \langle y, x \rangle_Y.$$

Wählt man $y = x \in \overline{V}^\perp$ folgt $x = 0$ in $Y \supseteq X$. □

Wendet man nun Lemma 2.11 an für $X = H^s(\Omega)$ und $Y = L^2(\Omega)$, erkennt man, dass $L^2(\Omega)$ ein dichter Teilraum von $H^s(\Omega)^*$ ist und die duale Klammer $\langle f, v \rangle_\Omega$ mit dem L^2 -Skalarprodukt übereinstimmt, falls $f \in L^2(\Omega)$ gilt.

Das führt zur Definition von Sobolevräumen mit negativer Ordnung, wie folgt:

Definition 2.12. *Der bezüglich des erweiterten L^2 -Skalarprodukts dargestellte Dualraum von $H^s(\Omega)$ wird mit $\tilde{H}^{-s}(\Omega)$ bezeichnet. Man nennt diese Räume Sobolevräume der Ordnung $-s$.*

Für den zweiten Summanden von (2.7) müssen nun auch Sobolevräume am Rand von Gebieten definiert werden wie in STEINBACH 2004 [21, Kapitel 2.5, Seite 42].

Definition 2.13. *Für $0 < s < 1$ definiere*

$$H^s(\Gamma) := \{u \in L^2(\Gamma) \mid \|u\|_{H^s(\Gamma)} < \infty\} \quad (2.16)$$

mit der Norm $\|u\|_{H^s(\Gamma)}^2 := \|u\|_{L^2(\Gamma)}^2 + |u|_{s,\Gamma}$, wobei

$$|u|_{s,\Gamma} := \left(\int_\Gamma \int_\Gamma \frac{|u(x) - u(y)|^2}{|x - y|^{d-1+2s}} \right)^{1/2}. \quad (2.17)$$

die Sobolev-Slobodeckij Seminorm bezeichne.

Satz 2.14. (SAUTER/SCHWAB 2004 [19, Kapitel 2.5, Seite 46ff]). $H^{1/2}(\Gamma)$ ist ein Hilbertraum mit stetiger Einbettung $H^{1/2}(\Gamma) \subset L^2(\Gamma)$. \square

Definition 2.15. Der bezüglich des erweiterten L^2 -Skalarprodukts dargestellte Dualraum von $H^s(\Gamma)$ wird mit $H^{-s}(\Gamma)$ bezeichnet.

Im folgenden Satz soll erklärt werden, wie man vom Gebietsraum zum Randraum gelangt.

Satz 2.16. (EVANS 1998 [10, Kapitel 5.5, Theorem 1]). Der Spuroperator $\gamma_0 u = u|_\Gamma$ für $u \in C^\infty(\bar{\Omega})$ lässt sich eindeutig von $C^\infty(\bar{\Omega})$ zu einem Operator $\gamma_0 \in L(H^1(\Omega); H^{1/2}(\Gamma))$ fortsetzen. Das bedeutet, dass $\gamma_0 u$ die Einschränkung einer Sobolevfunktion $u \in H^1(\Omega)$ auf Γ darstellt. \square

Nun wollen wir noch näher auf die Konormalenableitung, die im zweiten Skalarprodukt der rechten Seite von (2.7) vorkommt, eingehen und die Variationsformulierung formal korrekt aufschreiben.

Definition 2.17. Man sagt, eine Sobolev Funktion $u \in H^1(\Omega)$ löst für gegebenes $f \in \tilde{H}^{-1}(\Omega)$

$$-\Delta u = f \in \tilde{H}^{-1}(\Omega), \quad (2.18)$$

wenn es ein Funktional $\gamma_1 u \in H^{-1/2}(\Gamma)$ gibt, sodass die schwache Formulierung von (2.6)

$$\langle \nabla u, \nabla v \rangle_\Omega = \langle f, v \rangle_\Omega + \langle \gamma_1 u, \gamma_0 u \rangle_\Gamma \quad \text{für alle } v \in H^1(\Omega) \quad (2.19)$$

gilt.

Wir wollen das Funktional $\gamma_1 u$ nun näher charakterisieren:

Satz 2.18. (PRAETORIUS 2007 [17, Kapitel 2.4, Lemma 7 und 8]).

(i) Für eine Funktion $u \in C^2(\bar{\Gamma})$ und $f := -\Delta u$ gilt (2.19) mit $\gamma_1 u = \partial_n u$.

(ii) Ist $u \in H^1(\Omega)$ und löst (2.18), so ist die Konormalenableitung $\gamma_1 u \in H^{-1/2}(\Gamma)$ aus (2.19) eindeutig bestimmt. \square

Mit den eingeführten Notationen lässt sich folgendes Resultat beweisen:

Korollar 2.19. Für gegebenes $f \in \tilde{H}^{-1}(\Omega)$ und $g \in H^{1/2}(\Gamma)$, gibt es eine eindeutige Lösung $u \in H^1(\Omega)$ der Variationsformulierung (2.19) mit Dirichlet Randbedingungen $\gamma_0 u = g$. \square

2.3 Calderónsystem und Integraloperatoren

In diesem Kapitel wird das so genannte Calderónsystem hergeleitet und die wichtigsten Eigenschaften der verschiedenen Randintegraloperatoren beschrieben.

Für das betrachtete Gebiet Ω gelte im Folgenden $\text{diam}(\Omega) < 1$. Das ist eine hinreichende Bedingung dafür, dass für die logarithmische Kapazität Cap gilt $\text{Cap} < 1$ — siehe MCLEAN 2000 [15, Kapitel 8, Theorem 8.16].

Um die Darstellungsformel

$$u = \tilde{N}f + \tilde{V}(\gamma_1 u) - \tilde{K}(\gamma_0 u) \quad (2.20)$$

im schwachen Sinn für $u \in H^1(\Omega)$ zu verstehen, halten wir zunächst Abbildungseigenschaften der Integraloperatoren fest.

Satz 2.20. (STEINBACH 2004 [21, Kapitel 6.1]). \tilde{N} kann als Operator $\tilde{N} \in L(\tilde{H}^{-1}(\Omega); H^1(\Omega))$ aufgefasst werden, und es gilt

$$-\Delta(\tilde{N}f) = f \quad \text{für alle } f \in \tilde{H}^{-1}(\Omega). \quad (2.21)$$

Inbesondere sind Spur und Konormalenableitung als Operatoren

$$\gamma_0 \tilde{N} \in L(\tilde{H}^{-1}(\Omega); H^{1/2}(\Gamma)) \quad \text{und} \quad \gamma_1 \tilde{N} \in L(\tilde{H}^{-1}(\Omega); H^{-1/2}(\Gamma)) \quad (2.22)$$

wohldefiniert. □

Satz 2.21. (STEINBACH 2004 [21, Kapitel 6.2]). \tilde{V} kann als Operator $\tilde{V} \in L(H^{-1/2}(\Gamma); H^1(\Omega))$ aufgefasst werden, und es gilt

$$-\Delta \tilde{V} \phi = 0 \in \tilde{H}^{-1}(\Omega) \quad \text{für alle } \phi \in H^{-1/2}(\Gamma). \quad (2.23)$$

Inbesondere sind Spur und Konormalenableitung als Operatoren

$$\gamma_0 \tilde{V} \in L(H^{-1/2}(\Gamma); H^{1/2}(\Gamma)) \quad \text{und} \quad \gamma_1 \tilde{V} \in L(H^{-1/2}(\Gamma); H^{-1/2}(\Gamma)) \quad (2.24)$$

wohldefiniert. □

Satz 2.22. (STEINBACH 2004 [21, Kapitel 6.4]). \tilde{K} kann als Operator $\tilde{K} \in L(H^{1/2}(\Gamma); H^1(\Omega))$ aufgefasst werden, und es gilt

$$-\Delta \tilde{K} g = 0 \in \tilde{H}^{-1}(\Omega) \quad \text{für alle } g \in H^{1/2}(\Gamma). \quad (2.25)$$

Inbesondere sind Spur und Konormalenableitung als Operatoren

$$\gamma_0 \tilde{K} \in L(H^{1/2}(\Gamma); H^{1/2}(\Gamma)) \quad \text{und} \quad \gamma_1 \tilde{K} \in L(H^{1/2}(\Gamma); H^{-1/2}(\Gamma)) \quad (2.26)$$

wohldefiniert. □

Wendet man nun auf die Darstellungsformel (2.20) den Spuroperator γ_0 bzw. die Konormalenableitung γ_1 an, so erhält man das Calderónsystem:

$$\begin{pmatrix} \gamma_0 u \\ \gamma_1 u \end{pmatrix} = \begin{pmatrix} -\gamma_0 \tilde{K} & \gamma_0 \tilde{V} \\ -\gamma_1 \tilde{K} & \gamma_1 \tilde{V} \end{pmatrix} \begin{pmatrix} \gamma_0 u \\ \gamma_1 u \end{pmatrix} + \begin{pmatrix} \gamma_0 \tilde{N} f \\ \gamma_1 \tilde{N} f \end{pmatrix}$$

Eine abkürzende Schreibweise führt zu den Randintegraloperatoren:

Definition 2.23. Der Randintegraloperator $N_0 \in L(\tilde{H}^{-1}(\Omega), H^{1/2}(\Gamma))$ wird definiert als

$$N_0 := \gamma_0 \tilde{N}. \quad (2.27)$$

Der Randintegraloperator $N_1 \in L(\tilde{H}^{-1}(\Omega), H^{-1/2}(\Gamma))$ wird definiert als

$$N_1 := \gamma_1 \tilde{N}. \quad (2.28)$$

Der Randintegraloperator $V \in L(H^{-1/2}(\Gamma), H^{1/2}(\Gamma))$ wird definiert als

$$V := \gamma_0 \tilde{V} \quad (2.29)$$

und wird Einfachschichtpotential genannt.

Der Randintegraloperator $K' \in L(H^{-1/2}(\Gamma), H^{-1/2}(\Gamma))$ wird definiert als

$$K' := \gamma_1 \tilde{V} - \frac{1}{2} \quad (2.30)$$

und wird adjungiertes Doppelschichtpotential genannt.

Der Randintegraloperator $K \in L(H^{1/2}(\Gamma), H^{1/2}(\Gamma))$ wird definiert als

$$K := \gamma_0 \tilde{K} + \frac{1}{2} \quad (2.31)$$

und wird Doppelschichtpotential genannt.

Der Randintegraloperator $W \in L(H^{1/2}(\Gamma), H^{-1/2}(\Gamma))$ wird definiert als

$$W := -\gamma_1 \tilde{K} \quad (2.32)$$

und wird hypersingulärer Integraloperator genannt.

Das Calderón System sieht dann in abgekürzter Schreibweise so aus:

$$\begin{pmatrix} \gamma_0 u \\ \gamma_1 u \end{pmatrix} = \begin{pmatrix} \frac{1}{2} - K & V \\ W & \frac{1}{2} + K' \end{pmatrix} \begin{pmatrix} \gamma_0 u \\ \gamma_1 u \end{pmatrix} + \begin{pmatrix} N_0 f \\ N_1 f \end{pmatrix} \quad (2.33)$$

Im Folgenden wollen wir einige wichtige Eigenschaften der obigen Integraloperatoren festhalten.

Das Einfachschichtpotential erfüllt folgende Bedingungen:

Satz 2.24. (STEINBACH 2004 [21, Kapitel 6.2, Seite 113ff und Kapitel 6.6.1, Satz 6.6]). Für das Einfachschichtpotential $V : H^{-1/2+s}(\Gamma) \rightarrow H^{1/2+s}(\Gamma)$, $|s| \leq 1/2$, gilt:

(i) V ist wohldefiniert, linear und stetig.

(ii) V ist symmetrisch, d.h.

$$\langle V\phi, \psi \rangle_\Gamma = \langle \phi, V\psi \rangle_\Gamma \quad \text{für alle } \phi, \psi \in H^{-1/2}(\Gamma). \quad (2.34)$$

(iii) V ist $H^{-1/2}(\Gamma)$ -elliptisch, d.h. es gibt eine so genannte Elliptizitätskonstante $c_V > 0$ mit

$$\langle V\phi, \phi \rangle_\Gamma \geq c_V \|\phi\|_{H^{-1/2}(\Gamma)}^2 \quad \text{für alle } \phi \in H^{-1/2}(\Gamma), \quad (2.35)$$

insbesondere ist V also ein Isomorphismus. \square

Bemerkung 2.25. Die Generalvoraussetzung für dieses Kapitel, nämlich $\text{diam}(\Omega) < 1$, geht in diesen Satz ein. Sie ist notwendig für die Elliptizität von V und damit auch für die Invertierbarkeit von V .

Der Operator N_1 lässt sich mit Hilfe der anderen Operatoren berechnen, siehe Formel (2.33) und Satz 2.24(iii).

Korollar 2.26. (STEINBACH 2004 [21, Kapitel 6.6, Lemma 6.13]).

Für das Newtonpotential $(N_1f)(x)$, $x \in \Gamma$, gilt die Darstellung

$$(N_1f)(x) = \left(-\frac{1}{2} + K' \right) V^{-1}(N_0f)(x). \quad (2.36)$$

□

Aus den Aussagen von Satz 2.24 lässt sich ein äquivalentes Skalarprodukt auf $H^{-1/2}(\Gamma)$ herleiten.

Korollar 2.27. Für $\phi, \psi \in H^{-1/2}(\Gamma)$ definiert

$$\langle\langle \phi, \psi \rangle\rangle := \langle V\phi, \psi \rangle_\Gamma \quad (2.37)$$

ein äquivalentes Skalarprodukt auf $H^{-1/2}(\Gamma)$. Die induzierte Norm, die so genannte Energienorm,

$$\|\|\phi\|\| := \langle\langle \phi, \phi \rangle\rangle^{1/2} \quad (2.38)$$

ist eine äquivalente Norm auf $H^{-1/2}(\Gamma)$.

Beweis: Man betrachte $\|\|\phi\|\|^2 = \langle V\phi, \phi \rangle_\Gamma$. Nach Definition der Dualität zwischen $H^{1/2}(\Gamma)$ und $H^{-1/2}(\Gamma)$ gilt

$$\langle V\phi, \phi \rangle_\Gamma \leq \|V\phi\|_{H^{1/2}(\Gamma)} \|\phi\|_{H^{-1/2}(\Gamma)}.$$

Aus der Stetigkeit folgt

$$\langle V\phi, \phi \rangle_\Gamma \leq \|V\| \|\phi\|_{H^{-1/2}(\Gamma)}^2.$$

Andererseits gibt es aufgrund der Elliptizität von V eine Konstante $c_V > 0$, sodass

$$\langle V\phi, \phi \rangle_\Gamma \geq c_V \|\phi\|_{H^{-1/2}(\Gamma)}^2$$

erfüllt ist und die beiden Normen somit äquivalent sind. □

Das Doppelschichtpotential hat folgende Eigenschaften:

Satz 2.28. (STEINBACH 2004 [21, Kapitel 6.4, Seite 118ff und Kapitel 6.6.4, Seite 144]). Für das Doppelschichtpotential $K : H^{1/2+s}(\Gamma) \rightarrow H^{1/2+s}(\Gamma)$, $|s| \leq 1/2$, gilt:

(i) K ist wohldefiniert, linear und stetig.

(ii) Ist V invertierbar, so ist $K + \frac{1}{2}$ eine Kontraktion bezüglich der auf $H^{1/2}(\Gamma)$ äquivalenten Norm $\|g\|_{V^{-1}}^2 := \langle V^{-1}g, g \rangle_\Gamma$, d.h. es gilt

$$\|(K + \frac{1}{2})g\|_{V^{-1}} \leq c_K \|g\|_{V^{-1}} \quad \text{für alle } g \in H^{1/2}(\Gamma) \quad (2.39)$$

mit einer geeigneten Kontraktionskonstanten $c_K \in (0, 1)$. □

Das adjungierte Doppelschichtpotential K' ist im L^2 -Sinn zum Doppelschichtpotential K adjungiert.

Satz 2.29. (McLEAN 2000 [15, Kapitel 6, Theorem 6.15]).

Für die Operatoren $K : H^{1/2}(\Gamma) \rightarrow H^{1/2}(\Gamma)$ und $K' : H^{-1/2}(\Gamma) \rightarrow H^{-1/2}(\Gamma)$ und Funktionen $g \in H^{1/2}(\Omega)$, $\psi \in H^{-1/2}(\Gamma)$ gilt

$$\langle Kg, \psi \rangle_\Gamma = \langle g, K'\psi \rangle_\Gamma, \quad (2.40)$$

d.h. K und K' sind adjungiert im Sinne der Funktionalanalysis. □

2.4 Galerkin-Randelementmethode

In diesem Abschnitt wollen wir die Symmsche Integralgleichung und die so genannte Galerkin-Randelementmethode zum Lösen von Integralgleichungen vorstellen.

Zur besseren Übersicht geben wir hier nochmals das Modellproblem an:

Gesucht ist die schwache Lösung $u \in H^1(\Omega)$ von

$$\begin{aligned} -\Delta u &= f \in \tilde{H}^{-1}(\Omega), \\ \gamma_0 u &= g \in H^{1/2}(\Gamma). \end{aligned} \tag{2.41}$$

Die schwache Formulierung des Problems lässt sich mittels der Darstellungsformel schreiben als

$$u = \tilde{N}f + \tilde{V}\phi - \tilde{K}g$$

mit den unbekanntenen Neumanndaten $\phi = \gamma_1 u \in H^{-1/2}(\Gamma)$.

Die erste Zeile des Calderón Systems (2.33) ergibt

$$\gamma_0 u = \left(\frac{1}{2} - K\right)\gamma_0 u + V\gamma_1 u + N_0 f$$

und nach Umformung

$$V\gamma_1 u = \left(K + \frac{1}{2}\right)\gamma_0 u - N_0 f.$$

Einsetzen der Dirichlet- und gesuchten Neumanndaten, d.h. $\gamma_0 u = g$ und $\gamma_1 u = \phi$, führt zur so genannten Symmschen Integralgleichung

$$V\phi = \left(K + \frac{1}{2}\right)g - N_0 f =: F. \tag{2.42}$$

Anwenden des Satzes von Riesz ergibt eine zur Symmschen Integralgleichung (2.42) äquivalente Variationsformulierung

$$\langle\langle \phi, \psi \rangle\rangle = \langle F, \psi \rangle_\Gamma \quad \text{für alle } \psi \in H^{-1/2}(\Gamma). \tag{2.43}$$

Satz 2.30. *Die Variationsformulierung (2.43) mit $F \in H^{1/2}(\Gamma)$ aus (2.42) hat eine eindeutige Lösung, und es gilt $\phi = \gamma_1 u$ für die Lösung $u \in H^1(\Omega)$ von (2.41). \square*

Die Idee der Galerkin-Randelementmethode besteht nun darin, $H^{-1/2}(\Gamma)$ für ϕ und ψ durch einen endlichdimensionalen Ansatzraum zu ersetzen.

Um geeignete diskrete Räume zu konstruieren, wollen wir zunächst das Konzept einer Unterteilung des Randes Γ in endlich viele Teilstücke erklären.

Dazu definieren wir wie in SAUTER/SCHWAB 2004 [19, Kapitel 4.1.2]).

Definition 2.31. *Eine Unterteilung des Randes $\Gamma = \partial\Omega$, $\Omega \subseteq \mathbb{R}^2$, in endlich viele, relativ offene, disjunkte Elemente $T_1, \dots, T_n \subseteq \Gamma$ heißt Partition \mathcal{T}_ℓ , falls die folgenden Bedingungen erfüllt sind:*

(i) \mathcal{T}_ℓ ist eine endliche Überdeckung von Γ , d.h. $\Gamma = \overline{\bigcup_{T \in \mathcal{T}_\ell} T}$.

(ii) Jedes Element $T \in \mathcal{T}_\ell$ ist Bild des Referenzelementes $\widehat{T} = [-1, 1]$ unter einer regulären Abbildung γ_T , d.h. es gibt Konstanten $\lambda_{\min} > 0$ und $\lambda_{\max} > 0$ mit

$$0 < \lambda_{\min} \leq \|\dot{\gamma}_T(s)\| \leq \lambda_{\max} < \infty \quad \text{für alle } s \in (-1; 1). \quad (2.44)$$

Definition 2.32. Für jedes Element T der Partition \mathcal{T}_ℓ ist die lokale Netzweite $h_\ell \in L^\infty(\Gamma)$ durch $h_{\ell|T} := h_\ell(T) := \text{diam}(T)$ definiert.

Die globale Netzweite einer Partition \mathcal{T}_ℓ ist gegeben durch $h_{\ell, \max} := \max_{T \in \mathcal{T}_\ell} h_\ell(T)$.

Definition 2.33. Man sagt eine Partition \mathcal{T}_ℓ erfüllt die K-Netz-Eigenschaft, falls es eine Konstante $\kappa(\mathcal{T}_\ell) \geq 1$ gibt, sodass für $\overline{T_1} \cap \overline{T_2} \neq \emptyset$ gilt $h_\ell(T_1)/h_\ell(T_2) \leq \kappa(\mathcal{T}_\ell)$.

Definition 2.34. Man nennt eine Familie von Partitionen $\{\mathcal{T}_\ell\}_{\ell \in \mathbb{N}}$ lokal quasiuniform, falls Konstanten $h_{\ell, \min}, h_{\ell, \max} > 0$ existieren, sodass für alle $T \in \mathcal{T}_\ell$ gilt $h_{\ell, \min} \leq h_\ell(T) \leq h_{\ell, \max}$ und $\sup_\ell \frac{h_{\ell, \max}}{h_{\ell, \min}} =: H < \infty$.

Für die Implementierung werden nur Partitionen, die die K-Netz Eigenschaft mit $\kappa(\mathcal{T}_\ell) \leq 2$ erfüllen, betrachtet und stets stückweise affine Randelemente verwendet, da sich die entstehenden Integrale dann analytisch berechnen lassen.

Unser Ziel ist es, einen geeigneten endlichdimensionalen Ansatz für die unbekannte Lösung ϕ zu finden. Bei der Galerkin-Randelementmethode erreicht man dies, indem man in der Variationsformulierung nur stückweise Polynome als Ansatzfunktionen zulässt. Das führt zu folgender Definition aus SAUTER/SCHWAB 2004 [19, Kapitel 4.1.3, Seite 152]:

Definition 2.35. Der Raum der stückweise konstanten Funktionen über einer Partition \mathcal{T}_ℓ wird durch

$$\mathcal{P}^0(\mathcal{T}_\ell) := \{\psi \in L^\infty(\Gamma) \mid \forall T \in \mathcal{T}_\ell : \psi|_T \text{ ist konstant}\} \quad (2.45)$$

definiert. Jede Funktion $\psi \in \mathcal{P}^0(\mathcal{T}_\ell)$ ist durch ihre Werte λ_T auf den Elementen $T \in \mathcal{T}_\ell$ bestimmt und kann in der Form

$$\psi(x) := \sum_{T \in \mathcal{T}_\ell} \lambda_T \chi_T(x) \quad (2.46)$$

geschrieben werden mit der charakteristischen Funktion $\chi_T : \Gamma \rightarrow \mathbb{R}$ von $T \in \mathcal{T}_\ell$. Die charakteristischen Funktionen bilden also eine Basis von $\mathcal{P}^0(\mathcal{T}_\ell)$.

Der Raum der Polynome vom Grad p auf dem Referenzelement $\widehat{T} = [-1, 1]$ ist gegeben durch

$$\widehat{\mathcal{P}}^p = \text{span}\{\widehat{x}^\mu \mid \mu \in \mathbb{N}_0 \text{ und } \mu \leq p\}. \quad (2.47)$$

In Folge wird der Raum der stückweisen Polynome vom Grad p über einer Partition \mathcal{T}_ℓ definiert durch

$$\mathcal{P}^p(\mathcal{T}_\ell) := \{\psi : \Gamma \rightarrow \mathbb{R} \mid \psi|_T \circ \gamma_T \in \widehat{\mathcal{P}}^p\}, \quad (2.48)$$

wobei γ_T die Parametrisierung aus Definition 2.31 bezeichne.

Ersetzt man die Lösung $\phi \in H^{-1/2}(\Gamma)$ durch die diskrete Funktion $\Phi_\ell \in \mathcal{P}^0(\mathcal{T}_\ell)$, so muss die Gleichheit in (2.43) im Allgemeinen nicht erfüllt sein. Daher wird zusätzlich auch der Raum der Testfunktionen diskretisiert.

Der Satz von Riesz impliziert die Existenz einer eindeutig bestimmten Lösung $\Phi_\ell \in \mathcal{P}^0(\mathcal{T}_\ell) \subseteq H^{-1/2}(\Gamma)$, sodass

$$\langle\langle \Phi_\ell, \Psi_\ell \rangle\rangle = \langle F, \Psi_\ell \rangle_\Gamma \quad \text{für alle } \Psi_\ell \in \mathcal{P}^0(\mathcal{T}_\ell) \quad (2.49)$$

gilt.

Schreibt man die Lösung als Summe $\Phi_h = \sum_{j=1}^N x_j \chi_j$ mit einer fixen Basis, so löst der Koeffizientenvektor $x \in \mathbb{R}^N$ das lineare Gleichungssystem

$$Ax = b. \quad (2.50)$$

Die Galerkinmatrix $A \in \mathbb{R}^{N \times N}$ wird berechnet durch

$$A_{jk} = \langle\langle \chi_j, \chi_k \rangle\rangle = \langle V \chi_j, \chi_k \rangle_\Gamma = \int_\Gamma V \chi_j(x) \chi_k(x) ds_x = -\frac{1}{2\pi} \int_{T_j} \int_{T_k} \log |x - y| ds_y ds_x.$$

Die rechte Seite ist ein Vektor $b_k \in \mathbb{R}^N$ mit

$$\begin{aligned} b_k &= \langle F, \chi_k \rangle_\Gamma = \langle (K + \frac{1}{2})g - N_0 f, \chi_k \rangle_\Gamma = \int_\Gamma \left((K + \frac{1}{2})g - N_0 f \right) \chi_k ds_x \\ &= -\frac{1}{2\pi} \int_{T_k} \int_{T_j} \frac{\langle y - x, \nu_y \rangle}{|x - y|^2} ds_y ds_x - \int_{T_k} N_0 f ds_x. \end{aligned}$$

ν_y ist hierbei der nach außen gerichtete Normalvektor von Ω in $y \in \Gamma$.

Der Zusammenhang zwischen exakter und diskreter Lösung führt zum Begriff der Galerkinprojektion.

Definition 2.36. Das Galerkinverfahren definiert für einen diskreten Raum X_ℓ einen Lösungsoperator

$$\mathbb{G}_\ell : H^{-1/2}(\Gamma) \rightarrow X_\ell \quad (2.51)$$

durch $\langle\langle \mathbb{G}_\ell \phi, \Psi_\ell \rangle\rangle = \langle\langle \Phi_\ell, \Psi_\ell \rangle\rangle$ für alle $\Psi_\ell \in \mathcal{P}^0(\mathcal{T}_\ell)$. Der Operator \mathbb{G}_ℓ wird Galerkinprojektion genannt.

Das diskrete Problem (2.50) besitzt eine eindeutige Lösung, die äquivalent ist zu (2.49).

Nun wollen wir uns mit dem Verfahrensfehler beschäftigen. Der folgende Satz zeigt, dass die Galerkinapproximation die Bestapproximationseigenschaft erfüllt:

Satz 2.37. (Lemma von Céa. SAUTER/SCHWAB 2004 [19, Kapitel 4.1.4, Seite 155ff]). Sei ϕ die exakte Lösung der Symmschen Integralgleichung (2.42). Die Galerkinlösung Φ_ℓ konvergiert optimal in der Energienorm, d.h

$$\|\phi - \Phi_\ell\| = \min_{\Psi_\ell \in \mathcal{P}^0(\mathcal{T}_\ell)} \|\phi - \Psi_\ell\|. \quad (2.52)$$

Insbesondere erfüllt Φ_ℓ die so genannte Galerkinorthogonalität

$$\langle\langle \phi - \Phi_\ell, \Psi_\ell \rangle\rangle = 0 \quad \text{für alle } \Psi_\ell \in \mathcal{P}^0(\mathcal{T}_\ell). \quad (2.53)$$

In der $H^{-1/2}(\Gamma)$ -Norm gilt mit c_V der Elliptizitätskonstante des Einfachschichtpotentials V die Quasioptimalität

$$\|\phi - \Phi_\ell\|_{H^{-1/2}(\Gamma)} \leq \left(\frac{\|V\|}{c_V} \right)^{1/2} \min_{\Psi_\ell \in \mathcal{P}^0(\mathcal{T}_\ell)} \|\phi - \Psi_\ell\|_{H^{-1/2}(\Gamma)} \quad (2.54)$$

Beweis: Als erstes wollen wir die Galerkinorthogonalität zeigen:
Sowohl die exakte als auch die Galerkinlösung erfüllen

$$\langle\langle \phi, \Psi_\ell \rangle\rangle = \langle F, \Psi_\ell \rangle_\Gamma = \langle\langle \Phi_\ell, \Psi_\ell \rangle\rangle \quad \text{für alle } \Psi_\ell \in \mathcal{P}^0(\mathcal{T}_\ell).$$

Daher gilt

$$\langle\langle \phi - \Phi_\ell, \Psi_\ell \rangle\rangle = \langle\langle \phi, \Psi_\ell \rangle\rangle - \langle\langle \Phi_\ell, \Psi_\ell \rangle\rangle = \langle F, \Psi_\ell \rangle_\Gamma - \langle F, \Psi_\ell \rangle_\Gamma = 0.$$

Aufgrund der Galerkinorthogonalität gilt für den Verfahrensfehler $e_\ell := \phi - \Phi_\ell$

$$\begin{aligned} \|e_\ell\|^2 &= \langle\langle e_\ell, \phi - \Phi_\ell \rangle\rangle = \langle\langle e_\ell, \phi \rangle\rangle - \langle\langle e_\ell, \Phi_\ell \rangle\rangle = \langle\langle e_\ell, \phi \rangle\rangle - \langle\langle e_\ell, \Psi_\ell \rangle\rangle = \langle\langle e_\ell, \phi - \Psi_\ell \rangle\rangle \\ &\leq \|e_\ell\| \|\phi - \Psi_\ell\| \end{aligned}$$

für beliebiges $\Psi_\ell \in \mathcal{P}^0(\mathcal{T}_\ell)$. Insbesondere gilt also

$$\|\phi - \Phi_\ell\| \leq \min_{\Psi_\ell \in \mathcal{P}^0(\mathcal{T}_\ell)} \|\phi - \Psi_\ell\|.$$

Da $\Phi_\ell \in \mathcal{P}^0(\mathcal{T}_\ell)$ gilt, folgt die Gleichheit.

Die zweite Aussage erhält man sofort aufgrund der äquivalenten Normen

$$\begin{aligned} c_V \|e_\ell\|_{H^{-1/2}(\Gamma)}^2 &\leq \|e_\ell\|^2 = \min_{\Psi_\ell \in \mathcal{P}^0(\mathcal{T}_\ell)} \|\phi - \Psi_\ell\|^2 = \min_{\Psi_\ell \in \mathcal{P}^0(\mathcal{T}_\ell)} \langle V(\phi - \Psi_\ell), \phi - \Psi_\ell \rangle_\Gamma \\ &\leq \min_{\Psi_\ell \in \mathcal{P}^0(\mathcal{T}_\ell)} \|V\| \|\phi - \Psi_\ell\|_{H^{-1/2}(\Gamma)}^2. \end{aligned}$$

Der Beweis ist vollständig nach Division durch c_V und Wurzelziehen. \square

Korollar 2.38. Die Galerkinprojektion $\mathbb{G}_\ell : H^{-1/2}(\Gamma) \rightarrow X_\ell$ ist die Orthogonalprojektion auf X_ℓ in der Energienorm. \square

Nun bleibt nur noch die Konvergenz der Galerkinrandelementmethode zu zeigen.

Satz 2.39. (SAUTER/SCHWAB 2004 [19, Kapitel 4.1.5, Seite 159]). Sei $(\mathcal{T}_\ell)_{\ell \in \mathbb{N}}$ eine Folge von Partitionen mit globaler Netzweite $h_{\ell, \max} \rightarrow 0$ für $\ell \rightarrow \infty$, für die gilt, dass sich jedes Element aus \mathcal{T}_ℓ darstellen lässt als Vereinigung von Elementen aus $\mathcal{T}_{\ell-1}$. Dann konvergiert die Folge von Randelementlösungen $(\Phi_\ell)_{\ell \in \mathbb{N}}$ gegen die exakte Lösung ϕ .

Beweis: Der Raum $\mathcal{P}^0(\mathcal{T}_\ell)$ besteht aus Treppenfunktionen auf einem Gitter \mathcal{T}_ℓ . Aufgrund der Definition der Lebesgue-Räume ist $\bigcup_{\ell \in \mathbb{N}} \mathcal{P}^0(\mathcal{T}_\ell)$ dicht in $L^2(\Gamma)$, welcher wiederum dicht in $H^{-1/2}(\Gamma)$ ist. Sei $\varepsilon > 0$ beliebig. Dann lassen sich $\tilde{\phi} \in L^2(\Gamma)$, $\ell \in \mathbb{N}$ und $\tilde{\Phi}_\ell \in \mathcal{P}^0(\mathcal{T}_\ell)$ wählen, sodass

$$\|\phi - \tilde{\phi}\|_{H^{-1/2}(\Gamma)} \leq \frac{\varepsilon}{2} \quad \text{und} \quad \|\tilde{\phi} - \tilde{\Phi}_\ell\|_{L^2(\Gamma)} \leq \frac{\varepsilon}{2}$$

gelten. Wegen $\|\cdot\|_{H^{1/2}(\Gamma)} \leq \|\cdot\|_{L^2(\Gamma)}$ erhält man insgesamt

$$\|\phi - \tilde{\Phi}_\ell\|_{H^{-1/2}(\Gamma)} \leq \|\phi - \tilde{\phi}\|_{H^{-1/2}(\Gamma)} + \|\tilde{\phi} - \tilde{\Phi}_\ell\|_{H^{-1/2}(\Gamma)} \leq \varepsilon$$

und somit die Konvergenz gegen die exakte Lösung. \square

2.5 Einfluss von Störungen

Dieser Abschnitt beschäftigt sich mit der wichtigen Frage des Einflusses von Störungen. Es wird sich zeigen, dass die Galerkin-Randelementmethode stabil bezüglich hinreichend kleiner Störungen ist. Die Aussagen dieses Abschnitts werden hier nicht bewiesen, sind aber in ausführlicher Form in FERRAZ-LEITE 2007 [11] nachzulesen.

Lemma 2.40. (Lemma von Strang. BRAESS 2003 [4, Kapitel III, Lemma 1.1]). *Seien H ein Hilbertraum, $a(\cdot, \cdot)$ eine stetige, elliptische Bilinearform auf H und $u \in H$ mit $a(u, \cdot) = \ell \in H^*$. Für einen Diskretisierungsparameter h seien $X_h \subseteq H$ ein abgeschlossener Unterraum von H , $a_h(\cdot, \cdot)$ eine stetige Bilinearform auf X_h und $\ell_h \in X_h^*$ ein gegebenes lineares Funktional. Dann gelten folgende Aussagen:*

(i) Falls $a_h(\cdot, \cdot)$ gegen $a(\cdot, \cdot)$ konvergiert, d.h.

$$\lim_{h \rightarrow 0} \alpha_h = 0 \quad \text{mit} \quad \alpha_h := \sup_{v_h, w_h \in X_h \setminus \{0\}} \frac{|a(v_h, w_h) - a_h(v_h, w_h)|}{\|v_h\|_H \|w_h\|_H} \quad (2.55)$$

gilt, so folgt

$$\exists h_0 > 0 \exists \alpha_0 > 0 \forall h < h_0 \forall v_h \in X_h : \alpha_0 \|v_h\|_H^2 \leq a_h(v_h, v_h). \quad (2.56)$$

Insbesondere ist die Bilinearform $a_h(\cdot, \cdot)$ elliptisch auf X_h und es existiert somit ein eindeutiges $u_h \in X_h$, sodass $a_h(u_h, \cdot) = \ell_h \in X_h^*$ gilt für genügend kleines $h > 0$.

(ii) Gilt (2.55), so folgt

$$\begin{aligned} \|u - u_h\|_H &\leq C \left(\inf_{v_h \in X_h} \left(\|u - v_h\|_H + \|a(v_h, \cdot) - a_h(v_h, \cdot)\|_{X_h^*} \right) + \|\ell - \ell_h\|_{X_h^*} \right) \\ &\leq C \left(\inf_{v_h \in X_h} \left(\|u - v_h\|_H + \alpha_h \|v_h\| \right) + \|\ell - \ell_h\|_{X_h^*} \right). \end{aligned} \quad (2.57)$$

Die Konstante C hängt hierbei nur von der Bilinearform $a(\cdot, \cdot)$ ab.

(iii) Falls die Datenfehler gegen 0 konvergieren, d.h.

$$\lim_{h \rightarrow 0} \|\ell - \ell_h\|_{X_h^*} = 0 = \lim_{h \rightarrow 0} \alpha_h, \quad (2.58)$$

und es eine dichte Teilmenge $D \subseteq H$ gibt, sodass

$$\lim_{h \rightarrow 0} \min_{v_h \in X_h} \|v - v_h\|_H = 0, \quad (2.59)$$

folgt insbesondere die Konvergenz des gestörten Galerkinverfahrens

$$\lim_{h \rightarrow 0} \|u - u_h\|_H = 0. \quad (2.60)$$

Ist die Konvergenzrate der Datenfehler also mindestens so groß wie die des Verfahrensfehlers, so konvergiert das gestörte Galerkinverfahren mit derselben Ordnung wie das ungestörte. \square

Kapitel 3

Adaptiver Algorithmus mit residualem Fehlerschätzer

Es ist nicht möglich, für beliebiges $g \in H^{1/2}(\Gamma)$ die Funktion $Kg \in H^{1/2}(\Gamma)$ numerisch zu berechnen. Man hat nun mehrere Möglichkeiten:

- (a) Man approximiert $Kg(x)$ durch Quadratur.
- (b) Für glattes g kann man $Kg(x)$ in einen glatten und einen logarithmisch-singulären Anteil zerlegen, die dann geeignet numerisch integriert werden.
- (c) Man ersetzt g durch eine Approximation g_ℓ , für die $Kg_\ell(x)$ exakt berechnet werden kann.

In diesem Abschnitt betrachten wir Möglichkeit (c), was auch den Vorteil hat, dass man den Operator mit geeigneten Matrixkompressionstechniken effizient realisieren kann.

Es erscheint nun sinnvoll, die gestörten Dirichletdaten g_ℓ bei Fehlerabschätzungen für das Verwenden der Galerkinrandelementmethode zum Lösen der Symmschen Integralgleichung miteinzubeziehen. Daher wird ein lokaler a posteriori Fehlerschätzer vorgestellt, der auch den Datenfehler F_ℓ der rechten Seite F der Symmschen Integralgleichung $V\phi = F$ berücksichtigt.

Wir nehmen an, dass die Dirichletdaten $g \in H^1(\Gamma)$ erfüllen und definieren $g_\ell := \mathcal{I}_\ell g$ als deren nodale Interpolation:

Definition 3.1. Sei \mathcal{N}_ℓ die Menge aller Knoten einer Triangulierung \mathcal{T}_ℓ und $\mathcal{S}^1(\mathcal{T}_\ell) := \mathcal{P}^1(\mathcal{T}_\ell) \cap \mathcal{C}(\Gamma)$ die Menge aller global stetigen Funktionen in $\mathcal{P}^1(\mathcal{T}_\ell)$. Für alle $z \in \mathcal{N}_\ell$ sei $\gamma_z \in \mathcal{S}^1(\mathcal{T}_\ell)$ die nodale Basisfunktion, d.h. $\gamma_z(z) = 1$ und $\gamma_z(\bar{z}) = 0$ für $\bar{z} \in \mathcal{N}_\ell \setminus \{z\}$.

Der nodale Interpolationsoperator $\mathcal{I}_\ell : \mathcal{C}(\Gamma) \rightarrow \mathcal{S}^1(\mathcal{T}_\ell)$ ist dann definiert durch

$$\mathcal{I}_\ell v := \sum_{z \in \mathcal{N}_\ell} v(z) \gamma_z.$$

Wir erinnern daran, dass für 2D BEM nach Sobolevungleichung die Inklusion $H^1(\Gamma) \subseteq \mathcal{C}(\Gamma)$ gilt, nachzulesen in SAUTER/SCHWAB 2004[6][Kapitel 2.5].

Seien im Folgenden

- $\phi \in H^{-1/2}(\Gamma)$ die kontinuierliche Lösung von $V\phi = (K + \frac{1}{2})g =: F \in H^{1/2}(\Gamma)$
- $\tilde{\phi}_\ell \in H^{-1/2}(\Gamma)$ die kontinuierliche Lösung von $V\tilde{\phi}_\ell = (K + \frac{1}{2})g_\ell =: F_\ell \in H^{1/2}(\Gamma)$
- Φ_ℓ die Galerkinlösung zu ϕ in $X_\ell := \mathcal{P}^0(\mathcal{T}_\ell)$
- $\tilde{\Phi}_\ell$ die Galerkinlösung zu $\tilde{\phi}_\ell$ in X_ℓ .

Zu lösen ist also $\langle V\tilde{\Phi}_\ell, \Psi_\ell \rangle = \langle F_\ell, \Psi_\ell \rangle$ für alle $\Psi_\ell \in X_\ell$ mit dem Ziel einer Approximationsfehlerkontrolle von $\|\phi - \tilde{\Phi}_\ell\|$.

Für $a \leq Cb$ mit einer Konstanten $C > 0$, die nicht von a oder b abhängt, verwenden wir die abkürzende Schreibweise $a \lesssim b$.

Gibt es eine Konstante $C_{\text{rel}} > 0$, sodass

$$\|\phi - \tilde{\Phi}_\ell\| \leq C_{\text{rel}} \varrho_\ell$$

gilt, so nennt man den Fehlerschätzer ϱ_ℓ zuverlässig im Bezug auf $\|\phi - \tilde{\Phi}_\ell\|$. Die Konstante C_{rel} darf von der rechten Seite F_ℓ und $\kappa(\mathcal{T}_\ell)$ abhängen, nicht aber von den Lösungen ϕ und $\tilde{\Phi}_\ell$.

Eine Norm $\|\cdot\|$ heißt lokal, wenn sie für eine Triangulierung \mathcal{T}_ℓ und einen Raum X

$$\|\cdot\|_{X(\Gamma)}^2 \sim \sum_{T \in \mathcal{T}_\ell} \|\cdot\|_{X(T)}^2$$

erfüllt. Die Energienorm ist im Gegensatz zur L^2 -Norm oder zur H^1 -Norm nicht lokal. Fehlerschätzer in lokalen Normen erlauben die Steuerung adaptiver Netzverfeinerungsstrategien.

Der a posteriori Fehlerschätzer ϱ_ℓ selbst darf nur von berechenbaren Größen abhängen, insbesondere also von der diskreten Lösung $\tilde{\Phi}_\ell$, nicht aber von der exakten Lösung ϕ . Der Fehlerschätzer kann also erst nach einer ersten Berechnung einer diskreten Lösung ermittelt werden — ganz im Gegensatz zur a priori Fehlerschätzung, die von der exakten Lösung ϕ , nicht aber von $\tilde{\Phi}_\ell$ abhängt.

Dieses Kapitel beschäftigt sich nun mit der Entwicklung eines zuverlässigen, lokalen Gesamtfehlerschätzers, bestehend aus dem Residualschätzer ϱ_ℓ — siehe CARSTENSEN 1997 [6] — und einem Datenfehlerschätzer ζ_ℓ . Unter Verwendung eines speziellen, in diesem Abschnitt beschriebenen adaptiven Algorithmus, lässt sich Konvergenz der approximierten Lösung $\tilde{\Phi}_\ell$ gegen die exakte Lösung ϕ beweisen.

3.1 Lokalisierungstechniken für $H^{1/2}(\Gamma)$

Dieses Kapitel beschreibt den Übergang von der $H^{1/2}$ -Norm zu lokalen Normen um im Weiteren lokale Fehlerschätzer entwickeln zu können.

Für den nodalen Interpolationsoperator können wir eine Approximationseigenschaft formulieren, müssen dafür aber noch einen Satz bereitstellen, der CARSTENSEN 1997 [6] entnommen wurde:

Satz 3.2. (CARSTENSEN 1997 [6, Theorem 1]). *Hat eine Funktion $v \in H^1(\Gamma)$ zumindest eine Nullstelle in jedem Element einer Partition \mathcal{T}_ℓ , so gilt*

$$\|v\|_{H^{1/2}(\Gamma)} \leq \tilde{C}_{\text{apx}} \|h_\ell^{1/2} v'\|_{L^2(\Gamma)}. \quad (3.1)$$

Die Konstante $\tilde{C}_{\text{apx}} > 0$ hängt nur von Γ und $\kappa(\mathcal{T}_\ell)$ ab. \square

Korollar 3.3. (CARSTENSEN/PRAETORIUS 2007 [8, Corollary 3.4]). *Ist \mathcal{I}_ℓ der nodale Interpolationsoperator und $v \in H^1(\Gamma)$, so gilt*

$$\|v - \mathcal{I}_\ell v\|_{H^{1/2}(\Gamma)} \leq \tilde{C}_{\text{apx}} \|h_\ell^{1/2} (v - \mathcal{I}_\ell v)'\|_{L^2(\Gamma)} \leq \tilde{C}_{\text{apx}} \|h_\ell^{1/2} v'\|_{L^2(\Gamma)}. \quad (3.2)$$

Die Konstante $\tilde{C}_{\text{apx}} > 0$ hängt hierbei nur von Γ und $\kappa(\mathcal{T}_\ell)$ ab.

Beweis: Sei $w := v - \mathcal{I}_\ell v$ und \mathcal{N}_ℓ die Menge aller Knoten einer Partition \mathcal{T}_ℓ , dann gilt $w(z) = 0$ für alle $z \in \mathcal{N}_\ell$, w hat also auf jedem Element von \mathcal{T}_ℓ eine Nullstelle. Satz 3.2 kann daher angewendet werden, und es folgt

$$\|w\|_{H^{1/2}(\Gamma)} \leq \tilde{C}_{\text{apx}} \|h_\ell^{1/2} w'\|_{L^2(\Gamma)}$$

und damit die erste Ungleichung.

Die Bogenlängenableitung der nodalen Interpolation kann durch die L^2 -Projektion der Ableitung auf $\mathcal{P}^0(\mathcal{T}_\ell)$ ersetzt werden. Für $T = [a, b]$ gilt

$$(\Pi_\ell v')|_T = \frac{1}{|b-a|} \int_{[a,b]} v'(s) ds = \frac{v(b) - v(a)}{|b-a|} = (\mathcal{I}_\ell v')|_T. \quad (3.3)$$

Für die L^2 -Projektion als elementweise Bestapproximation bezüglich der L^2 -Norm folgt

$$\|h_\ell^{1/2} (v - \mathcal{I}_\ell v)'\|_{L^2(\Gamma)}^2 = \|h_\ell^{1/2} (v' - \Pi_\ell v')\|_{L^2(\Gamma)}^2 = \|h_\ell^{1/2} v'\|_{L^2(\Gamma)}^2 + \|h_\ell^{1/2} \Pi_\ell v'\|_{L^2(\Gamma)}^2 \leq \|h_\ell^{1/2} v'\|_{L^2(\Gamma)}^2$$

und somit die zweite Ungleichung. \square

Man kann auch eine inverse Abschätzung zu Satz 3.2 angeben.

Satz 3.4. (CARSTENSEN/PRAETORIUS 2007 [8, Proposition 3.1]). *Für eine diskrete Funktion $\Psi_\ell \in \mathcal{S}^p(\mathcal{T}_\ell) := \mathcal{P}^p(\mathcal{T}_\ell) \cap \mathcal{C}(\Gamma)$ gilt*

$$\|h_\ell^{1/2} \Psi_\ell'\|_{L^2(\Gamma)} \leq \tilde{C}_{\text{inv}} \|\Psi_\ell\|_{H^{1/2}(\Gamma)}. \quad (3.4)$$

Die Konstante $\tilde{C}_{\text{inv}} > 0$ hängt nur von p und Γ ab. \square

3.2 Residualschätzer

Wir wenden uns nun einem zuverlässigen Fehlerschätzer — dem Residualfehlerschätzer — zu.

Satz 3.5. *Für $g_\ell \in H^1(\Gamma)$ gelten*

$$R_\ell := \left(K + \frac{1}{2}\right) g_\ell - V \tilde{\Phi}_\ell \in H^1(\Gamma) \quad (3.5)$$

und

$$C_{\text{rel}}^{-1} \|\tilde{\phi}_\ell - \tilde{\Phi}_\ell\| \leq \varrho_\ell := \|h_\ell^{1/2} R_\ell'\|_{L^2(\Gamma)}, \quad (3.6)$$

d.h. ϱ_ℓ ist zuverlässig mit Bezug auf $\|\tilde{\phi}_\ell - \tilde{\Phi}_\ell\|$. Die Zuverlässigkeitskonstante C_{rel} hängt nur von Γ und $\kappa(\mathcal{T}_\ell)$ ab und ist insbesondere unabhängig von den Dirichletdaten g_ℓ .

Beweis: Da laut Voraussetzung $g_\ell \in H^1(\Gamma)$ ist, folgt $(K + \frac{1}{2})g_\ell \in H^1(\Gamma)$ laut Satz 2.28. Für $\tilde{\Phi}_\ell \in \mathcal{P}^0(\mathcal{T}_\ell) \subseteq L^2(\Gamma)$ gilt außerdem $V\tilde{\Phi}_\ell \in H^1(\Gamma)$ aufgrund der Abbildungsvorschrift aus Satz 2.24. Daraus folgt direkt $R_\ell \in H^1(\Gamma)$.

Wegen der Galerkinorthogonalität gilt mit der charakteristischen Funktion χ_T

$$0 = \langle\langle \tilde{\phi}_\ell - \tilde{\Phi}_\ell, \chi_T \rangle\rangle = \langle V(\tilde{\phi}_\ell - \tilde{\Phi}_\ell), \chi_T \rangle_\Gamma = \langle F_\ell - V\tilde{\Phi}_\ell, \chi_T \rangle_\Gamma = \langle R_\ell, \chi_T \rangle_\Gamma.$$

Da $R_\ell \in H^1(\Gamma) \subseteq \mathcal{C}(\Gamma)$ gilt, hat R_ℓ auf jedem Element T der Partition \mathcal{T}_ℓ zumindest eine Nullstelle, und Satz 3.2 kann angewendet werden

$$\begin{aligned} \|\tilde{\phi}_\ell - \tilde{\Phi}_\ell\|^2 &= \langle V(\tilde{\phi}_\ell - \tilde{\Phi}_\ell), \tilde{\phi}_\ell - \tilde{\Phi}_\ell \rangle_\Gamma = \langle R_\ell, \tilde{\phi}_\ell - \tilde{\Phi}_\ell \rangle_\Gamma \leq \|R_\ell\|_{H^{1/2}(\Gamma)} \|\tilde{\phi}_\ell - \tilde{\Phi}_\ell\|_{H^{-1/2}(\Gamma)} \\ &\lesssim \|h_\ell^{1/2} R'_\ell\|_{L^2(\Gamma)} \|\tilde{\phi}_\ell - \tilde{\Phi}_\ell\|_{H^{-1/2}(\Gamma)} \\ &\lesssim \|h_\ell^{1/2} R'_\ell\|_{L^2(\Gamma)} \|\tilde{\phi}_\ell - \tilde{\Phi}_\ell\|. \end{aligned}$$

Insgesamt erhält man also

$$\|\tilde{\phi}_\ell - \tilde{\Phi}_\ell\| \lesssim \|h_\ell^{1/2} R'_\ell\|_{L^2(\Gamma)}$$

und damit die Zuverlässigkeit des Fehlerschätzers. \square

3.3 Datenfehlerschätzer

In diesem Kapitel wird der Datenfehlerschätzer ζ_ℓ eingeführt und dessen Eigenschaften diskutiert.

Satz 3.6. *Der Datenfehlerschätzer*

$$\zeta_\ell = \|h_\ell^{1/2}(g - g_\ell)'\|_{L^2(\Gamma)} = \|h_\ell^{1/2}(1 - \Pi_\ell)g'\|_{L^2(\Gamma)} \quad (3.7)$$

erfüllt $\|\phi - \tilde{\phi}_\ell\| \leq C_{\text{data}}\zeta_\ell$. Die Konstante $C_{\text{data}} > 0$ ist nur abhängig von Γ und $\kappa(\mathcal{T}_\ell)$.

Beweis: Zunächst wird die Äquivalenz der Energienorm $\|\cdot\|$ zur $H^{1/2}(\Gamma)$ -Norm $\|V(\cdot)\|_{H^{1/2}(\Gamma)}$ gezeigt: Aus der Stetigkeit des Einfachschichtpotentials V und der Normäquivalenz zwischen der Energienorm $\|\cdot\|$ und der $H^{-1/2}(\Gamma)$ -Norm $\|\cdot\|_{H^{-1/2}(\Gamma)}$ folgt

$$\|\phi\|^2 = \langle V\phi, \phi \rangle_{H^{1/2}(\Gamma) \times H^{-1/2}(\Gamma)} \leq \|V\phi\|_{H^{1/2}(\Gamma)} \|\phi\|_{H^{-1/2}(\Gamma)} \lesssim \|V\phi\|_{H^{1/2}(\Gamma)} \|\phi\|.$$

Durch einfache Umformung erhält man

$$\|\phi\| \lesssim \|V\phi\|_{H^{1/2}(\Gamma)}.$$

Die andere Richtung wird mit denselben Argumenten wie zuvor bewiesen

$$\|V\phi\|_{H^{1/2}(\Gamma)} \leq \|V\| \|\phi\|_{H^{-1/2}(\Gamma)} \lesssim \|V\| \|\phi\|.$$

Für den Datenfehler gilt nun also

$$\begin{aligned} \|\phi - \tilde{\phi}_\ell\| &\lesssim \|V(\phi - \tilde{\phi}_\ell)\|_{H^{1/2}(\Gamma)} = \|F - F_\ell\|_{H^{1/2}(\Gamma)} = \|(K + \frac{1}{2})g - (K + \frac{1}{2})g_\ell\|_{H^{1/2}(\Gamma)} \\ &= \|(K + \frac{1}{2})(g - g_\ell)\|_{H^{1/2}(\Gamma)}. \end{aligned}$$

Aus der Stetigkeit des Doppelschichtpotentials K folgt

$$\|\phi - \tilde{\phi}_\ell\| \lesssim \|g - g_\ell\|_{H^{1/2}(\Gamma)}.$$

Die Datenapproximation $g_\ell = \mathcal{I}_\ell g$ erhält man durch Anwenden des nodalen Interpolationsoperators \mathcal{I}_ℓ . Aus der Lokalisierungseigenschaft für die nodale Interpolation aus Satz 3.2 folgt

$$\|\phi - \tilde{\phi}_\ell\| \lesssim \|h_\ell^{1/2}(g - g_\ell)'\|_{L^2(\Gamma)}.$$

Die Bogenlängenableitung der nodalen Interpolation kann durch die L^2 -Projektion auf $\mathcal{P}^0(\mathcal{T}_\ell)$ der Ableitung ersetzt werden und man erhält durch Einsetzen von Formel (3.3)

$$\|\phi - \tilde{\phi}_\ell\| \lesssim \|h_\ell^{1/2}(1 - \Pi_\ell)g'\|_{L^2(\Gamma)}$$

die Aussage des Satzes. □

3.4 Gesamtfehlerschätzer

Dieser Abschnitt beschäftigt sich mit einem Fehlerschätzer, der das Verhalten von $\|\phi - \tilde{\Phi}_\ell\|$ beschränkt, also eine Kombination aus Daten- und Verfahrensfehlerschätzer ist.

Satz 3.7. *Der Gesamtfehlerschätzer $\omega_\ell := (\varrho_\ell^2 + \zeta_\ell^2)^{1/2}$ erfüllt*

$$\|\phi - \tilde{\Phi}_\ell\| \leq \bar{C}_{\text{rel}} \omega_\ell, \quad (3.8)$$

d.h. ω_ℓ ist zuverlässig in Bezug auf $\|\phi - \tilde{\Phi}_\ell\|$. Die Zuverlässigkeitskonstante \bar{C}_{rel} hängt nur von Γ und $\kappa(\mathcal{T}_\ell)$ ab.

Beweis: Aus $(a + b)^2 \leq 2a^2 + 2b^2$ folgt

$$\|\phi - \tilde{\Phi}_\ell\|^2 \leq 2\|\phi - \tilde{\phi}_\ell\|^2 + 2\|\tilde{\phi}_\ell - \tilde{\Phi}_\ell\|^2. \quad (3.9)$$

Mit Satz 3.5 und 3.6 gilt also

$$\|\phi - \tilde{\Phi}_\ell\|^2 \leq 2C_{\text{data}}^2 \zeta_\ell^2 + 2C_{\text{rel}}^2 \varrho_\ell^2 \leq 2 \max\{C_{\text{data}}^2, C_{\text{rel}}^2\} \omega_\ell^2.$$

□

3.5 Adaptiver Algorithmus

Zunächst wird hier der verwendete adaptive Algorithmus angegeben und auf die verwendete Markierungsstrategie näher eingegangen.

Gegeben seien ein Abbruchparameter $\varepsilon > 0$ und eine Startpartition \mathcal{T}_0 .

Algorithmus 3.8. *Input: Startnetz \mathcal{T}_0 , Abbruchparameter $\varepsilon > 0$.*

(1) *Berechne diskrete Lösung $\tilde{\Phi}_\ell$.*

(2) Berechne Verfeinerungsindikatoren $\omega_\ell(T) = (\varrho_\ell(T)^2 + \zeta_\ell(T)^2)^{1/2}$ für alle $T \in \mathcal{T}_\ell$.

(3) Stoppe, falls $\omega_\ell := (\sum_{T \in \mathcal{T}_\ell} \omega_\ell(T)^2)^{1/2} \leq \varepsilon$.

(4) Bilde Menge \mathcal{M}_ℓ , der zur Verfeinerung markierten Elemente.

(5) Verfeinere mindestens die Elemente $T \in \mathcal{M}_\ell$ und erhalte $\mathcal{T}_{\ell+1}$.

(6) Erhöhe Zähler $\ell \rightarrow \ell + 1$ und gehe zu (1).

Output: Approximation $\tilde{\Phi}_\ell$ von ϕ .

Die in Schritt (4) angegebene Verfeinerungsstrategie besteht aus mehreren Teilen. Zunächst wird zur Markierung der Elemente mit „großem“ Fehler die so genannte Dörfler Markierung verwendet:

Für $\mathcal{M} \subseteq \mathcal{T}$, die Menge aller markierten Elemente, und ein fixes $\theta \in (0, 1)$ gilt

$$\theta \sum_{T \in \mathcal{T}} \omega_\ell(T)^2 \leq \sum_{T \in \mathcal{M}} \omega_\ell(T)^2. \quad (3.10)$$

Die Zuverlässigkeit des Residualschätzers ist — wie man im Beweis zu Satz 3.5 erkennen kann — abhängig von der Gültigkeit von Satz 3.2 mit einer Konstanten $\tilde{C}_{\text{apx}} < \infty$. Diese Konstante ist abhängig von $\kappa(\mathcal{T}_\ell)$. Um einen zuverlässigen Fehlerschätzer zu erhalten, muss daher die Markierungsstrategie rekursiv um eine zusätzliche Bedingung erweitert werden, damit $\kappa(\mathcal{T}_\ell) \leq \max\{\kappa(\mathcal{T}_0), C_{\text{mark}}\}$ gilt:

Sei \mathcal{M}_ℓ die Menge der markierten Elemente der Partition \mathcal{T}_ℓ und $T, T' \in \mathcal{T}_\ell$ zwei benachbarte Elemente, d.h. $\overline{T} \cap \overline{T'} \neq \emptyset$ und $T \neq T'$, mit $T' \in \mathcal{M}_\ell$ und $T \in \mathcal{T}_\ell \setminus \mathcal{M}_\ell$. $\hat{T}, \hat{T}' \in \mathcal{T}_{\ell+1}$ seien die benachbarten Söhne von T und T' , d.h. es gelte $\hat{T} \subseteq T$, $\hat{T}' \subseteq T'$ und $\overline{\hat{T}} \cap \overline{\hat{T}'} \neq \emptyset$. Außerdem bezeichnen $h_{\ell+1}(\hat{T}) := \text{diam}(\hat{T})$ und $h_{\ell+1}(\hat{T}') := \text{diam}(\hat{T}')$ die beiden lokalen Schrittweiten. Sind nun $T' \in \mathcal{M}_\ell$ und $T \in \mathcal{T}_\ell \setminus \mathcal{M}_\ell$ und gilt

$$h_{\ell+1}(\hat{T}) \geq C_{\text{mark}} h_{\ell+1}(\hat{T}') \quad (3.11)$$

so wird auch T zur Verfeinerung markiert.

Die Markierungsstrategie wird zur Veranschaulichung als Algorithmus in Pseudocode angegeben.

Algorithmus 3.9. Input: Partition \mathcal{T}_ℓ , Verfeinerungsindikatoren $\omega_\ell(T)$, Markierungsparameter C_{mark} und $\theta \in (0, 1)$

(4a) Bilde Menge \mathcal{M}_ℓ , der nach Dörfler (3.10) markierten Elemente:

Bilde Menge \mathcal{S}_ℓ aus \mathcal{T}_ℓ , der nach $\omega_\ell^2(T)$ absteigend sortierten Elemente.

Bilde Menge \mathcal{M}_ℓ , der ersten k Elemente aus \mathcal{S}_ℓ , sodass

$$\theta \sum_{T \in \mathcal{S}_\ell} \omega_\ell(T)^2 \leq \sum_{j=1}^k \omega_\ell(T_j)^2 = \sum_{T \in \mathcal{M}_\ell} \omega_\ell(T)^2$$

erfüllt ist.

(4b) Erweitere Menge \mathcal{M}_ℓ , sodass $\kappa(\mathcal{T}_\ell)$ beschränkt bleibt:

Solange Änderungen in der Menge \mathcal{M}_ℓ stattfinden.

Durchlaufe Menge \mathcal{M}_ℓ .

Falls für den Sohn \widehat{T}' eines markierten Elements T' und den Sohn \widehat{T} eines nicht markierten Nachbarn T von T' gilt $h_{\ell+1}(\widehat{T}) \geq C_{\text{mark}} h_{\ell+1}(\widehat{T}')$.

Erweitere \mathcal{M}_ℓ um T .

ende

ende

ende

Output: Menge \mathcal{M}_ℓ .

Dass diese Zusatzbedingung ausreicht, um $\kappa(\mathcal{T}_\ell) < \infty$ zu garantieren, zeigt das folgende Lemma:

Lemma 3.10. *Ist die Markierungsstrategie für eine Konstante $C_{\text{mark}} > 0$ um die Bedingung (3.11) erweitert, so gilt für alle $\ell \in \mathbb{N}$*

$$\kappa(\mathcal{T}_{\ell+1}) \leq \max\{\kappa(\mathcal{T}_\ell), C_{\text{mark}}\}. \quad (3.12)$$

Beweis: Seien $\widehat{T}, \widehat{T}' \in \mathcal{T}_{\ell+1}$ mit $\widehat{T} \cap \widehat{T}' \neq \emptyset$, d.h. \widehat{T} und \widehat{T}' sind Nachbarn in $\mathcal{T}_{\ell+1}$. O.B.d.A. gelte $\widehat{T} \neq \widehat{T}'$, da sonst $\frac{h_{\ell+1}(\widehat{T})}{h_{\ell+1}(\widehat{T}')} = 1$. Insbesondere folgt für die $T, T' \in \mathcal{T}_\ell$, die Väter von \widehat{T} und \widehat{T}' , $T \cap T' \neq \emptyset$, d.h. T und T' sind Nachbarn in \mathcal{T}_ℓ .

1. Fall: Für $T, T' \in \mathcal{T}_\ell \setminus \mathcal{M}_\ell$ gelten $h_\ell(T) = h_{\ell+1}(\widehat{T})$ und $h_\ell(T') = h_{\ell+1}(\widehat{T}')$ und somit

$$\frac{h_{\ell+1}(\widehat{T})}{h_{\ell+1}(\widehat{T}')} = \frac{h_\ell(T)}{h_\ell(T')} \leq \kappa(\mathcal{T}_\ell).$$

2. Fall: Für $T, T' \in \mathcal{M}_\ell$ gelten $\frac{1}{2}h_\ell(T) = h_{\ell+1}(\widehat{T})$ und $\frac{1}{2}h_\ell(T') = h_{\ell+1}(\widehat{T}')$ und somit

$$\frac{h_{\ell+1}(\widehat{T})}{h_{\ell+1}(\widehat{T}')} = \frac{\frac{1}{2}h_\ell(T)}{\frac{1}{2}h_\ell(T')} \leq \kappa(\mathcal{T}_\ell).$$

3. Fall: Für $T \in \mathcal{M}_\ell, T' \in \mathcal{T}_\ell \setminus \mathcal{M}_\ell$ gelten $\frac{1}{2}h_\ell(T) = h_{\ell+1}(\widehat{T})$ und $h_\ell(T') = h_{\ell+1}(\widehat{T}')$ und somit

$$\frac{h_{\ell+1}(\widehat{T})}{h_{\ell+1}(\widehat{T}')} = \frac{\frac{1}{2}h_\ell(T)}{h_\ell(T')} \leq \frac{1}{2}\kappa(\mathcal{T}_\ell).$$

4. Fall: Für $T \in \mathcal{T}_\ell \setminus \mathcal{M}_\ell, T' \in \mathcal{M}_\ell$ gelten $h_\ell(T) = h_{\ell+1}(\widehat{T})$ und $\frac{1}{2}h_\ell(T') = h_{\ell+1}(\widehat{T}')$.

In diesem Fall gilt stets $h_{\ell+1}(\widehat{T}) < C_{\text{mark}} h_{\ell+1}(\widehat{T}')$, da für $h_{\ell+1}(\widehat{T}) \geq C_{\text{mark}} h_{\ell+1}(\widehat{T}')$ die erweiterte Markierungsstrategie (3.11) greift, T ebenfalls markiert wird und Fall 2. eintritt.

Also gilt

$$\frac{h_{\ell+1}(\widehat{T})}{h_{\ell+1}(\widehat{T}')} < C_{\text{mark}}.$$

Insgesamt ist also für alle T, T' Nachbarn in \mathcal{T}_ℓ

$$\frac{h_{\ell+1}(\widehat{T})}{h_{\ell+1}(\widehat{T}')} \leq \max\{\kappa(\mathcal{T}_\ell), C_{\text{mark}}\}$$

erfüllt. Insbesondere gilt also $\kappa(\mathcal{T}_{\ell+1}) \leq \max\{\kappa(\mathcal{T}_\ell), C_{\text{mark}}\}$ und damit die Aussage des Lemmas. \square

Korollar 3.11. *Mit den Voraussetzungen aus Lemma 3.10 gilt für alle $\ell \in \mathbb{N}$*

$$\kappa(\mathcal{T}_\ell) \leq \max\{\kappa(\mathcal{T}_0), C_{\text{mark}}\}. \quad (3.13)$$

Beweis: Der Beweis erfolgt mittels Induktion:

Für $\ell = 0$ erhält man $\kappa(\mathcal{T}_1) \leq \max\{\kappa(\mathcal{T}_0), C_{\text{mark}}\}$.

Mit der Induktionsbehauptung $\kappa(\mathcal{T}_\ell) \leq \max\{\kappa(\mathcal{T}_0), C_{\text{mark}}\}$ folgt

$$\kappa(\mathcal{T}_{\ell+1}) \leq \max\{\kappa(\mathcal{T}_\ell), C_{\text{mark}}\} \leq \max\{\kappa(\mathcal{T}_0), C_{\text{mark}}\}$$

und damit die Aussage des Korollars. \square

Bemerkung 3.12. Für die Implementierung wird $C_{\text{mark}} = 2\kappa(\mathcal{T}_0)$ gewählt. $\kappa(\mathcal{T}_\ell)$ ist somit für alle $\ell \in \mathbb{N}$ beschränkt durch $2\kappa(\mathcal{T}_0)$.

3.6 Konvergenz des adaptiven Verfahrens

Die Partition \mathcal{T}_ℓ sei so, dass gelte

$$\begin{aligned} \|h_\ell^{1/2}(V\Psi_\ell)'\|_{L^2(\Gamma)} &\leq C_V \|\Psi_\ell\| \quad \text{für } \Psi_\ell \in \mathcal{P}^0(\mathcal{T}_\ell) \\ \|h_\ell^{1/2}((K + \frac{1}{2})g_\ell)'\|_{L^2(\Gamma)} &\leq C_K \|g_\ell\|_{H^{1/2}(\Gamma)} \quad \text{für } g_\ell \in \mathcal{S}^1(\mathcal{T}_\ell). \end{aligned} \quad (3.14)$$

Außerdem gelten in diesen Abschnitt folgende Bezeichnungen:

- $\zeta_\ell := \|h_\ell^{1/2}(g - g_\ell)'\|_{L^2(\Gamma)}$ ist der Datenfehlerschätzer aus Satz 3.6,
- $\varrho_\ell := \|h_\ell^{1/2}R'_\ell\|_{L^2(\Gamma)}$ ist der Verfahrensfehlerschätzer aus Satz 3.5,
- $\omega_\ell := (\varrho_\ell^2 + \zeta_\ell^2)^{1/2}$ ist der Gesamtfehlerschätzer aus Satz 3.7.

Aus theoretischen Gründen definieren wir zusätzlich den modifizierten Gesamtfehlerschätzer

- $\bar{\omega}_\ell := (\varrho_\ell^2 + \alpha\zeta_\ell^2)^{1/2}$ mit einer Konstante $\alpha > 0$.

Lemma 3.13. Verwendet man die lokalen Beiträge $\bar{\omega}_\ell(T) = (\varrho_\ell(T)^2 + \alpha\zeta_\ell(T)^2)^{1/2}$ des modifizierten Gesamtfehlerschätzers $\bar{\omega}_\ell$ im Dörfler-Marking (3.10), so gilt unter der Voraussetzung (3.14) die Schätzerreduktionsbedingung

$$\begin{aligned} \bar{\omega}_{\ell+1}^2 &\leq \kappa\bar{\omega}_\ell^2 - \alpha C_1 \|h_\ell^{1/2}(g - g_\ell)'\|_{L^2(\Gamma)}^2 \\ &\quad + (C_2 - \alpha) \|h_{\ell+1}^{1/2}(g_{\ell+1} - g_\ell)'\|_{L^2(\Gamma)}^2 + C_2 \|\tilde{\Phi}_{\ell+1} - \tilde{\Phi}_\ell\|^2. \end{aligned} \quad (3.15)$$

Die Kontraktionskonstante $\kappa \in (0, 1)$ und die Konstante $C_1 > 0$ hängen nur vom Parameter $\theta \in (0, 1)$ aus der Dörfler-Markierung (3.10), die Konstante $C_2 > 0$ nur von θ , Γ und $\kappa(\mathcal{T}_\ell)$ ab. Die drei Konstanten sind insbesondere unabhängig von $\alpha > 0$. Die Konstanten C_V und C_K aus (3.14) fließen in die Konstante C_2 ein.

Beweis: Wie bereits bei der Konstruktion des Datenfehlerschätzers gezeigt — siehe Satz 3.6 — gilt für die L^2 -Projektion Π_ℓ und die nodale Interpolation \mathcal{I}_ℓ der Zusammenhang $\Pi_\ell g' = (\mathcal{I}_\ell g)' = g'_\ell$. Der Fehlerschätzer lässt sich daher im $(\ell + 1)$ -ten Rechenschritt in der Form

$$\bar{\omega}_{\ell+1}^2 = \varrho_{\ell+1}^2 + \alpha\zeta_{\ell+1}^2 = \|h_{\ell+1}^{1/2}((K + \frac{1}{2})g_{\ell+1} - V\tilde{\Phi}_{\ell+1})'\|_{L^2(\Gamma)}^2 + \alpha \|h_{\ell+1}^{1/2}(g - g_{\ell+1})'\|_{L^2(\Gamma)}^2$$

schreiben.

Unter Verwendung der Ungleichung von Young $ab \leq \frac{a^2}{2} + \frac{b^2}{2}$, den binomischen Formeln und dem Ansatz $ab = a\sqrt{\varepsilon} \frac{b}{\sqrt{\varepsilon}}$ für ein beliebiges $\varepsilon > 0$ erhält man

$$(a+b)^2 = a^2 + 2ab + b^2 \leq a^2 + a^2\varepsilon + \frac{b^2}{\varepsilon} + b^2 = (1+\varepsilon)a^2 + (1+\varepsilon^{-1})b^2. \quad (3.16)$$

Für beliebiges $\varepsilon > 0$ folgt daraus für den Fehlerschätzer

$$\begin{aligned} \bar{\omega}_{\ell+1}^2 &\leq (1+\varepsilon) \|h_{\ell+1}^{1/2}((K + \frac{1}{2})g_\ell - V\tilde{\Phi}_\ell)'\|_{L^2(\Gamma)}^2 \\ &\quad + (1+\varepsilon^{-1}) \|h_{\ell+1}^{1/2}((K + \frac{1}{2})(g_{\ell+1} - g_\ell) - V(\tilde{\Phi}_{\ell+1} - \tilde{\Phi}_\ell))'\|_{L^2(\Gamma)}^2 \\ &\quad + \alpha \|h_{\ell+1}^{1/2}(g - g_{\ell+1})'\|_{L^2(\Gamma)}^2. \end{aligned}$$

Für die L^2 -Projektion auf $\mathcal{P}^0(\mathcal{T}_{\ell+1})$ als elementweise Bestapproximation bezüglich der L^2 -Norm gilt

$$\begin{aligned} &\|h_{\ell+1}^{1/2}(g - g_{\ell+1})'\|_{L^2(\Gamma)}^2 + \|h_{\ell+1}^{1/2}(g_{\ell+1} - g_\ell)'\|_{L^2(\Gamma)}^2 \\ &= \|h_{\ell+1}^{1/2}(1 - \Pi_{\ell+1})g'\|_{L^2(\Gamma)}^2 + \|h_{\ell+1}^{1/2}(\Pi_{\ell+1} - \Pi_\ell)g'\|_{L^2(\Gamma)}^2 \\ &= \|h_{\ell+1}^{1/2}(1 - \Pi_\ell)g'\|_{L^2(\Gamma)}^2 \\ &= \|h_{\ell+1}^{1/2}(g - g_\ell)'\|_{L^2(\Gamma)}^2 \end{aligned} \quad (3.17)$$

und damit für den Fehlerschätzer

$$\begin{aligned} \bar{\omega}_{\ell+1}^2 &\leq (1+\varepsilon) \|h_{\ell+1}^{1/2}((K + \frac{1}{2})g_\ell - V\tilde{\Phi}_\ell)'\|_{L^2(\Gamma)}^2 \\ &\quad + (1+\varepsilon^{-1}) \|h_{\ell+1}^{1/2}((K + \frac{1}{2})(g_{\ell+1} - g_\ell) - V(\tilde{\Phi}_{\ell+1} - \tilde{\Phi}_\ell))'\|_{L^2(\Gamma)}^2 \\ &\quad + \alpha \|h_{\ell+1}^{1/2}(g - g_\ell)'\|_{L^2(\Gamma)}^2 - \alpha \|h_{\ell+1}^{1/2}(g_{\ell+1} - g_\ell)'\|_{L^2(\Gamma)}^2. \end{aligned}$$

Unter Verwendung der Voraussetzung (3.14) erhält man

$$\begin{aligned} \bar{\omega}_{\ell+1}^2 &\leq (1+\varepsilon) \|h_{\ell+1}^{1/2}((K + \frac{1}{2})g_\ell - V\tilde{\Phi}_\ell)'\|_{L^2(\Gamma)}^2 \\ &\quad + 2(1+\varepsilon^{-1})C_K^2 \|g_{\ell+1} - g_\ell\|_{H^{1/2}(\Gamma)}^2 + 2(1+\varepsilon^{-1})C_V^2 \|\tilde{\Phi}_{\ell+1} - \tilde{\Phi}_\ell\|^2 \\ &\quad + \alpha \|h_{\ell+1}^{1/2}(g - g_\ell)'\|_{L^2(\Gamma)}^2 - \alpha \|h_{\ell+1}^{1/2}(g_{\ell+1} - g_\ell)'\|_{L^2(\Gamma)}^2 \\ &= (1+\varepsilon) \|h_{\ell+1}^{1/2}((K + \frac{1}{2})g_\ell - V\tilde{\Phi}_\ell)'\|_{L^2(\Gamma)}^2 + \alpha \|h_{\ell+1}^{1/2}(g - g_\ell)'\|_{L^2(\Gamma)}^2 \\ &\quad + 2(1+\varepsilon^{-1})C_K^2 \|g_{\ell+1} - g_\ell\|_{H^{1/2}(\Gamma)}^2 + 2(1+\varepsilon^{-1})C_V^2 \|\tilde{\Phi}_{\ell+1} - \tilde{\Phi}_\ell\|^2 - \alpha \|h_{\ell+1}^{1/2}(g_{\ell+1} - g_\ell)'\|_{L^2(\Gamma)}^2 \\ &= (1+\varepsilon) \left(\|h_{\ell+1}^{1/2}((K + \frac{1}{2})g_\ell - V\tilde{\Phi}_\ell)'\|_{L^2(\Gamma)}^2 + \alpha \|h_{\ell+1}^{1/2}(g - g_\ell)'\|_{L^2(\Gamma)}^2 \right) - \varepsilon \alpha \|h_{\ell+1}^{1/2}(g - g_\ell)'\|_{L^2(\Gamma)}^2 \\ &\quad + 2(1+\varepsilon^{-1})C_K^2 \|g_{\ell+1} - g_\ell\|_{H^{1/2}(\Gamma)}^2 + 2(1+\varepsilon^{-1})C_V^2 \|\tilde{\Phi}_{\ell+1} - \tilde{\Phi}_\ell\|^2 - \alpha \|h_{\ell+1}^{1/2}(g_{\ell+1} - g_\ell)'\|_{L^2(\Gamma)}^2. \end{aligned}$$

Wir betrachten nun zunächst die beiden ersten Terme

$$\begin{aligned} &\|h_{\ell+1}^{1/2}((K + \frac{1}{2})g_\ell - V\tilde{\Phi}_\ell)'\|_{L^2(\Gamma)}^2 + \alpha \|h_{\ell+1}^{1/2}(g - g_\ell)'\|_{L^2(\Gamma)}^2 \\ &= \sum_{T \in \mathcal{T}_\ell \setminus \mathcal{M}_\ell} \left(\|h_{\ell+1}^{1/2}((K + \frac{1}{2})g_\ell - V\tilde{\Phi}_\ell)'\|_{L^2(T)}^2 + \alpha \|h_{\ell+1}^{1/2}(g - g_\ell)'\|_{L^2(T)}^2 \right) \\ &\quad + \sum_{T \in \mathcal{M}_\ell} \left(\|h_{\ell+1}^{1/2}((K + \frac{1}{2})g_\ell - V\tilde{\Phi}_\ell)'\|_{L^2(T)}^2 + \alpha \|h_{\ell+1}^{1/2}(g - g_\ell)'\|_{L^2(T)}^2 \right). \end{aligned}$$

Mit $h_{\ell+1}(T) = \frac{1}{2}h_\ell(T)$ für $T \in \mathcal{M}_\ell$ und $h_{\ell+1}(T) \leq h_\ell(T)$ für $T \in \mathcal{T}_\ell \setminus \mathcal{M}_\ell$ gilt

$$\begin{aligned}
& \|h_{\ell+1}^{1/2}((K + \frac{1}{2})g_\ell - V\tilde{\Phi}_\ell)'\|_{L^2(\Gamma)}^2 + \alpha \|h_{\ell+1}^{1/2}(g - g_\ell)'\|_{L^2(\Gamma)}^2 \\
& \leq \sum_{T \in \mathcal{T}_\ell \setminus \mathcal{M}_\ell} \left(\|h_\ell^{1/2}((K + \frac{1}{2})g_\ell - V\tilde{\Phi}_\ell)'\|_{L^2(T)}^2 + \alpha \|h_\ell^{1/2}(g - g_\ell)'\|_{L^2(T)}^2 \right) \\
& \quad + \frac{1}{2} \sum_{T \in \mathcal{M}_\ell} \left(\|h_\ell^{1/2}((K + \frac{1}{2})g_\ell - V\tilde{\Phi}_\ell)'\|_{L^2(T)}^2 + \alpha \|h_\ell^{1/2}(g - g_\ell)'\|_{L^2(T)}^2 \right) \\
& = \sum_{T \in \mathcal{T}_\ell} \left(\|h_\ell^{1/2}((K + \frac{1}{2})g_\ell - V\tilde{\Phi}_\ell)'\|_{L^2(T)}^2 + \alpha \|h_\ell^{1/2}(g - g_\ell)'\|_{L^2(T)}^2 \right) \\
& \quad - \frac{1}{2} \sum_{T \in \mathcal{M}_\ell} \left(\|h_\ell^{1/2}((K + \frac{1}{2})g_\ell - V\tilde{\Phi}_\ell)'\|_{L^2(T)}^2 + \alpha \|h_\ell^{1/2}(g - g_\ell)'\|_{L^2(T)}^2 \right) \\
& = \sum_{T \in \mathcal{T}_\ell} \bar{\omega}_\ell(T)^2 - \frac{1}{2} \sum_{T \in \mathcal{M}_\ell} \bar{\omega}_\ell(T)^2.
\end{aligned}$$

Mit der Dörfler-Markierung (3.10) mit $\bar{\omega}_\ell$ und $\theta \in (0, 1)$ gilt:

$$\theta \sum_{T \in \mathcal{T}_\ell} \bar{\omega}_\ell^2(T) \leq \sum_{T \in \mathcal{M}_\ell} \bar{\omega}_\ell^2(T).$$

Einsetzen ergibt also

$$\|h_{\ell+1}^{1/2}((K + \frac{1}{2})g_\ell - V\tilde{\Phi}_\ell)'\|_{L^2(\Gamma)}^2 + \alpha \|h_{\ell+1}^{1/2}(g - g_\ell)'\|_{L^2(\Gamma)}^2 \leq \left(1 - \frac{\theta}{2}\right) \sum_{T \in \mathcal{T}_\ell} \bar{\omega}_\ell(T)^2 = \left(1 - \frac{\theta}{2}\right) \bar{\omega}_\ell^2.$$

Insgesamt gilt daher für den Fehlerschätzer

$$\begin{aligned}
\bar{\omega}_{\ell+1}^2 & \leq (1 + \varepsilon) \left(1 - \frac{\theta}{2}\right) \bar{\omega}_\ell^2 - \varepsilon \alpha \|h_{\ell+1}^{1/2}(g - g_\ell)'\|_{L^2(\Gamma)}^2 + 2(1 + \varepsilon^{-1}) C_K^2 \|g_{\ell+1} - g_\ell\|_{H^{1/2}(\Gamma)}^2 \\
& \quad + 2(1 + \varepsilon^{-1}) C_V^2 \|\tilde{\Phi}_{\ell+1} - \tilde{\Phi}_\ell\|^2 - \alpha \|h_{\ell+1}^{1/2}(g_{\ell+1} - g_\ell)'\|_{L^2(\Gamma)}^2.
\end{aligned}$$

Durch Anwenden von Korollar 3.3 um $\|g_{\ell+1} - g_\ell\|_{H^{1/2}(\Gamma)}^2$ abzuschätzen und der Bedingung $g_\ell = \mathcal{I}_\ell g_{\ell+1}$ erhält man

$$\begin{aligned}
\bar{\omega}_{\ell+1}^2 & \leq (1 + \varepsilon) \left(1 - \frac{\theta}{2}\right) \bar{\omega}_\ell^2 - \varepsilon \alpha \|h_\ell^{1/2}(g - g_\ell)'\|_{L^2(\Gamma)}^2 + 2(1 + \varepsilon^{-1}) C_K^2 \tilde{C}_{\text{apx}}^2 \|h_{\ell+1}^{1/2}(g_{\ell+1} - g_\ell)'\|_{L^2(\Gamma)}^2 \\
& \quad + 2(1 + \varepsilon^{-1}) C_V^2 \|\tilde{\Phi}_{\ell+1} - \tilde{\Phi}_\ell\|^2 - \alpha \|h_{\ell+1}^{1/2}(g_{\ell+1} - g_\ell)'\|_{L^2(\Gamma)}^2 \\
& \leq (1 + \varepsilon) \left(1 - \frac{\theta}{2}\right) \bar{\omega}_\ell^2 - \varepsilon \alpha \|h_\ell^{1/2}(g - g_\ell)'\|_{L^2(\Gamma)}^2 \\
& \quad + 2(1 + \varepsilon^{-1}) \max \{C_K^2 \tilde{C}_{\text{apx}}^2, C_V^2\} \left(\|h_{\ell+1}^{1/2}(g_{\ell+1} - g_\ell)'\|_{L^2(\Gamma)}^2 + \|\tilde{\Phi}_{\ell+1} - \tilde{\Phi}_\ell\|^2 \right) \\
& \quad - \alpha \|h_{\ell+1}^{1/2}(g_{\ell+1} - g_\ell)'\|_{L^2(\Gamma)}^2.
\end{aligned}$$

Wählt man nun $\varepsilon \in (0, 1)$, sodass $\kappa := (1 + \varepsilon)(1 - \frac{\theta}{2}) < 1$ erfüllt ist, so folgt mit $C_1 := \varepsilon$ und $C_2 := 2(1 + \varepsilon^{-1}) \max \{C_K^2 \tilde{C}_{\text{apx}}^2, C_V^2\}$ die Schätzerreduktionsaussage (3.15). \square

Satz 3.14. *Dörflermarkierung (3.10) für ω_ℓ liefert*

$$\lim_{\ell \rightarrow \infty} \|\phi - \tilde{\Phi}_\ell\| = 0 = \lim_{\ell \rightarrow \infty} \omega_\ell. \quad (3.18)$$

Beweis: 1. Schritt: Die Fehlerschätzer ω_ℓ und $\bar{\omega}_\ell$ sind äquivalent:

Es gelten

$$\bar{\omega}_\ell^2(T) = \varrho_\ell^2(T) + \alpha \zeta_\ell^2(T) \leq \max\{1, \alpha\}(\varrho_\ell^2(T) + \zeta_\ell^2(T)) = \max\{1, \alpha\}\omega_\ell^2(T)$$

und

$$\min\{1, \alpha\}\omega_\ell^2(T) = \min\{1, \alpha\}(\varrho_\ell^2(T) + \zeta_\ell^2(T)) \leq \varrho_\ell^2(T) + \alpha \zeta_\ell^2(T) = \bar{\omega}_\ell^2(T).$$

Insgesamt erhält man also

$$\min\{1, \alpha\}\omega_\ell^2(T) \leq \bar{\omega}_\ell^2(T) \leq \max\{1, \alpha\}\omega_\ell^2(T). \quad (3.19)$$

2. Schritt: Dörflermarkierung für ω_ℓ mit Parameter θ impliziert Dörflermarkierung für $\bar{\omega}_\ell$ mit Parameter $\bar{\theta} := \theta \max\{1, \alpha\}^{-1} \min\{1, \alpha\} \in (0, 1)$:

Aus der Äquivalenz der Fehlerschätzer folgt

$$\begin{aligned} \bar{\theta} \sum_{T \in \mathcal{T}_\ell} \bar{\omega}_\ell^2(T) &= \theta \max\{1, \alpha\}^{-1} \min\{1, \alpha\} \sum_{T \in \mathcal{T}_\ell} \bar{\omega}_\ell^2(T) \leq \theta \min\{1, \alpha\} \sum_{T \in \mathcal{T}_\ell} \omega_\ell^2(T) \\ &\leq \min\{1, \alpha\} \sum_{T \in \mathcal{M}_\ell} \omega_\ell^2(T) \\ &\leq \sum_{T \in \mathcal{M}_\ell} \bar{\omega}_\ell^2(T). \end{aligned} \quad (3.20)$$

Es sei an dieser Stelle angemerkt, dass wir den Parameter $\alpha > 0$ weiter unten im Beweis fixieren werden. 3. Schritt: Für ein geeignetes $\alpha > 0$ impliziert Dörflermarkierung für $\bar{\omega}_\ell$ eine Kontraktionsbedingung für $\bar{W}_\ell := \gamma \bar{\omega}_\ell^2 + \|\phi - \Phi_\ell\|^2$ mit einem geeigneten $\gamma > 0$, also die Existenz einer Kontraktionskonstanten $\bar{\kappa} \in (0, 1)$, sodass $\bar{W}_{\ell+1} \leq \bar{\kappa} \bar{W}_\ell$ gilt:

Unter Verwendung von Lemma 3.13 und Ausnützung der Galerkinorthogonalität von $\Phi_{\ell+1}$ erhält man

$$\begin{aligned} \bar{W}_{\ell+1} &= \gamma \bar{\omega}_{\ell+1}^2 + \|\phi - \Phi_{\ell+1}\|^2 \\ &\leq \gamma \left[\kappa \bar{\omega}_\ell^2 - \alpha C_1 \|h_\ell^{1/2}(g - g_\ell)'\|_{L_2(\Gamma)}^2 + (C_2 - \alpha) \|h_{\ell+1}^{1/2}(g_{\ell+1} - g_\ell)'\|_{L_2(\Gamma)}^2 \right. \\ &\quad \left. + C_2 \|\tilde{\Phi}_{\ell+1} - \tilde{\Phi}_\ell\|^2 \right] + \|\phi - \Phi_\ell\|^2 - \|\Phi_{\ell+1} - \Phi_\ell\|^2. \end{aligned}$$

Der Term $\|\tilde{\Phi}_{\ell+1} - \tilde{\Phi}_\ell\|^2$ kann aufgrund der Stetigkeit der Galerkinprojektionen \mathbb{G}_ℓ und $\mathbb{G}_{\ell+1}$ nach oben abgeschätzt werden durch

$$\begin{aligned} \|\tilde{\Phi}_{\ell+1} - \tilde{\Phi}_\ell\|^2 &\leq 2\|\tilde{\Phi}_{\ell+1} - \tilde{\Phi}_\ell - \Phi_{\ell+1} + \Phi_\ell\|^2 + 2\|\Phi_{\ell+1} - \Phi_\ell\|^2 \\ &= 2\|(\tilde{\Phi}_{\ell+1} - \Phi_{\ell+1}) - (\tilde{\Phi}_\ell - \Phi_\ell)\|^2 + 2\|\Phi_{\ell+1} - \Phi_\ell\|^2 \\ &\leq 4\|\tilde{\Phi}_{\ell+1} - \Phi_{\ell+1}\|^2 + 4\|\tilde{\Phi}_\ell - \Phi_\ell\|^2 + 2\|\Phi_{\ell+1} - \Phi_\ell\|^2 \\ &\leq 4\|\tilde{\phi}_{\ell+1} - \phi\|^2 + 4\|\tilde{\phi}_\ell - \phi\|^2 + 2\|\Phi_{\ell+1} - \Phi_\ell\|^2. \end{aligned}$$

Nach Satz 3.6, der eine Abschätzung für Datenfehler garantiert, gilt damit

$$\|\tilde{\Phi}_{\ell+1} - \tilde{\Phi}_\ell\|^2 \leq C_{\text{data}} \|h_{\ell+1}^{1/2}(g - g_{\ell+1})'\|_{L_2(\Gamma)}^2 + C_{\text{data}} \|h_\ell^{1/2}(g - g_\ell)'\|_{L_2(\Gamma)}^2 + 2\|\Phi_{\ell+1} - \Phi_\ell\|^2.$$

Die Konstante C_{data} ist nur abhängig von Γ und $\kappa(\mathcal{T}_\ell)$.

Durch Einsetzen erhält man

$$\begin{aligned} \overline{W}_{\ell+1} &\leq \gamma\kappa\overline{\omega}_\ell^2 - \gamma\alpha C_1 \|h_\ell^{1/2}(g - g_\ell)'\|_{L_2(\Gamma)}^2 + \gamma(C_2 - \alpha) \|h_{\ell+1}^{1/2}(g_{\ell+1} - g_\ell)'\|_{L_2(\Gamma)}^2 \\ &\quad + \gamma C_2 C_{\text{data}} \|h_{\ell+1}^{1/2}(g - g_{\ell+1})'\|_{L_2(\Gamma)}^2 + \gamma C_2 C_{\text{data}} \|h_\ell^{1/2}(g - g_\ell)'\|_{L_2(\Gamma)}^2 + 2\gamma C_2 \|\Phi_{\ell+1} - \Phi_\ell\|^2 \\ &\quad + \|\phi - \Phi_\ell\|^2 - \|\Phi_{\ell+1} - \Phi_\ell\|^2. \end{aligned}$$

Durch Ausnutzen der elementweisen Bestapproximationseigenschaft der L^2 -Projektion und der Gültigkeit von $h_{\ell+1} \leq h_\ell$ ergibt sich

$$\|h_{\ell+1}^{1/2}(g - g_{\ell+1})'\|_{L_2(\Gamma)}^2 \leq \|h_{\ell+1}^{1/2}(g - g_\ell)'\|_{L_2(\Gamma)}^2 \leq \|h_\ell^{1/2}(g - g_\ell)'\|_{L_2(\Gamma)}^2.$$

Zusammenfassen und die obige Abschätzung führen zu

$$\begin{aligned} \overline{W}_{\ell+1} &\leq \gamma\kappa\overline{\omega}_\ell^2 + \gamma(C_2 - \alpha) \|h_{\ell+1}^{1/2}(g_{\ell+1} - g_\ell)'\|_{L_2(\Gamma)}^2 + \gamma(2C_2 C_{\text{data}} - \alpha C_1) \|h_\ell^{1/2}(g - g_\ell)'\|_{L_2(\Gamma)}^2 \\ &\quad + (2\gamma C_2 - 1) \|\Phi_{\ell+1} - \Phi_\ell\|^2 + \|\phi - \Phi_\ell\|^2. \end{aligned}$$

Wir fixieren nun die Konstanten $\alpha > 0$ und $\gamma > 0$:

- Wir wählen $\alpha > 0$ groß genug, sodass $C_2 \leq \alpha$ und $2C_2 C_{\text{data}} \leq \alpha C_1$.
- Ferner wählen wir $\gamma > 0$ klein genug, sodass $2\gamma C_2 \leq 1$.

Dann folgt für alle $\beta > 0$

$$\overline{W}_{\ell+1} \leq \gamma\kappa\overline{\omega}_\ell^2 + \|\phi - \Phi_\ell\|^2 = \gamma(\kappa + \beta)\overline{\omega}_\ell^2 + \|\phi - \Phi_\ell\|^2 - \gamma\beta\overline{\omega}_\ell^2.$$

Der Gesamtfehlerschätzer $\overline{\omega}_\ell$ ist zuverlässig für $\|\phi - \Phi_\ell\|$ mit Zuverlässigkeitskonstante $\overline{C}_{\text{rel}} := (C_{\text{rel}} + C_{\text{data}})(\min\{1, \alpha\})^{-1/2}$.

Aus der Zuverlässigkeit von ω_ℓ für $\|\phi - \tilde{\Phi}_\ell\|$, der Abschätzung für den Datenfehler aus Satz 3.6 und der Stetigkeit der Galerkinprojektion folgt nämlich

$$\begin{aligned} \|\phi - \Phi_\ell\| &\leq \|\phi - \tilde{\Phi}_\ell\| + \|\tilde{\Phi}_\ell - \Phi_\ell\| \leq C_{\text{rel}}\omega_\ell + \|\tilde{\phi}_\ell - \phi\| \leq C_{\text{rel}}\omega_\ell + C_{\text{data}}\zeta_\ell \\ &\leq C_{\text{rel}}\omega_\ell + C_{\text{data}}\omega_\ell \\ &= (C_{\text{rel}} + C_{\text{data}})\omega_\ell \\ &\leq (C_{\text{rel}} + C_{\text{data}})(\min\{1, \alpha\})^{-1/2}\overline{\omega}_\ell. \end{aligned} \tag{3.21}$$

Deshalb folgt

$$\overline{W}_{\ell+1} \leq \gamma(\kappa + \beta)\overline{\omega}_\ell^2 + (1 - \overline{C}_{\text{rel}}^{-2}\gamma\beta) \|\phi - \Phi_\ell\|^2 \leq \max\{\kappa + \beta, 1 - \overline{C}_{\text{rel}}^{-2}\gamma\beta\} (\gamma\overline{\omega}_\ell^2 + \|\phi - \Phi_\ell\|^2).$$

Wählt man nun β klein genug, sodass $\kappa + \beta < 1$ und $\gamma\beta\overline{C}_{\text{rel}}^{-2} < 1$, so erhält man die gewünschte Reduktionsbedingung $\overline{W}_{\ell+1} \leq \overline{\kappa}\overline{W}_\ell$ mit $\overline{\kappa} := \max\{\kappa + \beta, 1 - \overline{C}_{\text{rel}}^{-2}\gamma\beta\} \in (0, 1)$.

4.Schritt: Die Kontraktionsbedingung $\overline{W}_{\ell+1} \leq \overline{\kappa}\overline{W}_\ell$ impliziert die Konvergenz des adaptiven Verfahrens:

Aufgrund der Reduktionsbedingung für \overline{W}_ℓ gilt $\lim_{\ell \rightarrow \infty} \overline{W}_\ell = 0$. Daher muss auch jeder der beiden positiven Summanden von \overline{W}_ℓ gegen 0 gehen. Insbesondere gilt also $\lim_{\ell \rightarrow \infty} \overline{\omega}_\ell = 0$. Wegen der Äquivalenz der Fehlerschätzer erfüllt auch ω_ℓ die Bedingung $\lim_{\ell \rightarrow \infty} \omega_\ell = 0$. Aus der Zuverlässigkeit des Gesamtfehlerschätzers aus Satz 3.7 folgt schließlich die Konvergenz des adaptiven Verfahrens. \square

Bemerkung 3.15. Die Voraussetzungen (3.14) führen auf das Lösen eines Eigenwertproblems. Dies wird hier exemplarisch für die erste Gleichung durchgeführt. Ausgehend von

$$\|h_\ell^{1/2}(V\Psi_\ell)'\|_{L^2(\Gamma)}^2 \leq C_V^2 \|\Psi_\ell\|^2$$

erhält man

$$\lambda := C_V^2 = \max_{\Psi_\ell \in \mathcal{P}^0(\mathcal{T}_\ell)} \frac{\|h_\ell^{1/2}(V\Psi_\ell)'\|_{L^2(\Gamma)}^2}{\|\Psi_\ell\|^2}.$$

Wegen $\Psi_\ell \in \mathcal{P}^0(\mathcal{T}_\ell)$ existiert eine Darstellung $\Psi_\ell = \sum_{k=1}^N x_k \chi_k$, wobei $\mathcal{T}_\ell = \{T_1, \dots, T_N\}$ gilt und χ_k die charakteristische Funktion des Elements T_k bezeichnet. Mit $A_{ij} := \langle V\chi_i, \chi_j \rangle$ und $B_{ij} := \langle h_\ell^{1/2}(V\chi_i)', h_\ell^{1/2}(V\chi_j)' \rangle$ ist

$$\|\Psi_\ell\|^2 = x \cdot Ax \quad \text{und} \quad \|h_\ell^{1/2}(V\Psi_\ell)'\|_{L^2(\Gamma)}^2 = x \cdot Bx.$$

Zu Lösen ist also das verallgemeinerte Eigenwertproblem

$$\lambda = \max_{x \in \mathbb{R}^N \setminus \{0\}} \frac{x \cdot Bx}{x \cdot Ax},$$

das sich wie folgt auf ein gewöhnliches Eigenwertproblem zurückführen lässt. Da A eine symmetrische und positiv definite Matrix ist, existiert ihre Cholesky-Zerlegung und Ax lässt sich in der Form $Ax = (LL^T)x$ schreiben. Setzt man $y := L^T x$ und $M := L^{-1}BL^{-T}$, so folgt

$$\lambda = \max_{y \in \mathbb{R}^N \setminus \{0\}} \frac{(L^{-T}y) \cdot B(L^{-T}y)}{\|y\|_2^2} = \max_{y \in \mathbb{R}^N \setminus \{0\}} \frac{y \cdot (L^{-1}BL^{-T})y}{\|y\|_2^2} = \max_{y \in \mathbb{R}^N \setminus \{0\}} \frac{y \cdot My}{\|y\|_2^2}.$$

Die Matrix M ist symmetrisch und positiv semidefinit. Aus der Symmetrie von M folgt, dass der maximale Eigenwert $\lambda = \lambda_{\max}$ von M gesucht wird.

Bemerkung 3.16. Wir betrachten nun die Voraussetzungen (3.14) für quasiuniforme Gitter, d.h für alle $\ell \in \mathbb{N}$ existieren Konstanten $h_{\ell, \min}, h_{\ell, \max} > 0$, sodass für alle $T \in \mathcal{T}_\ell$ gilt $h_{\ell, \min} \leq h_\ell(T) \leq h_{\ell, \max}$ und $\sup_\ell \frac{h_{\ell, \max}}{h_{\ell, \min}} =: H < \infty$. Für die erste Ungleichung aus (3.14) folgt aufgrund der Stetigkeit des Einfachschichtpotentials $V \in L(L^2(\Gamma), H^1(\Gamma))$ — siehe Satz 2.24 —

$$\begin{aligned} \|h_\ell^{1/2}(V\Psi_\ell)'\|_{L^2(\Gamma)}^2 &\leq h_{\ell, \max} \|(V\Psi_\ell)'\|_{L^2(\Gamma)}^2 \leq h_{\ell, \max} \|V\Psi_\ell\|_{H^1(\Gamma)}^2 \leq C_3 h_{\ell, \max} \|\Psi_\ell\|_{L^2(\Gamma)}^2 \\ &\leq C_3 H h_{\ell, \min} \|\Psi_\ell\|_{L^2(\Gamma)}^2. \end{aligned}$$

Mit der inversen Abschätzung aus Satz 4.2 erhält man also

$$h_{\ell, \min} \|\Psi_\ell\|_{L^2(\Gamma)}^2 \leq \|h_\ell^{1/2}(V\Psi_\ell)'\|_{L^2(\Gamma)}^2 \leq C_{\text{inv}}^2 C_3 \|\Psi_\ell\|^2.$$

Die Konstanten $C_3 := \|V : L^2(\Gamma) \rightarrow H^1(\Gamma)\|^2$ und C_{inv} sind nur abhängig von Γ und $\kappa(\mathcal{T}_\ell)$.

Wir betrachten nun die zweite Ungleichung von (3.14). Aus der Stetigkeit von $K + \frac{1}{2} \in L(H^1(\Gamma), H^1(\Gamma))$ mit einer Konstanten C_4 folgt

$$\begin{aligned} \|h_\ell^{1/2}((K + \frac{1}{2})g_\ell)'\|_{L^2(\Gamma)}^2 &\leq h_{\ell, \max} \|((K + \frac{1}{2})g_\ell)'\|_{L^2(\Gamma)}^2 \leq h_{\ell, \max} \|(K + \frac{1}{2})g_\ell\|_{H^1(\Gamma)}^2 \\ &\leq C_4^2 h_{\ell, \max} \|g_\ell\|_{H^1(\Gamma)}^2. \end{aligned}$$

Aufgrund der inversen Abschätzung in Satz 3.4 und der Stetigkeit der Einbettung $H^{1/2}(\Gamma) \subseteq L^2(\Gamma)$ mit einer Konstanten C_5 gilt

$$\begin{aligned} \|g_\ell\|_{H^1(\Gamma)}^2 &\leq \|g_\ell\|_{L^2(\Gamma)}^2 + \|g'_\ell\|_{L^2(\Gamma)}^2 \leq \|g_\ell\|_{L^2(\Gamma)}^2 + h_{\ell,\min}^{-1/2} \|h_\ell^{1/2} g'_\ell\|_{L^2(\Gamma)}^2 \\ &\leq C_5^2 \|g_\ell\|_{H^{1/2}(\Gamma)}^2 + \tilde{C}_{\text{inv}}^2 h_{\ell,\min}^{-1/2} \|g_\ell\|_{H^{1/2}(\Gamma)}^2 \\ &\leq (C_5^2 + \tilde{C}_{\text{inv}}^2 h_{\ell,\min}^{-1}) \|g_\ell\|_{H^{1/2}(\Gamma)}^2. \end{aligned}$$

Einsetzen ergibt

$$\|h_\ell^{1/2} ((K + \frac{1}{2})g_\ell)'\|_{L^2(\Gamma)}^2 \leq C_4^2 (h_{\ell,\max} C_5^2 + H \tilde{C}_{\text{inv}}^2) \|g_\ell\|_{H^{1/2}(\Gamma)}^2 \leq C_4^2 (|\Gamma| C_3 + H \tilde{C}_{\text{inv}}^2) \|g_\ell\|_{H^{1/2}(\Gamma)}^2.$$

Die Konstanten $C_4 := \|(K + \frac{1}{2}) : H^1(\Gamma) \rightarrow H^1(\Gamma)\|$, C_5 und \tilde{C}_{inv} hängen nur von Γ und $\kappa(\mathcal{T}_\ell)$ ab.

Bemerkung 3.17. Im Fall von nichtgestörter rechter Seite $g = g_\ell$ folgt aus Satz 3.14 insbesondere die Konvergenz des adaptiven Algorithmus. Der Beweis zeigt dann, dass $\overline{W}_\ell := \gamma \varrho_\ell^2 + \|\phi - \Phi_\ell\|^2$ für geeignetes $\gamma > 0$ kontrahiert, d.h es existiert eine Konstante $\overline{\kappa} \in (0, 1)$ mit $\overline{W}_{\ell+1} \leq \overline{\kappa} \overline{W}_\ell$, und insbesondere folgt $\lim_{\ell \rightarrow \infty} \varrho_\ell = 0 = \lim_{\ell \rightarrow \infty} \|\phi - \Phi_\ell\|$.

Kapitel 4

Adaptiver Algorithmus mit $h - h/2$ - Fehlerschätzer

In diesem Abschnitt werden zunächst der a posteriori Fehlerschätzer η_ℓ , der den Fehler in der Energienorm $\|\cdot\|$ misst, und dessen Eigenschaften angeführt. η_ℓ ist ein so genannter $h - h/2$ -Fehlerschätzer, verwendet also zwei Partitionen \mathcal{T}_ℓ und $\widehat{\mathcal{T}}_\ell$, wobei $\widehat{\mathcal{T}}_\ell$ aus \mathcal{T}_ℓ durch uniforme Verfeinerung entsteht. Mittels Lokalisierungstechniken lassen sich auch Fehlerschätzer in der L^2 -Norm entwickeln, die äquivalent zu η_ℓ sind.

Ein adaptiver Algorithmus, der mit einem aus einem $h - h/2$ -Schätzer und dem Datenfehlerschätzer aus Satz 3.6 bestehenden Gesamtfehlerschätzer gesteuert wird, wird angegeben.

Seien im Folgenden

- $\phi \in H^{-1/2}(\Gamma)$ die kontinuierliche Lösung von $V\phi = (K + \frac{1}{2})g =: F \in H^{1/2}(\Gamma)$
- $\tilde{\phi}_\ell \in H^{-1/2}(\Gamma)$ die kontinuierliche Lösung von $V\tilde{\phi}_\ell = (K + \frac{1}{2})g_\ell =: F_\ell \in H^{1/2}(\Gamma)$
- Φ_ℓ die Galerkinlösung zu ϕ in $X_\ell := \mathcal{P}^0(\mathcal{T}_\ell)$
- $\tilde{\Phi}_\ell$ die Galerkinlösung zu $\tilde{\phi}_\ell$ in X_ℓ
- $\widehat{\Phi}_\ell$ die Galerkinlösung zu ϕ in $\widehat{X}_\ell := \mathcal{P}^0(\widehat{\mathcal{T}}_\ell)$
- $\widehat{\tilde{\Phi}}_\ell$ die Galerkinlösung zu $\tilde{\phi}_\ell$ in \widehat{X}_ℓ .

Man nennt einen Fehlerschätzer η effizient im Bezug auf $\|\phi - \Phi_\ell\|$, wenn für eine Konstante $C_{\text{eff}} > 0$ gilt

$$\eta \leq C_{\text{eff}} \|\phi - \Phi_\ell\|.$$

Die Zuverlässigkeit der $h - h/2$ -Fehlerschätzer für das ungestörte Problem ist nur unter der Saturationsannahme $\|\phi - \widehat{\Phi}_\ell\| \leq C_{\text{sat}} \|\phi - \Phi_\ell\|$ für $C_{\text{sat}} \in (0, 1)$ gegeben. Auch auf die Saturationsannahme für das gestörte Problem wird näher eingegangen.

4.1 Lokalisierungstechniken für $H^{-1/2}(\Gamma)$

Dieses Kapitel beschreibt den Übergang von der Energienorm zu lokalen Normen um im Weiteren lokale Fehlerschätzer entwickeln zu können.

Der folgende Satz beschreibt die Approximationseigenschaft der L^2 -Projektion. Eine Formulierung des Satzes für beliebige Normen $\|\cdot\|_{H^{-\alpha}}$ und ausführlichem Beweis lässt sich in CARSTENSEN/PRAETORIUS 2006 [9] finden. Für uns ist die Aussage für $\alpha = 1/2$ ausreichend:

Satz 4.1. (CARSTENSEN/PRAETORIUS 2006 [9, Lemma 4.3]). *Ist Π_ℓ die L^2 -Projektion auf $\mathcal{P}^0(\mathcal{T}_\ell)$ und $v \in L^2(\Gamma)$, so gilt*

$$\|v - \Pi_\ell v\| \leq C_{\text{apx}} \|h_\ell^{1/2}(v - \Pi_\ell v)\|_{L^2(\Gamma)} \leq C_{\text{apx}} \|h_\ell^{1/2}v\|_{L^2(\Gamma)}. \quad (4.1)$$

Die Konstante $C_{\text{apx}} > 0$ hängt hierbei nur von Γ , nicht aber von der Partition \mathcal{T}_ℓ ab. \square

Für diskrete Funktionen ist es auch möglich die L^2 -Norm durch die Energienorm abzuschätzen. Der folgende Satz stammt aus GRAHAM/HACKBUSCH/SAUTER 2005, wurde aber an die Notation dieser Arbeit angepasst und hier nur für einen speziellen Fall formuliert.

Satz 4.2. (GRAHAM/HACKBUSCH/SAUTER 2005 [13, Theorem 3.6]). *Für eine diskrete Funktion $\Psi_\ell \in \mathcal{P}^0(\mathcal{T}_\ell)$ gilt die inverse Abschätzung*

$$\|h_\ell^{1/2}\Psi_\ell\|_{L^2(\Gamma)} \leq C_{\text{inv}} \|\Psi_\ell\|. \quad (4.2)$$

Die Konstante $C_{\text{inv}} > 0$ hängt nur von Γ und $\kappa(\mathcal{T}_\ell)$ ab. \square

4.2 $h - h/2$ -Fehlerschätzer für ungestörtes Galerkinverfahren

Wir betrachten zunächst den Fehler $\|\phi - \Phi_\ell\|$ zwischen der diskreten und kontinuierlichen Lösung der ungestörten Symmschen Integralgleichung und entsprechende $h - h/2$ -Fehlerschätzer.

Satz 4.3. (FERRAZ-LEITE /PRAETORIUS 2007 [12, Proposition 1.1]). *Der Fehlerschätzer*

$$\eta_\ell := \|\Phi_\ell - \widehat{\Phi}_\ell\| \quad (4.3)$$

ist effizient für $\|\phi - \Phi_\ell\|$ mit $C_{\text{eff}} = 1$. Unter der Saturationsannahme mit $C_{\text{sat}} \in (0, 1)$

$$\|\phi - \widehat{\Phi}_\ell\| \leq C_{\text{sat}} \|\phi - \Phi_\ell\| \quad (4.4)$$

ist η_ℓ auch zuverlässig in Bezug auf $\|\phi - \Phi_\ell\|$ mit $C_{\text{rel}} = 1/\sqrt{1 - C_{\text{sat}}^2}$.

Beweis: Für die endlichdimensionalen Räume X_ℓ und \widehat{X}_ℓ gilt $X_\ell \subseteq \widehat{X}_\ell$. Daher ist $\Phi_\ell - \widehat{\Phi}_\ell \in \widehat{X}_\ell$. Durch Anwenden des Satzes von Pythagoras, was aufgrund der Galerkinorthogonalität für $\phi - \widehat{\Phi}_\ell$ erlaubt ist, erhält man

$$\|\phi - \Phi_\ell\|^2 = \|\phi - \widehat{\Phi}_\ell\|^2 + \|\widehat{\Phi}_\ell - \Phi_\ell\|^2 = \|\phi - \widehat{\Phi}_\ell\|^2 + \eta_\ell^2$$

und somit die Effizienz von η_ℓ mit $C_{\text{eff}} = 1$:

$$\eta_\ell \leq \|\phi - \Phi_\ell\|.$$

Mit derselben Argumentation wie zuvor und dem Anwenden der Saturationsannahme gilt

$$\|\phi - \Phi_\ell\|^2 = \|\phi - \widehat{\Phi}_\ell\|^2 + \|\widehat{\Phi}_\ell - \Phi_\ell\|^2 \leq C_{\text{sat}}^2 \|\phi - \Phi_\ell\|^2 + \eta_\ell^2.$$

Durch Umformen erhält man die Zuverlässigkeit von η_ℓ mit $C_{\text{rel}} = 1/\sqrt{1 - C_{\text{sat}}^2}$

$$\|\phi - \Phi_\ell\| \leq \frac{1}{\sqrt{1 - C_{\text{sat}}^2}} \eta_\ell$$

und damit die Aussage des Satzes. \square

Wie bereits zuvor erwähnt, ist die Energienorm nicht lokal und man versucht daher einen Fehlerschätzer in der L^2 -Norm mit denselben Eigenschaften wie η_ℓ zu finden.

Definition 4.4. Sei $\Pi_\ell : L^2(\Gamma) \rightarrow \mathcal{P}^0(\mathcal{T}_\ell)$ die L^2 -Projektion auf $\mathcal{P}^0(\mathcal{T}_\ell)$. Wir definieren den Fehlerschätzer

$$\mu_\ell := \|h_\ell^{1/2}(\widehat{\Phi}_\ell - \Phi_\ell)\|_{L^2(\Gamma)}. \quad (4.5)$$

Satz 4.5. (FERRAZ-LEITE/PRAETORIUS 2007 [12, Theorem 3.2 und Theorem 3.4]).

Die Fehlerschätzer μ_ℓ und η_ℓ sind äquivalent, d.h

$$(\sqrt{2}C_{\text{inv}})^{-1} \mu_\ell \leq \eta_\ell \leq C_{\text{apx}} \mu_\ell. \quad (4.6)$$

Beweis: \mathbb{G}_ℓ bezeichne die Galerkinprojektion auf $\mathcal{P}^0(\mathcal{T}_\ell)$.

$\widehat{\mathcal{T}}_\ell$ entsteht aus \mathcal{T}_ℓ durch uniforme Verfeinerung, d.h $\mathcal{P}^0(\mathcal{T}_\ell) \subset \mathcal{P}^0(\widehat{\mathcal{T}}_\ell)$ und somit ist

$$\mathbb{G}_\ell \widehat{\Phi}_\ell = \Phi_\ell. \quad (4.7)$$

Gleichung (4.7) und die Bestapproximationseigenschaft der Galerkinprojektion liefern

$$\eta_\ell = \|\widehat{\Phi}_\ell - \Phi_\ell\| = \|\widehat{\Phi}_\ell - \mathbb{G}_\ell \widehat{\Phi}_\ell\| \leq \|\widehat{\Phi}_\ell - \Pi_\ell \widehat{\Phi}_\ell\|.$$

Mittels der Approximationseigenschaft für die L^2 -Projektion aus Satz 4.1 folgt:

$$\eta_\ell \leq C_{\text{apx}} \|h_\ell^{1/2}(\widehat{\Phi}_\ell - \Pi_\ell \widehat{\Phi}_\ell)\|_{L^2(\Gamma)}.$$

Die L^2 -Projektion Π_ℓ erfüllt elementweise die Bestapproximationseigenschaft

$$\|\widehat{\Phi}_\ell - \Pi_\ell \widehat{\Phi}_\ell\|_{L^2(T)} \leq C_{\text{apx}} \|\widehat{\Phi}_\ell - \mathbb{G}_\ell \widehat{\Phi}_\ell\|_{L^2(T)},$$

und damit folgt durch Summation über alle Elemente $T \in \mathcal{T}_\ell$

$$\eta_\ell \leq C_{\text{apx}} \|h_\ell^{1/2}(\widehat{\Phi}_\ell - \mathbb{G}_\ell \widehat{\Phi}_\ell)\|_{L^2(\Gamma)} = C_{\text{apx}} \|h_\ell^{1/2}(\widehat{\Phi}_\ell - \Phi_\ell)\|_{L^2(\Gamma)} = C_{\text{apx}} \mu_\ell.$$

Nun fehlt noch zu zeigen, dass $\mu_\ell \lesssim \eta_\ell$ gilt. Direkt aus der inversen Abschätzung in Satz 4.2 folgt

$$\begin{aligned} \mu_\ell &= \|h_\ell^{1/2}(\widehat{\Phi}_\ell - \Phi_\ell)\|_{L^2(\Gamma)} = \sqrt{2} \|(h_\ell/2)^{1/2}(\widehat{\Phi}_\ell - \mathbb{G}_\ell \widehat{\Phi}_\ell)\|_{L^2(\Gamma)} \leq \sqrt{2} C_{\text{inv}} \|\widehat{\Phi}_\ell - \Phi_\ell\| \\ &= \sqrt{2} C_{\text{inv}} \eta_\ell \end{aligned}$$

und somit die Äquivalenz der Fehlerschätzer. \square

Korollar 4.6. Der $h - h/2$ -Fehlerschätzer μ_ℓ ist effizient und unter der Saturationsannahme $\|\phi - \widehat{\Phi}_\ell\| \leq C_{\text{sat}} \|\phi - \Phi_\ell\|$ zuverlässig mit Bezug auf $\|\phi - \Phi_\ell\|$. \square

4.3 Saturationsannahme

Satz 4.7. *Aus der Saturationsannahme für das ungestörte Problem $\|\phi - \widehat{\Phi}_\ell\| \leq C_{\text{sat}} \|\phi - \Phi_\ell\|$ mit $C_{\text{sat}} \in (0, 1)$ und der Abschätzung $\|\phi - \widetilde{\phi}_\ell\| \leq \lambda \|\phi - \Phi_\ell\|$ für ein geeignetes $\lambda > 0$, folgt*

$$\|\widetilde{\phi}_\ell - \widehat{\Phi}_\ell\| \leq \widetilde{C}_{\text{sat}} \|\widetilde{\phi}_\ell - \Phi_\ell\| \quad (4.8)$$

mit $\widetilde{C}_{\text{sat}} := C_{\text{sat}} + 2\frac{\lambda}{1-\lambda}(1 + C_{\text{sat}}) < 1$.

Beweis: Durch Anwenden der Dreiecksungleichung und der Saturationsannahme erhält man

$$\begin{aligned} \|\widetilde{\phi}_\ell - \widehat{\Phi}_\ell\| &\leq \|\widetilde{\phi}_\ell - \phi\| + \|\phi - \widehat{\Phi}_\ell\| + \|\widehat{\Phi}_\ell - \widetilde{\Phi}_\ell\| \\ &\leq \|\phi - \widetilde{\phi}_\ell\| + C_{\text{sat}} \|\phi - \Phi_\ell\| + \|\widehat{\Phi}_\ell - \widetilde{\Phi}_\ell\|. \end{aligned}$$

Wegen der Stetigkeit der Galerkinprojektion und der Dreiecksungleichung gilt

$$\begin{aligned} \|\widetilde{\phi}_\ell - \widehat{\Phi}_\ell\| &\leq \|\phi - \widetilde{\phi}_\ell\| + C_{\text{sat}} (\|\phi - \widetilde{\phi}_\ell\| + \|\widetilde{\phi}_\ell - \widetilde{\Phi}_\ell\| + \|\widetilde{\Phi}_\ell - \Phi_\ell\|) + \|\widehat{\Phi}_\ell - \widetilde{\Phi}_\ell\| \\ &\leq \|\phi - \widetilde{\phi}_\ell\| + C_{\text{sat}} (\|\phi - \widetilde{\phi}_\ell\| + \|\widetilde{\phi}_\ell - \widetilde{\Phi}_\ell\| + \|\widetilde{\phi}_\ell - \phi\|) + \|\phi - \widetilde{\phi}_\ell\| \\ &= C_{\text{sat}} \|\widetilde{\phi}_\ell - \widetilde{\Phi}_\ell\| + 2(1 + C_{\text{sat}}) \|\phi - \widetilde{\phi}_\ell\|. \end{aligned} \quad (4.9)$$

Durch Anwenden der Dreiecksungleichung, der Voraussetzung an den Datenfehler und der Bestapproximationseigenschaft der Galerkinprojektion folgt für den Datenfehler

$$\|\phi - \widetilde{\phi}_\ell\| \leq \lambda \|\phi - \Phi_\ell\| \leq \lambda \|\phi - \widetilde{\Phi}_\ell\| \leq \lambda \|\phi - \widetilde{\phi}_\ell\| + \lambda \|\widetilde{\phi}_\ell - \widetilde{\Phi}_\ell\|.$$

Umformung führt zu

$$\|\phi - \widetilde{\phi}_\ell\| \leq \frac{\lambda}{1-\lambda} \|\widetilde{\phi}_\ell - \widetilde{\Phi}_\ell\|.$$

Einsetzen dieser Bedingung in Formel (4.9) liefert

$$\begin{aligned} \|\widetilde{\phi}_\ell - \widehat{\Phi}_\ell\| &\leq C_{\text{sat}} \|\widetilde{\phi}_\ell - \widetilde{\Phi}_\ell\| + 2\frac{\lambda}{1-\lambda}(1 + C_{\text{sat}}) \|\widetilde{\phi}_\ell - \widetilde{\Phi}_\ell\| = (C_{\text{sat}} + 2\frac{\lambda}{1-\lambda}(1 + C_{\text{sat}})) \|\widetilde{\phi}_\ell - \widetilde{\Phi}_\ell\| \\ &= \widetilde{C}_{\text{sat}} \|\widetilde{\phi}_\ell - \widetilde{\Phi}_\ell\| \end{aligned}$$

und damit die Behauptung. \square

4.4 $h - h/2$ -Fehlerschätzer für gestörtes Galerkinverfahren

Satz 4.8. *Der Fehlerschätzer*

$$\widetilde{\eta}_\ell := \|\widetilde{\Phi}_\ell - \widehat{\Phi}_\ell\| \quad (4.10)$$

ist effizient für $\|\widetilde{\phi}_\ell - \widetilde{\Phi}_\ell\|$ mit $C_{\text{eff}} = 1$. Unter der Saturationsannahme mit $C_{\text{sat}} \in (0, 1)$

$$\|\phi - \widehat{\Phi}_\ell\| \leq C_{\text{sat}} \|\phi - \Phi_\ell\|, \quad (4.11)$$

und der Beschränktheit des Datenfehler für ein $\lambda > 0$ durch

$$\|\phi - \widetilde{\phi}_\ell\| \leq \lambda \|\phi - \Phi_\ell\|, \quad (4.12)$$

ist $\widetilde{\eta}_\ell$ auch zuverlässig in Bezug auf $\|\widetilde{\phi}_\ell - \widetilde{\Phi}_\ell\|$ mit $C_{\text{rel}} = 1/\sqrt{1 - \widetilde{C}_{\text{sat}}^2}$. Die Konstante $\widetilde{C}_{\text{sat}}$ stammt aus Satz 4.7.

Beweis: Aufgrund der Galerkinorthogonalität für $\tilde{\phi}_\ell - \widehat{\Phi}_\ell$ darf der Satz von Pythagoras angewendet werden und man erhält

$$\|\|\|\tilde{\phi}_\ell - \tilde{\Phi}_\ell\|\|^2 = \|\|\|\tilde{\phi}_\ell - \widehat{\Phi}_\ell\|\|^2 + \|\|\|\widehat{\Phi}_\ell - \tilde{\Phi}_\ell\|\|^2 = \|\|\|\tilde{\phi}_\ell - \widehat{\Phi}_\ell\|\|^2 + \tilde{\eta}_\ell^2$$

und somit die Effizienz von $\tilde{\eta}_\ell$ mit $C_{\text{eff}} = 1$:

$$\tilde{\eta}_\ell \leq \|\|\|\tilde{\phi}_\ell - \tilde{\Phi}_\ell\|\|.$$

Wegen Satz 4.7 gilt $\|\|\|\tilde{\phi}_\ell - \widehat{\Phi}_\ell\|\| \leq \tilde{C}_{\text{sat}} \|\|\|\tilde{\phi}_\ell - \tilde{\Phi}_\ell\|\|$. Mit derselben Argumentation wie zuvor und dem Anwenden dieser Saturationsannahme folgt

$$\|\|\|\tilde{\phi}_\ell - \tilde{\Phi}_\ell\|\|^2 = \|\|\|\tilde{\phi}_\ell - \widehat{\Phi}_\ell\|\|^2 + \|\|\|\widehat{\Phi}_\ell - \tilde{\Phi}_\ell\|\|^2 \leq \tilde{C}_{\text{sat}}^2 \|\|\|\tilde{\phi}_\ell - \tilde{\Phi}_\ell\|\|^2 + \tilde{\eta}_\ell^2.$$

Durch Umformen erhält man die Zuverlässigkeit von $\tilde{\eta}_\ell$ mit $C_{\text{rel}} = 1/\sqrt{1 - \tilde{C}_{\text{sat}}^2}$

$$\|\|\|\tilde{\phi}_\ell - \tilde{\Phi}_\ell\|\| \leq C_{\text{rel}} \tilde{\eta}_\ell$$

und somit die Aussage des Satzes. \square

Nun definieren wir einen lokalen Fehlerschätzer in der L^2 -Norm mit denselben Eigenschaften wie $\tilde{\eta}_\ell$.

Definition 4.9. Sei $\Pi_\ell : L^2(\Gamma) \rightarrow \mathcal{P}^0(\mathcal{T}_\ell)$ die L^2 -Projektion auf $\mathcal{P}^0(\mathcal{T}_\ell)$. Wir definieren den Fehlerschätzer

$$\tilde{\mu}_\ell := \|h_\ell^{1/2}(\widehat{\Phi}_\ell - \tilde{\Phi}_\ell)\|_{L^2(\Gamma)}. \quad (4.13)$$

Satz 4.10. Die Fehlerschätzer $\tilde{\mu}_\ell$ und $\tilde{\eta}_\ell$ sind äquivalent, d.h.

$$(\sqrt{2}C_{\text{inv}})^{-1}\tilde{\mu}_\ell \leq \tilde{\eta}_\ell \leq C_{\text{apx}}\tilde{\mu}_\ell. \quad (4.14)$$

Beweis: Der Beweis läuft vollkommen analog zum Beweis von Satz 4.5. Alle Aussagen gelten statt für Φ_ℓ und $\widehat{\Phi}_\ell$ ebenso für $\tilde{\Phi}_\ell$ und $\widehat{\tilde{\Phi}}_\ell$. \square

Korollar 4.11. Der Fehlerschätzer $\tilde{\mu}_\ell$ ist effizient und unter der Bedingung $\|\|\|\phi - \tilde{\phi}_\ell\|\| \leq \lambda \|\|\|\tilde{\phi}_\ell - \tilde{\Phi}_\ell\|\|$ für ein $\lambda > 0$ und der Saturationsannahme $\|\|\|\phi - \widehat{\Phi}_\ell\|\| \leq C_{\text{sat}} \|\|\|\phi - \tilde{\Phi}_\ell\|\|$ zuverlässig mit Bezug auf $\|\|\|\tilde{\phi}_\ell - \tilde{\Phi}_\ell\|\|$. \square

4.5 Gesamtfehlerschätzer

Analog zu Satz 3.7 wird in diesem Abschnitt die Zuverlässigkeit des $h - h/2$ -basierten Gesamtfehlerschätzers gezeigt.

Satz 4.12. Der Gesamtfehlerschätzer $\omega_\ell := (\tilde{\mu}_\ell^2 + \zeta_\ell^2)^{1/2}$ erfüllt unter der Saturationsannahme $\|\|\|\phi - \widehat{\Phi}_\ell\|\| \leq C_{\text{sat}} \|\|\|\phi - \tilde{\Phi}_\ell\|\|$ mit $C_{\text{sat}} \in (0, 1)$ und der Voraussetzung $\|\|\|\phi - \tilde{\phi}_\ell\|\| \leq \lambda \|\|\|\phi - \tilde{\Phi}_\ell\|\|$ für ein $\lambda > 0$ die Bedingung

$$\|\|\|\phi - \tilde{\Phi}_\ell\|\| \leq \overline{C}_{\text{rel}} \omega_\ell. \quad (4.15)$$

D.h. ω_ℓ ist zuverlässig in Bezug auf $\|\|\|\phi - \tilde{\Phi}_\ell\|\|$. Die Zuverlässigkeitskonstante $\overline{C}_{\text{rel}}$ hängt nur von Γ und $\kappa(\mathcal{T}_\ell)$ ab.

Beweis: Aus $(a + b)^2 \leq 2a^2 + 2b^2$ folgt

$$\|\phi - \tilde{\Phi}_\ell\|^2 \leq 2\|\phi - \tilde{\phi}_\ell\|^2 + 2\|\tilde{\phi}_\ell - \tilde{\Phi}_\ell\|^2.$$

Mit Satz 3.6 und Korollar 4.11 gilt also

$$\|\phi - \tilde{\Phi}_\ell\|^2 \leq 2C_{\text{data}}^2 \zeta_\ell^2 + 2C_{\text{rel}}^2 \tilde{\mu}_\ell^2 \leq 2 \max\{C_{\text{data}}^2, C_{\text{rel}}^2\} \omega_\ell^2 = \overline{C}_{\text{rel}} \omega_\ell^2.$$

□

4.6 Adaptiver Algorithmus

Zur Berechnung der $h - h/2$ -Fehlerschätzer wird auch die Galerkinlösung $\widehat{\Phi}_\ell$ benötigt. Deshalb muss Algorithmus 3.5 etwas verändert werden:

Algorithmus 4.13. *Input:* Startnetz \mathcal{T}_0 , Abbruchparameter $\varepsilon > 0$.

- (1) Verfeinere das Netz \mathcal{T}_ℓ uniform und erhalte $\widehat{\mathcal{T}}_\ell$.
- (2) Berechne diskrete Lösung $\widehat{\Phi}_\ell$.
- (3) Berechne diskrete Lösung $\tilde{\Phi}_\ell$ durch Einführung von Nebenbedingungen.
- (2) Berechne Verfeinerungsindikatoren $\omega_\ell(T) = (\tilde{\mu}_\ell(T)^2 + \zeta_\ell(T)^2)^{1/2}$ für alle $T \in \mathcal{T}_\ell$.
- (3) Stoppe, falls $\tilde{\Phi}_\ell$ ausreichend genau, das heißt $\omega_\ell = (\sum_{T \in \mathcal{T}_\ell} \omega_\ell(T)^2)^{1/2} \leq \varepsilon$.
- (4) Bilde Menge \mathcal{M}_ℓ der zur Verfeinerung markierten Elemente.
- (5) Verfeinere mindestens die Elemente $T \in \mathcal{M}_\ell$ und erhalte $\mathcal{T}_{\ell+1}$.
- (6) Erhöhe Zähler $\ell \rightarrow \ell + 1$ und gehe zu (1).

Output: Approximation $\tilde{\Phi}_\ell$ von ϕ .

Kapitel 5

Die Symm'sche Integralgleichung in 2D

In diesem Kapitel werden die Galerkin-Randelementmethode auf die Symm'sche Integralgleichung in 2D angewendet, die vorkommenden Einfach und Doppelintegrale für beliebigen Polynomgrad der Ansatzfunktionen explizit ausgerechnet und die zugehörigen MATLAB-Codes angeführt.

Außerdem wird eine bis auf Quadratur exakte Berechnung der rechten Seite der Symm'schen Integralgleichung angegeben. Die in den Kapiteln 3 und 4 vorgestellten Fehlerschätzer werden berechnet und die MATLAB-Implementierung angeführt.

5.1 Markierungsstrategie

In Abschnitt 3 wurde die Dörflermarkierung (3.10) vorgestellt. Hier wird der zugehörige MATLAB-Code angegeben.

Um die Zuverlässigkeit des Residualschätzer zu zeigen, wurde Satz 3.2 mit einer Konstanten \tilde{C}_{apx} angewendet. In den Beweis der Äquivalenz der $h - h/2$ -Fehlerschätzer — siehe Sätze 4.5 und 4.10 — geht Satz 4.2 mit einer Konstanten $C_{\text{inv}} < \infty$ ein. Die beiden Konstanten \tilde{C}_{apx} und C_{inv} sind abhängig von $\kappa(\mathcal{T}_\ell)$.

Will man also einen zuverlässigen residualen Fehlerschätzer erhalten bzw. die Äquivalenz der $h - h/2$ -Schätzer gewährleisten, muss die Markierungsstrategie rekursiv um Bedingung (3.11) erweitert werden, damit $\kappa(\mathcal{T}_\ell) \leq 2\kappa(\mathcal{T}_0)$ gilt. Auch für diese Erweiterung wird hier der MATLAB-Code angeführt.

5.1.1 Dörflermarkierung

```
nE = size(elements,1)
if theta > 0
    indicator = rho_T.^2 + zeta_T.^2;
    [sort_indicator,buch] = sort(indicator,'descend');
    i=1;
    while theta*sum(indicator) > sum(sort_indicator(1:i))
        i=i+1;
```

```
    end
    marked = buch(1:i);
else
    marked = 1:nE;
end
```

5.1.2 Markierung für $\kappa(\mathcal{T}_\ell)$

```
function marked = kappa_marking(elements,coordinates,marked,kappa)
```

```
K = size(coordinates,1);
N = size(elements,1);

% find elements belonging to nodes
elements4node = zeros(K,2);
for j = 1:N
    elements4node(elements(j,1),2) = j;
    elements4node(elements(j,2),1) = j;
end

% find neighbors of each elements
neighbors = zeros(N,2);
for j = 1:N
    neighbors(j,:) = [elements4node(elements(j,1),1) ...
                     elements4node(elements(j,2),2)];
end

% compute size of each element
for j = 1:N
    h(j) = norm( [1 -1] * coordinates(elements(j,:),:) );
end

% for T,T' neighbors do some extra markings
% if  $h_{\ell+1}(T) \geq 2\kappa h_{\ell+1}(T')$ 
% for an element T' which is already marked
% and the neighbor T who is not marked
flag = zeros(1,N);
flag(marked) = 1;
changing = 1;

while changing
    changing = 0;
    marked_new = find(flag);
    for k = 1:length(marked_new)
        j = marked_new(k);
        nleft = neighbors(j,1);
        nright = neighbors(j,2);
```

```

        if h(nleft)>=2*kappa*0.5*h(j) && flag(nleft) ~= 1
            flag(nleft)=1;
            changing = 1;
        end
        if h(nright)>=2*kappa*0.5*h(j) && flag(nright) ~= 1
            flag(nright) = 1;
            changing = 1;
        end
    end
end
end
end

```

Es ist durch geschicktes Vorsortieren der Elemente nach ihrer Größe möglich, die Bedingungsschleife zu umgehen. Dies zeigt der folgende Algorithmus:

```

function marked = better_kappa_marking(elements,coordinates,marked,kappa)

K = size(coordinates,1);
N = size(elements,1);

% find elements belonging to nodes
elements4node = zeros(K,2);
for j = 1:N
    elements4node(elements(j,1),2) = j;
    elements4node(elements(j,2),1) = j;
end

% find neighbors of each elements
neighbors = zeros(N,2);
for j = 1:N
    neighbors(j,:) = [elements4node(elements(j,1),1) ...
                    elements4node(elements(j,2),2)];
end

% compute size of each element
for j = 1:N
    h(j) = norm( [1 -1] * coordinates(elements(j,:),:) );
end

% for T,T' neighbors do some extra markings
% if  $h_{\ell+1}(T) \geq 2\kappa h_{\ell+1}(T')$ 
% for an element T' which is already marked
% and the neighbor T who is not marked
flag = zeros(1,N);
flag(marked) = 1;
changing = 1;

```

```

[tmp,idx] = sort(h);

for j = idx
    if flag(j)
        n = neighbors(j,:);
        n = n(find(n));
        n = n(find( h(n)/h(j) >= kappa ));
        flag(n) = 1;
    end
end

end

```

5.2 einfache Integrale

Im Zuge der Berechnung des Einfach- und Doppelschichtpotentials treten eindimensionale Integrale auf, für die folgende Rekursionsformeln gelten:

Lemma 5.1. *Seien $p, q \in \mathbb{R}^2$ mit $p \neq 0$, $p \neq \pm q$ und $\Delta := 4(|p|^2|q|^2 - \langle p, q \rangle^2)$. Für $k \in \mathbb{N}_0$ definieren wir*

$$G(k, p, q) := \int_{-1}^1 t^k \frac{1}{|p|^2 t^2 + 2\langle p, q \rangle t + |q|^2} dt. \quad (5.1)$$

Für $k \geq 2$ gilt dann folgende Rekursionsformel

$$G(k, p, q) = \frac{1}{|p|^2} \left(\frac{1 - (-1)^{k-1}}{k-1} - 2\langle p, q \rangle G(k-1, p, q) - |q|^2 G(k-2, p, q) \right) \quad (5.2)$$

mit Abbruchbedingungen

$$G(1, p, q) = \frac{1}{|p|^2} \left(\log |p+q| - \log |p-q| - \langle p, q \rangle G(0, p, q) \right) \quad (5.3)$$

und

für $\Delta = 0$:

$$G(0, p, q) = \frac{2}{|q|^2 - |p|^2}$$

für $\Delta > 0$:

$$G(0, p, q) = \frac{2}{\sqrt{\Delta}} \begin{cases} \arctan \frac{\sqrt{\Delta}}{|q|^2 - |p|^2} & \text{für } |p| < |q| \\ \frac{\pi}{2} & \text{für } |p| = |q| \\ \arctan \frac{\sqrt{\Delta}}{|q|^2 - |p|^2} + \pi & \text{für } |p| > |q|. \end{cases} \quad (5.4)$$

Beweis: Dieses Integral ist ein Spezialfall des Integrals in MAISCHAK [14, Definition 2.1], für dessen Fall $n = -1$. Setzt man nun $a = |p|^2$, $b = 2\langle p, q \rangle$ und $c = |q|^2$, so erhält man die Rekursionsformel aus MAISCHAK [14, Lemma 2.1]. \square

Lemma 5.2. Seien $p, q \in \mathbb{R}^2$ mit $p \neq 0$, $p \neq \pm q$ und $\Delta := 4(|p|^2|q|^2 - \langle p, q \rangle^2)$. Für $k \in \mathbb{N}_0$ definieren wir

$$L(k, p, q) := \int_{-1}^1 t^k \log \left(|p|^2 t^2 + 2\langle p, q \rangle t + |q|^2 \right) dt. \quad (5.5)$$

Für $k \geq 2$ gilt dann folgende Rekursionsformel

$$\begin{aligned} L(k, p, q) = & \frac{1}{|p|^2(k+1)} \left(|p+q|^2 \log |p+q|^2 + (-1)^k |p-q|^2 \log |p-q|^2 - 2|p|^2 \frac{1 - (-1)^{k+1}}{k+1} \right. \\ & \left. - 2\langle p, q \rangle \frac{1 - (-1)^k}{k} - 2\langle p, q \rangle k L(k-1, p, q) - |q|^2 (k-1) L(k-2, p, q) \right) \end{aligned} \quad (5.6)$$

mit Abbruchbedingungen

$$L(1, p, q) = \frac{1}{|p|^2} \left(|p+q|^2 \log |p+q| - |p-q|^2 \log |p-q| - 2\langle p, q \rangle - \langle p, q \rangle L(0, p, q) \right) \quad (5.7)$$

und

$$\text{für } \Delta = 0 : \quad (5.8)$$

$$L(0, p, q) = 2 \left[\left(1 + \frac{\langle p, q \rangle}{|p|^2} \right) \log \left(\frac{\langle p, q \rangle}{|p|^2} + |p| \right) + \left(1 - \frac{\langle p, q \rangle}{|p|^2} \right) \log \left(\frac{\langle p, q \rangle}{|p|^2} - |p| \right) - 2 \right]$$

$$\text{für } \Delta > 0 :$$

$$L(0, p, q) = 2 \left[\left(1 + \frac{\langle p, q \rangle}{|p|^2} \right) \log |p+q| + \left(1 - \frac{\langle p, q \rangle}{|p|^2} \right) \log |p-q| - 2 + \left(|q|^2 - \frac{\langle p, q \rangle^2}{|p|^2} \right) G(0, p, q) \right].$$

Beweis: Dieses Integral ist ein Spezialfall des Integrals in MAISCHAK [14, Definition 2.2], für dessen Fall $n = 0$. Setzt man nun $a = |p|^2$, $b = 2\langle p, q \rangle$ und $c = |q|^2$, so erhält man die Rekursionsformel aus MAISCHAK [14, Lemma 2.2]. \square

5.3 Doppelintegrale

In diesem Abschnitt wollen wir Rekursionsformeln für die im Einfach- und Doppelschichtpotential auftretenden zweidimensionalen Integrale angeben:

Lemma 5.3. Seien $u, v, w \in \mathbb{R}^2$ mit $u \neq 0$, $v \neq 0$ und $u \parallel v$, d.h. $u = \mu v$ für ein $\mu \in \mathbb{R} \setminus \{0\}$. Für eine integrierbare Funktion $f : \mathbb{R}^2 \rightarrow \mathbb{R}$ definieren wir für $k, \ell \in \mathbb{N}_0$

$$\mathcal{I}(k, \ell, u, v, w) := \int_{-1}^1 \int_{-1}^1 s^k t^\ell f(su + tv + w) dt ds. \quad (5.9)$$

Für $k, \ell \geq 0$ gilt dann folgende Rekursionsformel

$$\begin{aligned} (\ell+1)\mathcal{I}(k, \ell, u, v, w) = & \int_{-1}^1 s^k f(su + w + v) ds - (-1)^{\ell+1} \int_{-1}^1 s^k f(su + w - v) ds \\ & - \mu \int_{-1}^1 t^{\ell+1} f(tv + w + u) dt + (-1)^k \mu \int_{-1}^1 t^{\ell+1} f(tv + w - u) dt \\ & + k\mu \mathcal{I}(k-1, \ell+1, u, v, w), \end{aligned} \quad (5.10)$$

mit Abbruchbedingung $k = 0$, wobei der letzte Summand verschwindet.

Beweis: Diese Formel erhält man sofort aus MAISCHAK [14, Lemma 3.1] durch Einsetzen der Integrationsgrenzen -1 und 1 . \square

Lemma 5.4. Seien $u, v, w \in \mathbb{R}^2$ mit $u \neq 0, v \neq 0$ und $u \nparallel v$, d.h. $w = \mu_1 u + \mu_2 v$, $\mu_1, \mu_2 \in \mathbb{R}$. Für eine integrierbare Funktion $f : \mathbb{R}^2 \rightarrow \mathbb{R}$, $p > -2$ und eine Funktion $h : \mathbb{R}^2 \rightarrow \mathbb{R}$ gelte

$$\langle x, \nabla f(x) \rangle = h(x) + pf(x). \quad (5.11)$$

Wir definieren für $k, \ell \in \mathbb{N}_0$

$$\mathcal{I}(k, \ell, u, v, w) := \int_{-1}^1 \int_{-1}^1 s^k t^\ell f(su + tv + w) dt ds. \quad (5.12)$$

Für $k, \ell \geq 0$ gilt dann folgende Rekursionsformel

$$\begin{aligned} & (k + \ell + p + 2) \mathcal{I}(k, \ell, u, v, w) \\ &= - \int_{-1}^1 \int_{-1}^1 s^k t^\ell h(su + tv + w) dt ds + (\mu_1 + 1) \int_{-1}^1 t^\ell f(tv + w + u) dt \\ & - (-1)^k (\mu_1 - 1) \int_{-1}^1 t^\ell f(tv + w - u) dt + (\mu_2 + 1) \int_{-1}^1 s^k f(su + w + v) ds \\ & - (-1)^\ell (\mu_2 - 1) \int_{-1}^1 s^k f(su + w - v) ds - k\mu_1 \mathcal{I}(k-1, \ell, u, v, w) - \ell\mu_2 \mathcal{I}(k, \ell-1, u, v, w), \end{aligned} \quad (5.13)$$

mit Abbruchbedingung $k = 0, \ell = 0$, da die letzten beiden Summanden verschwinden.

Beweis: Durch Einsetzen der Integrationsgrenzen -1 und 1 in MAISCHAK [14, Lemma 3.1] ergibt sich die Rekursionsformel. \square

Lemma 5.5. Sei $k, \ell \in \mathbb{N}_0$, $k, \ell \geq 0$. Dann gilt

$$\tilde{\mathcal{I}}(k, \ell) := \int_{-1}^1 \int_{-1}^1 s^k t^\ell dt ds = \frac{1 + (-1)^\ell}{\ell + 1} \cdot \frac{1 + (-1)^k}{k + 1}. \quad (5.14)$$

Beweis: Dieses Integral kann leicht mittels der Ableitungsregel für Potenzen berechnet werden:

$$\begin{aligned} \int_{-1}^1 \int_{-1}^1 s^k t^\ell dt ds &= \int_{-1}^1 s^k \left[\frac{t^{\ell+1}}{\ell+1} \right]_{t=-1}^{t=1} ds = \frac{1 - (-1)^{\ell+1}}{\ell+1} \cdot \int_{-1}^1 s^k ds = \frac{1 + (-1)^\ell}{\ell+1} \cdot \left[\frac{s^{k+1}}{k+1} \right]_{s=-1}^{s=1} \\ &= \frac{1 + (-1)^\ell}{\ell+1} \cdot \frac{1 + (-1)^k}{k+1} \end{aligned}$$

\square

5.4 Steifigkeitsmatrix und rechte Seite

Sei $\Gamma := \partial\Omega$ der Rand eines beschränkten Lipschitz-Gebietes $\Omega \subset \mathbb{R}^2$. Die Randelementmethode führt, wie in Kapitel 2. beschrieben, zu Integraloperatoren, nämlich dem Einfachschichtpotential

$$V\phi(x) := -\frac{1}{2\pi} \int_{\Gamma} \phi(y) \log|x-y| ds_y$$

und dem Doppelschichtpotential

$$K\phi(x) := -\frac{1}{2\pi} \int_{\Gamma} \phi(y) \frac{\langle (y-x), \nu(y) \rangle}{|x-y|^2} ds_y.$$

$\nu(y)$ bezeichnet hierbei den äußeren Normalenvektor von $y \in \Omega$.

Im Folgenden nehmen wir an, dass Γ ein Polygonzug ist, d.h. Γ ist die Vereinigung endlich vieler affiner Teilstücke $[a, b] := \text{conv}\{a, b\} \subset \mathbb{R}^2$ mit $a, b \in \mathbb{R}^2$. Die Berechnung von $V\phi$ und $K\phi$ reduziert sich also auf die Berechnung von

$$V_{[a,b]}\phi(x) := -\frac{1}{2\pi} \int_{[a,b]} \phi(y) \log|x-y| ds_y \quad (5.15)$$

und

$$K_{[a,b]}\phi(x) := -\frac{1}{2\pi} \int_{[a,b]} \phi(y) \frac{\langle (y-x), \nu(y) \rangle}{|x-y|^2} ds_y. \quad (5.16)$$

Man beachte, dass der Normalenvektor $\nu(y) = \nu_{[a,b]}$ konstant ist auf $[a, b]$. Angenommen die mathematische Orientierung von Γ folgt dem Vektor $b-a$, so berechnet sich der Normalenvektor als

$$\nu_{[a,b]} = \begin{pmatrix} 0 & 1 \\ -1 & 0 \end{pmatrix} \frac{b-a}{|b-a|} = \frac{1}{|b-a|} \begin{pmatrix} b_2 - a_2 \\ a_1 - b_1 \end{pmatrix}.$$

Wir betrachten für $T = [a, b]$ die Parametrisierung

$$\gamma_T : [-1, 1] \rightarrow [a, b], \quad t \mapsto x = \frac{1}{2}(a+b+t(b-a)). \quad (5.17)$$

Für das Oberflächenintegral gilt dann

$$\int_{[a,b]} \dots ds_x = \frac{|b-a|}{2} \int_{-1}^1 \dots dt.$$

Üblicherweise wird die Funktion ϕ durch ein stückweises Polynom ϕ_h in der Bogenlänge vom Grad N approximiert. Für jedes Randstück ist demnach $\phi_h \circ \gamma_{[a,b]}$ ein Polynom auf $[-1, 1]$,

$$\phi_h \circ \gamma(t) = \sum_{\ell=0}^N \lambda_\ell t^\ell \quad \text{für } t \in [-1, 1].$$

$V\phi$ und $K\phi$ lassen sich also darstellen in der Form

$$V_{[a,b]}\phi_h(x) := -\frac{1}{2\pi} \frac{|b-a|}{2} \sum_{\ell=0}^N \lambda_\ell \int_{-1}^1 t^\ell \log|x-\gamma_{[a,b]}(t)| dt,$$

$$K_{[a,b]}\phi_h(x) := -\frac{1}{2\pi} \frac{|b-a|}{2} \sum_{\ell=0}^N \lambda_\ell \int_{-1}^1 t^\ell \frac{\langle \gamma_{[a,b]}(t) - x, \nu_{[a,b]} \rangle}{|x-\gamma_{[a,b]}(t)|^2} dt.$$

Bei der Galerkin-Randelementmethode zur Symm'schen Integralgleichung müssen L^2 -Skalarprodukte berechnet werden

$$\langle V\phi_h, \psi_h \rangle_{\Gamma} = \int_{\Gamma} V\phi_h(x) \psi_h(x) ds_x,$$

$$\langle (K + \frac{1}{2})\phi_h, \psi_h \rangle_{\Gamma} = \langle K\phi_h, \psi_h \rangle_{\Gamma} + \frac{1}{2} \langle \phi_h, \psi_h \rangle_{\Gamma} = \int_{\Gamma} K\phi_h(x) \psi_h(x) ds_x + \frac{1}{2} \int_{\Gamma} \phi_h(x) \psi_h(x) ds_x,$$

wobei ϕ_h und ψ_h stückweise polynomial sind.

Insgesamt muss also für alle Intervalle $[a, b] \subseteq \Gamma$, $[\mathbf{a}, \mathbf{b}] \subseteq \Gamma$ für das Einfachschichtpotential

$$\langle V\phi_h, \psi_h \rangle_\Gamma = -\frac{1}{2\pi} \frac{|b-a|}{2} \frac{|\mathbf{b}-\mathbf{a}|}{2} \sum_{\ell=0}^N \sum_{k=0}^M \lambda_\ell \lambda_k \int_{-1}^1 \int_{-1}^1 s^k t^\ell \log |\gamma_{[\mathbf{a}, \mathbf{b}]}(s) - \gamma_{[a, b]}(t)| dt ds$$

und für das Doppelschichtpotential

$$\begin{aligned} \left\langle \left(K + \frac{1}{2} \right) \phi_h, \psi_h \right\rangle_\Gamma &= \frac{|\mathbf{b}-\mathbf{a}|}{2} \sum_{\ell=0}^N \sum_{k=0}^M \lambda_\ell \lambda_k \left[\frac{1}{2} \int_{-1}^1 s^{k+\ell} ds \right. \\ &\quad \left. - \frac{1}{2\pi} \frac{|b-a|}{2} \int_{-1}^1 \int_{-1}^1 s^k t^\ell \frac{\langle \gamma_{[a, b]}(t) - \gamma_{[\mathbf{a}, \mathbf{b}]}(s), \nu_{[a, b]} \rangle}{|\gamma_{[\mathbf{a}, \mathbf{b}]}(s) - \gamma_{[a, b]}(t)|^2} dt ds \right] \end{aligned}$$

berechnet werden, wobei $\text{supp } \phi_h \subseteq [a, b]$ und $\text{supp } \psi_h \subseteq [\mathbf{a}, \mathbf{b}]$ gilt.

Im Folgenden wollen wir Formeln zur Bestimmung der Einträge der entstehenden Einfach- und Doppelschichtpotentialmatrizen angeben.

5.4.1 Einfachschichtpotential

Für alle Intervalle $[a, b] \subseteq \Gamma$, $[\mathbf{a}, \mathbf{b}] \subseteq \Gamma$ ist

$$\langle V\phi_h, \psi_h \rangle_\Gamma = -\frac{1}{2\pi} \frac{|b-a|}{2} \frac{|\mathbf{b}-\mathbf{a}|}{2} \sum_{\ell=0}^N \sum_{k=0}^M \lambda_\ell \lambda_k \int_{-1}^1 \int_{-1}^1 s^k t^\ell \log \left| \gamma_{[\mathbf{a}, \mathbf{b}]}(s) - \gamma_{[a, b]}(t) \right| dt ds$$

mit $\text{supp } \phi_h \subseteq [a, b]$ und $\text{supp } \psi_h \subseteq [\mathbf{a}, \mathbf{b}]$ zu berechnen. Wir betrachten zunächst einen Teil des Integranden und setzen die Parametrisierung aus (5.17) ein:

$$\begin{aligned} \gamma_{[\mathbf{a}, \mathbf{b}]}(s) - \gamma_{[a, b]}(t) &= \frac{1}{2} \left(\mathbf{a} + \mathbf{b} + s(\mathbf{b} - \mathbf{a}) - a - b - t(b - a) \right) \\ &= \frac{1}{2} \left((\mathbf{b} - \mathbf{a}) \cdot s + (a - b) \cdot t + (\mathbf{a} + \mathbf{b} - a - b) \right). \end{aligned}$$

Wir setzen nun

$$\begin{aligned} u &:= \mathbf{b} - \mathbf{a} \\ v &:= a - b \\ w &:= \mathbf{a} + \mathbf{b} - a - b \end{aligned}$$

und erhalten so für das Integral

$$\begin{aligned} &\int_{-1}^1 \int_{-1}^1 s^k t^\ell \log \left| \gamma_{[\mathbf{a}, \mathbf{b}]}(s) - \gamma_{[a, b]}(t) \right| dt ds \\ &= \int_{-1}^1 \int_{-1}^1 s^k t^\ell \log \left| \frac{1}{2} (su + tv + w) \right| dt ds \\ &= \log(1/2) \int_{-1}^1 \int_{-1}^1 s^k t^\ell dt ds + \int_{-1}^1 \int_{-1}^1 s^k t^\ell \log |su + tv + w| dt ds. \end{aligned}$$

Wendet man nun Lemma 5.3 und 5.1 auf das zweite Integral an, so erhält man:

Lemma 5.6. Seien $u, v, w \in \mathbb{R}^2$, $u \neq 0$ und $u \parallel v$, d.h. $u = \mu v$ für ein $\mu \in \mathbb{R} \setminus \{0\}$. Wir definieren für $k, \ell \in \mathbb{N}_0$

$$J(k, \ell, u, v, w) := \int_{-1}^1 \int_{-1}^1 s^k t^\ell \log |su + tv + w| dt ds. \quad (5.18)$$

Für $k, \ell \geq 0$ gilt dann folgende Rekursionsformel

$$\begin{aligned} (\ell + 1)J(k, \ell, u, v, w) &= \frac{1}{2}L(k, u, w + v) + \frac{1}{2}(-1)^\ell L(k, u, w - v) - \frac{\mu}{2}L(\ell + 1, v, w + u) \\ &\quad + \frac{\mu}{2}(-1)^\ell L(\ell + 1, v, w - u) + k\mu J(k - 1, \ell + 1, u, v, w) \end{aligned} \quad (5.19)$$

mit Abbruchbedingung $k = 0$, da der letzte Summand verschwindet:

$$\begin{aligned} J(0, \ell, u, v, w) &= \frac{1}{2(\ell + 1)} \left[L(0, u, w + v) + (-1)^\ell L(0, u, w - v) \right. \\ &\quad \left. - \mu L(\ell + 1, v, w + u) + \mu L(\ell + 1, v, w - u) \right] \end{aligned} \quad (5.20)$$

□

Die Rekursionsformel aus Lemma 5.6 lässt sich auch induktiv umschreiben, man kann $J(k, \ell, u, v, w)$ also ohne zusätzliche Funktionsaufrufe berechnen:

Zuerst bestimmt man $J(0, \ell + k, u, v, w)$ und dann $J(j, \ell + k - j, u, v, w)$ für $j = 1, \dots, k$. Insgesamt erhält man daher das gewünschte Integral in $k + 1$ Schritten:

$$J_{0, \ell + k} \rightarrow J_{1, \ell + k - 1} \rightarrow \dots \rightarrow J_{k, \ell}$$

Auch die benötigten einfachen Integrale, d.h die Funktionen $L(j, p, q)$, kann man induktiv berechnen. Um $J(k, \ell, u, v, w)$ zu erhalten, müssen die Funktionswerte von $L(j, u, w + v)$ und $L(j, u, w - v)$ für $j = 0, \dots, k$ sowie $L(j, v, w + u)$ und $L(j, v, w - u)$ für $j = \ell + 1, \dots, \ell + k + 1$ bekannt sein. Man bestimmt also in $k + 1$ Schritten $L(j, u, w + v)$ und $L(j, u, w - v)$. In $\ell + k + 2$ Schritten errechnet man $L(j, v, w + u)$ und $L(j, v, w - u)$.

Algorithmus 5.7. u, v parallel

```
function output = J1(k,ell,u,v,w)
```

```
    compute mu;
```

```
    L_u_wpv = zeros(k+1,1);
```

```
    L_u_wmv = zeros(k+1,1);
```

```
    L_v_wpu = zeros(k+1,1);
```

```
    L_v_wmu = zeros(k+1,1);
```

```
    for j = 0:k
```

```
        L_u_wpv(j+1) = computation of L(j,u,w+v);
```

```
        L_u_wmv(j+1) = computation of L(j,u,w-v);
```

```
    end
```

```
    for j = 0:ell
```

```
        L_v_wpu(1) = computation of L(j,v,w+u) by updating L_v_wpu(1);
```

```

    L_v_wmu(1) = computation of L(j,v,w-u) by updating L_v_wmu(1);
end
for j = (ell+1):(ell+k+1)
    L_v_wpu(j-ell) = computation of L(j,v,w+u);
    L_v_wmu(j-ell) = computation of L(j,v,w-u);
end

output = ( L_u_wpv(1) + (-1)^(ell+k)*L_u_wmv(1) - mu*L_v_wpu(k+1) ...
          + mu*L_v_wmu(k+1) ) *0.5/(ell+k+1);
for j = 1:k
    output = ( 0.5*L_u_wmv(j) + 0.5*(-1)^(ell+k-j)*L_u_wmv(j) ...
              - 0.5*mu*L_v_wpu(k+1-j) + 0.5*mu*(-1)^j*L_v_wmu(k+1-j) ...
              + j*mu*output ) / (ell+k+1-j);
end

```

Lemma 5.8. Seien $u, v, w \in \mathbb{R}^2$ mit $u \neq 0, v \neq 0$ und $u \nparallel v$, d.h. $w = \mu_1 u + \mu_2 v$ mit $\mu_1, \mu_2 \in \mathbb{R}$. Wir definieren für $k, \ell \in \mathbb{N}_0$

$$J(k, \ell, u, v, w) := \int_{-1}^1 \int_{-1}^1 s^k t^\ell \log |su + tv + w| dt ds. \quad (5.21)$$

Für $k, \ell \geq 0$ gilt dann folgende Rekursionsformel

$$\begin{aligned}
(k + \ell + 2)J(k, \ell, u, v, w) = & - \frac{1 + (-1)^\ell}{\ell + 1} \cdot \frac{1 + (-1)^k}{k + 1} \\
& + \frac{\mu_1 + 1}{2} L(\ell, v, w + u) - (-1)^k \frac{\mu_1 - 1}{2} L(\ell, v, w - u) \\
& + \frac{\mu_2 + 1}{2} L(k, u, w + v) - (-1)^\ell \frac{\mu_2 - 1}{2} L(k, u, w - v) \\
& - k\mu_1 J(k - 1, \ell, u, v, w) - \ell\mu_2 J(k, \ell - 1, u, v, w),
\end{aligned} \quad (5.22)$$

wobei für $k = 0$ der vorletzte und für $\ell = 0$ der letzte Summand entfällt. Die Rekursion bricht ab, sobald $k = \ell = 0$ gilt:

$$\begin{aligned}
J(0, 0, u, v, w) = \frac{1}{4} \Big[& -8 + (\mu_1 + 1)L(0, v, w + u) - (\mu_1 - 1)L(0, v, w - u) \\
& + (\mu_2 + 1)L(0, u, w + v) - (\mu_2 - 1)L(0, u, w - v) \Big]
\end{aligned} \quad (5.23)$$

Beweis: Die Funktion $f : \mathbb{R}^2 \rightarrow \mathbb{R}$,

$$f(x) = \log |x|$$

erfüllt die Bedingung $\langle x, \nabla f(x) \rangle = h(x) + pf(x)$ aus Lemma 5.4 mit $h(x) \equiv 1$ und $p = 0$: Nach Kettenregel gilt

$$\begin{aligned}
\frac{\partial f(x)}{\partial x_1} &= \frac{1}{2|x|} \cdot 2x_1 = \frac{x_1}{|x|}, \\
\frac{\partial f(x)}{\partial x_2} &= \frac{1}{2|x|} \cdot 2x_2 = \frac{x_2}{|x|}.
\end{aligned}$$

Es folgt

$$\langle x, \nabla f(x) \rangle = \frac{x_1^2 + x_2^2}{|x|} = 1 = h(x) + pf(x)$$

Es gilt also $h(x) \equiv 1$ und $p = 0$. Wendet man nun Lemma 5.4 und 5.1 auf das Integral an, so erhält man die obige Formel. \square

Auch die Rekursionsformel aus Lemma 5.8 lässt sich induktiv umschreiben. Man muss hierzu allerdings mehr Werte als im Fall $u \parallel v$ speichern - das Berechnungsschema entspricht hierbei einer Matrix und nicht mehr einem Vektor.

Man bestimmt zuerst $J(0, 0, u, v, w)$ und dann $J(0, j, u, v, w)$ für $j = 1, \dots, \ell$ - das entspricht der ersten Zeile des Schemas. Aus den $\ell + 1$ nun erhaltenen Werten errechnet man $J(i, j, u, v, w)$ für $j = 1, \dots, \ell$ und $i = 1, \dots, k$, man geht also zeilenweise vor.

Insgesamt erhält man das gewünschte Integral in $(k + 1)(\ell + 1)$ Schritten:

$$\begin{array}{cccccc}
 J_{0,0} & \rightarrow & J_{0,1} & \rightarrow & J_{0,2} & \cdots & J_{0,\ell} \\
 \downarrow & & \downarrow & & \downarrow & & \downarrow \\
 J_{1,0} & \rightarrow & J_{1,1} & \rightarrow & J_{1,2} & \cdots & J_{1,\ell} \\
 \vdots & & \vdots & & \vdots & & \vdots \\
 J_{k-1,0} & \rightarrow & J_{k-1,1} & \rightarrow & J_{k-1,2} & \cdots & J_{k-1,\ell} \\
 \downarrow & & \downarrow & & \downarrow & & \downarrow \\
 J_{k,0} & \rightarrow & J_{k,1} & \rightarrow & J_{k,2} & \cdots & J_{k,\ell}
 \end{array}$$

Auch die benötigten einfachen Integrale, d.h die Funktionen $L(i, p, q)$, kann man wiederum induktiv berechnen. Um $J(k, \ell, u, v, w)$ zu erhalten, müssen die Funktionswerte von $L(i, u, w+v)$ und $L(i, u, w-v)$ für $i = 0, \dots, k$ und $L(i, v, w+u)$ und $L(i, v, w-u)$ für $i = 0, \dots, \ell$ bekannt sein.

Man bestimmt also in $k+1$ Schritten $L(i, u, w+v)$ und $L(i, u, w-v)$ und in $\ell+1$ Schritten $L(i, v, w+u)$ und $L(i, v, w-u)$.

Algorithmus 5.9. *u, v nicht parallel*

```
function output = J2(k,ell,u,v,w)
```

```
    compute mu1,mu2;
```

```
    L_u_wpv = zeros(k+1,1);
```

```
    L_u_wmv = zeros(k+1,1);
```

```
    L_v_wpu = zeros(ell+1,1);
```

```
    L_v_wmu = zeros(ell+1,1);
```

```
    for j = 0:k
```

```
        L_u_wpv(j+1) = computation of L(j,u,w+v);
```

```
        L_u_wmv(j+1) = computation of L(j,u,w-v);
```

```
    end
```

```
    for j = 0:ell
```

```
        L_v_wpu(j+1) = computation of L(j,v,w+u);
```

```
        L_v_wmu(j+1) = computation of L(j,v,w-u);
```

```
    end
```

```
    output = zeros(ell+1,1);
```

```
    output(1) = ( -8 + (mu1+1)*L_v_wpu(1) - (mu1-1)*L_v_wmu(1) ...
                + (mu2+1)*L_u_wpv(1) - (mu2-1)*L_u_wmv(1) ) *0.25;
```

```
    for j = 1:ell
```

```
        output(j+1) = ( 2*(1+(-1)^j)/(j+1) + 0.5*(mu1+1)*L_v_wpu(j+1) ...
```

```

- 0.5*(mu1-1)*L_v_wmu(j+1) + 0.5*(mu2+1)*L_u_wpv(1) ...
- 0.5*(-1)^j*(mu2-1)*L_u_wmv(1) - j*mu2*output(j) ) / (ell+2);
end
for i = 1:k
  output(1) = ( 2*(1+(-1)^k)/(k+1) + 0.5*(mu1+1)*L_v_wpu(0) ...
- 0.5*(-1)^k*(mu1-1)*L_v_wmu(0) + 0.5*(mu2+1)*L_u_wpv(i) ...
- 0.5*(mu2-1)*L_u_wmv(i) - k*mu1*output(j) ) / (k+2);
  for j = 1:ell
    output(j+1) = ( (1+(-1)^ell)*(1+(-1)^k)/((ell+1)*(k+1)) ...
+ 0.5*(mu1+1)*L_v_wpu(j) - 0.5*(-1)^k*(mu1-1)*L_v_wmu(j) ...
+ 0.5*(mu2+1)*L_u_wpv(i) - 0.5*(-1)^ell*(mu2-1)*L_u_wmv(i) ...
- k*mu1*output(j) - ell*mu2*output(j+1) ) / (k+ell+2);
  end
end
output = output(ell+1);

```

Unter den Voraussetzungen von Lemma 5.8, d.h. $u \nparallel v$, und induktiver Berechnung aller Funktionen ist besondere Vorsicht geboten, falls sich die beiden Intervalle $[a, b]$ und $[\mathfrak{a}, \mathfrak{b}]$ berühren, d.h. entweder $a = \mathfrak{b}$ oder $b = \mathfrak{a}$ gilt. Unter diesen Gegebenheiten treten Probleme bei der numerischen Berechnung von $L(k, p, q)$ auf, da $p + q = 0$ oder $p - q = 0$ gilt und $\log |p + q|$ bzw. $\log |p - q|$ errechnet werden sollte. Betrachtet man jedoch die Formel für $J(k, \ell, u, v, w)$ aus Lemma 5.8 so erkennt man, dass die kritischen Terme wegfallen:

Lemma 5.10. *Seien $u, v, w \in \mathbb{R}^2$ mit $u \neq 0, v \neq 0$, für die gilt $u \nparallel v$.*

(i) *Ist $b = \mathfrak{a}$, so gilt $w = u - v$, d.h. $\mu_1 = 1$ und $\mu_2 = -1$, und mit $k, \ell \geq 0$ für das in Lemma 5.8 definierte Integral die Rekursionsformel*

$$(k + \ell + 2)J(k, \ell, u, v, w) = -\frac{1 - (-1)^{\ell+1}}{\ell + 1} \cdot \frac{1 - (-1)^{k+1}}{k + 1} + L(\ell, v, w + u) + (-1)^\ell L(k, u, w - v) - kJ(k - 1, \ell, u, v, w) + \ell J(k, \ell - 1, u, v, w), \quad (5.24)$$

wobei für $k = 0$ der vorletzte und für $\ell = 0$ der letzte Summand entfällt. Die Rekursion bricht ab, sobald $k = \ell = 0$ gilt:

$$J(0, 0, u, v, w) = \frac{1}{2} \left[-4 + L(0, v, w + u) + L(0, u, w - v) \right] \quad (5.25)$$

(ii) *Ist $a = \mathfrak{b}$, so gilt $w = v - u$, d.h. $\mu_1 = -1$ und $\mu_2 = 1$, und mit $k, \ell \geq 0$ für das in Lemma 5.8 definierte Integral die Rekursionsformel*

$$(k + \ell + 2)J(k, \ell, u, v, w) = -\frac{1 - (-1)^{\ell+1}}{\ell + 1} \cdot \frac{1 - (-1)^{k+1}}{k + 1} + (-1)^k L(\ell, v, w - u) + L(k, u, w + v) + kJ(k - 1, \ell, u, v, w) - \ell J(k, \ell - 1, u, v, w), \quad (5.26)$$

wobei für $k = 0$ der vorletzte und für $\ell = 0$ der letzte Summand entfällt. Die Rekursion bricht ab, sobald $k = \ell = 0$ gilt:

$$J(0, 0, u, v, w) = \frac{1}{2} \left[-4 + L(0, v, w - u) + L(0, u, w + v) \right] \quad (5.27)$$

□

Algorithmus 5.11. u, v nicht parallel; $a=bb$ bzw. $b=aa$

```
function output = J2_touch_b_aa(k,ell,u,v,w)

L_u_wmv = zeros(k+1,1);
L_v_wpu = zeros(k+1,1);
for j = 0:k
    L_u_wmv(j+1) = computation of L(j,u,w-v);
end
for j = 0:ell
    L_v_wpu(j+1) = computation of L(j,v,w+u);
end

output = zeros(ell+1,1);
output(1) = ( -4 + L_v_wpu(1) +L_u_wmv(1) ) *0.5;
for j = 1:ell
    output(j+1) = ( 2*(1+(-1)^j)/(j+1) + L_v_wpu(j+1) ...
                    + (-1)^j*L_u_wmv(1) + j*output(j) ) / (ell+2);
end
for i = 1:k
    output(1) = ( 2*(1+(-1)^k)/(k+1) + L_v_wpu(0) ...
                - L_u_wmv(i) - k*output(j) ) / (k+2);
    for j = 1:ell
        output(j+1) = ( (1+(-1)^ell)*(1+(-1)^k)/((ell+1)*(k+1)) ...
                        + L_v_wpu(j) + (-1)^ell*L_u_wmv(i) ...
                        - k*output(j) + ell*output(j+1) ) / (k+ell+2);
    end
end
output = output(ell+1);

function output = J2_touch_a_bb(k,ell,u,v,w)

L_u_wpv = zeros(k+1,1);
L_v_wmu = zeros(k+1,1);
for j = 0:k
    L_u_wpv(j+1) = computation of L(j,u,w+v);
end
for j = 0:ell
    L_v_wmu(j+1) = computation of L(j,v,w-u);
end

output = zeros(ell+1,1);
output(1) = ( -4 + L_v_wmu(1) + L_u_wpv(1) ) *0.5;
for j = 1:ell
    output(j+1) = ( 2*(1+(-1)^j)/(j+1) + L_v_wmu(j+1) + L_u_wpv(1) ...
                    - j*output(j) ) / (ell+2);
end
for i = 1:k
```

```

output(1) = ( 2*(1+(-1)^k)/(k+1) + (-1)^k*L_v_wmu(0) + L_u_wpv(i) ...
             + k*output(j) ) / (k+2);
for j = 1:ell
    output(j+1) = ( (1+(-1)^ell)*(1+(-1)^k)/((ell+1)*(k+1)) ...
                  + (-1)^k*L_v_wmu(j) + L_u_wpv(i) ...
                  + k*output(j) - ell*output(j+1) ) / (k+ell+2);
end
end
output = output(ell+1);

```

Zusammenfassung:

Insgesamt muss also für alle Intervalle $[a, b] \subseteq \Gamma$, $[\mathbf{a}, \mathbf{b}] \subseteq \Gamma$

$$\langle V\phi_h, \psi_h \rangle_\Gamma = -\frac{1}{2\pi} \frac{|b-a|}{2} \frac{|\mathbf{b}-\mathbf{a}|}{2} \sum_{\ell=0}^N \sum_{k=0}^M \lambda_\ell \lambda_k \left[J(k, \ell, \mathbf{b}-\mathbf{a}, a-b, \mathbf{a}+\mathbf{b}-a-b) + \log \frac{1}{2} \cdot \tilde{\mathcal{I}}(k, \ell) \right]$$

mit $\text{supp } \phi_h \subseteq [a, b]$ und $\text{supp } \psi_h \subseteq [\mathbf{a}, \mathbf{b}]$ berechnet werden, um die Galerkinmatrix des Einfachschichtpotentials zu erhalten.

5.4.2 Doppelschichtpotential

Für alle Intervalle $[a, b] \subseteq \Gamma$, $[\mathbf{a}, \mathbf{b}] \subseteq \Gamma$ ist

$$\left\langle \left(K + \frac{1}{2} \right) \phi_h, \psi_h \right\rangle_\Gamma = \frac{|\mathbf{b}-\mathbf{a}|}{2} \sum_{\ell=0}^N \sum_{k=0}^M \lambda_\ell \lambda_k \left[\frac{1}{2} \int_{-1}^1 s^{k+\ell} ds - \frac{1}{2\pi} \frac{|b-a|}{2} \int_{-1}^1 \int_{-1}^1 s^k t^\ell \frac{\langle \gamma_{[a,b]}(t) - \gamma_{[a,b]}(s), \nu_{[a,b]} \rangle}{|\gamma_{[a,b]}(s) - \gamma_{[a,b]}(t)|^2} dt ds \right]$$

zu berechnen, wobei $\text{supp } \phi_h \subseteq [a, b]$ und $\text{supp } \psi_h \subseteq [\mathbf{a}, \mathbf{b}]$ gilt.

Wir betrachten zunächst einen Teil des Integranden des zweiten Integrals:

$$\begin{aligned} \frac{\gamma_{[a,b]}(t) - \gamma_{[a,b]}(s)}{|\gamma_{[a,b]}(s) - \gamma_{[a,b]}(t)|^2} &= \frac{\frac{1}{2}(a+b+t(b-a) - \mathbf{a} - \mathbf{b} - s(\mathbf{b}-\mathbf{a}))}{\frac{1}{4}|\mathbf{a}+\mathbf{b}+s(\mathbf{b}-\mathbf{a}) - a-b-t(b-a)|^2}} \\ &= 2 \cdot \frac{(b-a) \cdot t + (a-\mathbf{b}) \cdot s + (a+b-\mathbf{a}-\mathbf{b})}{|(\mathbf{b}-\mathbf{a}) \cdot s + (a-b) \cdot t + (\mathbf{a}+\mathbf{b}-a-b)|^2}. \end{aligned}$$

Wir setzen wieder

$$\begin{aligned} u &:= \mathbf{a} - \mathbf{b} \\ v &:= b - a \\ w &:= a + b - \mathbf{a} - \mathbf{b} \end{aligned}$$

und erhalten so für das zweite Integral

$$\int_{-1}^1 \int_{-1}^1 s^k t^\ell \frac{\langle \gamma_{[a,b]}(t) - \gamma_{[a,b]}(s), \nu_{[a,b]} \rangle}{|\gamma_{[a,b]}(s) - \gamma_{[a,b]}(t)|^2} dt ds = 2 \int_{-1}^1 \int_{-1}^1 s^k t^\ell \frac{\langle su + tv + w, \nu \rangle}{|su + tv + w|^2} dt ds.$$

Liegen die beiden Intervalle $[a, b]$ und $[\mathbf{a}, \mathbf{b}]$ auf derselben Geraden, so haben sie denselben Normalvektor und das im Integranden vorkommende Skalarprodukt ist 0. Also erhält man auch für das Doppelschichtpotential den Wert 0:

Lemma 5.12. *Seien $[a, b]$ und $[\mathbf{a}, \mathbf{b}]$ zwei Teilintervalle von Γ , $c = a + b - 2x$ und $d := b - a$. Liegen $[a, b]$ und $[\mathbf{a}, \mathbf{b}]$ auf einer Geraden, d.h.*

$$|c_1 d_2 - c_2 d_1| = 0 \quad \text{für } x \in [\mathbf{a}, \mathbf{b}] \quad \text{und} \quad \langle \mathbf{b} - \mathbf{a}, \nu \rangle = 0, \quad (5.28)$$

so gilt für den zugehörigen Eintrag in der Doppelschichtpotentialmatrix $\langle K_{[\mathbf{a}, \mathbf{b}]} \phi_h, \psi_{h, [\mathbf{a}, \mathbf{b}]} \rangle = 0$.

Beweis: $[a, b]$ und $[\mathbf{a}, \mathbf{b}]$ liegen auf einer Geraden, wenn gilt

$$x \in \overline{ab} \quad \text{für } x \in [\mathbf{a}, \mathbf{b}] \quad \text{und} \quad \langle \mathbf{b} - \mathbf{a}, \nu \rangle = 0$$

$$\begin{aligned} x \in \overline{ab} &\Leftrightarrow \exists t \in \mathbb{R} : x = \frac{1}{2}\{a + b + t(b - a)\} \\ &\Leftrightarrow \exists t \in \mathbb{R} : 2x - a - b = t(b - a) \\ &\Leftrightarrow \exists t \in \mathbb{R} : c = td \\ &\Leftrightarrow c, d \text{ sind linear abhängig} \\ &\Leftrightarrow |c_1 d_2 - c_2 d_1| = 0 \end{aligned}$$

□

Lemma 5.13. *Seien $u, v, w \in \mathbb{R}^2$, $u \neq 0$ und $u \parallel v$, d.h. $u = \mu v$ für ein $\mu \in \mathbb{R} \setminus \{0\}$. Wir definieren für $k, \ell \in \mathbb{N}_0$*

$$I(k, \ell, u, v, w) := \int_{-1}^1 \int_{-1}^1 s^k t^\ell \frac{\langle su + tv + w, \nu \rangle}{|su + tv + w|^2} dt ds. \quad (5.29)$$

Für $k, \ell \geq 0$ gilt dann folgende Rekursionsformel

$$\begin{aligned} (\ell + 1)I(k, \ell, u, v, w) &= \langle w, \nu \rangle G(k, u, w + v) + (-1)^\ell \langle w, \nu \rangle G(k, u, w - v) \\ &\quad - \mu \langle w, \nu \rangle G(\ell + 1, v, w + u) + (-1)^k \mu \langle w, \nu \rangle G(\ell + 1, v, w - u) \\ &\quad + k \mu I(k - 1, \ell + 1, u, v, w) \end{aligned} \quad (5.30)$$

mit Abbruchbedingung $k = 0$, da der letzte Summand verschwindet:

$$\begin{aligned} (\ell + 1)I(0, \ell, u, v, w) &= \langle w, \nu \rangle G(0, u, w + v) + (-1)^\ell \langle w, \nu \rangle G(0, u, w - v) \\ &\quad - \mu \langle w, \nu \rangle G(\ell + 1, v, w + u) + \mu \langle w, \nu \rangle G(\ell + 1, v, w - u) \end{aligned} \quad (5.31)$$

Beweis: Wir verwenden Lemma 5.3 mit

$$f(x) = \frac{\langle x, \nu \rangle}{|x|^2}$$

und erhalten

$$\begin{aligned} (\ell + 1)I(k, \ell, u, v, w) &= \int_{-1}^1 s^k \frac{\langle su + w + v, \nu \rangle}{|su + w + v|^2} ds - (-1)^{\ell+1} \int_{-1}^1 s^k \frac{\langle su + w - v, \nu \rangle}{|su + w - v|^2} ds \\ &\quad - \mu \int_{-1}^1 t^{\ell+1} \frac{\langle tv + w + u, \nu \rangle}{|tv + w + u|^2} dt + (-1)^k \mu \int_{-1}^1 t^{\ell+1} \frac{\langle tv + w - u, \nu \rangle}{|tv + w - u|^2} dt \\ &\quad + k \mu I(k - 1, \ell + 1, u, v, w). \end{aligned}$$

Wegen $\langle pt + q, \nu \rangle = t\langle p, \nu \rangle + \langle q, \nu \rangle$ kann man die Summenregel für Integrale anwenden. Der Vektor ν steht aufgrund seiner speziellen Wahl normal auf v und, da $u \parallel v$ gilt, auch normal auf u . Das heißt $\langle v, \nu \rangle = \langle u, \nu \rangle = 0$ und $\langle w \pm v, \nu \rangle = \langle w \pm u, \nu \rangle = \langle w, \nu \rangle$. Durch Streichen der Terme mit diesen Vorfaktoren ergibt sich für das Integral

$$\begin{aligned} (\ell + 1)I(k, \ell, u, v, w) &= \langle w, \nu \rangle \int_{-1}^1 \frac{s^k}{|su + w + v|^2} ds + (-1)^\ell \langle w, \nu \rangle \int_{-1}^1 \frac{s^k}{|su + w - v|^2} ds \\ &\quad - \mu \langle w, \nu \rangle \int_{-1}^1 \frac{t^{\ell+1}}{|tv + w + u|^2} dt + (-1)^k \mu \langle w, \nu \rangle \int_{-1}^1 \frac{t^{\ell+1}}{|tv + w - u|^2} dt \\ &\quad + k\mu I(k-1, \ell+1, u, v, w). \end{aligned}$$

Verwendet man nun die Funktion aus Lemma 5.1, so erhält man

$$\begin{aligned} (\ell + 1)I(k, \ell, u, v, w) &= \langle w, \nu \rangle G(k, u, w + v) + (-1)^\ell \langle w, \nu \rangle G(k, u, w - v) \\ &\quad - \mu \langle w, \nu \rangle G(\ell + 1, v, w + u) + (-1)^k \mu \langle w, \nu \rangle G(\ell + 1, v, w - u) \\ &\quad + k\mu I(k-1, \ell+1, u, v, w). \end{aligned}$$

□

Um das Integral $I(k, \ell, u, v, w)$ aus Lemma 5.13 zu bestimmen, muss eine Rekursion ausgeführt werden. Dies lässt sich auch leicht induktiv bewerkstelligen:

$$I_{0, \ell+k} \rightarrow I_{1, \ell+k-1} \rightarrow \dots \rightarrow I_{k-1, \ell+1} \rightarrow I_{k, \ell}$$

Man bestimmt zuerst $I(0, \ell+k, u, v, w)$ und dann $I(i, \ell+k-i, u, v, w)$ für $i = 1, \dots, k$. Zur Berechnung dieses Integrals benötigt man daher $k+1$ Schleifendurchläufe.

Auch die benötigten einfachen Integrale, d.h die Funktionen $G(i, p, q)$, kann man induktiv berechnen. Um $I(k, \ell, u, v, w)$ zu erhalten, müssen die Funktionswerte von $G(i, u, w + v)$ und $G(i, u, w - v)$ für $i = 0, \dots, k$ und $G(i, v, w + u)$ und $G(i, v, w - u)$ für $i = \ell + 1, \dots, \ell + k + 1$ bekannt sein.

Man bestimmt also in $k+1$ Schritten $G(i, u, w + v)$ und $G(i, u, w - v)$. In $\ell + k + 2$ Schritten ermittelt man $G(i, v, w + u)$ und $G(i, v, w - u)$.

Algorithmus 5.14. *u, v parallel*

```
function output = I1(k, ell, u, v, w)
```

```
    compute mu;
```

```
    n = [u(2), -u(1)];
```

```
    w_n = w(1)*n(1)+w(2)*n(2);
```

```
    G_u_wpv = zeros(k+1,1);
```

```
    G_u_wmv = zeros(k+1,1);
```

```
    G_v_wpu = zeros(ell+1,1);
```

```
    G_v_wmu = zeros(ell+1,1);
```

```
    for j = 0:k
```

```
        G_u_wpv(j+1) = computation of G(j,u,w+v);
```

```
        G_u_wmv(j+1) = computation of G(j,u,w-v);
```

```
    end
```

```

for j = 0:ell
    G_v_wpu(1) = computation of G(j,v,w+u) by updating G_v_wpu(1);
    G_v_wmu(1) = computation of G(j,v,w-u) by updating G_v_wmu(1);
end
for j = (ell+1):(ell+k+1)
    G_v_wpu(j-ell) = computation of G(j,v,w+u);
    G_v_wmu(j-ell) = computation of G(j,v,w-u);
end

output = ( G_u_wpv(1) + (-1)^(ell+k)*G_u_wmv(1) - mu*G_v_wpu(k+1) ...
           + mu*G_v_wmu(k+1) ) *w_n/(ell+k+1);
for j = 1:k
    output = ( w_n*G_u_wpv(j) + (-1)^(ell+k-j)*w_n*G_u_wmv(j) ...
              - mu*w_n*G_v_wpu(k+1-j) + mu*w_n*(-1)^j*G_v_wmu(k+1-j) ...
              + j*mu*output ) / (ell+k+1-j);
end

```

Lemma 5.15. Seien $u, v, w \in \mathbb{R}^2$ mit $u \neq 0, v \neq 0$ und $u \nparallel v$, d.h. $w = \mu_1 u + \mu_2 v$ mit $\mu_1, \mu_2 \in \mathbb{R}$. Wir definieren für $k, \ell \in \mathbb{N}_0$

$$I(k, \ell, u, v, w) := \int_{-1}^1 \int_{-1}^1 s^k t^\ell \frac{\langle su + tv + w, \nu \rangle}{|su + tv + w|^2} dt ds. \quad (5.32)$$

Für $k, \ell \geq 0$ gilt dann folgende Rekursionsformel

$$\begin{aligned}
& (k + \ell + 1)I(k, \ell, u, v, w) \\
&= (\mu_1 + 1)\langle w + u, \nu \rangle G(\ell, v, w + u) - (-1)^k (\mu_1 - 1)\langle w - u, \nu \rangle G(\ell, v, w - u) \\
&+ (\mu_2 + 1)\langle u, \nu \rangle G(k + 1, u, w + v) + (\mu_2 + 1)\langle w, \nu \rangle G(k, u, w + v) \\
&- (-1)^\ell (\mu_2 - 1)\langle u, \nu \rangle G(k + 1, u, w - v) - (-1)^\ell (\mu_2 - 1)\langle w, \nu \rangle G(k, u, w - v) \\
&- k\mu_1 I(k - 1, \ell, u, v, w) - \ell\mu_2 I(k, \ell - 1, u, v, w),
\end{aligned} \quad (5.33)$$

wobei für $k = 0$ der vorletzte und für $\ell = 0$ der letzte Summand entfällt. Die Rekursion bricht ab, sobald $k = \ell = 0$ gilt:

$$\begin{aligned}
I(0, 0, u, v, w) &= (\mu_1 + 1)\langle w + u, \nu \rangle G(0, v, w + u) - (\mu_1 - 1)\langle w - u, \nu \rangle G(0, v, w - u) \\
&+ (\mu_2 + 1)\langle u, \nu \rangle G(1, u, w + v) + (\mu_2 + 1)\langle w, \nu \rangle G(0, u, w + v) \\
&- (\mu_2 - 1)\langle u, \nu \rangle G(1, u, w - v) - (\mu_2 - 1)\langle w, \nu \rangle G(0, u, w - v)
\end{aligned} \quad (5.34)$$

Beweis: Die Funktion $f : \mathbb{R}^2 \rightarrow \mathbb{R}$,

$$f(x) = \frac{\langle x, \nu \rangle}{|x|^2}$$

erfüllt die Bedingung $\langle x, \nabla f(x) \rangle = h(x) + pf(x)$ von Lemma 5.4 mit $h(x) \equiv 0$ und $p = -1$: Ausrechnen des Skalarprodukts liefert

$$f(x) = \frac{x_1}{|x|^2} \cdot \nu_1 + \frac{x_2}{|x|^2} \cdot \nu_2$$

Nach Kettenregel gilt

$$\begin{aligned}
\partial_k \frac{x_j}{|x|^2} &= \frac{\delta_{jk}|x|^2 - 2x_j x_k}{|x|^4} \\
\nabla \frac{x_1}{|x|^2} &= \left(\frac{x_2^2 - x_1^2}{|x|^4}; -\frac{2x_1 x_2}{|x|^4} \right) \\
\nabla \frac{x_2}{|x|^2} &= \left(-\frac{2x_1 x_2}{|x|^4}; \frac{x_1^2 - x_2^2}{|x|^4} \right) \\
\langle x, \nabla f(x) \rangle &= \left\langle \left(\frac{x_1 x_2^2 - x_1^3 - 2x_1 x_2^2}{|x|^4}; \frac{-2x_1^2 x_2 + x_1^2 x_2 - x_2^3}{|x|^4} \right), \nu \right\rangle \\
&= \left\langle \left(\frac{-x_1(x_1^2 + x_2^2)}{|x|^4}; \frac{-x_2(x_1^2 + x_2^2)}{|x|^4} \right), \nu \right\rangle \\
&= \left\langle \left(-\frac{x_1}{|x|^2}; -\frac{x_2}{|x|^2} \right), \nu \right\rangle \\
&= -f(x) = h(x) + pf(x)
\end{aligned}$$

Es gilt also $h(x) \equiv 0$ und $p = -1$. Wendet man nun Lemma 5.4 an, erhält man

$$\begin{aligned}
&(k + \ell + 1)I(k, \ell, u, v, w) \\
&= (\mu_1 + 1) \int_{-1}^1 t^\ell \frac{\langle tv + w + u, \nu \rangle}{|tv + w + u|^2} dt - (-1)^k (\mu_1 - 1) \int_{-1}^1 t^\ell \frac{\langle tv + w - u, \nu \rangle}{|tv + w - u|^2} dt \\
&\quad + (\mu_2 + 1) \int_{-1}^1 s^k \frac{\langle su + w + v, \nu \rangle}{|su + w + v|^2} ds - (-1)^\ell (\mu_2 - 1) \int_{-1}^1 s^k \frac{\langle su + w - v, \nu \rangle}{|su + w - v|^2} ds \\
&\quad - k\mu_1 I(k - 1, \ell, u, v, w) - \ell\mu_2 I(k, \ell - 1, u, v, w).
\end{aligned}$$

Wegen $\langle pt + q, \nu \rangle = t\langle p, \nu \rangle + \langle q, \nu \rangle$ kann man wiederum die Summenregel für Integrale anwenden. Der Vektor ν steht aufgrund seiner speziellen Wahl normal auf v .

Das heißt $\langle v, \nu \rangle = 0$ und $\langle w \pm v, \nu \rangle = \langle w, \nu \rangle$. Durch Streichen der Terme mit diesen Vorfaktoren ergibt sich für das Integral:

$$\begin{aligned}
&(k + \ell + 1)I(k, \ell, u, v, w) \\
&= (\mu_1 + 1)\langle w + u, \nu \rangle \int_{-1}^1 \frac{t^\ell}{|tv + w + u|^2} dt - (-1)^k (\mu_1 - 1)\langle w - u, \nu \rangle \int_{-1}^1 \frac{t^\ell}{|tv + w - u|^2} dt \\
&\quad + (\mu_2 + 1)\langle u, \nu \rangle \int_{-1}^1 \frac{s^{k+1}}{|su + w + v|^2} ds + (\mu_2 + 1)\langle w, \nu \rangle \int_{-1}^1 \frac{s^k}{|su + w + v|^2} ds \\
&\quad - (-1)^\ell (\mu_2 - 1)\langle u, \nu \rangle \int_{-1}^1 \frac{s^{k+1}}{|su + w - v|^2} ds - (-1)^\ell (\mu_2 - 1)\langle w, \nu \rangle \int_{-1}^1 \frac{s^k}{|su + w - v|^2} ds \\
&\quad - k\mu_1 I(k - 1, \ell, u, v, w) - \ell\mu_2 I(k, \ell - 1, u, v, w).
\end{aligned}$$

Verwendet man nun die Funktion aus Lemma 5.1, so erhält man

$$\begin{aligned}
&(k + \ell + 1)I(k, \ell, u, v, w) \\
&= (\mu_1 + 1)\langle w + u, \nu \rangle G(\ell, v, w + u) - (-1)^k (\mu_1 - 1)\langle w - u, \nu \rangle G(\ell, v, w - u) \\
&\quad + (\mu_2 + 1)\langle u, \nu \rangle G(k + 1, u, w + v) + (\mu_2 + 1)\langle w, \nu \rangle G(k, u, w + v) \\
&\quad - (-1)^\ell (\mu_2 - 1)\langle u, \nu \rangle G(k + 1, u, w - v) - (-1)^\ell (\mu_2 - 1)\langle w, \nu \rangle G(k, u, w - v) \\
&\quad - k\mu_1 I(k - 1, \ell, u, v, w) - \ell\mu_2 I(k, \ell - 1, u, v, w)
\end{aligned}$$

□

Auch diese Rekursionsformel lässt sich induktiv umschreiben - das Berechnungsschema entspricht hierbei einer Matrix.

$$\begin{array}{cccccc}
 I_{0,0} & \rightarrow & I_{0,1} & \rightarrow & I_{0,2} & \cdots & I_{0,\ell} \\
 \downarrow & & \downarrow & & \downarrow & & \downarrow \\
 I_{1,0} & \rightarrow & I_{1,1} & \rightarrow & I_{1,2} & \cdots & I_{1,\ell} \\
 \vdots & & \vdots & & \vdots & & \vdots \\
 I_{k-1,0} & \rightarrow & I_{k-1,1} & \rightarrow & I_{k-1,2} & \cdots & I_{k-1,\ell} \\
 \downarrow & & \downarrow & & \downarrow & & \downarrow \\
 I_{k,0} & \rightarrow & I_{k,1} & \rightarrow & I_{k,2} & \cdots & I_{k,\ell}
 \end{array}$$

Zuerst ermittelt man den Wert von $I(0,0,u,v,w)$ und dann von $I(0,j,u,v,w)$ für $j = 1, \dots, \ell$ - das entspricht der ersten Zeile des Schemas. Aus den $\ell + 1$ nun errechneten Werten bestimmt man nun zeilenweise von links nach rechts $I(i,j,u,v,w)$ für $j = 1, \dots, k + 1$ und $i = 1, \dots, \ell + 1$. Insgesamt erhält das gewünschte Integral also in $(k + 1) \cdot (\ell + 1)$ Schritten.

Auch die benötigten einfachen Integrale, d.h die Funktionen $G(i,p,q)$, kann man induktiv berechnen. Um $I(k,\ell,u,v,w)$ zu erhalten, müssen die Funktionswerte von $G(i,u,w+v)$ und $G(i,u,w-v)$ für $i = 0, \dots, k + 1$ und $G(i,v,w+u)$ und $G(i,v,w-u)$ für $i = 0, \dots, \ell$ bekannt sein.

Algorithmus 5.16. *u,v nicht parallel*

```

function output = I2(k,ell,u,v,w)

    compute mu1,mu2;

    wpu = w+u;
    wmu = w-u;
    n = [v(2), -v(1)];
    u_n = u(1)*n(1)+u(2)*n(2);
    w_n = w(1)*n(1)+w(2)*n(2);
    wpu_n = wpu(1)*n(1)+wpu(2)*n(2);
    wmu_n = wmu(1)*n(1)+wmu(2)*n(2);

    G_u_wpv = zeros(k+2,1);
    G_u_wmv = zeros(k+2,1);
    G_v_wpu = zeros(ell+1,1);
    G_v_wmu = zeros(ell+1,1);
    for j = 0:k+1
        G_u_wpv(j+1) = computation of G(j,u,w+v);
        G_u_wmv(j+1) = computation of G(j,u,w-v);
    end
    for j = 0:ell
        G_v_wpu(j+1) = computation of G(j,v,w+u);
        G_v_wmu(j+1) = computation of G(j,v,w-u);
    end

    output = zeros(ell+1,1);

```

```

output(1) = (mu1+1)*wpu_n*G_v_wpu(1) - (mu1-1)*wmu_n*G_v_wmu(1) ...
           + (mu2+1)*u_n*G_u_wpv(2) + (mu2+1)*w_n*G_u_wpv(1) ...
           - (mu2-1)*u_n*G_u_wmv(2) - (mu2-1)*w_n*G_u_wmv(1);
for j = 1:ell
    output(j+1) = ( (mu1+1)*wpu_n*G_v_wpu(j+1) - (mu1-1)*wmu_n*G_v_wmu(j+1) ...
                  + (mu2+1)*u_n*G_u_wpv(2) + (mu2+1)*w_n*G_u_wpv(1) ...
                  - (-1)^j*(mu2-1)*u_n*G_u_wmv(2) ...
                  - (-1)^j*(mu2-1)*w_n*G_u_wmv(1) ...
                  - j*mu2*output(j) ) / (j+1);
end
for i = 1:k
    output(1) = ( (mu1+1)*wpu_n*G_v_wpu(1) - (-1)^i*(mu1-1)*wmu_n*G_v_wmu(1) ...
                  + (mu2+1)*u_n*G_u_wpv(i+2) + (mu2+1)*w_n*G_u_wpv(i+1) ...
                  - (mu2-1)*u_n*G_u_wmv(i+2) - (mu2-1)*w_n*G_u_wmv(i+1) ...
                  - i*mu1*output(1) ) / (i+1);
    for j = 1:ell
        output(j+1) = ( (mu1+1)*wpu_n*G_v_wpu(j+1) ...
                        - (-1)^i*(mu1-1)*wmu_n*G_v_wmu(j+1) ...
                        + (mu2+1)*u_n*G_u_wpv(i+2) + (mu2+1)*w_n*G_u_wpv(i+1) ...
                        - (-1)^j*(mu2-1)*u_n*G_u_wmv(i+2) ...
                        - (-1)^j*(mu2-1)*w_n*G_u_wmv(i+1) ...
                        - i*mu1*output(j+1) - j*mu2*output(j) ) / (i+j+1);
    end
end
output = output(ell+1);

```

Im Fall von Lemma 5.15, d.h. $u \nparallel v$, und induktiver Berechnung aller Funktionen ist besondere Vorsicht geboten, falls sich die beiden Intervalle $[a, b]$ und $[\mathfrak{a}, \mathfrak{b}]$ berühren, d.h. entweder $a = \mathfrak{b}$ oder $b = \mathfrak{a}$ gilt. Unter diesen Gegebenheiten treten Probleme bei der Berechnung von $G(1, p, q)$ auf, da $p + q = 0$ oder $p - q = 0$ gilt und $\log |p + q|$ bzw. $\log |p - q|$ errechnet werden sollte. Betrachtet man jedoch die Formel für $I(k, l, u, v, w)$ aus Lemma 5.15, so erkennt man, dass die kritischen Terme wegfallen:

Lemma 5.17. *Seien $u, v, w \in \mathbb{R}^2$ mit $u \neq 0, v \neq 0$, für die gilt $u \nparallel v$.*

(i) *Ist $b = \mathfrak{a}$, so gilt $w = u - v$, d.h. $\mu_1 = 1$ und $\mu_2 = -1$, und mit $k, \ell \geq 0$ für das in Lemma 5.15 definierte Integral die Rekursionsformel*

$$\begin{aligned}
 (k + \ell + 1)I(k, \ell, u, v, w) &= 2\langle w + u, \nu \rangle G(\ell, v, w + u) + 2(-1)^\ell \langle u, \nu \rangle G(k + 1, u, w - v) \\
 &\quad + 2(-1)^\ell \langle w, \nu \rangle G(k, u, w - v) - kI(k - 1, \ell, u, v, w) + \ell I(k, \ell - 1, u, v, w),
 \end{aligned}
 \tag{5.35}$$

wobei für $k = 0$ der vorletzte und für $\ell = 0$ der letzte Summand entfällt. Die Rekursion bricht ab, sobald $k = \ell = 0$ gilt:

$$I(0, 0, u, v, w) = 2\left(\langle w + u, \nu \rangle G(0, v, w + u) + \langle u, \nu \rangle G(1, u, w - v) + \langle w, \nu \rangle G(0, u, w - v)\right)
 \tag{5.36}$$

(ii) Ist $a = \mathbf{b}$ so gilt $w = v - u$, d.h. $\mu_1 = -1$ und $\mu_2 = 1$, und mit $k, \ell \geq 0$ für das in Lemma 5.15 definierte Integral die Rekursionsformel

$$(k + \ell + 1)I(k, \ell, u, v, w) = 2(-1)^k \langle w - u, \nu \rangle G(\ell, v, w - u) + 2 \langle u, \nu \rangle G(k + 1, u, w + v) \\ + 2 \langle w, \nu \rangle G(k, u, w + v) + kI(k - 1, \ell, u, v, w) - \ell I(k, \ell - 1, u, v, w), \quad (5.37)$$

wobei für $k = 0$ der vorletzte und für $\ell = 0$ der letzte Summand entfällt. Die Rekursion bricht ab, sobald $k = \ell = 0$ gilt:

$$I(0, 0, u, v, w) = 2 \left(\langle w - u, \nu \rangle G(0, v, w - u) + \langle u, \nu \rangle G(1, u, w + v) + \langle w, \nu \rangle G(0, u, w + v) \right) \quad (5.38)$$

□

Algorithmus 5.18. u, v nicht parallel; $a=bb$ bzw. $b=aa$

```
function output = I2_touch_b_aa(k,ell,u,v,w)

wpu = w+u;
n = [v(2), -v(1)];
u_n = u(1)*n(1)+u(2)*n(2);
w_n = w(1)*n(1)+w(2)*n(2);
wpu_n = wpu(1)*n(1)+wpu(2)*n(2);

G_u_wmv = zeros(k+2,1);
G_v_wpu = zeros(ell+1,1);
for j = 0:k+1
    G_u_wpv(j+1) = computation of G(j,u,w-v);
end
for j = 0:ell
    G_v_wmu(j+1) = computation of G(j,v,w+u);
end

output = zeros(ell+1,1);
output(1) = 2*wpu_n*G_v_wpu(1) + 2*u_n*G_u_wmv(2) + 2*w_n*G_u_wmv(1);
for j = 1:ell
    output(j+1) = ( 2*wpu_n*G_v_wpu(j+1) + 2*(-1)^j*u_n*G_u_wmv(2) ...
        + 2*(-1)^j*w_n*G_u_wmv(1) + j*output(j) ) / (j+1);
end
for i = 1:k
    output(1) = ( + 2*wpu_n*G_v_wpu(1) + 2*u_n*G_u_wmv(i+2) ...
        + 2*w_n*G_u_wmv(i+1) - i*output(1) ) / (i+1);
    for j = 1:ell
        output(j+1) = ( 2*wpu_n*G_v_wpu(j+1) + 2*(-1)^j*u_n*G_u_wmv(i+2) ...
            + 2*(-1)^j*w_n*G_u_wmv(i+1) ...
            - i*output(j+1) - j*output(j) ) / (i+j+1);
    end
end
end
```

```

output = output(e11+1);

function output = I2_touch_a_bb(k,e11,u,v,w)

    wmu = wmu;
    n = [v(2), -v(1)];
    u_n = u(1)*n(1)+u(2)*n(2);
    w_n = w(1)*n(1)+w(2)*n(2);
    wmu_n = wmu(1)*n(1)+wmu(2)*n(2);

    G_u_wpv = zeros(k+2,1);
    G_v_wmu = zeros(e11+1,1);

    for j = 0:k+1
        G_u_wmv(j+1) = computation of G(j,u,w-v);
    end
    for j = 0:e11
        G_v_wpu(j+1) = computation of G(j,v,w+u);
    end

    output = zeros(e11+1,1);
    output(1) = 2*wmu_n*G_v_wpu(1) + 2*u_n*G_u_wpv(2) + 2*w_n*G_u_wpv(1);
    for j = 1:e11
        output(j+1) = ( 2*wmu_n*G_v_wmu(j+1) + 2*u_n*G_u_wpv(2)...
            + 2*w_n*G_u_wpv(1) + j*output(j) ) / (j+1);
    end
    for i = 1:k
        output(1) = ( 2*(-1)^i*wmu_n*G_v_wmu(1) + 2*u_n*G_u_wpv(i+2)...
            + 2*w_n*G_u_wpv(i+1) + i*output(1) ) / (i+1);
        for j = 1:e11
            output(j+1) = ( 2*(-1)^i*wmu_n*G_v_wmu(j+1) + 2*u_n*G_u_wpv(i+2)...
                + 2*w_n*G_u_wpv(i+1) + i*output(j+1) ...
                + j*output(j+1) ) / (i+j+1);
        end
    end
    output = output(e11+1);

```

Das erste Integral lässt sich elementar wie in Lemma 5.5 berechnen.

Zusammenfassung:

Insgesamt muss für alle Intervalle $[a, b] \subseteq \Gamma$, $[\mathbf{a}, \mathbf{b}] \subseteq \Gamma$

$$\begin{aligned}
 \left\langle \left(K + \frac{1}{2}\right) \phi_h, \psi_h \right\rangle_{\Gamma} &= \frac{|\mathbf{b} - \mathbf{a}|}{2} \sum_{\ell=0}^N \sum_{k=0}^M \lambda_{\ell} \lambda_k \left[\frac{1 - (-1)^{k+\ell+1}}{k + \ell + 1} \right. \\
 &\quad \left. - \frac{1}{\pi} \frac{|b - a|}{2} I(k, \ell, b - a, \mathbf{a} - \mathbf{b}, a + b - \mathbf{a} - \mathbf{b}) \right]
 \end{aligned}$$

mit $\text{supp } \phi_h \subseteq [a, b]$ und $\text{supp } \psi_h \subseteq [a, b]$ berechnet werden, um die Galerkinmatrix des Doppelschichtpotentials zu erhalten.

5.4.3 exakte rechte Seite

Unter Verwendung der Tatsache, dass die Integraloperatoren K und K' adjungiert sind, kann man die rechte Seite der Symm'schen Integralgleichung exakt berechnen.

Wir betrachten die rechte Seite

$$F := \langle (K + \frac{1}{2})g, \psi_h \rangle_\Gamma.$$

ψ_h sei — wie schon zu Beginn dieses Abschnitts — ein stückweises Polynom in der Bogenlänge vom Grad N

$$\psi_h|_{T_j} = \psi_h \circ \gamma(s) = \sum_{\ell=0}^M \lambda_\ell s^\ell \quad \text{für } s \in [-1; 1],$$

wobei $\gamma : [-1; 1] \rightarrow T_j$ die Parametrisierung aus Gleichung (5.17) ist.

Wendet man Satz 2.29 an, so kann man vom Doppelschichtpotential zu dessen Adjungierter übergehen

$$F = \langle (K + \frac{1}{2})g, \psi_h \rangle_\Gamma = \langle g, (K' + \frac{1}{2})\psi_h \rangle_\Gamma,$$

wobei sich das adjungierte Doppelschichtpotential darstellen lässt als

$$(K'\psi_h)(x) := -\frac{1}{2\pi} \int_\Gamma \psi_h(y) \frac{\langle x - y, \nu_x \rangle}{|x - y|^2} ds_y.$$

Für jedes Element $T_j = [a, b]$ der Partition \mathcal{T}_h muss also

$$\begin{aligned} F_j &= \frac{1}{2} \int_{T_j} g(x) \psi_h(x) ds_x + \int_\Gamma g(x) (K'\psi_h|_{T_j})(x) ds_x \\ &= \frac{1}{2} \int_{T_j} g(x) \psi_h(x) ds_x + \sum_{\substack{T_k=[a,b] \\ T_k \in \mathcal{T}_h}} \int_{T_k} g(x) (K'\psi_h|_{T_j})(x) ds_x \end{aligned}$$

berechnet werden.

Wir betrachten zunächst das erste Integral

$$\frac{1}{2} \int_{T_j} g(x) \psi_h(x) ds_x = \frac{1}{2} \int_{[a,b]} g(x) \psi_h(x) ds_x = \frac{1}{2} \frac{|b-a|}{2} \sum_{\ell=0}^M \lambda_\ell \int_{-1}^1 s^\ell g(\gamma_{[a,b]}(s)) ds.$$

Hierfür kann man die übliche Gauss-Quadraturformel benutzen, d.h

$$\frac{1}{2} \int_{T_j} g(x) \psi_h(x) ds_x = \frac{1}{2} \frac{|b-a|}{2} \sum_{\ell=0}^M \lambda_\ell \sum_{i=1}^p \omega_i s_i^\ell g(\gamma_{[a,b]}(s_i)) ds.$$

Für das zweite Integral berechnen wir zunächst das Doppelschichtpotential für ein Element $T_j = [a, b]$

$$(K'\psi|_{[a,b]})(x) = -\frac{1}{2\pi} \int_{[a,b]} \psi(y) \frac{\langle x-y, \nu_x \rangle}{|x-y|^2} ds_y = -\frac{1}{2\pi} \frac{|b-a|}{2} \sum_{\ell=0}^M \lambda_\ell \int_{-1}^1 s^\ell \frac{\langle x-\gamma(s), \nu_x \rangle}{|x-\gamma(s)|^2} ds.$$

Mit $d := b-a$ und $c := a+b-2x$ gilt

$$\begin{aligned} |x-y|^2 &= \left| x - \frac{1}{2}(a+b+s(b-a)) \right|^2 = \frac{1}{4} |2x-a-b-s(b-a)|^2 = \frac{1}{4} |ds-c|^2 \\ &= \frac{1}{4} (|d|^2 s^2 - 2s\langle c, d \rangle + |c|^2). \end{aligned}$$

Die Diskriminante lautet $\Delta := 4\langle c, d \rangle^2 - 4|c|^2|d|^2$. Wegen der Cauchy-Schwarz-Ungleichung gilt stets $\Delta \leq 0$ und es müssen daher nur zwei Fälle unterschieden werden:

$$\begin{aligned} \Delta = 0 &\Leftrightarrow D := \sqrt{|d|^2|c|^2 - \langle c, d \rangle^2} = 0 \\ \Delta < 0 &\Leftrightarrow D > 0 \end{aligned}$$

1. Fall: $D > 0$. Für den Integranden gilt

$$\begin{aligned} s^\ell \frac{\langle x-\gamma(s), \nu_x \rangle}{|x-\gamma(s)|^2} &= 4s^\ell \frac{\frac{1}{2}\langle ds-c, \nu_x \rangle}{|d|^2 s^2 - 2\langle c, d \rangle s + |c|^2} \\ &= 2s^\ell \frac{\langle d, \nu_x \rangle s - \langle c, \nu_x \rangle}{|d|^2 s^2 - 2\langle c, d \rangle s + |c|^2} \\ &= 2\langle d, \nu_x \rangle \frac{s^{\ell+1}}{|d|^2 s^2 - 2\langle c, d \rangle s + |c|^2} - 2\langle c, \nu_x \rangle \frac{s^\ell}{|d|^2 s^2 - 2\langle c, d \rangle s + |c|^2}, \end{aligned}$$

also insgesamt mit der Funktion G aus Lemma 5.1

$$\begin{aligned} (K'\psi|_{[a,b]})(x) &= -\frac{1}{2\pi} \frac{|b-a|}{2} 2 \sum_{\ell=0}^M \lambda_\ell \left(\langle d, \nu_x \rangle \frac{s^{\ell+1}}{|d|^2 s^2 - 2\langle c, d \rangle s + |c|^2} - \langle c, \nu_x \rangle \frac{s^\ell}{|d|^2 s^2 - 2\langle c, d \rangle s + |c|^2} \right) \\ &= -\frac{1}{2\pi} |b-a| \sum_{\ell=0}^M \lambda_\ell \left(\langle d, \nu_x \rangle G(\ell+1, d, -c) - \langle c, \nu_x \rangle G(\ell, d, -c) \right). \end{aligned}$$

2. Fall: $D = 0$.

2.1 Fall: $|c| \leq |d|$. In diesem Fall gibt es ein $s \in [-1; 1]$, sodass $|c| = |s| |d|$. Dies ist gleichbedeutend mit der Aussage, dass es ein $s \in [-1; 1]$ gibt, dass $2x-a-b = s(b-a)$ gilt. Durch eine Äquivalenzumformung erhält man die Existenz eines $s \in [-1; 1]$ mit $x = \frac{1}{2}(a+b+s(b-a))$. Das ist wiederum äquivalent zur Aussage, dass x im Intervall $[a, b]$ liegen muss. Für $y \in [a, b]$, $x \neq y$ ist dann der Vektor $x-y$ parallel zu $b-a$, also orthogonal zur Normalen ν_x . Damit verschwindet der Zähler des Integranden, d.h.

$$(K'\psi_h|_{[a,b]})(x) = 0.$$

2.2 Fall: $|c| > |d|$.

Die Idee für diesen Fall ist es, ν_x in einen tangentialen und einen normalen Anteil bezüglich $x-y$ aufzuteilen, d.h.

$$\nu_x = T + N \quad \text{mit} \quad N = \tilde{\alpha} \nu_y = \alpha \begin{pmatrix} b_2 - a_2 \\ a_1 - b_1 \end{pmatrix}, \quad T = \tilde{\beta}(x-y) = \beta(b-a).$$

Nach Voraussetzung existiert für jedes $y \in [a, b]$ ein $\mu \neq 0$ mit $\mu(x-y) = d$, da $x \in \overline{ab} \setminus [a, b]$. Aufgrund der Orthogonalität (insb. der linearen Unabhängigkeit) von $(b_2 - a_2, a_1 - b_1)$ und $d = (b_1 - a_1, b_2 - a_2)$ existieren $\alpha, \beta \in \mathbb{R}$ mit

$$\frac{(\mathfrak{d}_2, -\mathfrak{d}_1)}{|\mathfrak{d}|} = \nu_x = \alpha \begin{pmatrix} d_2 \\ -d_1 \end{pmatrix} + \beta \begin{pmatrix} d_1 \\ d_2 \end{pmatrix} = \begin{pmatrix} \beta d_1 + \alpha d_2 \\ \beta d_2 - \alpha d_1 \end{pmatrix}.$$

Im Fall $d_2 = 0$ erhalten wir $\frac{\mathfrak{d}_2}{|\mathfrak{d}|} = \beta d_1$, also

$$\beta = \frac{\mathfrak{d}_2}{|\mathfrak{d}|d_1} = \frac{\mathfrak{d}_2 d_1}{|\mathfrak{d}|d_1^2} = \frac{\mathfrak{d}_2 d_1}{|\mathfrak{d}||d|^2},$$

denn aus $d \neq 0$ und $d_2 = 0$ folgt $d_1 \neq 0$.

Im Fall $d_2 \neq 0$ erhalten wir zunächst aus der ersten Zeile

$$\frac{\mathfrak{d}_2}{|\mathfrak{d}|} = \beta d_1 + \alpha d_2, \quad \text{also} \quad \alpha = \frac{1}{d_2} \left(\frac{\mathfrak{d}_2}{|\mathfrak{d}|} - \beta d_1 \right).$$

Nun lautet die zweite Zeile

$$\begin{aligned} \frac{-\mathfrak{d}_1}{|\mathfrak{d}|} &= \beta d_2 - \alpha d_1 = \beta d_2 - \frac{d_1}{d_2} \left(\frac{\mathfrak{d}_2}{|\mathfrak{d}|} - \beta d_1 \right) = \beta d_2 - \frac{d_1 \mathfrak{d}_2}{d_2 |\mathfrak{d}|} + \beta \frac{d_1^2}{d_2} = \beta \frac{d_1^2 + d_2^2}{d_2} - \frac{d_1 \mathfrak{d}_2}{d_2 |\mathfrak{d}|} \\ &= \beta \frac{|d|^2}{d_2} - \frac{d_1 \mathfrak{d}_2}{d_2 |\mathfrak{d}|}, \end{aligned}$$

und wir erhalten für β die Gleichung

$$\beta = \frac{d_2}{|d|^2} \left(\frac{d_1 \mathfrak{d}_2}{d_2 |\mathfrak{d}|} - \frac{\mathfrak{d}_1}{|\mathfrak{d}|} \right) = \frac{d_2}{|d|^2} \left(\frac{d_1 \mathfrak{d}_2 - \mathfrak{d}_1 d_2}{d_2 |\mathfrak{d}|} \right) = \frac{d_1 \mathfrak{d}_2 - d_2 \mathfrak{d}_1}{|d|^2 |\mathfrak{d}|} = \frac{\langle d, (\mathfrak{d}_2, -\mathfrak{d}_1) \rangle}{|d|^2 |\mathfrak{d}|} = \frac{\langle d, \nu_x \rangle}{|d|^2},$$

die sich auch mit dem Fall $d_2 = 0$ verträgt. Für $y \in [a, b]$ gilt nun

$$\begin{aligned} \langle x - y, \nu_x \rangle &= \langle x - y, (T + N) \rangle = \langle x - y, T \rangle = \beta \langle x - y, d \rangle = \beta \mu \langle x - y, x - y \rangle \\ &= \beta \mu |x - y|^2, \end{aligned}$$

was das Problem darauf eingrenzt, für jedes y den Skalar $\mu = \mu(y)$ zu bestimmen und die so erhaltene Funktion μ über $[a, b]$ zu integrieren. Es gilt $\mu(x-y) = d$, also auch komponentenweise aufaddiert

$$\begin{aligned} d_1 + d_2 &= \mu \{x_1 - y_1 + x_2 - y_2\} \\ &= \mu \frac{1}{2} \{2x_1 - (a_1 + b_1 + s(b_1 - a_1)) + 2x_2 - (a_2 + b_2 + s(b_2 - a_2))\} \\ &= \mu \frac{1}{2} \{-c_1 - s d_1 - c_2 - s d_2\} = -\frac{1}{2} \{c_1 + c_2 + s(d_1 + d_2)\} \mu, \end{aligned}$$

also

$$\mu(\gamma(s)) = -2 \frac{d_1 + d_2}{c_1 + c_2 + s(d_1 + d_2)}.$$

Wir setzen nun die neu gewonnenen Erkenntnisse in die Formel für das adjungierte Doppelschichtpotential ein:

$$\begin{aligned} (K' \psi_h|_{[a,b]})(x) &= -\frac{1}{2\pi} \frac{|b-a|}{2} \sum_{\ell=0}^M \lambda_\ell \int_{-1}^1 s^\ell \frac{\langle x - \gamma(s), \nu_x \rangle}{|x - \gamma(s)|^2} ds \\ &= -\frac{1}{2\pi} \frac{|d|}{2} \sum_{\ell=0}^M \lambda_\ell \int_{-1}^1 s^\ell \left(-2 \frac{\langle d, \nu_x \rangle}{|d|^2} \frac{d_1 + d_2}{c_1 + c_2 + s(d_1 + d_2)} \right) ds \\ &= \frac{\langle d, \nu_x \rangle}{2\pi |d|} \sum_{\ell=0}^M \lambda_\ell \int_{-1}^1 s^\ell \frac{d_1 + d_2}{c_1 + c_2 + s(d_1 + d_2)} ds. \end{aligned}$$

Wir betrachten nun folgendes Integral

$$J_n = \int_{-1}^1 \frac{bs^n}{a+bs} ds,$$

das sich mit $t = a + bs$ wie folgt schreibt

$$\begin{aligned} J_n &= \frac{1}{b} \int_{a-b}^{a+b} \frac{b \left(\frac{t-a}{b}\right)^n}{t} dt \\ &= \frac{1}{b^n} \int_{a-b}^{a+b} \frac{(t-a)^n}{t} dt. \end{aligned}$$

Unter Verwendung des binomischen Lehrsatzes ergibt das

$$\begin{aligned} J_n &= \frac{1}{b^n} \int_{a-b}^{a+b} t^{-1} \sum_{i=0}^n \binom{n}{i} t^{n-i} (-a)^i dt \\ &= \frac{1}{b^n} \sum_{i=0}^n \binom{n}{i} (-a)^i \int_{a-b}^{a+b} t^{n-i-1} dt \\ &= \left(-\frac{a}{b}\right)^n \int_{a-b}^{a+b} t^{-1} dt + \frac{1}{b^n} \sum_{i=0}^{n-1} \binom{n}{i} (-a)^i \int_{a-b}^{a+b} t^{n-i-1} dt \\ &= \left(-\frac{a}{b}\right)^n \left[\log |t| \right]_{t=a-b}^{t=a+b} + \frac{1}{b^n} \sum_{i=0}^{n-1} \binom{n}{i} (-a)^i \left[\frac{t^{n-i}}{n-i} \right]_{t=a-b}^{t=a+b} \\ &= \left(-\frac{a}{b}\right)^n \log \frac{|a+b|}{|a-b|} + \frac{1}{b^n} \sum_{i=0}^{n-1} \binom{n}{i} (-a)^i \frac{(a+b)^{n-i} - (a-b)^{n-i}}{n-i}. \end{aligned} \quad (5.39)$$

Wir wenden nun Formel (5.39) an und erhalten für das adjungierte Doppelschichtpotential

$$\begin{aligned} &(K' \psi_h|_{[a,b]})(x) \\ &= \frac{\langle d, \nu_x \rangle}{2\pi|d|} \sum_{\ell=0}^M \lambda_\ell \int_{-1}^1 s^\ell \frac{d_1 + d_2}{c_1 + c_2 + s(d_1 + d_2)} ds \\ &= \frac{\langle d, \nu_x \rangle}{2\pi|d|} \sum_{\ell=0}^M \lambda_\ell \left[\left(-\frac{c_1 + c_2}{d_1 + d_2}\right)^\ell \log \frac{(c_1 + d_1 + c_2 + d_2)}{(c_1 - d_1 + c_2 - d_2)} \right. \\ &\quad \left. + \frac{1}{(d_1 + d_2)^\ell} \sum_{i=0}^{\ell-1} \binom{\ell}{i} (-c_1 - c_2)^i \frac{(c_1 + d_1 + c_2 + d_2)^{\ell-i} - (c_1 - d_1 + c_2 - d_2)^{\ell-i}}{\ell - i} \right] \\ &\stackrel{!}{=} \frac{\langle d, \nu_x \rangle}{2\pi|d|} \sum_{\ell=0}^M \lambda_\ell \left[\left(-\frac{c_1 + c_2}{d_1 + d_2}\right)^\ell \log \frac{(b_1 + b_2) - (x_1 + x_2)}{(a_1 + a_2) - (x_1 + x_2)} \right. \\ &\quad \left. + \frac{1}{(d_1 + d_2)^\ell} \sum_{i=0}^{\ell-1} \binom{\ell}{i} (-c_1 - c_2)^i \frac{(2(b_1 + b_2) - 2(x_1 + x_2))^{\ell-i} - (2(a_1 + a_2) - 2(x_1 + x_2))^{\ell-i}}{\ell - i} \right] \end{aligned}$$

wegen

$$c_j \pm d_j = a_j + b_j - 2x_j \pm (b_j - a_j) = \begin{cases} 2b_j - 2x_j & = 2(b_j - x_j) \\ 2a_j - 2x_j & = 2(a_j - x_j). \end{cases}$$

Nun wenden wir uns wieder dem Integral

$$\int_{[a,b]} g(x) (K' \psi_{h|[a,b]})(x) ds_x$$

zu. Hier könnten wegen des logarithmischen Terms im adjungierten Doppelschichtpotential Probleme auftreten. Daher unterscheiden wir folgende Fälle:

1. Fall: $b \neq a$ und $b \neq a$.

Das bedeutet, dass sich die Intervalle $[a, b]$ und $[a, b]$ nicht berühren. In diesem Fall treten keine Probleme auf, da die Integrationsvariable von \mathbf{a} und \mathbf{b} weg ist. Man kann also eine Gauss-Quadratur verwenden.

2. Fall: $b = a$ oder $b = a$.

2.1. Fall: $D = 0$.

Auch hier treten keine Probleme auf, da der Integrand 0 ist.

2.2. Fall: $D > 0$.

Zu berechnen ist in diesem Fall

$$\int_{[a,b]} (K' \psi_{h|[a,b]})(x) ds_x = -\frac{|d|}{2\pi} \sum_{\ell=0}^M \lambda_{\ell} \int_{[a,b]} g(x) \left(\langle d, \nu_x \rangle G(\ell + 1, d, -c) - \langle c, \nu_x \rangle G(\ell, d, -c) \right) ds_x.$$

Für $k = 0$ berechnet man $\int g(x) G(k, \cdot, \cdot) ds_x$ ohne Problem. Für $k \geq 1$ treten allerdings Terme der Form

$$\int_{[a,b]} g(x) |c + d| ds_x = \int_{[a,b]} g(x) \log |2(b - x)| ds_x$$

und

$$\int_{[a,b]} g(x) |c - d| ds_x = \int_{[a,b]} g(x) \log |2(a - x)| ds_x$$

auf.

2.2.1. Fall: $a = b$.

Der problematische Term ist hier

$$\int_{[a,b]} g(x) \log |x - a| ds_x.$$

Wir betrachten die Parametrisierung $\hat{\gamma} : [0, 1] \rightarrow [a, b], s \mapsto a + s(b - a)$ und erhalten

$$\begin{aligned} \int_{[a,b]} g(x) \log |x - a| ds_x &= |b - a| \int_0^1 g(\hat{\gamma}(s)) \log |a + s(b - a) - a| ds \\ &= |b - a| \int_0^1 g(\hat{\gamma}(s)) \log |(s - 1)(b - a)| ds \\ &= |b - a| \int_0^1 g(\hat{\gamma}(s)) (\log(1 - s) + \log |b - a|) ds \\ &= |b - a| \int_0^1 g(\hat{\gamma}(s)) \log(1 - s) ds + |b - a| \int_0^1 g(\hat{\gamma}(s)) \log |b - a| ds \\ &= |b - a| \int_0^1 g(\hat{\gamma}(1 - t)) \log t dt + \int_{[a,b]} g(x) \log |b - a| ds_x. \end{aligned}$$

Das Integral

$$\int_0^1 g(\hat{\gamma}(1-t)) \log t \, dt$$

kann mit einer Gauss-Quadratur zur Gewichtsfunktion $\omega(t) = \log(t)$ berechnet werden. Solche Quadraturformeln sind beispielsweise in Büchern wie SECREST-STROUD oder ABRAMOWITZ tabelliert. Alle übrigen Integrale können mittels der üblichen Gauss-Quadratur approximiert werden.

2.2.2. Fall: $b = \mathbf{a}$.

Analog zum Fall 2.2.1. kann man das Probleme machende Integral umformen

$$\int_{[\mathbf{a}, \mathbf{b}]} g(x) \log |x - \mathbf{b}| \, ds_x = |\mathbf{b} - \mathbf{a}| \int_0^1 g(\hat{\gamma}(s)) \log s \, ds + \int_{[\mathbf{a}, \mathbf{b}]} g(x) \log |\mathbf{b} - \mathbf{a}| \, ds_x$$

und alle auftretenden Integrale wie oben beschrieben berechnen.

5.5 Fehlerschätzer

Für die in den Kapiteln 3 und 4 vorgestellten Fehlerschätzer werden hier mögliche Berechnungen gezeigt und die zugehörigen MATLAB-Codes angeführt.

5.5.1 $h - h/2$ -Schätzer

Wie in Algorithmus 4.6 vorgestellt benötigt man für die Berechnung der $h - h/2$ -Fehlerschätzer μ_ℓ und η_ℓ aus Abschnitt 4.2 auch die Lösung des Gleichungssystems der feineren Partition $\hat{\mathcal{T}}_\ell$. Die Steifigkeitsmatrix $\hat{A} \in \mathbb{R}^{N \times N}$ und rechte Seite $\hat{b} \in \mathbb{R}^N$ werden berechnet durch

$$\hat{A}_{jk} = \langle V \chi_{\hat{T}_j}, \chi_{\hat{T}_k} \rangle_\Gamma \quad \hat{b}_j = \langle (K + \frac{1}{2}), \chi_{\hat{T}_j} \rangle_\Gamma \quad \text{für alle } \hat{T}_j, \hat{T}_k \in \hat{\mathcal{T}}_\ell.$$

Durch Lösen des linearen Gleichungssystems $\hat{A}\hat{x} = \hat{b}$ erhält man den Lösungsvektor $\hat{x} \in \mathbb{R}^N$. Bei uniformer Verfeinerung des Netzes \mathcal{T}_ℓ entstehen aus einem Element T der groben Partition zwei Elemente T_1 und T_2 in $\hat{\mathcal{T}}_\ell$, beim Übergang von $\hat{\mathcal{T}}_\ell$ zu \mathcal{T}_ℓ wird durch die Nebenbedingungen eine Gleichheit der Lösungen auf den Elementen T_1 und T_2 erzwungen, und x und \hat{x} haben dieselbe Länge.

Daher kann η_ℓ berechnet werden durch

$$\eta_\ell^2 = (\hat{x} - x) \cdot \hat{A}(\hat{x} - x).$$

Dieser Fehlerschätzer kann als Indikator für den Abbruch des Algorithmus herangezogen werden, doch für eine Steuerung des Verfeinerungsalgorithmus ist er nicht geeignet, da er nicht lokal ist. Für diesen Zweck verwendet man daher μ_ℓ , da er den Fehler in der L^2 -Norm schätzt. Für μ_ℓ berechne man

$$\mu_\ell^2 = \sum_{T \in \mathcal{T}_\ell} \mu_\ell(T)^2 \quad \text{mit} \quad \mu_\ell(T)^2 = h_\ell(\hat{x} - x)^2.$$

Auf analoge Weise kann man auch $\tilde{\mu}_\ell$ und $\tilde{\eta}_\ell$ aus Kapitel 4.4 ermitteln.

5.5.2 Residualschätzer

Ein Nachteil des residualen Fehlerschätzers ist seine im Vergleich zu den $h - h/2$ -Fehlerschätzern sehr aufwändige Implementierung, auf die wir nun näher eingehen wollen:

Wir betrachten für $T = [a, b]$ die Parametrisierung aus Gleichung (5.17).

Der Residualschätzer lässt sich damit darstellen als

$$\varrho_\ell^2 = \left\| h_\ell^{1/2} R'_\ell \right\|_{L^2(\Gamma)}^2 = \sum_{T \in \mathcal{T}_\ell} h_T \|R'_\ell\|_{L^2(T)}^2 = \sum_{T \in \mathcal{T}_\ell} h_T \int_T (R'_\ell(x))^2 dx.$$

Für ein Element $T = [\mathbf{a}, \mathbf{b}]$ erhält man also den lokalen Beitrag

$$\varrho_\ell(T)^2 = |\mathbf{b} - \mathbf{a}| \frac{|\mathbf{b} - \mathbf{a}|}{2} \int_{-1}^1 \left(R'_\ell(\gamma_T(t)) \right)^2 dt.$$

Approximation des Integrals mittels Gaussquadratur der Ordnung p liefert

$$\varrho_\ell(T)^2 \approx \frac{|\mathbf{b} - \mathbf{a}|^2}{2} \sum_{m=1}^p w_m \left(R'_\ell(\gamma_T(s_m)) \right)^2.$$

Man möchte also R'_ℓ für gewisse, fixe $\bar{s}_m = \gamma_T(s_m)$ berechnen. Dazu wird zunächst $R_\ell(x)$ an der Stelle \bar{s}_m ausgewertet:

$$R_\ell(x) = \left(K + \frac{1}{2} \right) g_\ell(x) - V \tilde{\Phi}_\ell(x)$$

Für das Doppelschichtpotential erhält man mit $T = [a, b]$ Folgendes:

$$\begin{aligned} & \left(K + \frac{1}{2} \right) g_\ell(x) \\ &= -\frac{1}{2\pi} \int_\Gamma \frac{\langle y - x, n_y \rangle}{|x - y|^2} g_\ell(y) ds_y + \frac{1}{2} g_\ell(x) \\ &= \sum_{T \in \mathcal{T}_\ell} \left(-\frac{1}{2\pi} \int_T \frac{\langle y - x, n_y \rangle}{|x - y|^2} g_\ell(y) ds_y \right) + \frac{1}{2} g_\ell(x) \\ &= \sum_{T \in \mathcal{T}_\ell} -\frac{|\mathbf{b} - \mathbf{a}|}{4\pi} \int_{-1}^1 \frac{\langle \frac{1}{2}(a + b + t(b - a)) - x, n_y \rangle}{|x - \frac{1}{2}(a + b + t(b - a))|^2} g_\ell\left(\frac{1}{2}(a + b + t(b - a))\right) dt + \frac{1}{2} g_\ell(x). \end{aligned}$$

$g_\ell(x) = I_\ell g(x)$ ist die nodale Interpolation von $g(x)$, also stückweise affin. Deshalb gilt

$$\frac{g(\mathbf{b}) - g(\mathbf{a})}{|\mathbf{b} - \mathbf{a}|} = \frac{g_\ell(x) - g(\mathbf{a})}{|x - \mathbf{a}|}$$

und nach Umformen

$$g_\ell(x) = \frac{|x - \mathbf{a}|}{|\mathbf{b} - \mathbf{a}|} \left(g(\mathbf{b}) - g(\mathbf{a}) \right) + g(\mathbf{a})$$

und

$$g_\ell\left(\frac{1}{2}(a + b + t(b - a))\right) = \frac{1}{2} \left(g(a) + g(b) + t(g(b) - g(a)) \right).$$

Wir setzen nun

$$\begin{aligned} p &:= \frac{1}{2}(b-a) \\ q &:= \frac{1}{2}(a+b) - x \\ \hat{p} &:= g(b) - g(a) \\ \hat{q} &:= g(a) + g(b) \end{aligned}$$

und erhalten so mit $n_y = n$ auf $[a, b]$.

$$\begin{aligned} &(K + \frac{1}{2})g_\ell(x) \\ &= \sum_{T \in \mathcal{T}_\ell} -\frac{|b-a|}{4\pi} \frac{1}{2} \int_{-1}^1 \frac{\langle p, n \rangle t + \langle q, n \rangle}{|p|^2 t^2 + 2\langle p, q \rangle t + |q|^2} \cdot (\hat{p}t + \hat{q}) dt + \frac{1}{2} \frac{|x-a|}{|b-a|} (g(b) - g(a)) + g(a). \end{aligned}$$

Zum Lösen des Integrals wird die Funktion G aus Kapitel 5.2. verwendet

$$\begin{aligned} &(K + \frac{1}{2})g_\ell(x) \\ &= \sum_{T \in \mathcal{T}_\ell} -\frac{|b-a|}{8\pi} \left(\hat{p} \langle p, n \rangle G(2, p, q) + (\hat{q} \langle p, n \rangle + \hat{p} \langle q, n \rangle) G(1, p, q) + \hat{q} \langle q, n \rangle G(0, p, q) \right) \\ &\quad + \frac{1}{2} \frac{|x-a|}{|b-a|} (g(b) - g(a)) + g(a). \end{aligned}$$

n ist der äußere Normalenvektoren in y -Richtung, d.h. es gilt $n \perp (b-a)$ und somit $n \perp p$. Damit erhält man den vereinfachten Ausdruck

$$(K + \frac{1}{2})g_\ell(x) = \sum_{T \in \mathcal{T}_\ell} -\frac{|b-a|}{8\pi} \langle q, n \rangle (\hat{p} G(1, p, q) + \hat{q} G(0, p, q)) + \frac{1}{2} \frac{|x-a|}{|b-a|} (g(b) - g(a)) + g(a).$$

Für das Einfachschichtpotential berechnet man für $T = [a, b]$ mit der Parametrisierung γ aus Gleichung (5.17)

$$\begin{aligned} V\tilde{\Phi}_\ell(x) &= -\frac{1}{2\pi} \int_\Gamma \tilde{\Phi}_\ell(y) \log |x-y| ds_y \\ &= -\frac{1}{2\pi} \sum_{T \in \mathcal{T}_\ell} \frac{1}{2} \int_T \tilde{\Phi}_\ell(y) \log |x-y|^2 ds_y \\ &= -\frac{1}{2\pi} \sum_{T \in \mathcal{T}_\ell} \frac{|b-a|}{4} \int_{-1}^1 \tilde{\Phi}_\ell\left(\frac{1}{2}(a+b+t(b-a))\right) \log \left| x - \left(\frac{1}{2}(a+b+t(b-a))\right) \right|^2 dt. \end{aligned}$$

Es sei hier wiederum

$$\begin{aligned} p &:= \frac{1}{2}(b-a) \\ q &:= \frac{1}{2}(a+b) - x \\ \tilde{\Phi}_\ell &:= \sum_{T \in \mathcal{T}_\ell} x_T \chi_T. \end{aligned}$$

Daraus folgt mit der Funktion L aus Kapitel 5.2

$$\begin{aligned} V\tilde{\Phi}_\ell(x) &= -\frac{1}{2\pi} \sum_{T \in \mathcal{T}_\ell} \frac{|b-a|}{4} x_T \int_{-1}^1 \log \left(t^2 |p|^2 + 2t \langle p, q \rangle + |q|^2 \right) dt \\ &= -\frac{1}{8\pi} \sum_{T \in \mathcal{T}_\ell} |b-a| x_T L(0, p, q). \end{aligned}$$

Man hat also einen Vektor \bar{s} der Länge p und einen Vektor $R_\ell(\bar{s})$ derselben Länge, der das Residuum an den Stellen \bar{s}_m enthält.

Um das Verfahren der dividierten Differenzen anwenden zu können, das ein durch die vorher bestimmten Punkte $(\bar{s}_m, R_\ell(\bar{s}_m))$ gehendes Polynom berechnet, müssen die zu den auf einer Geraden liegenden Punkten \bar{s}_m zugehörigen Parameter t_m gefunden werden. Sei also $\gamma_T^{-1} : [a, b] \rightarrow [-1, 1]$, $x \mapsto \gamma_T^{-1}(x) = t$ die Umkehrabbildung von γ_T , so gilt

$$2\bar{s}_\ell - a - b = t_\ell(b - a).$$

Die polynomiale Approximation $R_\ell \circ \gamma_T \approx r_\ell \in \mathcal{P}^p([-1, 1])$ hat dann folgende Darstellung in der Newton-Basis

$$r_\ell(s) = \sum_{j=1}^p \lambda_j \prod_{k=1}^{j-1} (s - t_k),$$

wobei die Koeffizienten λ_j mittels des Verfahrens der dividierten Differenzen bestimmt werden. Nun kann auch die Ableitung dieses Polynoms berechnet werden

$$\begin{aligned} r'_\ell(s) &= \sum_{j=2}^p \lambda_j \left(\sum_{\substack{i=1 \\ k \neq i}}^{j-1} \prod_{\substack{k=1 \\ k \neq i}}^{j-1} (s - t_k) \right) \\ &= \sum_{j=1}^{p-1} \lambda_{j+1} \left(\sum_{i=1}^j \prod_{\substack{k=1 \\ k \neq i}}^j (s - t_k) \right). \end{aligned}$$

Zusammenfassend wird also zuerst $R_\ell(x)$ an den Stellen $\bar{s}_m = \gamma(s_m)$ berechnet und ein durch diese Punkte gehendes Interpolationspolynom bestimmt, dessen Ableitung errechnet werden kann. Insgesamt erhält man so mit $(R_\ell \circ \gamma_T(s))' \approx r'_\ell(s)$

$$R'_\ell \approx \frac{2}{|b - a|} r'_\ell(s)$$

und damit für den Fehlerschätzer

$$\varrho_\ell^2 = \sum_{T \in \mathcal{T}_\ell} \varrho_{\ell,T}^2$$

mit

$$\varrho_{\ell,T}^2 = \frac{|b - a|^2}{2} \sum_{m=1}^p w_m \left(\frac{2}{|b - a|} r'_\ell(s_m) \right)^2 = 2 \sum_{m=1}^p w_m (r'_\ell(s_m))^2.$$

Dies ist der Code zur Berechnung des Residualfehlerschätzers ϱ_T^2 :

```
function val = residual_error_estimator(elements,coordinates,x_tilde,p)

% input: 'elements', 'coordinates', discrete solution 'x_tilde',
%        order for gauss quadrature 'p'

N = size(elements,1);
```

```

[nodes, weights] = gauss(p);

% Rh is a vector of length p containing the residual
%  $Rh(x) = (K+1/2)g_{\ell}(x) - V\Phi_{\tilde{}}(x)$ 
Rh = zeros(p,1);

% returnvalue, the error estimator is calculated for every element
val = zeros(N,1);

for m=1:N % loop runs through the elements
    tmp = 0;
    aa = coordinates(elements(m,1),:);
    bb = coordinates(elements(m,2),:);
    bbmaa = bb-aa;
    trafo_nodes = 0.5*(ones(p,1)*(aa+bb)+nodes*(bbmaa));

    % the residual is evaluated at the parameterized gauss nodes
    for ell=1:p %loop runs through the gauss nodes
        x = trafo_nodes(ell,:);
        Rh(ell) = residual(elements,coordinates,x_tilde,x,aa,bb);
    end

    lambda = div_diff(nodes,Rh);

    for ell = 1:p
        rh_prime = 0;
        for j = 1:p-1
            sum = 0;
            for i=1:j
                product = 1;
                for k=[1:i-1,i+1:j]
                    product = product * (nodes(ell)-nodes(k));
                end
                sum = sum + product;
            end
            rh_prime = rh_prime+lambda(j+1)*sum;
        end
        tmp = tmp+weights(ell)*rh_prime^2;
    end

    val(m) = val(m) + 2*tmp;

end

%%%%%%%%%%%%%%%%%%%%%%%%%%%%%%%%%%%%%%%%%%%%%%%%%%%%%%%%%%%%%%%%%%%%%%%%

function Rh = residual(elements,coordinates,x_tilde,x,aa,bb)

% input: 'elements', 'coordinates', discrete solution 'x_tilde',

```

```

%      evaluation point for residual 'x', coordinates of the
%      element, for which residual error is calculated '[aa,bb]'

N = size(elements,1);
Rh = 0;

for i=1:N
    a = coordinates(elements(i,1),:);
    b = coordinates(elements(i,2),:);

    % Kg_\ell
    Rh = Rh + dlp(a,b,x);

    % V\phi
    Rh = Rh - x_tilde(i)*slp(a,b,x);
end

% 1/2 g_\ell
Rh = Rh+0.5*( norm(x-aa)/norm(bb-aa)*(g(bb)-g(aa) )+g(aa));

end

%%%%%%%%%%%%%%%%%%%%%%%%%%%%%%%%%%%%%%%%%%%%%%%%%%%%%%%%%%%%%%%%%%%%%%%%

function K_a_b = dlp(a,b,x)

    q = 0.5*(a+b)-x;
    p = 0.5*(b-a);
    gp = g(b)-g(a);
    gq = g(a)+g(b);
    bma = b-a;
    norm_bma = norm(bma);
    n = [bma(2), -bma(1)]/norm_bma;
    sc_q_n = q(1)*n(1)+q(2)*n(2);

    K_a_b = -norm_bma*sc_q_n* ( gq*G(0,p,q) + gp*G(1,p,q) ) / (8*pi);

end

%%%%%%%%%%%%%%%%%%%%%%%%%%%%%%%%%%%%%%%%%%%%%%%%%%%%%%%%%%%%%%%%%%%%%%%%

function V_a_b = slp(a,b,x)

    q = 0.5*(a+b)-x;
    p = 0.5*(b-a);

    V_a_b = -norm(b-a)*L(0,p,q) / (8*pi);

end

```

5.5.3 Datenfehlerschätzer

Da die Ableitung von g im Allgemeinen nicht analytisch berechnet werden kann, wird der Datenfehlerschätzer ζ_ℓ approximativ ermittelt. Dazu wird die Funktion g durch eine polynomiale Funktion \tilde{g} ersetzt, um die inverse Abschätzung aus Satz 3.4 anwenden zu können:

$$\left\| h_\ell^{1/2} (1 - \Pi_\ell) g' \right\|_{L^2(\Gamma)}^2 \approx \left\| h_\ell^{1/2} (\tilde{g}' - \Pi_\ell g') \right\|_{L^2(\Gamma)}^2 = \left\| h_\ell^{1/2} (\tilde{g}' - g'_\ell) \right\|_{L^2(\Gamma)}^2 \lesssim \left\| h_\ell^{-1/2} (\tilde{g} - g_\ell) \right\|_{L^2(\Gamma)}^2.$$

Mit $T = [a, b]$ erhält man dann

$$\begin{aligned} \left\| h_\ell^{1/2} (1 - \Pi_\ell) g' \right\|_{L^2(\Gamma)}^2 &= \sum_{T \in \mathcal{T}_\ell} h_T^{-1} \|\tilde{g} - g_\ell\|_{L^2(T)}^2 \\ &= \sum_{T \in \mathcal{T}_\ell} h_T^{-1} \int_T (\tilde{g} - g_\ell)^2(t) dt \\ &= \sum_{T \in \mathcal{T}_\ell} \frac{1}{|b-a|} \frac{|b-a|}{2} \int_{-1}^1 (\tilde{g} - g_\ell)^2 \left(\frac{1}{2}(a+b+t(b-a)) \right) dt. \end{aligned}$$

Das Integral wird mittels Gaussquadratur berechnet

$$\left\| h_\ell^{1/2} (1 - \Pi_\ell) g' \right\|_{L^2(\Gamma)}^2 = \frac{1}{2} \sum_{T \in \mathcal{T}_\ell} \sum_{i=1}^p w_i \left[\tilde{g} \left(\frac{1}{2}(a+b+t_i(b-a)) \right) - g_\ell \left(\frac{1}{2}(a+b+t_i(b-a)) \right) \right]^2.$$

Die Gaussquadratur ist eine Interpolationsquadratur also gilt mit $t \in [-1; 1]$

$$\tilde{g}(a, b, t) = \tilde{g} \left(\frac{1}{2}(a+b+t(b-a)) \right) = g \left(\frac{1}{2}(a+b+t(b-a)) \right).$$

Außerdem ist $g_\ell = I_\ell g$ die nodale Interpolation von g , also ist $g_\ell|_T$ linear und es gilt

$$g_\ell(a, b, t) = g_\ell \left(\frac{1}{2}(a+b+t(b-a)) \right) = \frac{1}{2} \left(g(a) + g(b) + t(g(b) - g(a)) \right).$$

Insgesamt muss also für alle $T \in \mathcal{T}_\ell$

$$\begin{aligned} \zeta_\ell(T)^2 &= \left\| h_\ell^{1/2} (1 - \Pi_\ell) g' \right\|_{L^2(T)}^2 \\ &= \frac{1}{2} \sum_{j=1}^p w_j \left[g \left(\frac{1}{2}(a+b+t_j(b-a)) \right) - \frac{1}{2} \left(g(a) + g(b) + t_j(g(b) - g(a)) \right) \right]^2 \end{aligned}$$

berechnet werden. Durch Aufsummieren erhält man schlussendlich

$$\zeta_\ell^2 = \sum_{T \in \mathcal{T}_\ell} \zeta_\ell(T)^2.$$

Dies ist der Code zur Berechnung des Datenfehlerschätzers ζ_ℓ^2 :

```
function val = zeta_ell(coordinates,elements)

% Number of quadrature points
```

```
NOQP = 2;
[gauss_weights,gauss_nodes] = gauss(NOQP);

for i = 1:length(elements)
    a = coordinates(elements(i,1),:);
    b = coordinates(elements(i,2),:);
    ga = g(a);
    gb = g(b);
    g_ell= zeros(NOQP,1);
    g_tilde = zeros(NOQP,1);
    for j=1:NOQP
        g_ell(j) = 0.5* (ga+gb+gauss_nodes(j)*(gb-ga) );
        g_tilde(j) = g( 0.5*(a+b+gauss_nodes(j)*(b-a)) );
        val(i) = val(i) + gauss_weights(j)* ( g_tilde(j)-g_ell(j) )^2;
    end
    val(i) = val(i)*0.5;
end
```


Kapitel 6

Änderungen im Fall $d = 3$

In diesem Abschnitt wird beschrieben, was sich für den Fall $d = 3$ verändert. Die übrigen Resultate können wie in den vorigen Kapiteln beschrieben übernommen werden.

6.1 Die Randelementmethode

Definition 2.1 Die Fundamentallösung des Laplaceoperators ist für $z \in \mathbb{R}^3$ durch

$$G(z) := \frac{1}{4\pi} \frac{1}{|z|}$$

gegeben.

Das Einfachschichtpotential hat für $d = 3$ andere Eigenschaften:

Die Elliptizität von V erhält man auch ohne einer Voraussetzung an die logarithmische Kapazität bzw. an das Gebiet Ω :

Satz 2.24 Für das Einfachschichtpotential $V : H^{-1/2+s}(\Gamma) \rightarrow H^{1/2+s}(\Gamma)$, $|s| \leq \frac{1}{2}$ gilt: V ist $H^{-1/2}(\Gamma)$ -elliptisch, d.h. es gibt eine so genannte Elliptizitätskonstante $\gamma_V > 0$ mit

$$\langle V\phi, \phi \rangle \geq \gamma_V \|\phi\|_{H^{-1/2}(\Gamma)}^2 \quad \text{für alle } \phi \in H^{-1/2}(\Gamma).$$

Somit ist V stets invertierbar. □

Die beiden folgenden Sätze gelten daher ohne zusätzliche Voraussetzungen:

Satz 2.26 Für das Newtonpotential $(N_1 f)(x)$, $x \in \Gamma$, gilt stets die Darstellung

$$(N_1 f)(x) = \left(-\frac{1}{2} + K' \right) V^{-1}(N_0 f)(x).$$

□

Satz 2.28 Für das Doppelschichtpotential $K : H^{1/2+s}(\Gamma) \rightarrow H^{1/2+s}(\Gamma)$, $|s| \leq \frac{1}{2}$ gilt: $K + \frac{1}{2}$ ist eine Kontraktion bezüglich der auf $H^{1/2}(\Gamma)$ äquivalenten Norm $\|g\|_{V^{-1}}^2 := \langle V^{-1}g, g \rangle$. □

Um eine Triangulierung \mathcal{T}_ℓ definieren zu können, wurde vorausgesetzt, dass jedes Element $T \in \mathcal{T}_\ell$ das Bild eines Referenzelements \hat{T} unter einer regulären Abbildung ist. Die Definition einer regulären Abbildung ließ sich aber für den zweidimensionalen Fall vereinfachen. Allgemein gilt:

Definition 2.31 *Unter einer regulären Abbildung γ_T versteht man eine Abbildung, für die die zugehörige Jacobimatrix J_T die Bedingung*

$$0 < \lambda_{\min} \leq \inf_{\hat{x} \in \hat{T}} \inf_{\substack{v \in \mathbb{R}^2 \\ \|v\|=1}} \langle J_T(\hat{x})v, J_T(\hat{x})v \rangle \leq \sup_{\hat{x} \in \hat{T}} \sup_{\substack{v \in \mathbb{R}^2 \\ \|v\|=1}} \langle J_T(\hat{x})v, J_T(\hat{x})v \rangle \leq \lambda_{\max} < \infty$$

erfüllt.

Die Regularität einer Triangulierung bedarf ebenfalls einer allgemeineren Beschreibung, da bei Randelementen im \mathbb{R}^3 — Dreiecke oder Vierecke — mehrere Möglichkeiten einer Berührung zweier Nachbarn bestehen.

Definition 2.33 *Man nennt eine Partition \mathcal{T}_ℓ regulär, falls:*

- (i) *Der Schnittpunkt des Abschlusses zweier verschiedener Elemente $T, T' \in \mathcal{T}_\ell$ entweder leer, ein gemeinsamer Punkt oder eine gemeinsame Kante ist.*
- (ii) *Liegt im Schnitt eine gemeinsame Kante $e = \overline{T} \cap \overline{T'}$ vor, so stimmen die Parametrisierungen entlang der Kante überein. Das heißt*

$$\gamma_T|_e = \gamma_{T'} \circ \beta_{T, T'}|_e$$

ist mit einer geeigneten affinen Bijektion $\beta_{T, T'} : \hat{T} \rightarrow \hat{T}$ erfüllt.

6.2 Adaptiver Algorithmus mit residualem Fehlerschätzer

Für den Beweis der Zuverlässigkeit des Residualschätzers werden Satz 3.2, Korollar 3.3 und Satz 3.4 verwendet. Da diese nur für $d = 2$ gültig sind, ist der Beweis in dieser Form nur im \mathbb{R}^2 möglich. Trotzdem lässt sich die Zuverlässigkeit auch für den dreidimensionalen Fall zeigen — siehe CARSTENSEN, MAISCHAK, STEPHAN 2001 [7].

Auch die Konstruktion des Datenfehlerschätzers stützt sich auf Satz 3.2 und ist daher speziell auf den Fall $d = 2$ ausgerichtet. Es bleibt an dieser Stelle offen, wie eine geeignete Approximation g_ℓ zu wählen ist.

Abschnitt 3.6 zur Konvergenz des adaptiven Algorithmus gilt für das ungestörte Verfahren, d.h. $g = g_\ell$, und isotrope Netzverfeinerung unverändert.

6.3 Adaptiver Algorithmus mit $h - h/2$ - Fehlerschätzer

Sowohl die $h - h/2$ -Fehlerschätzer für das ungestörte als auch das gestörte Verfahren werden für $d = 3$ identisch definiert und haben dieselben Eigenschaften (Effizienz, Zuverlässigkeit unter der Saturationsannahme und Äquivalenz). Vergleiche dazu FERRAZ-LEITE/PRAETORIUS 2007 [12].

Kapitel 7

Numerische Experimente

In diesem Abschnitt wird das Verhalten der in Kapitel 3 und 4 eingeführten Fehlerschätzer an Hand von drei Testbeispielen untersucht. Wir gehen dazu vom Laplaceproblem

$$\begin{aligned} \Delta u &= 0 && \text{in } \Omega \\ u &= g && \text{auf } \Gamma \end{aligned} \tag{7.1}$$

mit gegebenen Dirichletdaten g aus. Dieses Problem ist äquivalent zur Symmschen Integralgleichung $V\phi = (K + \frac{1}{2})g$. Die exakte Lösung ϕ ist dann die Normalenableitung $\phi = \frac{\partial u}{\partial n}$ von u am Rand Γ .

Der Fehler in der Energienorm zwischen der kontinuierlichen Lösung ϕ des ungestörten Problems und der Approximation $\tilde{\Phi}_\ell$ erfüllt

$$\|\phi - \tilde{\Phi}_\ell\|^2 = \|\phi - \Phi_\ell\|^2 + \|\Phi_\ell - \tilde{\Phi}_\ell\|^2$$

und kann unter Einsatz der Galerkinorthogonalität dargestellt werden als

$$\|\phi - \tilde{\Phi}_\ell\|^2 = \|\phi\|^2 - \|\Phi_\ell\|^2 + \|\Phi_\ell - \tilde{\Phi}_\ell\|^2 = \|\phi\|^2 - 2\langle\langle \Phi_\ell, \tilde{\Phi}_\ell \rangle\rangle + \|\tilde{\Phi}_\ell\|^2.$$

Die unbekannte Energienorm $\|\phi\|^2$ wird geschätzt. Dazu wird eine Folge von Energien $\|\Phi_\ell\|^2$ bei uniformer Netzverfeinerung erzeugt und mittels Aitkenschem Δ^2 -Verfahren die exakte Energie $\|\phi\|^2$ extrapoliert.

In Korollar 3.11 wurde die Beschränktheit von $\kappa(\mathcal{T}_\ell)$ bewiesen, unter der Voraussetzung, dass eine erweiterte Markierungsstrategie zur Steuerung des adaptiven Algorithmus verwendet wird. Das soll mit Hilfe von numerischen Experimenten bestätigt werden.

Aufgrund von Rechenfehlern wächst die Konditionszahl der Steifigkeitsmatrix A im Laufe des Verfahrens stark an, sodass ein sinnvolles Lösen des linearen Gleichungssystems $Ax = b$ nicht mehr möglich ist. Aus diesem Grund wird A vorkonditioniert. Eine Verringerung der Konditionszahl wird numerisch untersucht.

7.1 Laplaceproblem am Quadrat

Im ersten numerischen Beispiel betrachten wir das Laplaceproblem (7.1) auf dem Quadrat $\Omega = (0, 0.5)^2$ mit der exakten Lösung $u(x, y) = \sinh(2\pi x) \cos(2\pi y)$ und lösen die äquivalente Symmsche

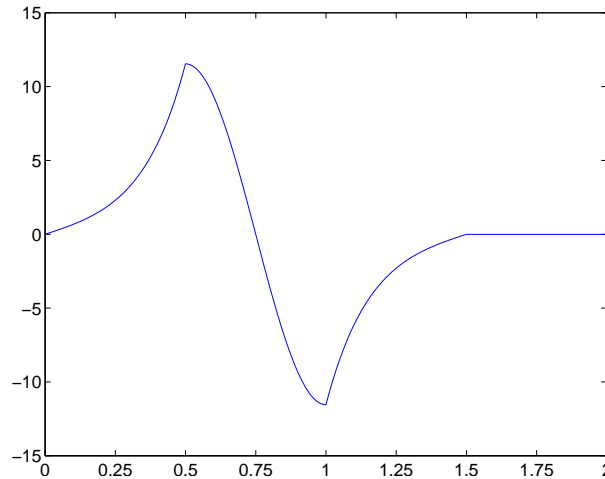


Abbildung 7.1: Exakte Dirichletdaten des Laplaceproblems 7.1 über der Bogenlänge $s \in [0, 2]$, wobei $s \in \{0, 2\}$ gerade dem Nullpunkt $(0, 0) \in \mathbb{R}^2$ entspricht.

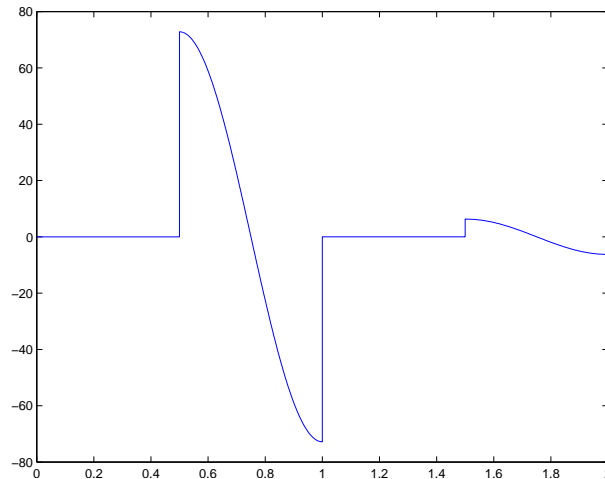


Abbildung 7.2: Exakte Lösung des Laplaceproblems 7.1 über der Bogenlänge $s \in [0, 2]$, wobei $s \in \{0, 2\}$ gerade dem Nullpunkt $(0, 0) \in \mathbb{R}^2$ entspricht.

Integralgleichung $V\phi = \left(K + \frac{1}{2}\right)g$ mit $g = u|_{\Gamma}$. Die Dirichletdaten $g \in H^{1/2}(\Gamma)$ sind in Abbildung 7.1 über der Bogenlänge $0 \leq s < 2$ dargestellt, wobei $s \in \{0, 2\}$ gerade dem Nullpunkt $(0, 0) \in \mathbb{R}^2$ entspricht.

Die exakte Lösung der Symmschen Integralgleichung $\phi = \frac{\partial u}{\partial n}$ ist dann auf jedem affinen Randstück glatt und lässt sich schreiben in der Form

$$\phi(x, y) = 2\pi \begin{pmatrix} \cosh(2\pi x) \cos(2\pi y) \\ -\sinh(2\pi x) \sin(2\pi y) \end{pmatrix} \cdot n(x, y)$$

mit dem äußeren Normalenvektor $n(x, y)$. Zur Veranschaulichung ist ϕ dargestellt in Abbildung 7.2.

Es ist zu beachten, dass es nicht möglich ist, das Einheitsquadrat für die Berechnungen heranzuziehen, da für den Durchmesser des Gebiets $\text{diam}(\Omega) < 1$ gelten muss, um die Elliptizität des Einfachschichtpotentials zu garantieren. Das skalierte Quadrat Ω erfüllt gerade $\text{diam}(\Omega) = \sqrt{2}/2 \approx 0.7071 < 1$. Das verwendete Startnetz \mathcal{T}_0 mit $N_0 = 4$ Elementen ist in Abbildung 7.3 zu sehen.

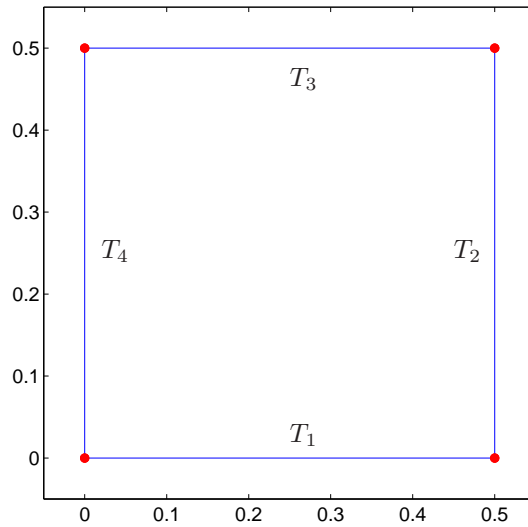


Abbildung 7.3: Startnetz \mathcal{T}_0 mit $N_0 = 4$ Elementen des Laplaceproblems 7.1.

Die approximative Berechnung der Energienorm der exakten, kontinuierlichen Lösung mittels Aitkenscher Δ^2 -Methode liefert $\|\phi\|^2 = 81.072404842406$.

Die experimentelle Konvergenzrate α_ℓ wird aus dem exakten Fehler e_ℓ in der Energienorm und der Anzahl der Elemente N_ℓ einer Partition \mathcal{T}_ℓ mit dem Ansatz $e_\ell = CN_\ell^{-\alpha}$ und $N_\ell = \text{card}(\mathcal{T}_\ell)$ bestimmt, d.h.

$$\alpha_\ell := -\frac{\log\left(\frac{e_{\ell-1}}{e_\ell}\right)}{\log\left(\frac{N_{\ell-1}}{N_\ell}\right)}.$$

Die Energienorm des Fehlers e_ℓ ist bekannt.

Zunächst wird die Rechnung mit exakter rechter Seite durchgeführt. Tabelle 7.1 zeigt die Anzahl der Elemente N_ℓ , den Fehler e_ℓ die experimentelle Konvergenzrate α_ℓ und die Fehlerschätzer

$$\varrho_\ell = \|h_\ell^{1/2}((K + \frac{1}{2})g - V\Phi_\ell)'\|_{L^2(\Gamma)}, \quad \mu_\ell = \|h_\ell^{1/2}(\widehat{\Phi}_\ell - \Phi_\ell)\|_{L^2(\Gamma)}, \quad \eta_\ell = \|\widehat{\Phi}_\ell - \Phi_\ell\|$$

bei uniformer Verfeinerung. In Tabelle 7.2 sind dieselben Größen für einen ϱ_ℓ -adaptiven Algorithmus aufgelistet.

Der exakte Fehler wird mittels

$$e_\ell^2 = \|\phi - \Phi_\ell\|^2 = \|\phi\|^2 - \|\Phi_\ell\|^2$$

bestimmt. Da die Lösung ϕ eine glatte Funktion ist, ergibt die experimentelle Konvergenzrate sowohl bei uniformer als auch bei adaptiver Verfeinerung $\alpha = \frac{3}{2}$. Dies wird nochmals verdeutlicht durch die Abbildung 7.4, die ebenfalls den exakten Fehler und die Fehlerschätzer für uniforme bzw. adaptive Verfeinerung enthält.

Nun lösen wir das Laplaceproblem 7.1 mit approximierter rechter Seite, das heißt approximierten Dirichletdaten. Der Fehler des gestörten Verfahrens wird mittels

$$e_\ell^2 = \|\phi - \widetilde{\Phi}_\ell\|^2 = \|\phi\|^2 - 2\langle\langle\Phi_\ell, \widetilde{\Phi}_\ell\rangle\rangle + \|\widetilde{\Phi}_\ell\|^2$$

berechnet.

N_ℓ	$\ \phi - \Phi_\ell\ $	α_ℓ	η_ℓ	μ_ℓ	ϱ_ℓ
4	8.336 ₀	—	8.064 ₀	1.855 ₁	9.121 ₀
8	2.109 ₀	1.98	1.979 ₀	5.049 ₀	2.274 ₀
16	7.266 ₋₁	1.54	6.815 ₋₁	1.807 ₀	7.816 ₋₁
32	2.519 ₋₁	1.53	2.359 ₋₁	6.363 ₋₁	2.851 ₋₁
64	8.853 ₋₂	1.51	8.283 ₋₂	2.245 ₋₁	1.045 ₋₁
128	3.125 ₋₂	1.50	2.923 ₋₂	7.932 ₋₂	3.778 ₋₂
256	1.104 ₋₂	1.50	1.033 ₋₂	2.804 ₋₂	1.352 ₋₂
512	3.903 ₋₃	1.50	3.651 ₋₃	9.912 ₋₃	4.811 ₋₃
1024	1.380 ₋₃	1.50	1.291 ₋₃	3.504 ₋₃	1.706 ₋₃
2048	4.879 ₋₄	1.50	4.879 ₋₄	1.239 ₋₃	6.043 ₋₄

Tabelle 7.1: Fehler $\|\phi - \Phi_\ell\|$ und Fehlerschätzer μ_ℓ , ϱ_ℓ , η_ℓ sowie experimentelle Konvergenzrate α_ℓ des Fehlers für eine uniforme Netzfolge im Laplaceproblem 7.1 mit exakter rechter Seite.

N_ℓ	$\ \phi - \Phi_\ell\ $	α_ℓ	η_ℓ	μ_ℓ	ϱ_ℓ
4	8.336 ₀	—	8.064 ₀	1.855 ₁	9.121 ₀
7	2.199 ₀	2.38	2.069 ₀	5.286 ₀	2.396 ₀
9	9.842 ₋₁	3.20	9.350 ₋₁	2.403 ₀	1.285 ₀
12	7.463 ₋₁	0.96	7.000 ₋₁	1.851 ₀	8.337 ₋₁
16	4.189 ₋₁	2.01	3.902 ₋₁	1.011 ₀	5.229 ₋₁
20	2.587 ₋₁	2.16	2.422 ₋₁	6.528 ₋₁	3.286 ₋₁
26	1.527 ₋₁	2.01	1.432 ₋₁	3.737 ₋₁	1.888 ₋₁
34	1.009 ₋₁	1.54	9.415 ₋₂	2.514 ₋₁	1.254 ₋₁
44	6.702 ₋₂	1.59	6.272 ₋₂	1.655 ₋₁	8.482 ₋₃
56	4.044 ₋₂	2.09	3.786 ₋₂	1.017 ₋₁	5.115 ₋₂
70	3.337 ₋₂	0.86	3.123 ₋₂	8.429 ₋₂	4.059 ₋₂
88	2.193 ₋₂	1.83	2.053 ₋₂	5.518 ₋₂	2.695 ₋₂
110	1.412 ₋₂	1.97	1.320 ₋₂	3.557 ₋₂	1.742 ₋₂
138	1.176 ₋₂	0.81	1.100 ₋₂	2.980 ₋₂	1.451 ₋₂
173	7.775 ₋₃	1.83	7.278 ₋₃	1.962 ₋₂	9.744 ₋₃
217	5.069 ₋₃	1.89	4.744 ₋₃	1.281 ₋₂	6.263 ₋₃
272	4.223 ₋₃	0.81	3.951 ₋₃	1.070 ₋₂	5.217 ₋₃
340	2.866 ₋₃	1.74	2.681 ₋₃	7.240 ₋₃	3.554 ₋₃
426	1.835 ₋₃	1.98	1.717 ₋₃	4.649 ₋₃	2.280 ₋₃
533	1.503 ₋₃	0.89	1.406 ₋₃	3.812 ₋₃	1.870 ₋₃
667	1.043 ₋₃	1.63	9.754 ₋₄	2.643 ₋₃	1.292 ₋₃
834	6.602 ₋₄	2.04	6.176 ₋₄	1.674 ₋₃	8.184 ₋₄
1043	5.425 ₋₄	0.87	5.074 ₋₄	1.375 ₋₃	6.726 ₋₄
1304	3.857 ₋₄	1.52	3.608 ₋₄	9.785 ₋₄	4.789 ₋₄
1630	2.409 ₋₄	2.07	2.254 ₋₄	6.112 ₋₄	2.997 ₋₄
2038	1.948 ₋₄	0.92	1.823 ₋₄	4.946 ₋₄	2.416 ₋₄
2552	1.426 ₋₄	1.31	1.334 ₋₄	3.618 ₋₄	1.768 ₋₄
3190	8.874 ₋₅	1.88	8.301 ₋₅	2.251 ₋₄	1.101 ₋₄

Tabelle 7.2: Fehler $\|\phi - \Phi_\ell\|$ und Fehlerschätzer μ_ℓ , ϱ_ℓ , η_ℓ sowie experimentelle Konvergenzrate α_ℓ des Fehlers für eine ϱ_ℓ -adaptive Netzfolge im Laplaceproblem 7.1 mit exakter rechter Seite.

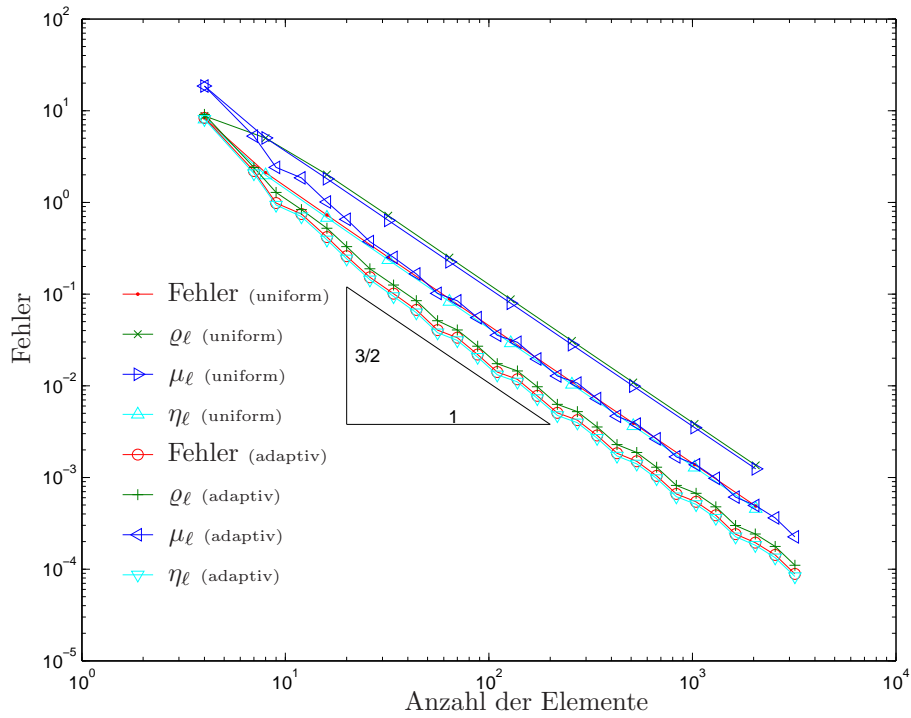


Abbildung 7.4: Fehler $\|\phi - \Phi_\ell\|$ und Fehlerschätzer $\mu_\ell, \varrho_\ell, \eta_\ell$ für eine uniforme und eine ϱ_ℓ -adaptive Netzfolge im Laplaceproblem 7.1 mit exakter rechter Seite.

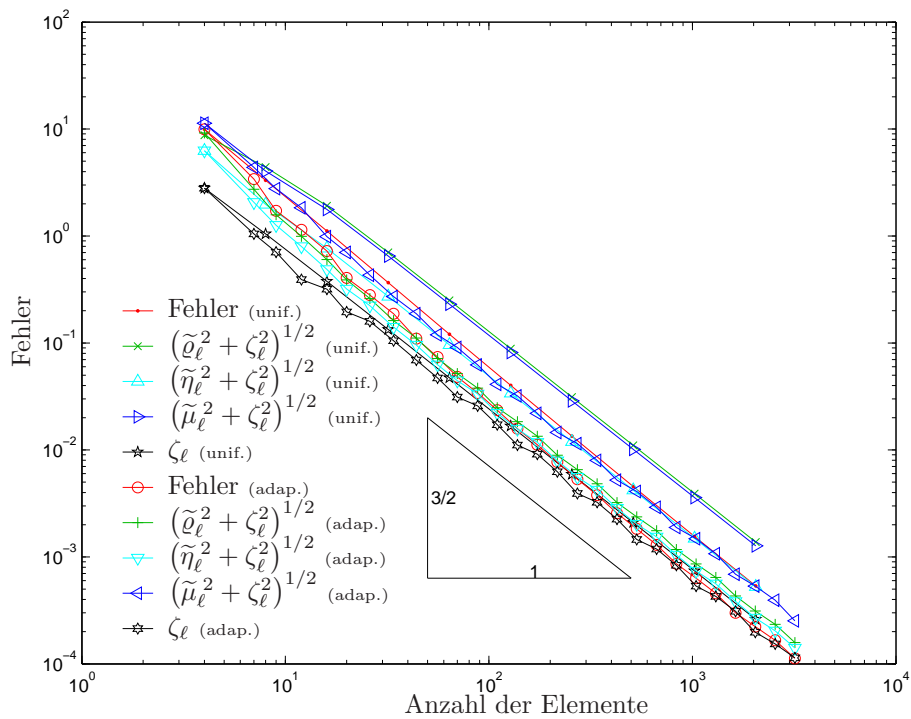


Abbildung 7.5: Fehler $\|\phi - \tilde{\Phi}_\ell\|$ und Fehlerschätzer $\zeta_\ell, (\tilde{\eta}_\ell^2 + \zeta_\ell^2)^{1/2}, (\tilde{\mu}_\ell^2 + \zeta_\ell^2)^{1/2}, (\tilde{\varrho}_\ell^2 + \zeta_\ell^2)^{1/2}$ für eine uniforme und eine $(\tilde{\varrho}_\ell^2 + \zeta_\ell^2)^{1/2}$ -adaptive Netzfolge im Laplaceproblem 7.1 mit gestörter rechter Seite.

N_ℓ	$\ \phi - \tilde{\Phi}_\ell\ $	α_ℓ	ζ_ℓ	$(\tilde{\varrho}_\ell^2 + \zeta_\ell^2)^{1/2}$	$(\tilde{\mu}_\ell^2 + \zeta_\ell^2)^{1/2}$	$(\tilde{\eta}_\ell^2 + \zeta_\ell^2)^{1/2}$
4	9.936 ₀	—	2.795 ₀	9.198 ₀	1.132 ₁	6.276 ₀
8	3.316 ₀	1.98	1.048 ₀	2.632 ₀	4.051 ₀	1.971 ₀
16	1.113 ₀	1.54	3.763 ₋₁	9.432 ₋₁	1.772 ₀	7.674 ₁
32	3.660 ₋₁	1.53	1.336 ₋₁	3.312 ₋₁	6.500 ₋₁	2.723 ₁
64	1.208 ₋₁	1.51	4.727 ₋₂	1.178 ₋₁	2.307 ₋₁	9.592 ₋₂
128	4.015 ₋₂	1.50	1.672 ₋₂	4.188 ₋₂	8.142 ₋₂	3.380 ₋₂
256	1.346 ₋₂	1.50	5.910 ₋₃	1.486 ₋₂	2.873 ₋₂	1.193 ₋₂
512	4.552 ₋₃	1.50	2.090 ₋₃	5.263 ₋₃	1.015 ₋₂	4.212 ₋₃
1024	1.553 ₋₃	1.50	7.388 ₋₄	1.863 ₋₃	3.584 ₋₃	1.488 ₋₃
2048	5.352 ₋₄	1.50	2.612 ₋₄	6.589 ₋₄	1.267 ₋₃	5.260 ₋₄

Tabelle 7.3: Fehler $\|\phi - \tilde{\Phi}_\ell\|$ und Fehlerschätzer ζ_ℓ , $(\tilde{\eta}_\ell^2 + \zeta_\ell^2)^{1/2}$, $(\tilde{\mu}_\ell^2 + \zeta_\ell^2)^{1/2}$, $(\tilde{\varrho}_\ell^2 + \zeta_\ell^2)^{1/2}$ sowie experimentelle Konvergenzrate α_ℓ des Fehlers für eine uniforme Netzfolge im Laplaceproblem 7.1 mit gestörter rechter Seite. Es bezeichnet N_ℓ die Anzahl der Elemente in \mathcal{T}_ℓ .

N_ℓ	$\ \phi - \tilde{\Phi}_\ell\ $	α_ℓ	ζ_ℓ	$(\tilde{\varrho}_\ell^2 + \zeta_\ell^2)^{1/2}$	$(\tilde{\mu}_\ell^2 + \zeta_\ell^2)^{1/2}$	$(\tilde{\eta}_\ell^2 + \zeta_\ell^2)^{1/2}$
4	9.936 ₀	—	2.795 ₀	9.198 ₀	1.132 ₁	6.276 ₀
7	3.407 ₀	2.38	1.048 ₀	2.735 ₀	4.382 ₀	2.064 ₀
9	1.717 ₀	3.20	7.074 ₋₁	1.577 ₀	2.773 ₀	1.261 ₀
12	1.141 ₀	0.96	3.908 ₋₁	9.943 ₋₁	1.832 ₀	7.970 ₋₁
16	7.230 ₋₁	2.01	3.184 ₋₁	6.028 ₋₁	9.875 ₋₁	4.872 ₋₁
20	4.062 ₋₁	2.16	1.953 ₋₁	3.888 ₋₁	7.026 ₋₁	3.193 ₋₁
26	2.805 ₋₁	2.01	1.591 ₋₁	2.597 ₋₁	4.308 ₋₁	2.229 ₋₁
44	1.099 ₋₁	1.59	6.935 ₋₂	1.112 ₋₁	1.876 ₋₁	9.583 ₋₂
56	7.397 ₋₂	2.09	4.709 ₋₂	7.156 ₋₂	1.193 ₋₁	6.267 ₋₂
70	4.820 ₋₂	0.86	3.120 ₋₂	5.172 ₋₂	9.081 ₋₂	4.443 ₋₂
88	3.413 ₋₂	1.83	2.583 ₋₂	3.779 ₋₂	6.233 ₋₂	3.338 ₋₂
110	2.356 ₋₂	1.97	1.720 ₋₂	2.484 ₋₂	4.101 ₋₂	2.209 ₋₂
138	1.583 ₋₂	0.81	1.112 ₋₂	1.837 ₋₂	3.202 ₋₂	1.571 ₋₂
174	1.102 ₋₂	1.87	9.131 ₋₃	1.329 ₋₂	2.165 ₋₂	1.169 ₋₂
218	7.698 ₋₃	1.81	6.166 ₋₃	8.862 ₋₃	1.451 ₋₂	7.858 ₋₃
274	5.302 ₋₃	0.80	3.826 ₋₃	6.491 ₋₃	1.141 ₋₂	5.512 ₋₃
344	3.677 ₋₃	1.86	3.231 ₋₃	4.730 ₋₃	7.759 ₋₃	4.156 ₋₃
430	2.534 ₋₃	1.88	2.210 ₋₃	3.172 ₋₃	5.166 ₋₃	2.804 ₋₃
538	1.821 ₋₃	0.85	1.410 ₋₃	2.344 ₋₃	4.077 ₋₃	1.995 ₋₃
674	1.265 ₋₃	1.72	1.171 ₋₃	1.726 ₋₃	2.847 ₋₃	1.513 ₋₃
843	8.513 ₋₄	2.00	8.175 ₋₄	1.152 ₋₃	1.853 ₋₃	1.022 ₋₃
1054	6.266 ₋₄	0.86	5.235 ₋₄	8.479 ₋₄	1.461 ₋₃	7.263 ₋₄
1318	4.458 ₋₄	1.59	4.243 ₋₄	6.311 ₋₄	1.045 ₋₃	5.516 ₋₄
1648	2.961 ₋₄	2.02	3.028 ₋₄	4.231 ₋₄	6.759 ₋₄	3.760 ₋₄
2060	2.208 ₋₄	0.89	1.932 ₋₄	3.079 ₋₄	5.274 ₋₄	2.647 ₋₄
2576	1.637 ₋₆	1.36	1.523 ₋₄	2.310 ₋₄	3.867 ₋₄	2.009 ₋₄

Tabelle 7.4: Fehler $\|\phi - \tilde{\Phi}_\ell\|$ und Fehlerschätzer ζ_ℓ , $(\tilde{\eta}_\ell^2 + \zeta_\ell^2)^{1/2}$, $(\tilde{\mu}_\ell^2 + \zeta_\ell^2)^{1/2}$, $(\tilde{\varrho}_\ell^2 + \zeta_\ell^2)^{1/2}$ sowie experimentelle Konvergenzrate α_ℓ des Fehlers für eine $(\tilde{\varrho}_\ell^2 + \zeta_\ell^2)^{1/2}$ -adaptive Netzfolge im Laplaceproblem 7.1 mit gestörter rechter Seite. Es bezeichnet N_ℓ die Anzahl der Elemente in \mathcal{T}_ℓ .

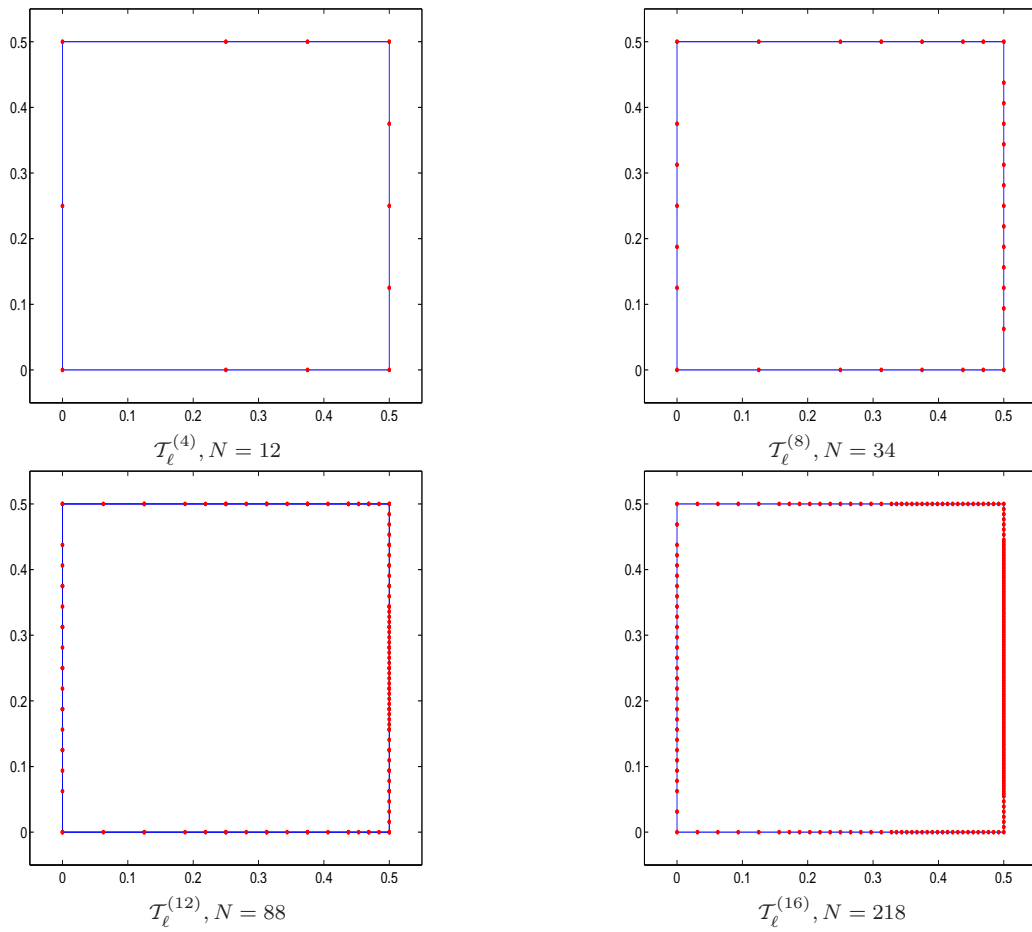


Abbildung 7.6: Ausschnitt der Folge von Partitionen, die durch $(\tilde{\varrho}_\ell^2 + \zeta_\ell^2)^{1/2}$ -adaptive Verfeinerungen im Laplaceproblem 7.1 hervorgeht.

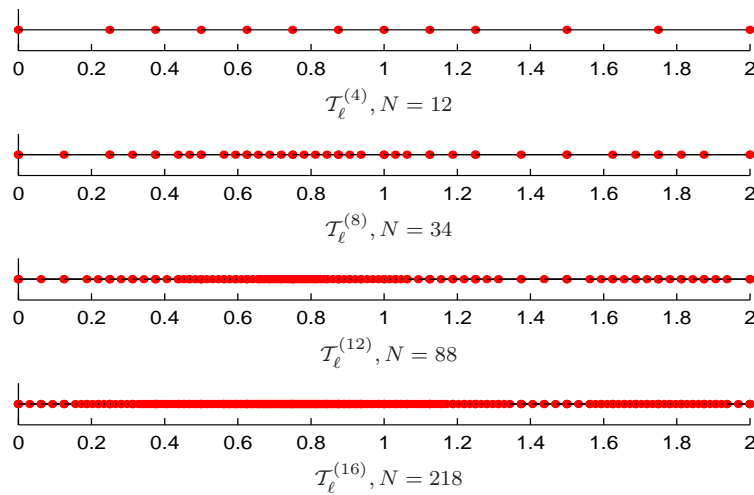


Abbildung 7.7: Ausschnitt der Folge von Partitionen, die durch $(\tilde{\varrho}_\ell^2 + \zeta_\ell^2)^{1/2}$ -adaptive Verfeinerungen im Laplaceproblem 7.1 hervorgeht.

N_ℓ	$\ \phi - \Phi_\ell\ $	$\ \phi - \tilde{\Phi}_\ell\ $	ζ_ℓ	ϱ_ℓ	$(\tilde{\varrho}_\ell^2 + \zeta_\ell^2)^{1/2}$	η_ℓ	$(\tilde{\eta}_\ell^2 + \zeta_\ell^2)^{1/2}$
4	8.336 ₀	9.936 ₀	2.795 ₀	9.121 ₀	9.198 ₀	8.064 ₀	6.276 ₀
7	2.199 ₀	3.407 ₀	1.048 ₀	2.396 ₀	2.735 ₀	2.069 ₀	2.064 ₀
9	9.842 ₋₁	1.717 ₀	7.074 ₋₁	1.285 ₀	1.577 ₀	9.350 ₋₁	1.261 ₀
12	7.463 ₋₁	1.141 ₀	3.908 ₋₁	8.337 ₋₁	9.943 ₋₁	7.000 ₋₁	7.970 ₋₁
16	4.189 ₋₁	7.230 ₋₁	3.184 ₋₁	5.229 ₋₁	6.028 ₋₁	3.902 ₋₁	4.872 ₋₁
20	2.587 ₋₁	4.062 ₋₁	1.953 ₋₁	3.286 ₋₁	3.888 ₋₁	2.422 ₋₁	3.193 ₋₁
26	1.527 ₋₁	2.805 ₋₁	1.591 ₋₁	1.888 ₋₁	2.597 ₋₁	1.432 ₋₁	2.229 ₋₁
34	1.009 ₋₁	1.876 ₋₁	1.048 ₋₁	1.254 ₋₁	1.621 ₋₁	9.415 ₋₂	1.409 ₋₁
44	6.702 ₋₂	1.099 ₋₁	6.935 ₋₂	8.482 ₋₂	1.112 ₋₁	6.272 ₋₂	9.583 ₋₂
56	4.044 ₋₂	7.397 ₋₂	4.709 ₋₂	5.115 ₋₂	7.156 ₋₂	3.786 ₋₂	6.267 ₋₂
70	3.337 ₋₂	4.820 ₋₂	3.120 ₋₂	4.059 ₋₂	5.172 ₋₂	3.123 ₋₂	4.443 ₋₂
88	2.193 ₋₂	3.413 ₋₂	2.583 ₋₂	2.695 ₋₂	3.779 ₋₂	2.053 ₋₂	3.338 ₋₂
110	1.412 ₋₂	2.356 ₋₂	1.720 ₋₂	1.742 ₋₂	2.484 ₋₂	1.320 ₋₂	2.209 ₋₂
138	1.176 ₋₂	1.583 ₋₂	1.112 ₋₂	1.451 ₋₂	1.837 ₋₂	1.100 ₋₂	1.571 ₋₂
174	7.630 ₋₃	1.102 ₋₂	9.131 ₋₃	9.570 ₋₃	1.329 ₋₂	7.143 ₋₃	1.169 ₋₂
218	5.069 ₋₃	7.698 ₋₃	6.166 ₋₃	6.263 ₋₃	8.862 ₋₃	4.744 ₋₃	7.858 ₋₃
274	4.223 ₋₃	5.301 ₋₃	3.826 ₋₃	5.219 ₋₃	6.491 ₋₃	3.951 ₋₃	5.512 ₋₃
344	2.767 ₋₃	3.677 ₋₃	3.231 ₋₃	3.433 ₋₃	4.730 ₋₃	2.589 ₋₃	4.156 ₋₃
430	1.817 ₋₃	2.534 ₋₃	2.210 ₋₃	2.258 ₋₃	3.172 ₋₃	1.701 ₋₃	2.804 ₋₃
538	1.503 ₋₃	1.820 ₋₃	1.410 ₋₃	1.871 ₋₃	2.344 ₋₃	1.406 ₋₃	1.995 ₋₃
674	1.020 ₋₃	1.265 ₋₃	1.171 ₋₃	1.264 ₋₃	1.726 ₋₃	9.540 ₋₄	1.513 ₋₃
843	6.513 ₋₄	8.501 ₋₄	8.175 ₋₄	8.074 ₋₄	1.152 ₋₃	6.093 ₋₄	1.022 ₋₃
1054	5.372 ₋₄	6.251 ₋₄	5.235 ₋₄	6.661 ₋₄	8.479 ₋₄	5.025 ₋₄	7.263 ₋₄
1318	3.758 ₋₄	4.436 ₋₄	4.243 ₋₄	4.666 ₋₄	6.311 ₋₄	3.516 ₋₄	5.516 ₋₄
1648	2.371 ₋₄	2.927 ₋₄	3.028 ₋₄	2.950 ₋₄	4.231 ₋₄	2.218 ₋₄	3.760 ₋₄
2060	1.932 ₋₄	2.167 ₋₄	1.932 ₋₄	2.396 ₋₄	3.079 ₋₄	1.807 ₋₄	2.647 ₋₄
2576	1.399 ₋₄	1.580 ₋₄	1.523 ₋₄	1.735 ₋₄	2.310 ₋₄	1.309 ₋₄	2.009 ₋₄

Tabelle 7.5: Fehler $\|\phi - \Phi_\ell\|$, $\|\phi - \tilde{\Phi}_\ell\|$ sowie Fehlerschätzer ζ_ℓ , $\tilde{\varrho}_\ell$, $(\tilde{\varrho}_\ell^2 + \zeta_\ell^2)^{1/2}$, $\tilde{\eta}_\ell$, $(\tilde{\eta}_\ell^2 + \zeta_\ell^2)^{1/2}$ für eine $(\tilde{\varrho}_\ell^2 + \zeta_\ell^2)^{1/2}$ -adaptive Netzfolge im Laplaceproblem 7.1 mit gestörter rechter Seite. Es bezeichnet N_ℓ die Anzahl der Elemente in \mathcal{T}_ℓ .

Die Steuerung des adaptiven Algorithmus erfolgte mit $\omega_\ell = (\varrho_\ell^2 + \zeta_\ell^2)^{1/2}$ und $\theta = \frac{1}{4}$.

Die in den Tabellen 7.3 und 7.4 angegebenen Größen, das sind der Fehler $\|\phi - \tilde{\Phi}_\ell\|$, die experimentelle Konvergenzrate α_ℓ und die Fehlerschätzer

$$\begin{aligned} \zeta_\ell &= \|h_\ell^{1/2}(g - g_\ell)'\|_{L^2(\Gamma)}, \\ (\tilde{\varrho}_\ell^2 + \zeta_\ell^2)^{1/2} &\text{ mit } \tilde{\varrho}_\ell = \|h_\ell^{1/2}((K + \frac{1}{2})g_\ell - V\tilde{\Phi}_\ell)'\|, \\ (\tilde{\mu}_\ell^2 + \zeta_\ell^2)^{1/2} &\text{ mit } \tilde{\mu}_\ell = \|h_\ell^{1/2}(\hat{\Phi}_\ell - \tilde{\Phi}_\ell)\|_{L^2(\Gamma)}, \\ (\tilde{\eta}_\ell^2 + \zeta_\ell^2)^{1/2} &\text{ mit } \tilde{\eta}_\ell = \|\hat{\Phi}_\ell - \tilde{\Phi}_\ell\|, \end{aligned}$$

sind zur Veranschaulichung in Abbildung 7.5 in einem doppelt logarithmischen Diagramm dargestellt. Der parallele Verlauf der Kurven des Fehlers $\|\phi - \tilde{\Phi}_\ell\|$ und des Gesamtschätzers $\omega_\ell = (\tilde{\varrho}_\ell^2 + \zeta_\ell^2)^{1/2}$ lassen auf die Zuverlässigkeit und Effizienz des Fehlerschätzers schließen.

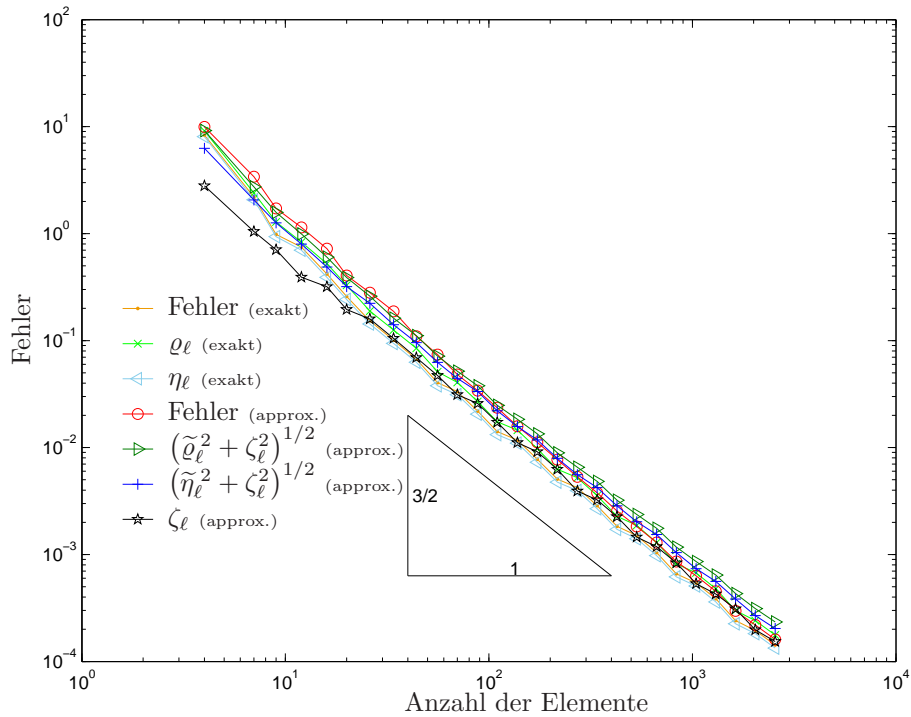


Abbildung 7.8: Fehler $\|\phi - \Phi_\ell\|$ und Fehlerschätzer η_ℓ, ϱ_ℓ für eine Berechnung mit exakter rechter Seite und Fehler $\|\phi - \tilde{\Phi}_\ell\|$ und Fehlerschätzer $\zeta_\ell, (\tilde{\varrho}_\ell^2 + \zeta_\ell^2)^{1/2}, (\tilde{\eta}_\ell^2 + \zeta_\ell^2)^{1/2}$ für eine Berechnung mit approximativer rechter Seite bei einem $(\tilde{\varrho}_\ell^2 + \zeta_\ell^2)^{1/2}$ -adaptiven Algorithmus des Laplaceproblems 7.1.

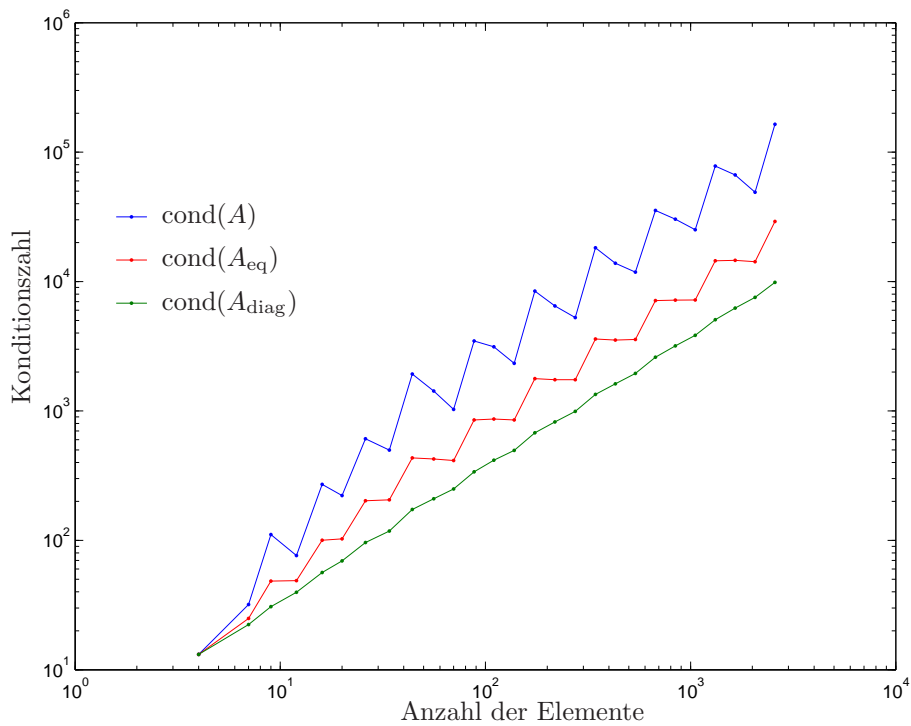


Abbildung 7.9: Konditionszahlen der Steifigkeitsmatrix ohne Vorkonditionierung, mit zeilenäquilibrierter Vorkonditionierung und mit diagonaler Vorkonditionierung für eine $(\tilde{\varrho}_\ell^2 + \zeta_\ell^2)^{1/2}$ -adaptive Netzfolge im Laplaceproblem 7.1 über der Anzahl der Elemente.

N_ℓ	$\text{cond}(A)$	$\text{cond}(A_{\text{eq}})$	$\text{cond}(A_{\text{diag}})$
4	1.3 ₁	1.3 ₁	1.3 ₁
7	3.2 ₁	2.5 ₁	2.2 ₁
9	1.1 ₂	4.8 ₁	3.1 ₁
12	7.6 ₂	4.9 ₁	4.0 ₁
16	2.7 ₂	1.0 ₂	5.6 ₁
20	2.2 ₂	1.0 ₂	6.9 ₁
26	6.1 ₂	2.0 ₂	9.6 ₁
34	5.0 ₂	2.1 ₂	1.2 ₂
44	1.9 ₃	4.3 ₂	1.7 ₂
56	1.4 ₃	4.3 ₂	2.1 ₂
70	1.0 ₃	4.1 ₂	2.5 ₂
88	3.5 ₃	8.5 ₂	3.4 ₂
110	3.1 ₃	8.7 ₂	4.2 ₂
138	2.3 ₃	8.5 ₂	5.0 ₂
174	8.4 ₃	1.8 ₃	6.8 ₂
218	6.5 ₃	1.7 ₃	8.2 ₂
274	5.3 ₃	1.7 ₃	9.9 ₂
344	1.8 ₄	3.6 ₃	1.3 ₃
430	1.4 ₄	3.5 ₃	1.6 ₃
538	1.2 ₄	3.6 ₃	2.0 ₃
674	3.5 ₄	7.1 ₃	2.6 ₃
843	3.0 ₄	7.2 ₃	3.3 ₃
1054	2.5 ₄	7.2 ₃	3.8 ₃
1318	7.8 ₄	1.4 ₄	5.1 ₃
1648	6.7 ₄	1.5 ₄	6.2 ₃
2060	4.9 ₄	1.4 ₄	7.5 ₃
2576	1.6 ₅	2.9 ₄	9.9 ₃

Tabelle 7.6: Konditionszahlen der Steifigkeitsmatrix ohne Vorkonditionierung, mit zeilenäquilibrierter Vorkonditionierung und mit diagonaler Vorkonditionierung für eine $(\tilde{\varrho}_\ell^2 + \zeta_\ell^2)^{1/2}$ -adaptive Netzfolge im Laplaceproblem 7.1.

N_ℓ	$\kappa(\mathcal{T}_\ell)$	$\frac{h_{\max}}{h_{\min}}$
4	1	1
7	2	2
9	2	4
12	2	2
16	2	4
20	2	4
26	2	4
34	2	4
44	2	8
56	2	8
70	2	4
88	2	8
110	2	8
138	2	8
174	2	1
218	2	8
274	2	8
344	2	16
430	2	16
538	2	16
674	2	16
843	2	16
1054	2	16
1318	2	32
1648	2	32
2060	2	16
2576	2	32

Tabelle 7.7: Anzahl der Elemente N_ℓ in \mathcal{T}_ℓ , $\kappa(\mathcal{T}_\ell)$ und $\frac{h_{\max}}{h_{\min}}$ bei Rechnung wie in Tabelle 7.6.

In Abbildung 7.6 ist ein Ausschnitt einer Folge von adaptiven Verfeinerungen über der Zahl der Elemente der Partition \mathcal{T}_ℓ zu sehen. Man kann erkennen, dass, da die Funktion glatt ist, zu keiner Stelle speziell verfeinert wird. Abbildung 7.7 stellt dieselbe Netzfolge über der Bogenlänge dar.

Zum besseren Vergleich der exakten und der approximativen Berechnung zeigt Abbildung 7.8 sowohl den exakten Fehler $\|\phi - \tilde{\Phi}_\ell\|$ und die Fehlerschätzer

$$\begin{aligned} \zeta_\ell &= \|h_\ell^{1/2}(g - g_\ell)'\|_{L^2(\Gamma)}, \\ (\tilde{\varrho}_\ell^2 + \zeta_\ell^2)^{1/2} &\quad \text{mit } \tilde{\varrho}_\ell = \|h_\ell^{1/2}((K + \frac{1}{2})g - V\tilde{\Phi}_\ell)'\|, \\ (\tilde{\eta}_\ell^2 + \zeta_\ell^2)^{1/2} &\quad \text{mit } \tilde{\eta}_\ell = \|\hat{\Phi}_\ell - \tilde{\Phi}_\ell\| \end{aligned}$$

für die approximierte rechte Seite als auch den exakten Fehler $\|\phi - \Phi_\ell\|$ und die Fehlerschätzer

$$\varrho_\ell = \|h_\ell^{1/2}((K + \frac{1}{2})g - V\Phi_\ell)'\|_{L^2(\Gamma)}, \quad \eta_\ell = \|\hat{\Phi}_\ell - \Phi_\ell\|$$

für die exakte rechte Seite.

Die Steuerung des adaptiven Algorithmus erfolgte mittels $\omega_\ell = (\tilde{\varrho}_\ell^2 + \zeta_\ell^2)^{1/2}$ und $\theta = \frac{1}{4}$. Man sieht, dass sich die Fehler und auch Fehlerschätzer kaum unterscheiden. Aus diesem Grund enthält Tabelle 7.5 die genauen Größen der Fehler und der Fehlerschätzer.

Bei adaptiver Netzverfeinerung kann der Durchmesser der Elemente einer Partition sehr stark variieren und die Steifigkeitsmatrix daher schlecht konditioniert sein. Aus diesem Grund wird vorkonditioniert. Zu Lösen ist das lineare Gleichungssystem $Ax = b$ mit einer symmetrischen Matrix A .

Um gleichzeitig die Symmetrie zu erhalten und die Konditionszahl zu vermindern, wird stattdessen das folgende äquivalente Gleichungssystem

$$D^{1/2}AD^{1/2}D^{-1/2}x = D^{1/2}b$$

betrachtet. Setzt man $y := D^{-1/2}x$, muss also $D^{1/2}AD^{1/2}y = D^{1/2}b$ gelöst und danach $x = D^{1/2}y$ berechnet werden. Die Matrix D ist eine Diagonalmatrix, deren Einträge die Reziprokwerten der Diagonaleinträge von A sind, d.h. $d_{jj} = a_{jj}^{-1}$. Zu Testzwecken wird außerdem auch Zeilenäquibrierung als Vorkonditionierung verwendet. Die Diagonalmatrix D enthält in diesem Fall die Reziprokwerte der Zeilensummen von A als Diagonaleinträge, d.h. $d_{jj} = (\sum_{i=1}^n |a_{ij}|)^{-1}$.

Die zeilenäquilibrierte Vorkonditionierung liefert eine Verbesserung der Konditionszahl, gemessen in der Zeilensummennorm sogar die optimale Verbesserung, die durch Multiplikation mit einer Diagonalmatrix erreicht werden kann.

Satz 7.1. (PLATO 2000 [16, Seite 79f]).

Sei $A_{\text{eq}} \in \mathbb{R}^{N \times N}$ eine reguläre, zeilenäquilibrierte Matrix, d.h. $\sum_{j=1}^N |a_{ij}|$, $i = 1, \dots, N$. Für jede reguläre Diagonalmatrix $D \in \mathbb{R}^{N \times N}$ gilt

$$\text{cond}_\infty(A_{\text{eq}}) \leq \text{cond}_\infty(DA_{\text{eq}}). \quad (7.2)$$

□

Die Arbeit von AINSWORTH/MCLEAN/TRAN 1999 [1] zeigt, dass es möglich ist mittels diagonalen Vorkonditionierung beinahe dieselbe Konditionszahl für den adaptiven Algorithmus wie für uniforme Verfeinerung zu erhalten.

Satz 7.2. (AINS WORTH/MCLEAN/TRAN 1999 [1, Theorem 2.1]).

Es bezeichnen $\text{cond}(A)$ und $\text{cond}(A_{\text{diag}})$ die Konditionszahlen der Steifigkeitsmatrix $A \in \mathbb{R}^{N \times N}$ und der diagonal vorkonditionierten Matrix $A_{\text{diag}} \in \mathbb{R}^{N \times N}$ gemessen in der Spektralnorm $\|\cdot\|_2$. Für h_{max} genügend klein gelten mit Konstanten $C_{\text{stiff}}, C_{\text{diag}} > 0$

$$\text{cond}_2(A) \leq C_{\text{stiff}} N (1 + |\log(Nh_{\text{max}})|) \left(\frac{h_{\text{max}}}{h_{\text{min}}} \right)^2 \quad (7.3)$$

und

$$\text{cond}_2(A_{\text{diag}}) \leq C_{\text{diag}} N (1 + |\log(Nh_{\text{min}})|) \frac{1 + |\log h_{\text{min}}|}{1 + |\log h_{\text{max}}|}. \quad (7.4)$$

Die Konstanten C_{stiff} und C_{diag} sind nur abhängig von Γ .

□

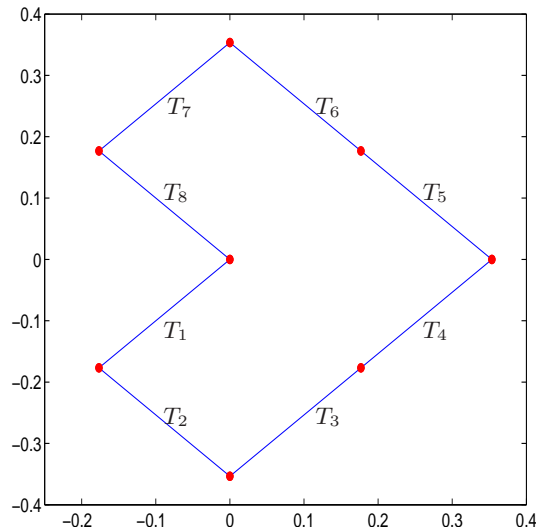


Abbildung 7.10: Startnetz \mathcal{T}_0 mit $N_0 = 8$ Elementen des Laplaceproblems 7.2.

In Tabelle 7.6 und Abbildung 7.9 sieht man die Anzahl der Elemente N_ℓ und die Konditionszahlen der unveränderten Matrix A , der mittels Zeilenäquibrierung vorkonditionierten Matrix A_{eq} und der diagonal vorkonditionierten Matrix A_{diag} einer adaptiven Netzfolge. Die Konditionszahlen wurden mit dem MATLAB-Befehl `cond` berechnet, der $\text{cond}(A) = \|A\|_2 \|A^{-1}\|_2$ mittels Singulärwertzerlegung bestimmt.

In Korollar 3.11 wurde bewiesen, dass $\kappa(\mathcal{T}_\ell)$, das ist der maximale Quotient der Netzweiten zweier benachbarter Elemente, bei Anwendung einer erweiterten Markierungsstrategie (3.11) beschränkt bleibt. Das untermauern die Daten in Tabelle 7.7. Zum Vergleich ist in jedem Iterationsschritt auch der maximale Quotient der lokalen Netzweiten aller, also nicht unbedingt benachbarter Elemente, d.h. $\frac{h_{\max}}{h_{\min}}$, angegeben.

7.2 Laplaceproblem am L-förmigen Gebiet

Im diesem Abschnitt wird das Laplaceproblem 7.1 für ein L-förmiges Gebiet mit der exakten Lösung $u(x, y)$ betrachtet und die dazu äquivalente Symmsche Integralgleichung $V\phi = (K + \frac{1}{2})g$ mit $g = u|_\Gamma$ gelöst.

Das verwendete Startnetz \mathcal{T}_0 mit $N_0 = 8$ Elementen ist in Abbildung 7.10 zu sehen. Man kann erkennen, dass für den Durchmesser des Gebiets $\text{diam}(\Omega) = \frac{1}{\sqrt{2}} \approx 0.7071 < 1$ gilt, um die Elliptizität des Einfachschichtpotentials zu garantieren.

7.2.1 Erstes Experiment

Die exakte Lösung von 7.1 lautet $u(x, y) = u(r \cos \psi, r \sin \psi) = r^{2/3} \cos \frac{2}{3} \psi$. Die Dirichletdaten $g = u|_\Gamma \in H^{1/2}(\Gamma)$ sind in Abbildung 7.11 über der Bogenlänge $0 \leq s < 2$ dargestellt, wobei $s \in \{0, 2\}$ gerade dem gemeinsamen Eckpunkt $(0.35355, 0)$ der Elemente T_4 und T_5 der Partition \mathcal{T}_0 entspricht.

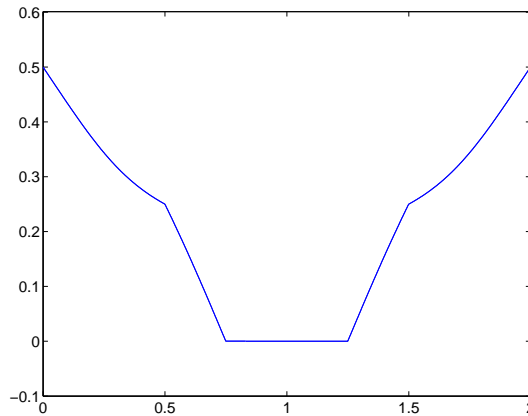


Abbildung 7.11: Exakte Dirichletdaten des Laplaceproblems 7.2.1 über der Bogenlänge $s \in [0, 2]$, wobei $s \in \{0, 2\}$ gerade dem Eckpunkt $(0.35355, 0)$ entspricht.

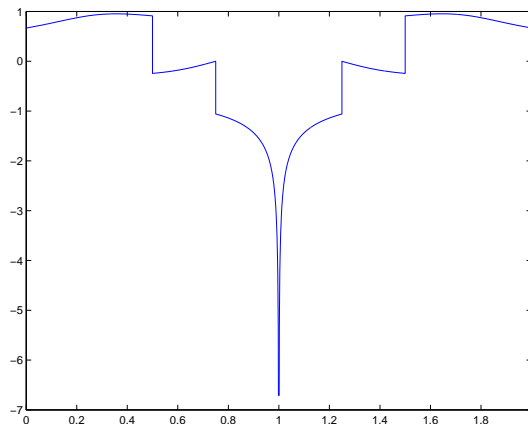


Abbildung 7.12: Exakte Lösung des Laplaceproblems 7.2.1 über der Bogenlänge $s \in [0, 2]$, wobei $s \in \{0, 2\}$ gerade dem Eckpunkt $(0.35355, 0)$ entspricht.

Die Lösung $\phi = \frac{\partial u}{\partial n}$ der Symmschen Integralgleichung hat an der einspringenden Ecke $(0, 0)$ eine Singularität. Um einen Eindruck über das Verhalten der kontinuierlichen Lösung

$$\phi(x, y) = \phi(r \cos \psi, r \sin \psi) = \frac{2}{3} r^{-1/3} \begin{pmatrix} \cos \psi \cos(\frac{2}{3}\psi) + \sin \psi \sin(\frac{2}{3}\psi) \\ \sin \psi \cos(\frac{2}{3}\psi) - \cos \psi \sin(\frac{2}{3}\psi) \end{pmatrix} \cdot n(x, y),$$

wobei $n(x, y)$ den äußeren Normalenvektor bezeichnet, zu erhalten, ist diese in Abbildung 7.12 dargestellt.

Extrapolation mit der Aitkenschen Δ^2 -Methode führt zu einer geschätzten Energienorm $\|\phi\|^2 = 0.202058098880$ der unbekanntenen Lösung ϕ .

Wiederum wird zunächst die Symmsche Integralgleichung mit exakter rechter Seite, das heißt ungestörten Dirichletdaten, gelöst. Die Anzahl der Elemente N_ℓ , die experimentelle Konvergenzrate α_ℓ , der exakte Fehler $\|\phi - \Phi_\ell\|$ und die Fehlerschätzer

$$\varrho_\ell = \left\| h_\ell^{1/2} \left((K + \frac{1}{2})g - V\Phi_\ell \right)' \right\|_{L^2(\Gamma)}, \quad \mu_\ell = \left\| h_\ell^{1/2} (\widehat{\Phi}_\ell - \Phi_\ell) \right\|_{L^2(\Gamma)}, \quad \eta_\ell = \left\| \widehat{\Phi}_\ell - \Phi_\ell \right\|$$

sind für eine uniforme Verfeinerung in Tabelle 7.8 und für eine adaptive Verfeinerung in Tabelle 7.9 zusammengefasst. Abbildung 7.13 zeigt den exakten Fehler und die Fehlerschätzer in einem doppelt

N_ℓ	$\ \phi - \Phi_\ell\ $	α_ℓ	η_ℓ	μ_ℓ	ϱ_ℓ
8	8.355 ₋₂	—	6.632 ₋₂	1.393 ₋₁	1.290 ₋₁
16	5.083 ₋₂	0.72	3.944 ₋₂	8.597 ₋₂	7.576 ₋₂
32	3.206 ₋₂	0.66	2.490 ₋₂	5.389 ₋₂	4.768 ₋₂
64	2.020 ₋₂	0.67	1.569 ₋₂	3.394 ₋₂	3.003 ₋₂
128	1.273 ₋₂	0.67	9.844 ₋₃	2.138 ₋₂	1.892 ₋₂
256	8.018 ₋₃	0.67	6.227 ₋₃	1.347 ₋₂	1.192 ₋₂
512	5.051 ₋₃	0.67	3.923 ₋₃	8.487 ₋₃	7.508 ₋₃
1024	3.182 ₋₃	0.67	2.471 ₋₃	5.346 ₋₃	4.730 ₋₃
2048	2.005 ₋₃	0.67	1.557 ₋₃	3.368 ₋₃	2.980 ₋₃

Tabelle 7.8: Fehler $\|\phi - \Phi_\ell\|$ und Fehlerschätzer μ_ℓ , ϱ_ℓ , η_ℓ sowie experimentelle Konvergenzrate α_ℓ des Fehlers für eine uniforme Netzfolge im Laplaceproblem 7.2.1 mit exakter rechter Seite.

N_ℓ	$\ \phi - \Phi_\ell\ $	α_ℓ	η_ℓ	μ_ℓ	ϱ_ℓ
8	8.355 ₋₂	—	6.632 ₋₂	1.393 ₋₁	1.290 ₋₁
10	5.209 ₋₂	2.12	4.089 ₋₂	8.984 ₋₂	8.017 ₋₂
14	2.458 ₋₂	2.28	2.062 ₋₂	4.417 ₋₂	4.240 ₋₂
18	1.851 ₋₂	1.13	1.617 ₋₂	3.603 ₋₂	3.079 ₋₂
26	8.187 ₋₃	2.75	7.235 ₋₃	1.693 ₋₂	1.292 ₋₂
32	5.461 ₋₃	1.95	4.846 ₋₃	1.177 ₋₂	9.601 ₋₃
44	4.133 ₋₃	0.97	3.822 ₋₃	9.492 ₋₃	5.476 ₋₃
48	2.959 ₋₃	3.84	2.687 ₋₃	6.848 ₋₃	4.137 ₋₃
57	2.176 ₋₃	1.79	1.995 ₋₃	5.094 ₋₃	3.313 ₋₃
69	1.816 ₋₃	0.95	1.638 ₋₃	4.322 ₋₃	2.536 ₋₃
80	1.451 ₋₃	1.52	1.348 ₋₃	3.499 ₋₃	1.959 ₋₃
105	8.243 ₋₄	2.24	7.653 ₋₄	1.998 ₋₃	1.171 ₋₃
127	6.994 ₋₄	0.86	6.520 ₋₄	1.716 ₋₃	9.121 ₋₄
149	5.493 ₋₄	1.51	5.127 ₋₄	1.355 ₋₃	7.079 ₋₄
169	4.497 ₋₄	1.59	4.191 ₋₄	1.109 ₋₃	5.398 ₋₄
197	3.156 ₋₄	2.31	2.944 ₋₄	7.816 ₋₄	4.202 ₋₄
240	2.699 ₋₄	0.79	2.521 ₋₄	6.728 ₋₄	3.260 ₋₄
286	2.153 ₋₄	1.29	2.014 ₋₄	5.363 ₋₄	2.526 ₋₄
327	1.688 ₋₄	1.82	1.577 ₋₄	4.203 ₋₄	1.945 ₋₄
381	1.126 ₋₄	2.65	1.051 ₋₄	2.817 ₋₄	1.490 ₋₄
468	9.606 ₋₅	0.77	8.970 ₋₅	2.410 ₋₄	1.144 ₋₄
562	7.847 ₋₅	1.11	7.326 ₋₅	1.969 ₋₄	8.753 ₋₅
649	5.928 ₋₅	1.96	5.523 ₋₅	1.483 ₋₄	6.688 ₋₅
773	3.929 ₋₅	2.38	3.643 ₋₅	9.813 ₋₅	5.079 ₋₅
950	3.303 ₋₅	0.86	3.053 ₋₅	8.238 ₋₅	3.861 ₋₅
1142	2.759 ₋₅	1.00	2.537 ₋₅	6.846 ₋₅	2.935 ₋₅
1324	2.019 ₋₅	2.21	1.828 ₋₅	4.939 ₋₅	2.222 ₋₅
1619	1.436 ₋₅	1.85	1.257 ₋₅	3.398 ₋₅	1.677 ₋₅
1987	1.197 ₋₅	1.04	1.014 ₋₅	2.746 ₋₅	1.267 ₋₅
2370	1.025 ₋₅	1.10	8.347 ₋₆	2.259 ₋₅	9.567 ₋₆

Tabelle 7.9: Fehler $\|\phi - \Phi_\ell\|$ und Fehlerschätzer μ_ℓ , ϱ_ℓ , η_ℓ sowie experimentelle Konvergenzrate α_ℓ des Fehlers für eine ϱ_ℓ -adaptive Netzfolge im Laplaceproblem 7.2.1 mit exakter rechter Seite.

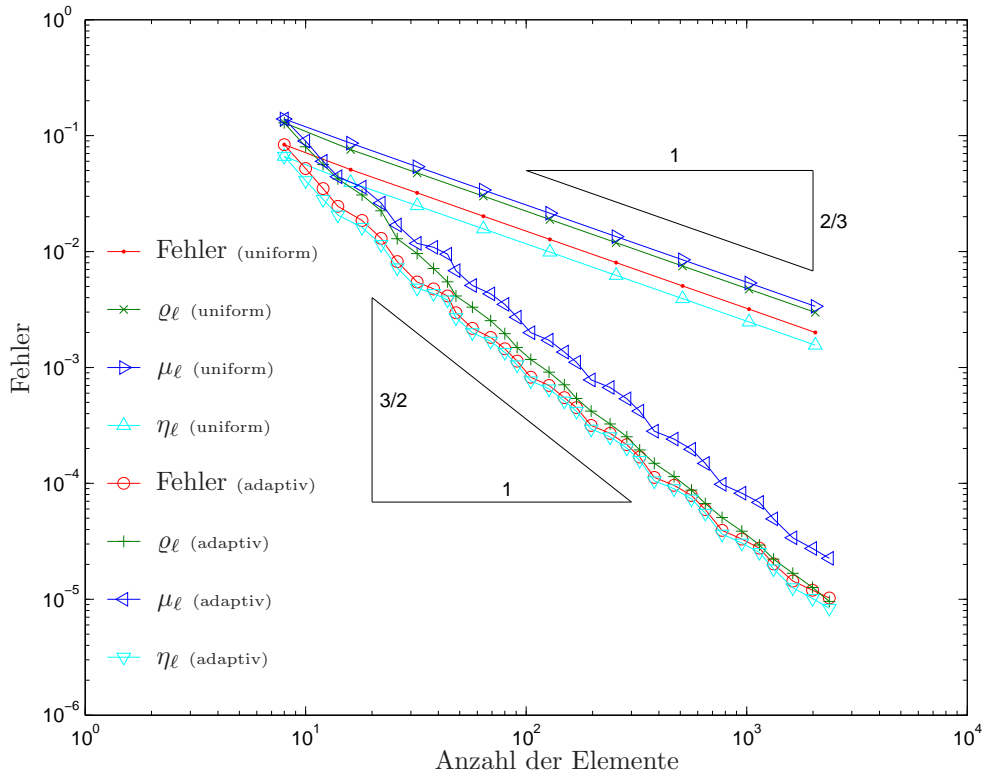


Abbildung 7.13: Fehler $\|\phi - \Phi_\ell\|$ und Fehlerschätzer μ_ℓ , ϱ_ℓ , η_ℓ für eine uniforme und eine ϱ_ℓ -adaptive Netzfolge im Laplaceproblem 7.2.1 mit exakter rechter Seite.

logarithmischen Diagramm. Bei uniformer Verfeinerung wird entsprechend der Ordnung der Singularität der Lösung eine Konvergenzordnung von $\alpha = \frac{2}{3}$ erreicht. Mittels eines adaptiven Algorithmus — gesteuert mit ϱ_ℓ und $\theta = \frac{1}{4}$ — lässt sich die Singularität besser auflösen und man erreicht die optimale Konvergenzordnung von $\alpha = \frac{3}{2}$. Die Parallelität der Fehlerschätzer und des Fehlers bestätigen numerisch die Zuverlässigkeit und Effizienz der Fehlerschätzer.

Auch die Symmsche Integralgleichung mit gestörter rechter Seite, das heißt nodal interpolierten Dirichletdaten, wird gelöst. Sowohl für uniforme als auch adaptive Verfeinerung und Steuerung mittels $\omega_\ell = (\tilde{\varrho}_\ell^2 + \zeta_\ell^2)^{1/2}$ werden die Anzahl der Elemente N_ℓ , der exakte Fehler $e_\ell = \|\phi - \tilde{\Phi}_\ell\|$, die experimentelle Konvergenzrate α_ℓ und die Fehlerschätzer

$$\begin{aligned} \zeta_\ell &= \|h_\ell^{1/2}(g - g_\ell)'\|_{L^2(\Gamma)}, \\ (\tilde{\varrho}_\ell^2 + \zeta_\ell^2)^{1/2} &\text{ mit } \tilde{\varrho}_\ell = \|h_\ell^{1/2}((K + \frac{1}{2})g_\ell - V\tilde{\Phi}_\ell)'\|, \\ (\tilde{\mu}_\ell^2 + \zeta_\ell^2)^{1/2} &\text{ mit } \tilde{\mu}_\ell = \|h_\ell^{1/2}(\hat{\Phi}_\ell - \tilde{\Phi}_\ell)\|_{L^2(\Gamma)}, \\ (\tilde{\eta}_\ell^2 + \zeta_\ell^2)^{1/2} &\text{ mit } \tilde{\eta}_\ell = \|\hat{\Phi}_\ell - \tilde{\Phi}_\ell\| \end{aligned}$$

in Tabelle 7.10 bzw. 7.11 angegeben. Zur Illustration der Ergebnisse sind der exakte Fehler und die Fehlerschätzer in Abbildung 7.16 in einem doppelt logarithmischen Diagramm dargestellt. Für die uniforme Verfeinerung ergibt sich eine Konvergenzrate von $\alpha = \frac{2}{3}$, was genau dem Reziprokwert des Innenwinkels an der Singularität entspricht. Adaptive Verfeinerung führt zu optimaler Konvergenzordnung $\alpha = \frac{3}{2}$. Alle Fehlerschätzer verlaufen parallel, was die Zuverlässigkeit und Effizienz bestätigt.

N_ℓ	$\ \phi - \tilde{\Phi}_\ell\ $	α_ℓ	ζ_ℓ	$(\tilde{\varrho}_\ell^2 + \zeta_\ell^2)^{1/2}$	$(\tilde{\mu}_\ell^2 + \zeta_\ell^2)^{1/2}$	$(\tilde{\eta}_\ell^2 + \zeta_\ell^2)^{1/2}$
8	8.715 ₋₂	—	3.822 ₋₃	1.292 ₋₁	1.414 ₋₁	6.759 ₋₂
16	5.185 ₋₂	0.75	1.358 ₋₃	7.579 ₋₂	8.611 ₋₂	3.951 ₋₂
32	3.234 ₋₂	0.68	4.809 ₋₄	4.768 ₋₂	5.391 ₋₂	2.491 ₋₂
64	2.027 ₋₂	0.67	1.701 ₋₄	3.003 ₋₂	3.395 ₋₂	1.569 ₋₂
128	1.275 ₋₂	0.67	6.014 ₋₅	1.892 ₋₂	2.138 ₋₂	9.884 ₋₃
256	8.023 ₋₃	0.67	2.126 ₋₅	1.192 ₋₂	1.347 ₋₂	6.227 ₋₃
512	5.053 ₋₃	0.67	7.518 ₋₆	7.508 ₋₃	8.487 ₋₃	3.923 ₋₃
1024	3.182 ₋₃	0.67	2.658 ₋₆	4.730 ₋₃	5.346 ₋₃	2.471 ₋₃
2048	2.005 ₋₃	0.67	9.397 ₋₇	2.980 ₋₃	3.368 ₋₃	1.557 ₋₃

Tabelle 7.10: Fehler $\|\phi - \tilde{\Phi}_\ell\|$ und Fehlerschätzer ζ_ℓ , $(\tilde{\eta}_\ell^2 + \zeta_\ell^2)^{1/2}$, $(\tilde{\mu}_\ell^2 + \zeta_\ell^2)^{1/2}$, $(\tilde{\varrho}_\ell^2 + \zeta_\ell^2)^{1/2}$ sowie experimentelle Konvergenzrate α_ℓ des Fehlers für eine uniforme Netzfolge im Laplaceproblem 7.2.1 mit gestörter rechter Seite. Es bezeichnet N_ℓ die Anzahl der Elemente in \mathcal{T}_ℓ .

N_ℓ	$\ \phi - \tilde{\Phi}_\ell\ $	α_ℓ	ζ_ℓ	$(\tilde{\varrho}_\ell^2 + \zeta_\ell^2)^{1/2}$	$(\tilde{\mu}_\ell^2 + \zeta_\ell^2)^{1/2}$	$(\tilde{\eta}_\ell^2 + \zeta_\ell^2)^{1/2}$
8	8.715 ₋₂	—	3.822 ₋₃	1.292 ₋₁	1.414 ₋₁	6.759 ₋₂
10	5.581 ₋₂	2.00	3.822 ₋₃	7.996 ₋₂	9.137 ₋₂	4.153 ₋₂
14	3.686 ₋₂	1.23	2.578 ₋₄	5.330 ₋₂	6.204 ₋₂	2.867 ₋₂
18	2.469 ₋₂	1.60	2.043 ₋₄	3.525 ₋₂	4.163 ₋₂	1.888 ₋₂
24	1.464 ₋₂	1.82	1.358 ₋₅	2.078 ₋₂	2.431 ₋₂	1.100 ₋₂
30	1.002 ₋₂	1.70	9.250 ₋₃	1.378 ₋₂	1.787 ₋₂	7.823 ₋₃
38	6.743 ₋₃	1.68	6.743 ₋₃	9.053 ₋₃	1.210 ₋₂	5.190 ₋₃
48	4.186 ₋₃	2.04	4.620 ₋₄	5.815 ₋₃	7.809 ₋₃	3.347 ₋₃
60	2.956 ₋₃	1.56	3.668 ₋₄	3.939 ₋₃	5.700 ₋₃	2.369 ₋₃
75	2.035 ₋₃	1.67	2.305 ₋₅	2.624 ₋₃	4.036 ₋₃	1.658 ₋₃
94	1.261 ₋₃	2.12	1.672 ₋₅	1.698 ₋₃	2.583 ₋₃	1.056 ₋₃
118	9.439 ₋₄	1.27	1.199 ₋₆	1.188 ₋₃	2.002 ₋₃	7.973 ₋₄
148	6.611 ₋₄	1.57	8.020 ₋₆	8.042 ₋₄	1.429 ₋₃	5.636 ₋₄
185	4.006 ₋₄	2.25	5.990 ₋₆	5.243 ₋₄	8.812 ₋₄	3.478 ₋₄
232	3.130 ₋₄	1.09	4.179 ₋₆	3.768 ₋₄	7.047 ₋₄	2.727 ₋₄
290	2.340 ₋₄	1.30	2.562 ₋₆	2.643 ₋₄	5.404 ₋₄	2.075 ₋₄
363	1.369 ₋₄	2.39	2.127 ₋₆	1.733 ₋₄	3.172 ₋₄	1.224 ₋₄
454	1.068 ₋₄	1.11	1.508 ₋₆	1.261 ₋₄	2.501 ₋₄	9.517 ₋₅
568	8.196 ₋₅	1.19	9.111 ₋₆	8.936 ₋₅	1.961 ₋₄	7.401 ₋₅
710	4.885 ₋₅	2.33	7.521 ₋₆	5.946 ₋₅	1.170 ₋₄	4.439 ₋₅
888	3.778 ₋₅	1.16	5.447 ₋₆	4.383 ₋₅	9.023 ₋₅	3.400 ₋₅
1110	2.970 ₋₅	1.10	3.371 ₋₇	3.150 ₋₅	7.128 ₋₅	2.670 ₋₅
1388	1.842 ₋₅	2.24	2.663 ₋₇	2.102 ₋₅	4.353 ₋₅	1.636 ₋₅
1735	1.416 ₋₅	1.30	2.010 ₋₇	1.559 ₋₅	3.237 ₋₅	1.215 ₋₅
2169	1.161 ₋₅	1.05	1.281 ₋₇	1.132 ₋₅	2.565 ₋₅	9.569 ₋₆
2712	8.281 ₋₆	2.04	9.444 ₋₇	7.570 ₋₆	1.627 ₋₅	6.086 ₋₆
3390	6.968 ₋₆	1.35	7.371 ₋₇	5.621 ₋₆	1.172 ₋₅	4.383 ₋₆

Tabelle 7.11: Fehler $\|\phi - \tilde{\Phi}_\ell\|$ und Fehlerschätzer ζ_ℓ , $(\tilde{\eta}_\ell^2 + \zeta_\ell^2)^{1/2}$, $(\tilde{\mu}_\ell^2 + \zeta_\ell^2)^{1/2}$, $(\tilde{\varrho}_\ell^2 + \zeta_\ell^2)^{1/2}$ sowie experimentelle Konvergenzrate α_ℓ des Fehlers für eine $(\tilde{\varrho}_\ell^2 + \zeta_\ell^2)^{1/2}$ -adaptive Netzfolge im Laplaceproblem 7.2.1 mit gestörter rechter Seite. Es bezeichnet N_ℓ die Anzahl der Elemente in \mathcal{T}_ℓ .

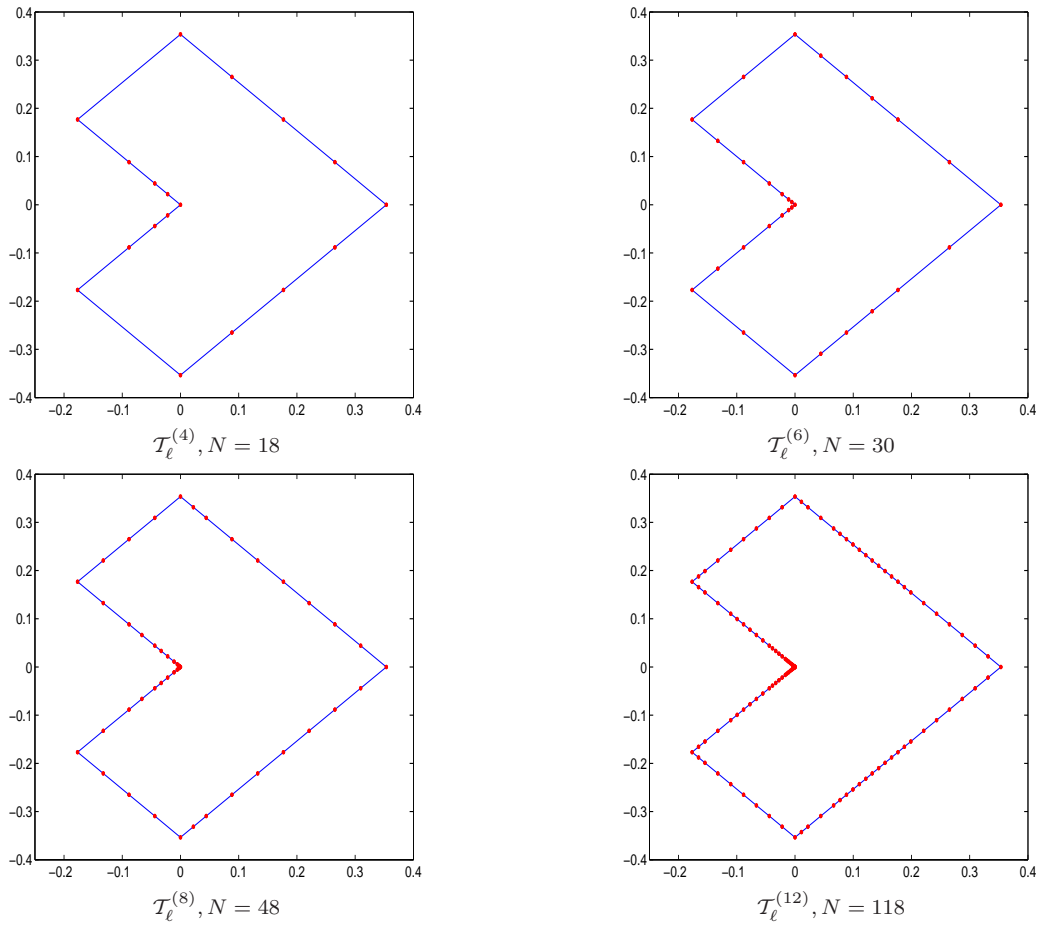


Abbildung 7.14: Ausschnitt der Folge von Partitionen, die durch $(\tilde{\varrho}_\ell^2 + \zeta_\ell^2)^{1/2}$ -adaptive Verfeinerungen im Laplaceproblem 7.2.1 hervorgeht.

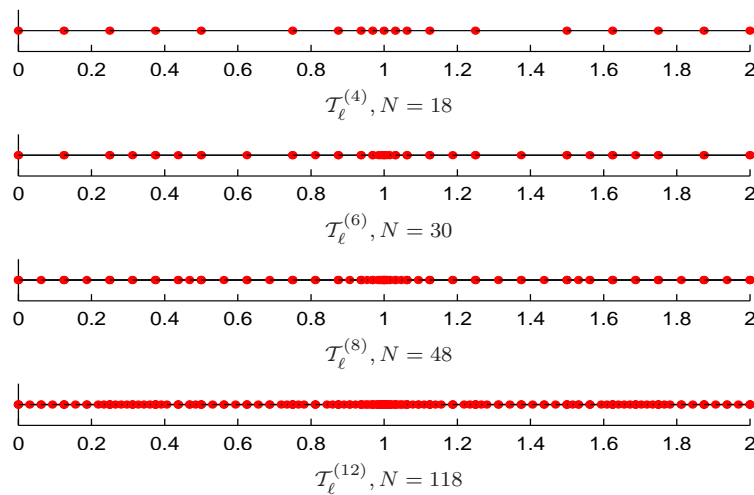


Abbildung 7.15: Ausschnitt der Folge von Partitionen, die durch $(\tilde{\varrho}_\ell^2 + \zeta_\ell^2)^{1/2}$ -adaptive Verfeinerungen im Laplaceproblem 7.2.1 hervorgeht, über der Bogenlängen $s \in [0, 2]$, wobei $s \in \{0, 2\}$ gerade dem Eckpunkt $(0.35355, 0)$ entspricht.

N_ℓ	$\ \phi - \Phi_\ell\ $	$\ \phi - \tilde{\Phi}_\ell\ $	ζ_ℓ	ϱ_ℓ	$(\tilde{\varrho}_\ell^2 + \zeta_\ell^2)^{1/2}$	η_ℓ	$(\tilde{\eta}_\ell^2 + \zeta_\ell^2)^{1/2}$
8	8.355 ₋₂	8.715 ₋₂	3.822 ₋₃	1.290 ₋₁	1.292 ₋₁	6.632 ₋₂	6.759 ₋₂
10	5.209 ₋₂	5.581 ₋₂	3.822 ₋₃	8.017 ₋₂	7.996 ₋₂	4.089 ₋₂	4.153 ₋₂
14	3.466 ₋₂	3.686 ₋₂	2.578 ₋₃	5.341 ₋₂	5.330 ₋₂	2.789 ₋₂	2.867 ₋₂
18	2.257 ₋₂	2.468 ₋₂	2.043 ₋₃	3.554 ₋₂	3.525 ₋₂	1.836 ₋₂	1.888 ₋₂
24	1.361 ₋₂	1.464 ₋₂	1.358 ₋₃	2.084 ₋₂	2.078 ₋₂	1.088 ₋₂	1.100 ₋₂
30	9.352 ₋₃	1.002 ₋₂	9.250 ₋₄	1.384 ₋₂	1.378 ₋₂	7.699 ₋₃	7.824 ₋₃
38	6.159 ₋₃	6.743 ₋₃	6.743 ₋₄	9.118 ₋₃	9.053 ₋₃	5.120 ₋₃	5.190 ₋₃
48	3.954 ₋₃	4.186 ₋₃	4.619 ₋₄	5.813 ₋₃	5.815 ₋₃	3.309 ₋₃	3.347 ₋₃
60	2.733 ₋₃	2.956 ₋₃	3.668 ₋₄	3.953 ₋₃	3.939 ₋₃	2.332 ₋₃	2.369 ₋₃
75	1.882 ₋₃	2.035 ₋₃	2.305 ₋₄	2.663 ₋₃	2.624 ₋₃	1.634 ₋₃	1.658 ₋₃
94	1.198 ₋₃	1.261 ₋₃	1.672 ₋₄	1.693 ₋₃	1.698 ₋₃	1.042 ₋₃	1.056 ₋₃
118	8.856 ₋₄	9.439 ₋₄	1.199 ₋₄	1.187 ₋₃	1.188 ₋₃	7.866 ₋₄	7.973 ₋₄
148	6.192 ₋₄	6.610 ₋₄	8.020 ₋₅	8.057 ₋₄	8.042 ₋₄	5.560 ₋₄	5.636 ₋₄
185	3.822 ₋₄	4.006 ₋₄	5.990 ₋₅	5.217 ₋₄	5.243 ₋₄	3.425 ₋₄	3.478 ₋₄
232	2.959 ₋₄	3.129 ₋₄	4.179 ₋₅	3.756 ₋₄	3.768 ₋₄	2.692 ₋₄	2.727 ₋₄
290	2.238 ₋₄	2.340 ₋₄	2.562 ₋₅	2.640 ₋₄	2.642 ₋₄	2.055 ₋₄	2.075 ₋₄
363	1.317 ₋₄	1.368 ₋₄	2.127 ₋₅	1.722 ₋₄	1.733 ₋₄	1.205 ₋₄	1.224 ₋₄
454	1.019 ₋₄	1.067 ₋₄	1.508 ₋₅	1.255 ₋₄	1.261 ₋₄	9.392 ₋₅	9.517 ₋₅
568	7.920 ₋₅	8.184 ₋₅	9.111 ₋₆	8.907 ₋₅	8.936 ₋₅	7.388 ₋₅	7.401 ₋₅
710	4.731 ₋₅	4.865 ₋₅	7.521 ₋₆	5.902 ₋₅	5.946 ₋₅	4.374 ₋₅	4.439 ₋₅
888	3.622 ₋₅	3.752 ₋₅	5.447 ₋₆	4.354 ₋₅	4.383 ₋₅	3.356 ₋₅	3.400 ₋₅
1110	2.853 ₋₅	2.937 ₋₅	3.371 ₋₆	3.138 ₋₅	3.150 ₋₅	2.646 ₋₅	2.669 ₋₅
1388	1.753 ₋₅	1.788 ₋₅	2.662 ₋₆	2.085 ₋₅	2.102 ₋₅	1.614 ₋₅	1.636 ₋₅
1735	1.311 ₋₅	1.346 ₋₅	2.010 ₋₆	1.547 ₋₅	1.559 ₋₅	1.198 ₋₅	1.215 ₋₅
2169	1.049 ₋₅	1.074 ₋₅	1.281 ₋₆	1.126 ₋₅	1.132 ₋₅	9.481 ₋₆	9.569 ₋₆
2712	6.935 ₋₆	7.027 ₋₆	9.444 ₋₇	7.512 ₋₅	7.570 ₋₆	6.012 ₋₆	6.086 ₋₆
3390	5.320 ₋₆	5.413 ₋₆	7.371 ₋₇	5.547 ₋₆	5.621 ₋₆	4.320 ₋₆	4.383 ₋₆

Tabelle 7.12: Fehler $\|\phi - \Phi_\ell\|$, $\|\phi - \tilde{\Phi}_\ell\|$ sowie Fehlerschätzer ζ_ℓ , $\tilde{\varrho}_\ell$, $(\tilde{\varrho}_\ell^2 + \zeta_\ell^2)^{1/2}$, $\tilde{\eta}_\ell$, $(\tilde{\eta}_\ell^2 + \zeta_\ell^2)^{1/2}$ für eine $(\tilde{\varrho}_\ell^2 + \zeta_\ell^2)^{1/2}$ -adaptive Netzfolge im Laplaceproblem 7.2.1 mit gestörter rechter Seite.

Wie bereits in Kapitel 5.5.2 erklärt, ist die Berechnung des Residualschätzers im Vergleich zur Berechnung der $h - h/2$ -Fehlerschätzer sehr aufwändig. Die Kurven der Fehlerschätzer verlaufen aber — nach einer anfänglichen präasymptotischen Phase — parallel, was ein Ersetzen von $\tilde{\varrho}_\ell$ durch $\tilde{\mu}_\ell$ aus numerischer Sicht nahe legt.

In Abbildung 7.14 ist ein Ausschnitt einer Folge von adaptiven Verfeinerungen über der Zahl der Elemente der Partition \mathcal{T}_ℓ zu sehen. Man kann erkennen, dass besonders zur einspringenden Ecke — bei der sich ja die Singularität befindet — verfeinert wird. Abbildung 7.15 stellt dieselbe Netzfolge über der Bogenlänge dar.

Um die Berechnung mit exakter rechter Seite und gestörter rechter Seite besser vergleichen zu können, sind in Abbildung 7.17 sowohl der exakte Fehler $\|\phi - \tilde{\Phi}_\ell\|$ und die Fehlerschätzer

$$\begin{aligned} \zeta_\ell &= \|h_\ell^{1/2}(g - g_\ell)'\|_{L^2(\Gamma)}, \\ (\tilde{\varrho}_\ell^2 + \zeta_\ell^2)^{1/2} &\text{ mit } \tilde{\varrho}_\ell = \|h_\ell^{1/2}((K + \frac{1}{2})g_\ell - V\tilde{\Phi}_\ell)'\|, \\ (\tilde{\eta}_\ell^2 + \zeta_\ell^2)^{1/2} &\text{ mit } \tilde{\eta}_\ell = \|\tilde{\hat{\Phi}}_\ell - \tilde{\Phi}_\ell\| \end{aligned}$$

N_ℓ	$\text{cond}(A)$	$\text{cond}(A_{\text{eq}})$	$\text{cond}(A_{\text{diag}})$
8	2.8 ₁	2.9 ₁	2.8 ₁
10	9.0 ₁	6.0 ₁	3.8 ₁
14	3.0 ₂	1.3 ₂	5.9 ₁
18	9.6 ₂	2.6 ₂	8.3 ₁
24	2.8 ₃	5.2 ₂	1.2 ₂
30	9.6 ₃	1.1 ₃	1.6 ₂
38	2.8 ₄	2.1 ₃	2.1 ₂
48	9.3 ₄	4.3 ₃	2.8 ₂
60	3.1 ₅	8.6 ₃	3.6 ₂
75	9.8 ₅	1.7 ₄	4.7 ₂
94	3.0 ₆	3.4 ₄	6.2 ₂
118	1.0 ₇	7.0 ₄	7.9 ₂
148	3.3 ₇	1.4 ₅	1.0 ₃
185	9.9 ₇	2.7 ₅	1.3 ₃
232	3.3 ₈	5.6 ₅	1.7 ₃
290	1.0 ₉	1.1 ₆	2.1 ₃
363	3.2 ₉	2.2 ₆	2.8 ₃
454	1.1 ₁₀	4.4 ₆	3.5 ₃
568	3.5 ₁₀	8.8 ₆	4.4 ₃
710	1.0 ₁₁	1.7 ₇	5.7 ₃
888	3.5 ₁₁	3.5 ₇	7.2 ₃
1110	1.1 ₁₂	7.1 ₇	9.0 ₃
1388	3.4 ₁₂	1.4 ₈	1.2 ₄
1735	1.2 ₁₃	2.8 ₈	1.5 ₄
2169	3.7 ₁₃	5.7 ₈	1.8 ₄
2712	1.1 ₁₄	1.1 ₉	2.4 ₄
3390	3.7 ₁₄	2.3 ₉	3.0 ₄

Tabelle 7.13: Konditionszahlen der Steifigkeitsmatrix ohne Vorkonditionierung, mit zeilenäquilibrierter Vorkonditionierung und mit diagonaler Vorkonditionierung für eine $(\tilde{\varrho}_\ell^2 + \zeta_\ell^2)^{1/2}$ -adaptive Netzfolge im Laplaceproblem 7.2.1.

N_ℓ	$\kappa(\mathcal{T}_\ell)$	$\frac{h_{\max}}{h_{\min}}$
8	1	1.0 ₀
10	2	2.0 ₀
14	2	4.0 ₀
18	2	8.0 ₀
24	2	8.0 ₀
30	2	1.6 ₁
38	2	3.2 ₁
48	2	3.2 ₁
60	2	6.4 ₁
75	2	1.3 ₂
94	2	1.3 ₂
118	2	2.6 ₂
148	2	5.1 ₂
185	2	5.1 ₂
232	2	1.0 ₃
290	2	2.0 ₃
363	2	4.1 ₃
454	2	4.1 ₃
568	2	8.2 ₃
710	2	1.6 ₄
888	2	1.6 ₄
1110	2	3.3 ₄
1388	2	6.6 ₄
1735	2	6.6 ₄
2169	2	1.3 ₅
2712	2	2.6 ₅
3390	2	2.6 ₅

Tabelle 7.14: Anzahl der Elemente N_ℓ in \mathcal{T}_ℓ , $\kappa(\mathcal{T}_\ell)$ und $\frac{h_{\max}}{h_{\min}}$ für das Laplaceproblem 7.2.1 bei Rechnung wie in Tabelle 7.13.

für die approximierte rechte Seite als auch der exakte Fehler $\|\phi - \Phi_\ell\|$ und die Fehlerschätzer

$$\varrho_\ell = \|h_\ell^{1/2}((K + \frac{1}{2})g - V\Phi_\ell)'\|_{L^2(\Gamma)}, \quad \eta_\ell = \|\widehat{\Phi}_\ell - \Phi_\ell\|$$

für die exakte rechte Seite angegeben. Die Steuerung des adaptiven Algorithmus erfolgte mittels $\omega_\ell = (\tilde{\varrho}_\ell^2 + \zeta_\ell^2)^{1/2}$ und $\theta = \frac{1}{4}$. Man sieht, dass sich die Fehler und auch Fehlerschätzer kaum unterscheiden. Aus diesem Grund enthält Tabelle 7.12 die genauen Größen des Fehlers und der Fehlerschätzer.

Aufgrund von Rechenfehlern verschlechtert sich mit steigender Anzahl von Iterationen die Kondition des Gleichungssystem. Aus diesem Grund wird, wie bereits in Abschnitt 7.1 beschrieben, diagonal oder mittels Zeilenäquilibrierung vorkonditioniert.

Tabelle 7.13 und Abbildung 7.18 enthalten die Anzahl der Elemente N_ℓ und die Konditionszahlen der unveränderten Matrix A , der mittels Zeilenäquilibrierung vorkonditionierten Matrix A_{eq} und der diagonal vorkonditionierten Matrix A_{diag} .

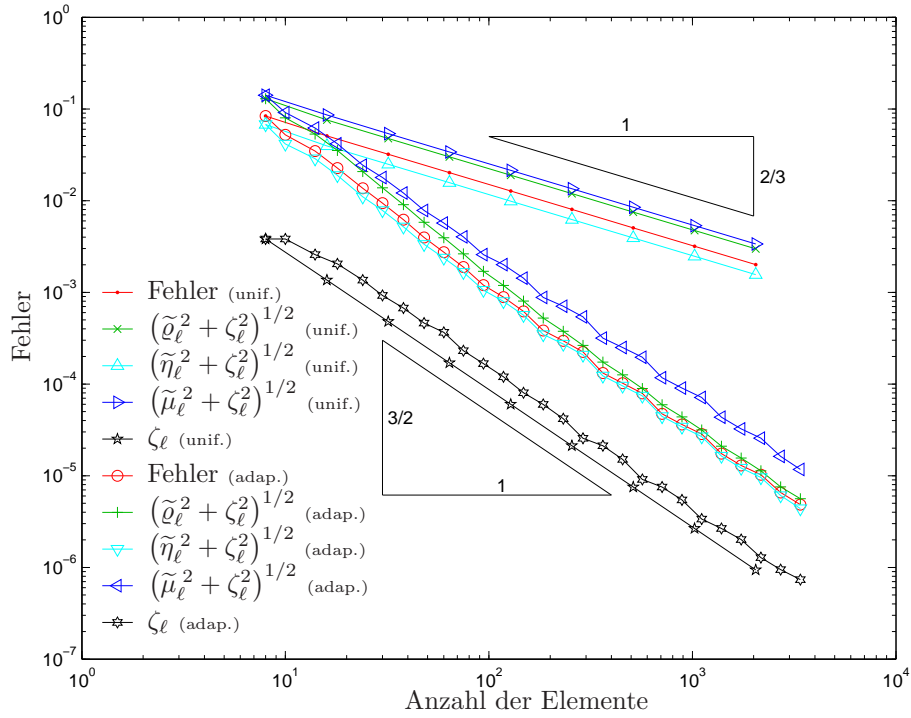


Abbildung 7.16: Fehler $\|\phi - \tilde{\Phi}_\ell\|$ und Fehlerschätzer ζ_ℓ , $(\tilde{\eta}_\ell^2 + \zeta_\ell^2)^{1/2}$, $(\tilde{\mu}_\ell^2 + \zeta_\ell^2)^{1/2}$, $(\tilde{\varrho}_\ell^2 + \zeta_\ell^2)^{1/2}$ für eine uniforme und eine $(\tilde{\varrho}_\ell^2 + \zeta_\ell^2)^{1/2}$ -adaptive Netzfolge im Laplaceproblem 7.2.1 mit gestörter rechter Seite.

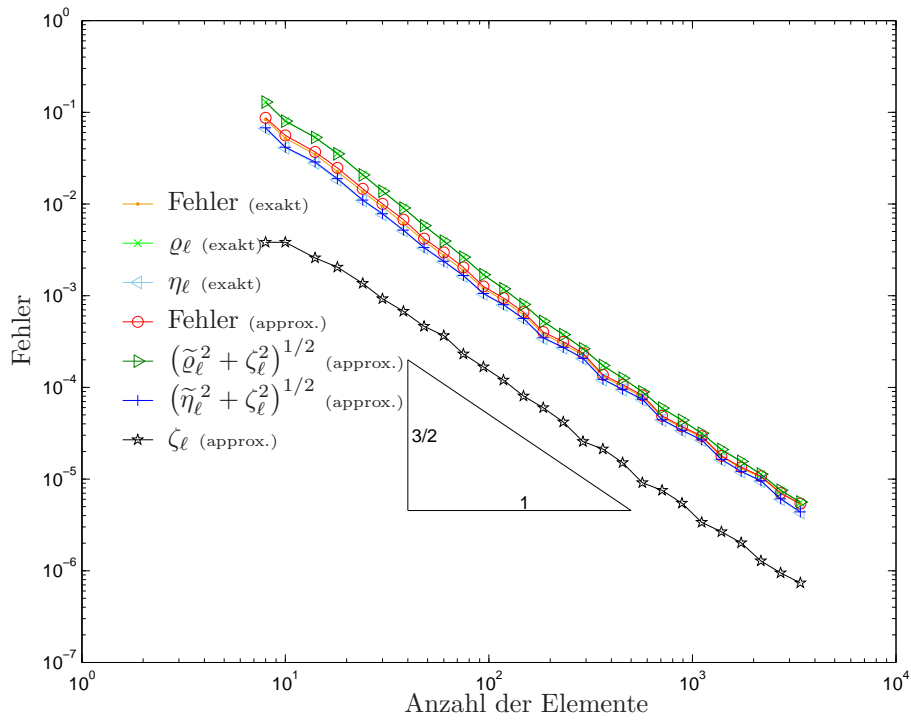


Abbildung 7.17: Fehler $\|\phi - \Phi_\ell\|$ und Fehlerschätzer η_ℓ , ϱ_ℓ für eine Berechnung mit exakter rechter Seite und Fehler $\|\phi - \tilde{\Phi}_\ell\|$ und Fehlerschätzer ζ_ℓ , $(\tilde{\varrho}_\ell^2 + \zeta_\ell^2)^{1/2}$, $(\tilde{\eta}_\ell^2 + \zeta_\ell^2)^{1/2}$ für eine Berechnung mit approximativer rechter Seite des Laplaceproblems 7.2.1 und $(\tilde{\varrho}_\ell^2 + \zeta_\ell^2)^{1/2}$ -adaptiver Verfeinerung.

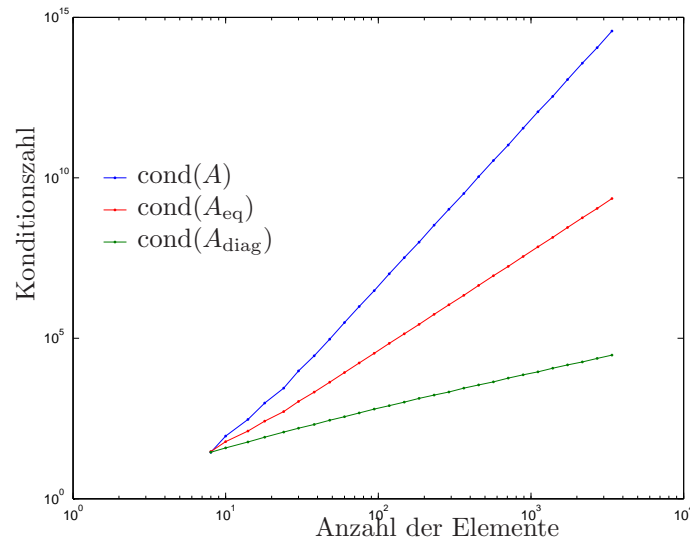


Abbildung 7.18: Konditionszahlen der Steifigkeitsmatrix ohne Vorkonditionierung, mit zeilenäquilibrierter Vorkonditionierung und mit diagonaler Vorkonditionierung für eine $(\tilde{\varrho}_\ell^2 + \zeta_\ell^2)^{1/2}$ -adaptive Netzfolge im Laplaceproblem 7.2.1 über der Anzahl der Elemente.

Auch für dieses Beispiel wollen wir wieder die Beschränktheit von $\kappa(\mathcal{T}_\ell)$ numerisch überprüfen. Tabelle 7.14 bestätigt die Aussage von Korollar 3.11. Zum Vergleich ist wiederum der maximale Quotient der lokalen Netzweiten von beliebigen, also nicht notwendigerweise benachbarten Elementen, d.h. $\frac{h_{\max}}{h_{\min}}$, angegeben.

7.2.2 Zweites Experiment

Wie man an der Abbildung 7.17 erkennen kann, ist der Datenfehler von Anfang an wesentlich kleiner als der Verfahrensfehler. Aus diesem Grund wird auf dem L-förmigen Gebiet eine weitere Rechnung durchgeführt, aber mit veränderten Dirichletdaten

$$g(x, y) = g(r \cos \psi, r \sin \psi) = r^{2/3} \cos \frac{2}{3}\psi + \begin{cases} \sin(8\sqrt{2}\pi x), & \text{für } x > 0, |y| \leq \frac{1}{4\sqrt{2}} \\ 0 & \text{sonst} \end{cases}$$

die in Abbildung 7.19 zu sehen sind. Man kann erkennen, dass die Datenoszillationen im Vergleich zu Abbildung 7.11 im Bereich um die Ecke $(0.35355, 0)$ groß sind, um einen großen Datenfehler zu erzeugen.

Das Aitkensche Δ^2 -Verfahren liefert eine exakte Energienorm von $\|\phi\|^2 = 2.692689154904$.

Wie schon zuvor wird die Symmsche Integralgleichung mit approximierter und exakter rechter Seite gelöst. Die Steuerung des Algorithmus erfolgt mittels des Gesamtfehlerschätzers $\omega_\ell = (\tilde{\varrho}_\ell^2 + \zeta_\ell^2)^{1/2}$ und $\theta = \frac{1}{4}$.

Die Anzahl der Elemente N_ℓ , die experimentelle Konvergenzrate sowie sowohl der exakte Fehler $\|\phi - \Phi_\ell\|$ und der Fehlerschätzer

$$\varrho_\ell = \|h_\ell^{1/2}((K + \frac{1}{2})g - V\Phi_\ell)'\|_{L^2(\Gamma)}$$

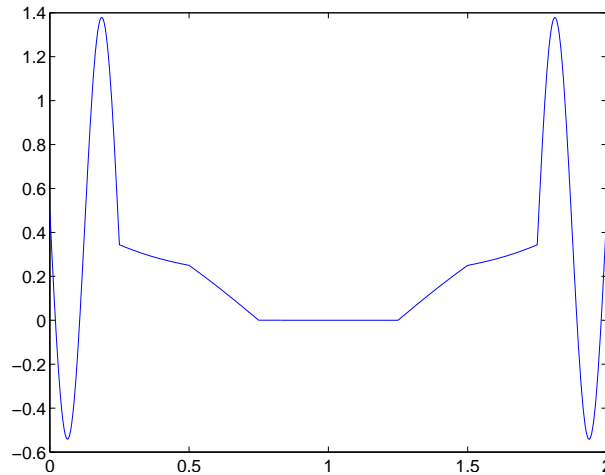


Abbildung 7.19: Exakte Dirichletdaten des Laplaceproblems 7.2.2 über der Bogenlänge $s \in [0, 2]$, wobei $s \in \{0, 2\}$ gerade dem Eckpunkt $(0.35355, 0)$ entspricht.

N_ℓ	$\ \phi - \Phi_\ell\ $	$\ \phi - \tilde{\Phi}_\ell\ $	ζ_ℓ	ϱ_ℓ	$(\tilde{\varrho}_\ell^2 + \zeta_\ell^2)^{1/2}$
8	1.552 ₀	1.556 ₀	1.232 ₀	1.706 ₋₁	1.238 ₀
16	8.739 ₋₁	9.150 ₋₁	3.880 ₋₁	1.071 ₀	9.296 ₁
32	6.686 ₋₁	6.725 ₋₁	1.432 ₋₁	1.041 ₀	1.046 ₀
64	2.476 ₋₁	2.484 ₋₁	5.119 ₋₂	4.103 ₋₁	4.149 ₋₁
128	1.025 ₋₁	1.026 ₋₁	1.815 ₋₂	1.643 ₋₁	1.657 ₋₁
256	4.669 ₋₂	4.670 ₋₂	6.420 ₋₃	7.178 ₋₂	7.215 ₋₂
512	2.260 ₋₂	2.260 ₋₂	2.270 ₋₃	3.379 ₋₂	3.388 ₋₂
1024	1.135 ₋₂	1.135 ₋₂	8.026 ₋₄	1.675 ₋₂	1.677 ₋₂
2048	5.840 ₋₃	5.840 ₋₃	2.838 ₋₄	8.616 ₋₃	8.621 ₋₃

Tabelle 7.15: Fehler $\|\phi - \Phi_\ell\|$, $\|\phi - \tilde{\Phi}_\ell\|$ sowie Fehlerschätzer ζ_ℓ , $\tilde{\varrho}_\ell$, $(\tilde{\varrho}_\ell^2 + \zeta_\ell^2)^{1/2}$ für eine uniforme Netzfolge im Laplaceproblem 7.2.2 mit gestörter rechter Seite. Es bezeichnet N_ℓ die Anzahl der Elemente in \mathcal{T}_ℓ .

für die exakte rechte Seite als auch der exakte Fehler $\|\phi - \tilde{\Phi}_\ell\|$ und die Fehlerschätzer

$$\zeta_\ell = \|h_\ell^{1/2}(g - g_\ell)'\|_{L^2(\Gamma)},$$

$$(\tilde{\varrho}_\ell^2 + \zeta_\ell^2)^{1/2} \quad \text{mit} \quad \tilde{\varrho}_\ell = \|h_\ell^{1/2}((K + \frac{1}{2})g_\ell - V\tilde{\Phi}_\ell)'\|,$$

für die approximierten rechte Seite sind in der Tabelle 7.15 für eine uniforme und in Tabelle 7.16 für eine $(\tilde{\varrho}_\ell^2 + \zeta_\ell^2)^{1/2}$ -adaptive Netzfolge angegeben.

Abbildung 7.20 zeigt den exakten Fehler und die Fehlerschätzer in einem doppelt logarithmischen Diagramm. Bei uniformer Verfeinerung wird entsprechend der Ordnung der Singularität der Lösung eine Konvergenzordnung von $\alpha = \frac{2}{3}$ erreicht. Die präasymptotische Phase dauert hier besonders lange. Man kann erkennen, dass der exakte Fehler, solange der Datenfehler noch verhältnismäßig groß ist, mit der Ordnung $\alpha = \frac{3}{2}$ des Datenfehlerschätzers fällt, und erst später flacher wird.

Mittels eines adaptiven Algorithmus — zu sehen in Abbildung 7.21 — lässt sich die Singularität und der Datenfehler besser auflösen und man erreicht die optimale Konvergenzordnung von $\alpha = \frac{3}{2}$.

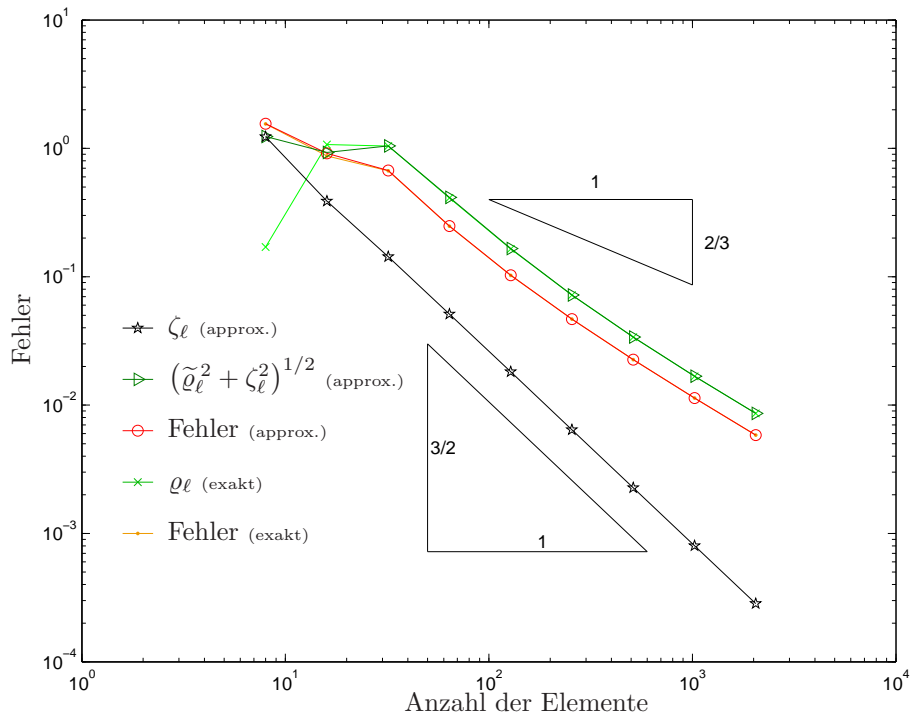


Abbildung 7.20: Fehler $\|\phi - \Phi_\ell\|$ und Fehlerschätzer q_ℓ für eine Berechnung mit exakter rechter Seite und Fehler $\|\phi - \tilde{\Phi}_\ell\|$ und Fehlerschätzer ζ_ℓ , $(\tilde{q}_\ell^2 + \zeta_\ell^2)^{1/2}$ für eine Berechnung mit approximativer rechter Seite des Laplaceproblems 7.2.2 bei uniformer Verfeinerung.

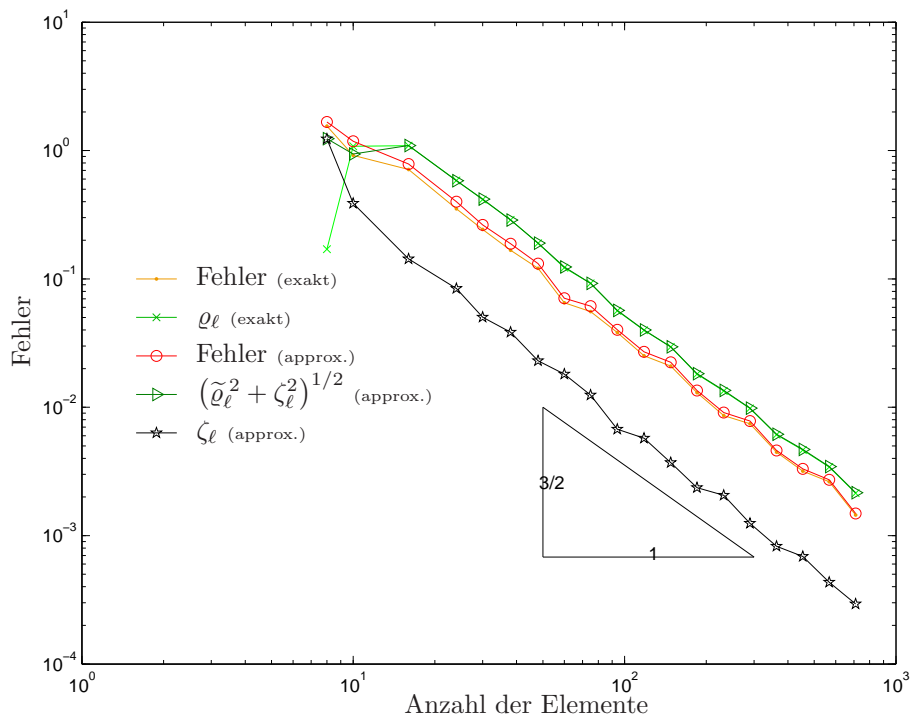


Abbildung 7.21: Fehler $\|\phi - \Phi_\ell\|$ und Fehlerschätzer q_ℓ für eine Berechnung mit exakter rechter Seite und Fehler $\|\phi - \tilde{\Phi}_\ell\|$ und Fehlerschätzer ζ_ℓ , $(\tilde{q}_\ell^2 + \zeta_\ell^2)^{1/2}$ für eine Berechnung mit approximativer rechter Seite des Laplaceproblems 7.2.2 bei $(\tilde{q}_\ell^2 + \zeta_\ell^2)^{1/2}$ -adaptiver Verfeinerung.

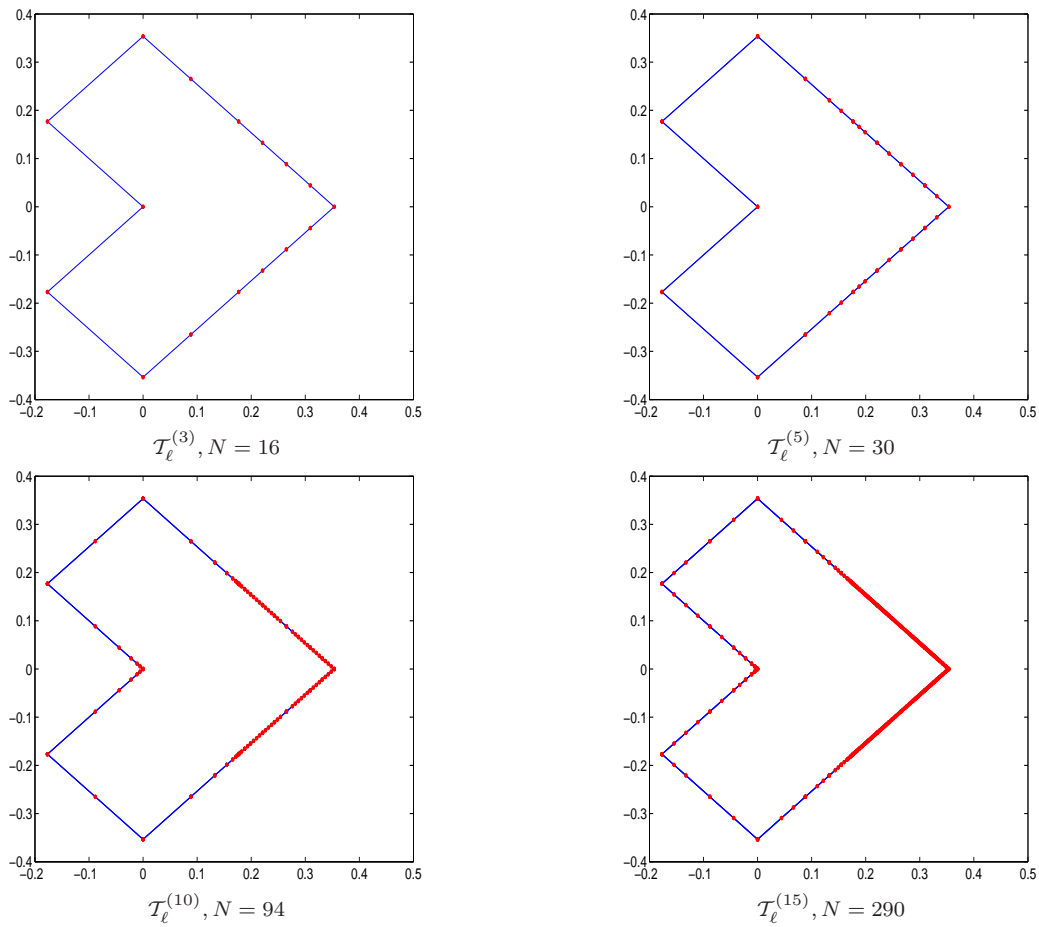


Abbildung 7.22: Ausschnitt der Folge von Partitionen, die durch $(\tilde{\varrho}_\ell^2 + \zeta_\ell^2)^{1/2}$ -adaptive Verfeinerungen im Laplaceproblem 7.2.2 hervorgeht.

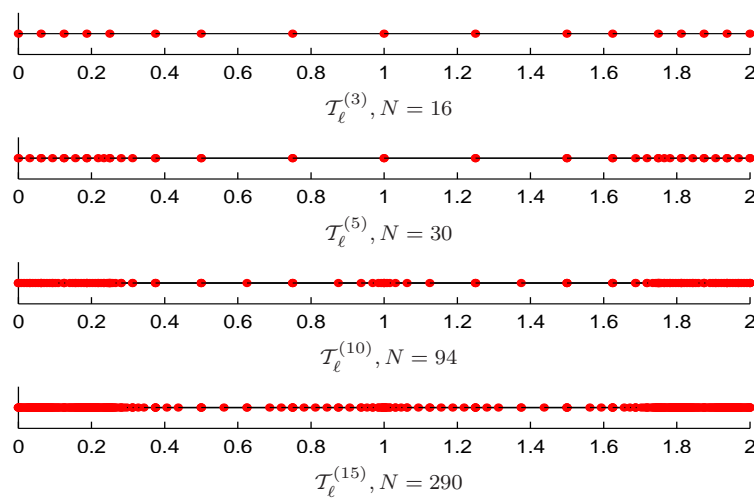


Abbildung 7.23: Ausschnitt der Folge von Partitionen, die durch $(\tilde{\varrho}_\ell^2 + \zeta_\ell^2)^{1/2}$ -adaptive Verfeinerungen im Laplaceproblem 7.2.2 hervorgeht, über der Bogenlängen $s \in [0, 2]$, wobei $s \in \{0, 2\}$ gerade dem Eckpunkt $(0.35355, 0)$ entspricht.

N_ℓ	$\ \phi - \Phi_\ell\ $	$\ \phi - \tilde{\Phi}_\ell\ $	ζ_ℓ	ϱ_ℓ	$(\tilde{\varrho}_\ell^2 + \zeta_\ell^2)^{1/2}$
8	1.552 ₀	1.667 ₀	1.232 ₀	1.706 ₁	1.238 ₀
10	9.157 ₋₁	1.182 ₀	3.880 ₋₁	1.080 ₀	9.395 ₋₁
16	7.124 ₋₁	7.840 ₋₁	1.432 ₋₁	1.093 ₀	1.095 ₀
24	3.513 ₋₁	3.995 ₋₁	8.420 ₋₂	5.846 ₋₁	5.821 ₋₁
30	2.426 ₋₁	2.632 ₋₁	5.024 ₋₂	4.146 ₋₁	4.180 ₋₁
38	1.669 ₋₁	1.879 ₋₁	3.844 ₋₂	2.879 ₋₁	2.873 ₋₁
48	1.209 ₋₁	1.317 ₋₁	2.301 ₋₂	1.895 ₋₁	1.902 ₋₁
60	6.520 ₋₂	7.076 ₋₂	1.814 ₋₂	1.223 ₋₁	1.239 ₋₁
75	5.571 ₋₂	6.130 ₋₂	1.243 ₋₂	9.224 ₋₂	9.243 ₋₂
94	3.820 ₋₂	4.015 ₋₂	6.736 ₋₃	5.639 ₋₂	5.684 ₋₂
118	2.522 ₋₂	2.707 ₋₂	5.743 ₋₃	3.976 ₋₂	4.007 ₋₂
148	2.093 ₋₂	2.242 ₋₂	3.709 ₋₃	2.952 ₋₂	2.958 ₋₂
185	1.299 ₋₂	1.394 ₋₂	2.367 ₋₃	1.810 ₋₂	1.827 ₋₂
232	8.607 ₋₃	9.092 ₋₃	2.061 ₋₃	1.340 ₋₂	1.354 ₋₂
290	7.440 ₋₃	7.810 ₋₃	1.284 ₋₃	9.798 ₋₃	9.859 ₋₃
363	4.464 ₋₃	4.606 ₋₃	8.256 ₋₄	6.111 ₋₃	6.166 ₋₃
454	3.183 ₋₃	3.311 ₋₃	6.884 ₋₄	4.641 ₋₃	4.689 ₋₃
568	2.627 ₋₃	2.725 ₋₃	4.336 ₋₄	3.426 ₋₃	3.451 ₋₃
710	1.448 ₋₃	1.488 ₋₃	2.935 ₋₄	2.144 ₋₃	2.163 ₋₃

Tabelle 7.16: Fehler $\|\phi - \Phi_\ell\|$, $\|\phi - \tilde{\Phi}_\ell\|$ sowie Fehlerschätzer ζ_ℓ , $\tilde{\varrho}_\ell$, $(\tilde{\varrho}_\ell^2 + \zeta_\ell^2)^{1/2}$ für eine $(\tilde{\varrho}_\ell^2 + \zeta_\ell^2)^{1/2}$ -adaptive Netzfolge im Laplaceproblem 7.2.2 mit gestörter rechter Seite.

N_ℓ	$h_{\ell,\min}$ um $(0, 0)$	$h_{\ell,\min}$ um $(0.35355, 0)$
8	2.5 ₋₁	2.5 ₋₁
10	2.5 ₋₁	1.2 ₋₁
16	2.5 ₋₁	6.2 ₋₂
24	2.5 ₋₁	3.1 ₋₂
30	2.5 ₋₁	1.6 ₋₂
38	1.2 ₋₁	1.6 ₋₂
48	6.2 ₋₂	7.8 ₋₃
60	3.1 ₋₂	3.9 ₋₃
75	1.6 ₋₂	3.9 ₋₃
94	7.8 ₋₃	2.0 ₋₃
118	3.9 ₋₃	9.8 ₋₄
148	2.0 ₋₃	9.8 ₋₄
185	9.8 ₋₄	4.9 ₋₄
232	4.9 ₋₄	2.4 ₋₄
290	2.4 ₋₄	2.4 ₋₄
363	1.2 ₋₄	1.2 ₋₄
454	6.1 ₋₅	6.1 ₋₅
568	3.1 ₋₅	6.1 ₋₅
710	1.5 ₋₅	3.1 ₋₅

Tabelle 7.17: Kleinstes Element im Bereich um die Ecke $(0, 0)$ im Vergleich mit dem kleinsten Element um die Ecke $(0.35355, 0)$ für eine adaptive Netzfolge im Laplaceproblem 7.2.2 mit gestörter rechter Seite. Es bezeichnet N_ℓ die Anzahl der Elemente in \mathcal{T}_ℓ .

Zur Veranschaulichung des adaptiven Algorithmus werden auch für dieses Beispiel Netzfolgen in den Abbildungen 7.22 und 7.23 dargestellt. Man erkennt deutlich, dass zunächst eine Verfeinerung im Bereich der Ecke $(0.35355, 0)$, wo der Datenfehler groß ist, stattfindet und erst später auch um die Singularität bei $(0, 0)$ adaptiv verfeinert wird. Um dies noch deutlicher zu machen, sind in Tabelle 7.17, die Größe des kleinsten Elements bei der Singularität und zum Vergleich die Größe des kleinsten Elements im Bereich der Ecke mit dem großen Datenfehler aufgelistet.

7.3 Laplaceproblem am Z-förmigen Gebiet

Im letzten numerischen Beispiel betrachten wir das Laplaceproblem (7.1) auf einem Z-förmigen Gebiet mit $\text{diam}(\Omega) = \sqrt{2}/2 \approx 0.7071 < 1$ mit der exakten Lösung $u(x, y) = u(r \cos \psi, r \sin \psi) = r^{4/7} \cos \frac{4}{7}\psi$ und lösen die äquivalente Symmsche Integralgleichung $V\phi = (K + \frac{1}{2})g$ mit $g = u|_{\Gamma}$.

Die Dirichletdaten $g \in H^{1/2}(\Gamma)$ sind in Abbildung 7.24 über der Bogenlänge $0 \leq s < 2$ dargestellt, wobei $s \in \{0, 2\}$ gerade dem Eckpunkt $(0.35355, 0) \in \mathbb{R}^2$ entspricht.

Die exakte Lösung der Symmschen Integralgleichung $\phi = \frac{\partial u}{\partial n}$ hat dann eine Singularität in der einspringenden Ecke $(0, 0)$ und lässt sich schreiben in der Form

$$\phi(x, y) = \phi(r \cos \psi, r \sin \psi) = \frac{4}{7} r^{-3/7} \begin{pmatrix} \cos \psi \cos(\frac{4}{7}\psi) + \sin \psi \sin(\frac{4}{7}\psi) \\ \sin \psi \cos(\frac{4}{7}\psi) - \cos \psi \sin(\frac{4}{7}\psi) \end{pmatrix} \cdot n(x, y),$$

mit dem äußeren Normalenvektor $n(x, y)$. Zur Veranschaulichung ist ϕ dargestellt in Abbildung 7.25.

Das verwendete Startnetz \mathcal{T}_0 mit $N_0 = 9$ Elementen ist in Abbildung 7.26 zu sehen.

Extrapolation mit der Aitkenschen Δ^2 -Methode führt zu einer geschätzten Energienorm $\|\|\phi\|\|^2 = 0.2606507012499$ der unbekanntenen Lösung ϕ .

Zuerst werden wieder die Daten bei Lösung der Symmschen Integralgleichung mit exakter rechter Seite, das heißt exakten Dirichletdaten, angegeben.

Abbildung 7.13 zeigt den exakten Fehler $\|\|\phi - \Phi_\ell\|\|$ und die Fehlerschätzer

$$\varrho_\ell = \|\|h_\ell^{1/2}((K + \frac{1}{2})g - V\Phi_\ell)'\|\|_{L^2(\Gamma)}, \quad \mu_\ell = \|\|h_\ell^{1/2}(\widehat{\Phi}_\ell - \Phi_\ell)\|\|_{L^2(\Gamma)}, \quad \eta_\ell = \|\|\widehat{\Phi}_\ell - \Phi_\ell\|\|$$

bei uniformer bzw. ϱ_ℓ -adaptiver Verfeinerung mit $\theta = \frac{1}{4}$. Die gezeichneten Größen, sowie die Anzahl der Elemente N_ℓ und die experimentell bestimmte Konvergenzrate α_ℓ sind in den Tabellen 7.18 und 7.19 genau aufgelistet.

Man erkennt, dass uniforme Verfeinerung Konvergenzordnung $\alpha = \frac{4}{7} \approx 0.57$ liefert und nur bei adaptiver Verfeinerung die optimale Konvergenzordnung von $\alpha = \frac{3}{2}$ erreicht wird. Da alle Fehlerschätzer zum exakten Fehler parallel sind, kann davon ausgegangen werden, dass die Fehlerschätzer zuverlässig und effizient sind.

Nun wollen wir die Symmsche Integralgleichung mit gestörter rechter Seite, also nodal interpolierten Dirichletdaten, betrachten.

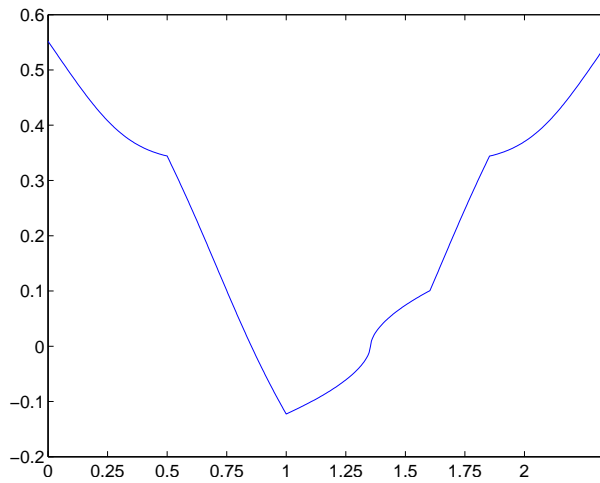


Abbildung 7.24: Exakte Dirichletdaten des Laplaceproblems 7.3 über der Bogenlänge $s \in [0, 2]$, wobei $s \in \{0, 2\}$ gerade dem Eckpunkt $(0.35355, 0)$ entspricht.

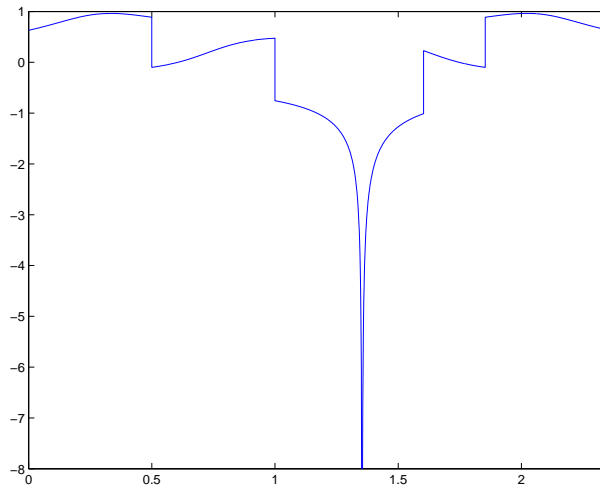


Abbildung 7.25: Exakte Lösung des Laplaceproblems 7.3 über der Bogenlänge $s \in [0, 2]$, wobei $s \in \{0, 2\}$ gerade dem Eckpunkt $(0.35355, 0)$ entspricht.

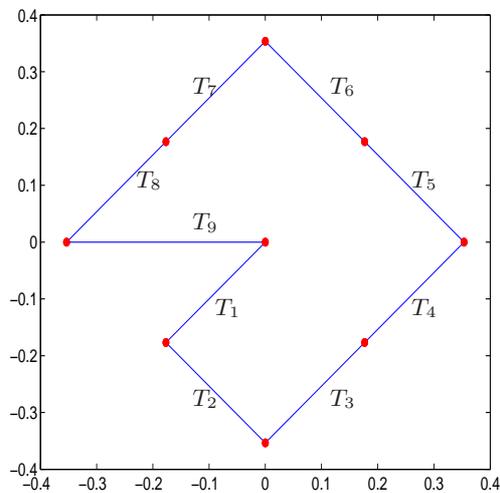


Abbildung 7.26: Startnetz \mathcal{T}_0 mit $N_0 = 9$ Elementen des Laplaceproblems 7.3.

N_ℓ	$\ \phi - \Phi_\ell\ $	α_ℓ	η_ℓ	μ_ℓ	ϱ_ℓ
9	1.449 ₋₁	—	1.075 ₋₁	2.326 ₋₁	2.285 ₋₁
18	9.723 ₋₂	0.58	7.165 ₋₂	1.521 ₋₁	1.535 ₋₁
35	6.572 ₋₂	0.56	4.855 ₋₂	1.024 ₋₁	1.040 ₋₁
72	4.430 ₋₂	0.57	3.275 ₋₂	6.901 ₋₂	7.018 ₋₂
144	2.984 ₋₂	0.57	2.206 ₋₂	4.648 ₋₂	4.730 ₋₂
288	2.009 ₋₂	0.57	1.486 ₋₂	3.129 ₋₂	3.185 ₋₂
576	1.352 ₋₂	0.57	9.999 ₋₃	2.106 ₋₂	2.144 ₋₂
1152	9.098 ₋₃	0.57	6.730 ₋₃	1.417 ₋₂	1.443 ₋₂
2304	6.123 ₋₃	0.57	4.529 ₋₃	9.539 ₋₃	9.712 ₋₃

Tabelle 7.18: Fehler $\|\phi - \Phi_\ell\|$ und Fehlerschätzer μ_ℓ , ϱ_ℓ , η_ℓ sowie experimentelle Konvergenzrate α_ℓ des Fehlers für eine uniforme Netzfolge im Laplaceproblem 7.3 mit exakter rechter Seite. Es bezeichnet N_ℓ die Anzahl der Elemente in \mathcal{T}_ℓ .

N_ℓ	$\ \phi - \Phi_\ell\ $	α_ℓ	η_ℓ	μ_ℓ	ϱ_ℓ
9	1.449 ₋₁	—	1.075 ₋₁	2.326 ₋₁	2.285 ₋₁
12	9.797 ₋₂	1.36	7.255 ₋₂	1.547 ₋₁	1.562 ₋₁
15	6.753 ₋₂	1.67	5.075 ₋₂	1.071 ₋₁	1.086 ₋₁
19	4.689 ₋₂	1.54	3.586 ₋₂	7.667 ₋₂	7.485 ₋₂
24	3.156 ₋₂	1.70	2.409 ₋₂	5.212 ₋₂	5.006 ₋₂
32	2.107 ₋₂	1.40	1.602 ₋₂	3.477 ₋₂	3.368 ₋₂
40	1.471 ₋₂	1.61	1.139 ₋₂	2.516 ₋₂	2.310 ₋₂
50	1.001 ₋₂	1.73	7.784 ₋₃	1.735 ₋₂	1.569 ₋₂
63	6.650 ₋₃	1.77	5.141 ₋₃	1.144 ₋₂	1.052 ₋₂
79	4.670 ₋₃	1.56	3.679 ₋₃	8.375 ₋₃	7.164 ₋₃
99	3.204 ₋₃	1.67	2.545 ₋₃	5.825 ₋₃	4.873 ₋₃
124	2.142 ₋₃	1.79	1.696 ₋₃	3.904 ₋₃	3.302 ₋₃
155	1.507 ₋₃	1.58	1.213 ₋₃	2.849 ₋₃	2.265 ₋₃
194	1.052 ₋₃	1.60	8.580 ₋₄	2.041 ₋₃	1.540 ₋₃
243	6.866 ₋₄	1.90	5.538 ₋₄	1.308 ₋₃	1.043 ₋₃
304	4.929 ₋₄	1.48	4.059 ₋₄	9.792 ₋₄	7.218 ₋₄
380	3.455 ₋₄	1.60	2.876 ₋₄	7.030 ₋₄	4.909 ₋₄
475	2.227 ₋₄	1.98	1.830 ₋₄	4.429 ₋₄	3.344 ₋₄
594	1.628 ₋₄	1.42	1.366 ₋₄	3.380 ₋₄	2.327 ₋₄
743	1.161 ₋₄	1.54	9.852 ₋₅	2.468 ₋₄	1.594 ₋₄
929	7.344 ₋₅	2.15	6.104 ₋₅	1.510 ₋₄	1.086 ₋₄
1162	5.504 ₋₅	1.42	4.645 ₋₅	1.173 ₋₄	7.619 ₋₅
1453	4.071 ₋₅	1.62	3.439 ₋₅	8.797 ₋₅	5.256 ₋₅
1817	2.631 ₋₅	2.10	2.098 ₋₅	5.303 ₋₅	3.851 ₋₅
2272	2.068 ₋₅	1.89	1.596 ₋₅	4.099 ₋₅	2.537 ₋₅

Tabelle 7.19: Fehler $\|\phi - \tilde{\Phi}_\ell\|$ und Fehlerschätzer μ_ℓ , ϱ_ℓ , η_ℓ sowie experimentelle Konvergenzrate α_ℓ des Fehlers für eine ϱ_ℓ -adaptive Netzfolge im Laplaceproblem 7.3 mit exakter rechter Seite. Es bezeichnet N_ℓ die Anzahl der Elemente in \mathcal{T}_ℓ .

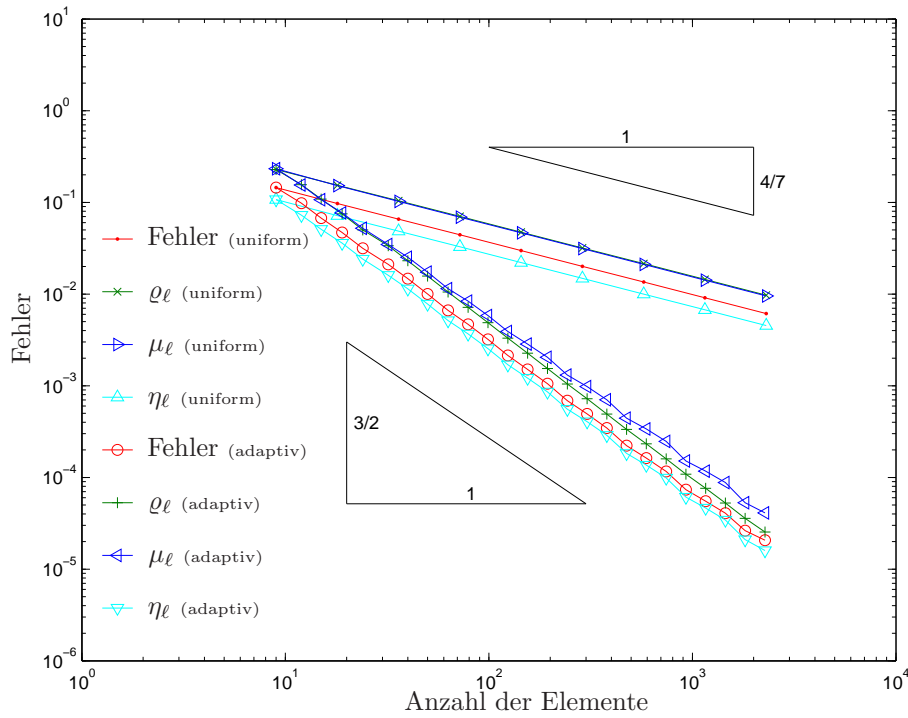


Abbildung 7.27: Fehler $\|\phi - \Phi_\ell\|$ und Fehlerschätzer μ_ℓ , Q_ℓ , η_ℓ für eine uniforme und eine Q_ℓ -adaptive Netzfolge im Laplaceproblem 7.3 mit exakter rechter Seite.

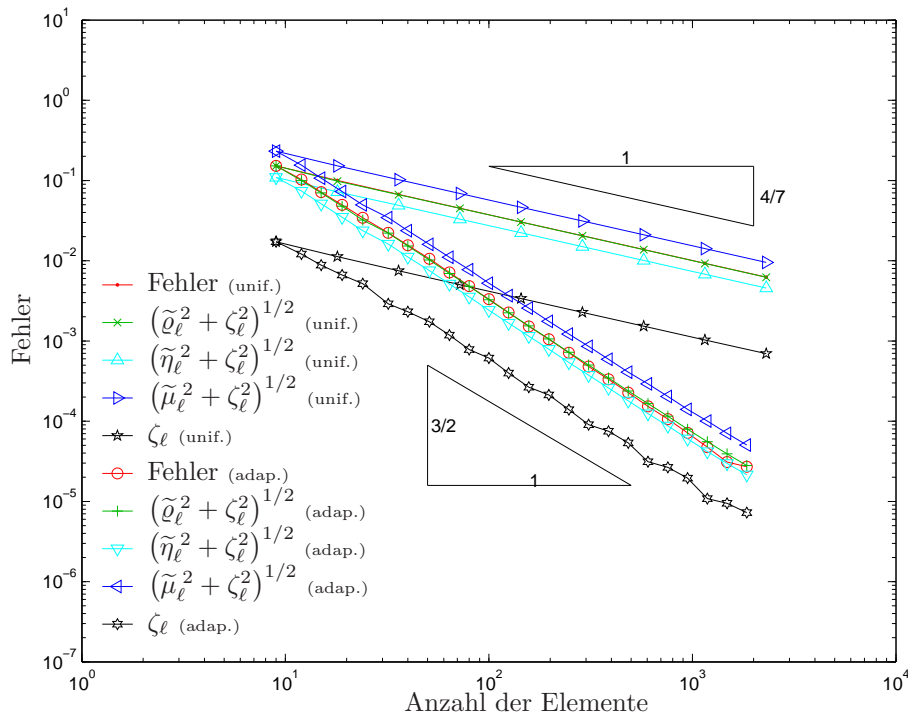


Abbildung 7.28: Fehler $\|\phi - \tilde{\Phi}_\ell\|$ und Fehlerschätzer ζ_ℓ , $(\tilde{\eta}_\ell^2 + \zeta_\ell^2)^{1/2}$, $(\tilde{\mu}_\ell^2 + \zeta_\ell^2)^{1/2}$, $(\tilde{Q}_\ell^2 + \zeta_\ell^2)^{1/2}$ für eine uniforme und eine $(\tilde{Q}_\ell^2 + \zeta_\ell^2)^{1/2}$ -adaptive Netzfolge im Laplaceproblem 7.2.1 mit gestörter rechter Seite.

N_ℓ	$\ \phi - \tilde{\Phi}_\ell\ $	α_ℓ	ζ_ℓ	$(\tilde{\varrho}_\ell^2 + \zeta_\ell^2)^{1/2}$	$(\tilde{\mu}_\ell^2 + \zeta_\ell^2)^{1/2}$	$(\tilde{\eta}_\ell^2 + \zeta_\ell^2)^{1/2}$
9	1.521 ₋₁	—	1.721 ₋₂	2.289 ₋₁	2.319 ₋₁	1.093 ₋₁
18	1.001 ₋₁	0.58	1.123 ₋₂	1.535 ₋₁	1.520 ₋₁	7.237 ₋₂
36	6.717 ₋₂	0.56	7.493 ₋₃	1.040 ₋₁	1.023 ₋₁	4.899 ₋₂
72	4.520 ₋₂	0.57	5.030 ₋₃	7.021 ₋₂	6.895 ₋₂	3.305 ₋₂
144	3.043 ₋₂	0.57	3.383 ₋₃	4.732 ₋₂	4.644 ₋₂	2.226 ₋₂
288	2.048 ₋₂	0.57	2.276 ₋₃	3.187 ₋₂	3.127 ₋₂	1.499 ₋₂
576	1.378 ₋₂	0.57	1.532 ₋₃	2.145 ₋₂	2.105 ₋₂	1.009 ₋₂
1152	9.276 ₋₃	0.57	1.031 ₋₃	1.444 ₋₂	1.416 ₋₂	6.791 ₋₃
2304	6.242 ₋₃	0.57	6.936 ₋₄	9.718 ₋₃	9.532 ₋₃	4.570 ₋₃

Tabelle 7.20: Fehler $\|\phi - \tilde{\Phi}_\ell\|$ und Fehlerschätzer ζ_ℓ , $(\tilde{\eta}_\ell^2 + \zeta_\ell^2)^{1/2}$, $(\tilde{\mu}_\ell^2 + \zeta_\ell^2)^{1/2}$, $(\tilde{\varrho}_\ell^2 + \zeta_\ell^2)^{1/2}$ sowie experimentelle Konvergenzrate α_ℓ des Fehlers für eine uniforme Netzfolge im Laplaceproblem 7.3 mit gestörter rechter Seite. Es bezeichnet N_ℓ die Anzahl der Elemente in \mathcal{T}_ℓ .

N_ℓ	$\ \phi - \tilde{\Phi}_\ell\ $	α_ℓ	ζ_ℓ	$(\tilde{\varrho}_\ell^2 + \zeta_\ell^2)^{1/2}$	$(\tilde{\mu}_\ell^2 + \zeta_\ell^2)^{1/2}$	$(\tilde{\eta}_\ell^2 + \zeta_\ell^2)^{1/2}$
9	1.521 ₋₁	—	1.721 ₋₂	2.289 ₋₁	2.319 ₋₁	1.093 ₋₁
12	1.029 ₋₁	1.36	1.212 ₋₂	1.562 ₋₁	1.557 ₋₁	7.378 ₋₂
15	7.204 ₋₂	1.67	8.926 ₋₃	1.085 ₋₁	1.083 ₋₁	5.182 ₋₂
19	5.000 ₋₂	1.61	6.408 ₋₃	7.425 ₋₂	7.611 ₋₂	3.585 ₋₂
24	3.332 ₋₂	1.63	3.987 ₋₃	5.000 ₋₂	5.283 ₋₂	2.460 ₋₂
32	2.232 ₋₂	1.40	2.865 ₋₃	3.366 ₋₂	3.491 ₋₂	1.627 ₋₂
40	1.565 ₋₂	1.61	1.953 ₋₃	2.306 ₋₂	2.541 ₋₂	1.161 ₋₂
50	1.067 ₋₂	1.73	1.336 ₋₃	1.566 ₋₂	1.749 ₋₂	7.923 ₋₃
63	6.963 ₋₃	1.77	9.420 ₋₄	1.053 ₋₂	1.144 ₋₂	5.213 ₋₃
79	4.926 ₋₃	1.56	6.182 ₋₄	7.160 ₋₃	8.419 ₋₃	3.736 ₋₃
99	3.342 ₋₃	1.64	4.120 ₋₄	4.895 ₋₃	5.896 ₋₃	2.602 ₋₃
124	2.241 ₋₃	1.82	3.012 ₋₄	3.305 ₋₃	3.907 ₋₃	1.719 ₋₃
155	1.586 ₋₃	1.58	2.064 ₋₄	2.265 ₋₃	2.859 ₋₃	1.231 ₋₃
194	1.085 ₋₃	1.60	1.351 ₋₄	1.542 ₋₃	2.047 ₋₃	8.690 ₋₄
243	7.152 ₋₄	1.89	1.001 ₋₄	1.046 ₋₃	1.313 ₋₃	5.632 ₋₄
304	5.151 ₋₄	1.48	6.812 ₋₅	7.225 ₋₄	9.847 ₋₄	4.124 ₋₄
380	3.542 ₋₄	1.61	4.500 ₋₅	4.921 ₋₄	7.041 ₋₄	2.910 ₋₄
475	2.305 ₋₄	1.96	3.435 ₋₅	3.355 ₋₄	4.464 ₋₄	1.869 ₋₄
594	1.686 ₋₄	1.42	2.328 ₋₅	2.333 ₋₄	3.405 ₋₄	1.392 ₋₄
743	1.180 ₋₄	1.56	1.537 ₋₅	1.598 ₋₄	2.473 ₋₄	9.970 ₋₅
929	7.321 ₋₅	2.13	1.208 ₋₅	1.092 ₋₄	1.522 ₋₄	6.246 ₋₅
1162	5.350 ₋₅	1.41	8.155 ₋₆	7.651 ₋₅	1.183 ₋₄	4.740 ₋₅
1453	3.682 ₋₅	1.65	5.299 ₋₆	5.275 ₋₅	8.812 ₋₅	3.479 ₋₅
1817	2.909 ₋₅	2.11	4.222 ₋₆	3.825 ₋₅	4.454 ₋₅	2.212 ₋₅

Tabelle 7.21: Fehler $\|\phi - \tilde{\Phi}_\ell\|$ und Fehlerschätzer ζ_ℓ , $(\tilde{\eta}_\ell^2 + \zeta_\ell^2)^{1/2}$, $(\tilde{\mu}_\ell^2 + \zeta_\ell^2)^{1/2}$, $(\tilde{\varrho}_\ell^2 + \zeta_\ell^2)^{1/2}$ sowie experimentelle Konvergenzrate α_ℓ des Fehlers für eine $(\tilde{\varrho}_\ell^2 + \zeta_\ell^2)^{1/2}$ -adaptive Netzfolge im Laplaceproblem 7.3 mit gestörter rechter Seite. Es bezeichnet N_ℓ die Anzahl der Elemente in \mathcal{T}_ℓ .

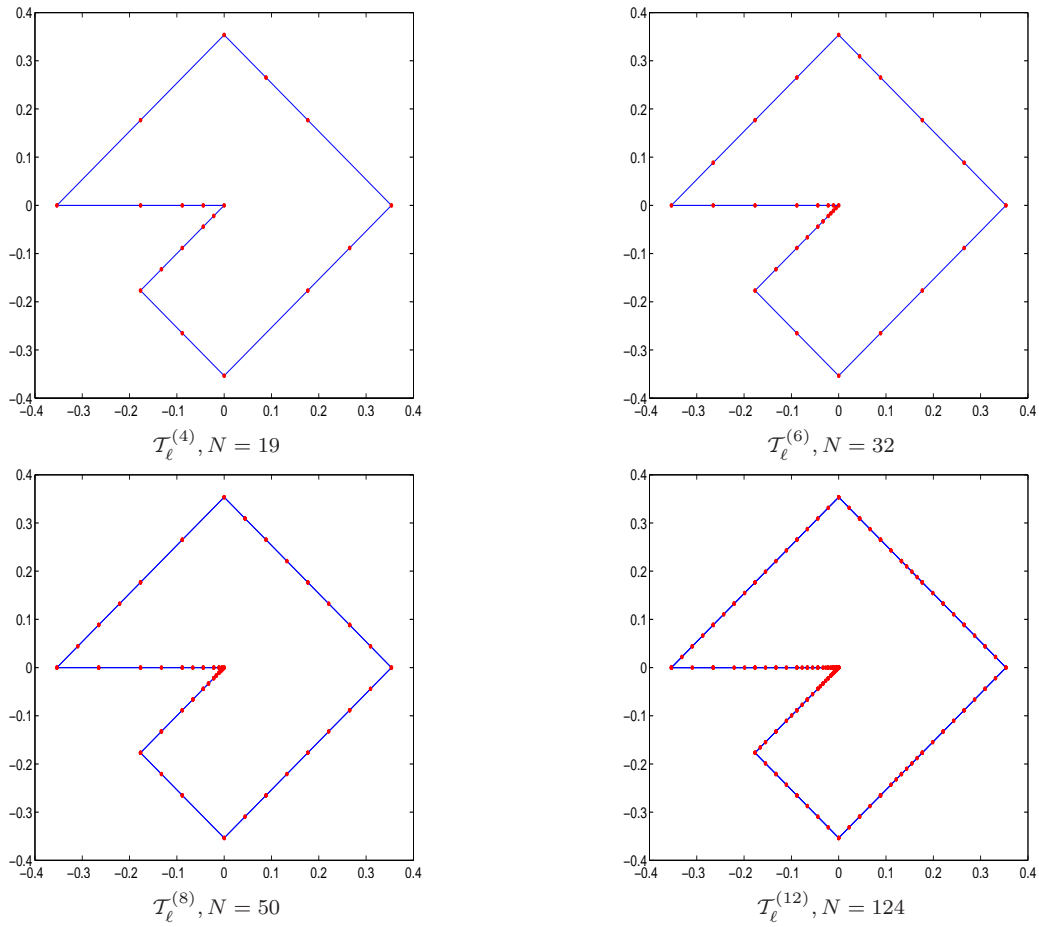


Abbildung 7.29: Ausschnitt der Folge von Partitionen, die durch $(\tilde{\varrho}_\ell^2 + \zeta_\ell^2)^{1/2}$ -adaptive Verfeinerungen im Laplaceproblem 7.3 hervorgeht.

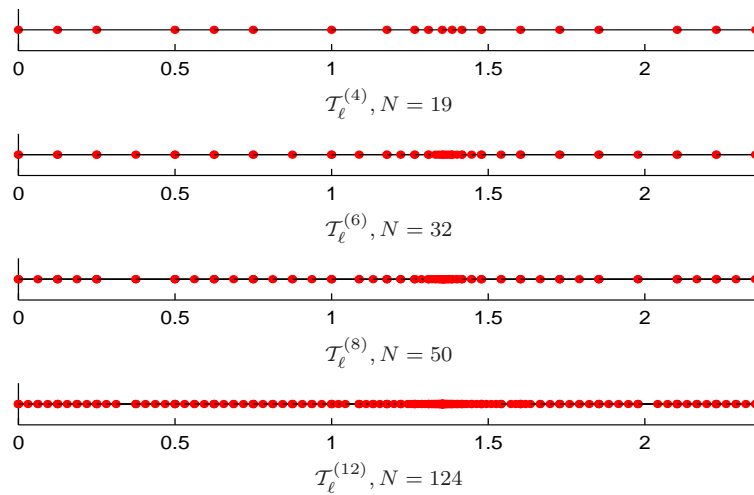


Abbildung 7.30: Ausschnitt der Folge von Partitionen über der Bogenlänge, die durch $(\tilde{\varrho}_\ell^2 + \zeta_\ell^2)^{1/2}$ -adaptive Verfeinerungen im Laplaceproblem 7.3 hervorgeht.

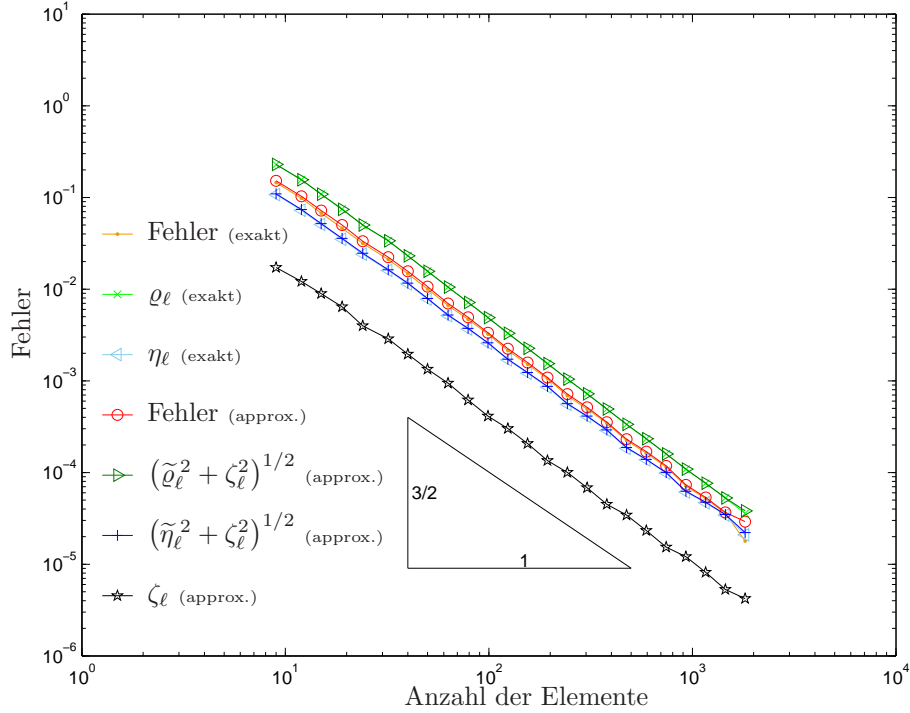


Abbildung 7.31: Fehler $\|\phi - \Phi_\ell\|$ und Fehlerschätzer η_ℓ , ϱ_ℓ für eine Berechnung mit exakter rechter Seite und Fehler $\|\phi - \tilde{\Phi}_\ell\|$ und Fehlerschätzer ζ_ℓ , $(\tilde{\varrho}_\ell^2 + \zeta_\ell^2)^{1/2}$, $(\tilde{\eta}_\ell^2 + \zeta_\ell^2)^{1/2}$ für eine Berechnung mit approximativer rechter Seite des Laplaceproblems 7.3.

Anhand von Abbildung 7.28, die den exakten Fehler $e_\ell = \|\phi - \tilde{\Phi}_\ell\|$, und die Fehlerschätzer

$$\begin{aligned} \zeta_\ell &= \|h_\ell^{1/2}(g - g_\ell)'\|_{L^2(\Gamma)}, \\ (\tilde{\varrho}_\ell^2 + \zeta_\ell^2)^{1/2} &\text{ mit } \tilde{\varrho}_\ell = \|h_\ell^{1/2}((K + \frac{1}{2})g_\ell - V\tilde{\Phi}_\ell)'\|, \\ (\tilde{\mu}_\ell^2 + \zeta_\ell^2)^{1/2} &\text{ mit } \tilde{\mu}_\ell = \|h_\ell^{1/2}(\hat{\Phi}_\ell - \tilde{\Phi}_\ell)\|_{L^2(\Gamma)}, \\ (\tilde{\eta}_\ell^2 + \zeta_\ell^2)^{1/2} &\text{ mit } \tilde{\eta}_\ell = \|\hat{\Phi}_\ell - \tilde{\Phi}_\ell\| \end{aligned}$$

zeigt, kann man erkennen, dass sich eine Konvergenzrate von $\alpha = \frac{4}{7} \approx 0.57$ ergibt, was mit dem Reziprokwert des Innenwinkels des Gebiets bei der Singularität übereinstimmt und daher zu erwarten war. Auch hier erkennt man eine Verbesserung der Konvergenzrate bei adaptiver Rechnung zu $\alpha = \frac{3}{2}$. Die Zuverlässigkeit und Effizienz des Residualschätzers und des Gesamtfehlerschätzers wird durch die parallel zum Fehler verlaufenden Kurven numerisch bestätigt.

Die Daten für die uniforme Verfeinerung finden sich in Tabelle 7.20, die für adaptive Verfeinerung mit $\omega_\ell = (\tilde{\varrho}_\ell^2 + \zeta_\ell^2)^{1/2}$ in Tabelle 7.21.

Die Abbildungen 7.29 und 7.30 zeigen eine Folge adaptiver Partitionen. Man kann deutlich die Verfeinerung zur Ecke, in der sich die Singularität befindetet, erkennen.

Zum Vergleich der Berechnungen mit exakter rechter Seite und gestörter rechter Seite sind in Abbildung 7.31 sowohl der exakte Fehler $\|\phi - \Phi_\ell\|$ und die Fehlerschätzer

$$\varrho_\ell = \|h_\ell^{1/2}((K + \frac{1}{2})g - V\Phi_\ell)'\|_{L^2(\Gamma)}, \quad \eta_\ell = \|\hat{\Phi}_\ell - \Phi_\ell\|$$

N_ℓ	$\ \phi - \Phi_\ell\ $	$\ \phi - \tilde{\Phi}_\ell\ $	ζ_ℓ	ϱ_ℓ	$(\tilde{\varrho}_\ell^2 + \zeta_\ell^2)^{1/2}$	η_ℓ	$(\tilde{\eta}_\ell^2 + \zeta_\ell^2)^{1/2}$
9	1.449 ₋₁	1.521 ₋₁	1.721 ₋₂	2.285 ₋₁	2.289 ₋₁	1.075 ₋₁	1.093 ₋₁
12	9.797 ₋₂	1.029 ₋₁	1.212 ₋₂	1.562 ₋₁	1.562 ₋₁	7.255 ₋₂	7.378 ₋₂
15	6.753 ₋₂	7.204 ₋₂	8.926 ₋₃	1.086 ₋₁	1.085 ₋₁	5.075 ₋₂	5.182 ₋₂
19	4.619 ₋₂	5.000 ₋₂	6.408 ₋₃	7.462 ₋₂	7.425 ₋₂	3.500 ₋₂	3.585 ₋₂
24	3.156 ₋₂	3.332 ₋₂	3.987 ₋₃	5.006 ₋₂	5.000 ₋₂	2.409 ₋₂	2.460 ₋₂
32	2.107 ₋₂	2.232 ₋₂	2.865 ₋₃	3.368 ₋₂	3.366 ₋₂	1.602 ₋₂	1.627 ₋₂
40	1.471 ₋₂	1.565 ₋₂	1.953 ₋₃	2.310 ₋₂	2.306 ₋₂	1.139 ₋₂	1.161 ₋₂
50	1.001 ₋₂	1.067 ₋₂	1.336 ₋₃	1.596 ₋₂	1.566 ₋₂	7.784 ₋₃	7.923 ₋₃
63	6.650 ₋₃	6.963 ₋₃	9.420 ₋₄	1.052 ₋₂	1.053 ₋₂	5.141 ₋₃	5.213 ₋₃
79	4.670 ₋₃	4.926 ₋₃	6.182 ₋₄	7.164 ₋₃	7.160 ₋₃	3.679 ₋₃	3.736 ₋₃
99	3.224 ₋₃	3.342 ₋₃	4.120 ₋₄	4.891 ₋₃	4.895 ₋₃	2.567 ₋₃	2.602 ₋₃
124	2.142 ₋₃	2.241 ₋₃	3.012 ₋₄	3.302 ₋₃	3.305 ₋₃	1.696 ₋₃	1.719 ₋₃
155	1.507 ₋₃	1.586 ₋₃	2.064 ₋₄	2.265 ₋₃	2.265 ₋₃	1.213 ₋₃	1.231 ₋₃
194	1.052 ₋₃	1.085 ₋₃	1.351 ₋₄	1.540 ₋₃	1.542 ₋₃	8.580 ₋₄	8.690 ₋₄
243	6.874 ₋₄	7.152 ₋₄	1.001 ₋₄	1.043 ₋₃	1.046 ₋₃	5.550 ₋₄	5.632 ₋₄
304	4.935 ₋₄	5.151 ₋₄	6.812 ₋₅	7.214 ₋₄	7.225 ₋₄	4.069 ₋₄	4.124 ₋₄
380	3.448 ₋₄	3.542 ₋₄	4.500 ₋₅	4.911 ₋₄	4.921 ₋₄	2.875 ₋₄	2.910 ₋₄
475	2.228 ₋₄	2.305 ₋₄	3.435 ₋₅	3.344 ₋₄	3.355 ₋₄	1.840 ₋₄	1.869 ₋₄
594	1.623 ₋₄	1.686 ₋₄	2.328 ₋₅	2.327 ₋₄	2.333 ₋₄	1.373 ₋₄	1.392 ₋₄
743	1.145 ₋₄	1.180 ₋₄	1.537 ₋₅	1.594 ₋₄	1.598 ₋₄	9.852 ₋₅	9.970 ₋₅
929	7.116 ₋₅	7.321 ₋₅	1.208 ₋₅	1.087 ₋₄	1.092 ₋₄	6.134 ₋₅	6.246 ₋₅
1162	5.185 ₋₅	5.350 ₋₅	8.155 ₋₆	7.620 ₋₅	7.651 ₋₅	4.672 ₋₅	4.740 ₋₅
1453	3.587 ₋₅	3.682 ₋₅	5.299 ₋₆	5.257 ₋₅	5.275 ₋₅	3.439 ₋₅	3.479 ₋₅
1817	1.788 ₋₅	2.909 ₋₅	4.222 ₋₆	3.597 ₋₅	3.825 ₋₅	2.095 ₋₅	2.212 ₋₅

Tabelle 7.22: Fehler $\|\phi - \Phi_\ell\|$, $\|\phi - \tilde{\Phi}_\ell\|$ sowie Fehlerschätzer ζ_ℓ , $\tilde{\varrho}_\ell$, $(\tilde{\varrho}_\ell^2 + \zeta_\ell^2)^{1/2}$, η_ℓ , $(\tilde{\eta}_\ell^2 + \zeta_\ell^2)^{1/2}$ für eine $(\tilde{\varrho}_\ell^2 + \zeta_\ell^2)^{1/2}$ -adaptive Netzfolge im Laplaceproblem 7.3 mit gestörter rechter Seite.

für die exakte rechte Seite als auch der exakte Fehler $\|\phi - \tilde{\Phi}_\ell\|$ und die Fehlerschätzer

$$\begin{aligned} \zeta_\ell &= \|h_\ell^{1/2}(g - g_\ell)'\|_{L^2(\Gamma)}, \\ (\tilde{\varrho}_\ell^2 + \zeta_\ell^2)^{1/2} &\text{ mit } \tilde{\varrho}_\ell = \|h_\ell^{1/2}((K + \frac{1}{2})g_\ell - V\tilde{\Phi}_\ell)'\|, \\ (\tilde{\eta}_\ell^2 + \zeta_\ell^2)^{1/2} &\text{ mit } \tilde{\eta}_\ell = \|\hat{\tilde{\Phi}}_\ell - \tilde{\Phi}_\ell\| \end{aligned}$$

für die approximierte rechte Seite angegeben. Der adaptive Algorithmus wird mittels $\omega_\ell = (\tilde{\varrho}_\ell^2 + \zeta_\ell^2)^{1/2}$ und $\theta = \frac{1}{4}$ gesteuert. Man sieht, dass sich die Fehler und auch Fehlerschätzer kaum unterscheiden. Deshalb sind die genauen Größen in Tabelle 7.22 angegeben.

Auch für dieses Beispiel werden die Konditionszahlen der unveränderten Matrix A , der diagonal vorkonditionierten Matrix A_{eq} und der mittels Zeilenäquilibration vorkonditionierten Matrix A_{diag} in Tabelle 7.23 und Abbildung 7.32 dargestellt.

Die Beschränktheit von $\kappa(\mathcal{T}_\ell)$ wird numerisch überprüft und in Tabelle 7.24 ausgegeben. Zum Vergleich ist wiederum der maximale Quotient der lokalen Netzweiten von beliebigen, also nicht benachbarten Elementen, d.h. $\frac{h_{\max}}{h_{\min}}$, angegeben.

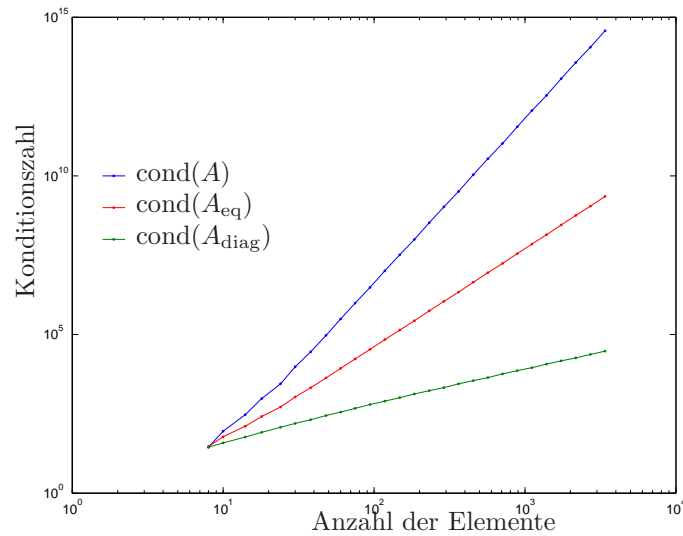


Abbildung 7.32: Konditionszahlen der Steifigkeitsmatrix ohne, mit zeilenäquilibrierter und mit diagonaler Vorkonditionierung für eine $(\tilde{\varrho}_\ell^2 + \zeta_\ell^2)^{1/2}$ -adaptive Netzfolge im Laplaceproblem 7.3 über der Anzahl der Elemente.

N_ℓ	$\text{cond}(A)$	$\text{cond}(A_{\text{eq}})$	$\text{cond}(A_{\text{diag}})$
9	3.4 ₁	3.8 ₁	3.7 ₁
12	1.0 ₂	7.4 ₁	5.2 ₁
15	3.5 ₂	1.6 ₂	7.6 ₁
19	1.2 ₃	3.2 ₂	1.1 ₂
24	3.7 ₃	6.3 ₂	1.4 ₂
32	1.2 ₄	1.3 ₃	2.1 ₂
40	4.1 ₄	2.7 ₃	2.8 ₂
50	1.3 ₅	5.3 ₃	3.7 ₂
63	3.9 ₅	1.1 ₄	4.8 ₂
79	1.3 ₆	2.1 ₄	6.2 ₂
99	3.9 ₆	4.2 ₄	7.9 ₂
124	1.3 ₇	8.5 ₄	1.1 ₃
155	3.9 ₇	1.7 ₅	1.4 ₃
194	1.3 ₈	3.4 ₅	1.7 ₃
243	4.3 ₈	6.7 ₅	2.2 ₃
304	1.3 ₉	1.4 ₆	2.8 ₃
380	4.2 ₉	2.7 ₆	3.5 ₃
475	1.4 ₁₀	5.4 ₆	4.7 ₃
594	4.5 ₁₀	1.1 ₇	5.8 ₃
743	1.4 ₁₁	2.2 ₇	7.3 ₃
929	4.4 ₁₁	4.3 ₇	9.7 ₃
1162	1.5 ₁₂	8.7 ₇	1.2 ₄
1453	4.6 ₁₂	1.7 ₈	1.5 ₄
1817	1.4 ₁₃	3.4 ₈	2.0 ₄

Tabelle 7.23: Konditionszahlen der Steifigkeitsmatrix ohne, mit zeilenäquilibrierter und mit diagonaler Vorkonditionierung für eine $(\tilde{\varrho}_\ell^2 + \zeta_\ell^2)^{1/2}$ -adaptive Netzfolge im Laplaceproblem 7.3.

N_ℓ	$\kappa(\mathcal{T}_\ell)$	$\frac{h_{\max}}{h_{\min}}$
9	1	1.4 ₀
12	2	2.0 ₀
15	2	4.0 ₀
19	2	8.0 ₀
24	2	1.6 ₁
32	2	1.6 ₁
40	2	3.2 ₁
50	2	6.4 ₁
63	2	9.1 ₁
79	2	1.3 ₂
99	2	2.6 ₂
124	2	3.6 ₂
155	2	5.1 ₂
194	2	1.0 ₃
243	2	1.4 ₃
304	2	2.9 ₃
380	2	4.1 ₃
475	2	5.8 ₃
594	2	1.2 ₄
743	2	1.6 ₄
929	2	2.3 ₄
1162	2	4.6 ₄
1453	2	6.6 ₄
1817	2	9.3 ₄

Tabelle 7.24: Anzahl der Elemente N_ℓ in \mathcal{T}_ℓ , $\kappa(\mathcal{T}_\ell)$ und $\frac{h_{\max}}{h_{\min}}$ bei Rechnung wie in Tabelle 7.23.

Anhang A

Quelltexte

A.1 elementare Integrale

A.1.1 integrals.h

```

1  #include "math.h"
2  #include "mex.h"
3  #define PI 3.141592653589793116
4  #define EPS 1e-15
5
6  /* computes \int_{-1}^1 t^k / ( |p|^2*t^2 + 2*<p,q>*t + |q|^2 ) dt      */
7  /* input: integer k                                                */
8  /*      vectors p,q                                                */
9  /*      outputvector val containing values of all integrals until k */
10 void G (double* val, int k, double* p, double* q);
11
12
13 /* computes \int_{-1}^1 t^k * log ( |p|^2*t^2 + 2*<p,q>*t + |q|^2 ) dt */
14 /* input: integer k                                                */
15 /*      vectors p,q                                                */
16 /*      outputvector val containing values of all integrals until k */
17 void L (double* val, int k, double* p, double* q);
18
19
20 /* computes double integrals                                         */
21 /* \int_{-1}^1 \int_{-1}^1 s^k * t^ell * <su+tv+w,n> / |su+tv+w|^2 dt ds */
22 /* input: integers k,ell                                           */
23 /*      vectors u,v,w                                               */
24 /*      integer type: double integral: \int_{aa bb} \int [a,b] ...   */
25 /*      type 0: intervals don't touch                               */
26 /*      type 1: bb == a                                             */
27 /*      type 2: aa == b                                             */
28 /*      outputmatrix val containing values of all integrals until (k,ell) */
29 void I (double** val, int k, int ell, double* u, double* v, double* w,
30         double* n, int type);

```

A.1.2 integrals.c

```

1  #include "integrals.h"
2

```

```

3 void G (double* val, int k, double* p, double* q)
4 {
5     double norm_p, norm_q, norm_p2, norm_q2;
6     double sc_p_q, delta;
7     double tmp;
8     double* ppq, *pmq;
9     int j;
10
11     norm_p2 = p[0]*p[0]+p[1]*p[1];
12     norm_p = sqrt(norm_p2);
13     norm_q2 = q[0]*q[0]+q[1]*q[1];
14     norm_q = sqrt(norm_q2);
15     sc_p_q = p[0]*q[0]+p[1]*q[1];
16     delta = 4*(norm_p2*norm_q2-sc_p_q*sc_p_q);
17
18     /* case k==0 */
19     if (fabs(delta)>EPS)
20     {
21         if (norm_p<norm_q)
22             val[0] = atan( sqrt(delta) / (norm_q2-norm_p2) );
23         else if (norm_p > norm_q)
24             val[0] = atan ( sqrt(delta) / (norm_q2-norm_p2) )+ PI;
25         else
26             val[0] = PI/2;
27         val[0] = val[0]*2 / sqrt(delta);
28     }
29     else
30         val[0] = 2 / (norm_q2-norm_p2);
31
32     /* case k==1 */
33     if (k>=1)
34     {
35         ppq = mxCalloc(2, sizeof(double));
36         pmq = mxCalloc(2, sizeof(double));
37         ppq[0] = p[0]+q[0];
38         ppq[1] = p[1]+q[1];
39         pmq[0] = p[0]-q[0];
40         pmq[1] = p[1]-q[1];
41         val[1] = ( log( sqrt(ppq[0]*ppq[0]+ppq[1]*ppq[1]) )
42                 - log( sqrt(pmq[0]*pmq[0]+pmq[1]*pmq[1]) )
43                 - sc_p_q*val[0] )/norm_p2;
44         mxFree(ppq);
45         mxFree(pmq);
46     }
47     /* case k>1 */
48     for(j=2; j<=k; j++)
49     {
50         tmp = 2 * ( (j+1)%2 ) / (j-1);
51         val[j] = ( tmp - 2*sc_p_q*val[j-1] - norm_q2*val[j-2] )/norm_p2;
52     }
53 }
54
55
56 /******
57 void L (double* val, int k, double* p, double* q)
58 {
59     double norm_p, norm_q, norm_p2, norm_q2;
60     double norm_ppq2, norm_pmq2;
61     double sc_p_q, delta;
62     double tmp, tmp1, tmp2;
63     double* ppq, *pmq;

```

```

64  double G_p_q_0;
65  int j;
66
67  norm_p2 = p[0]*p[0]+p[1]*p[1];
68  norm_p = sqrt(norm_p2);
69  norm_q2 = q[0]*q[0]+q[1]*q[1];
70  norm_q = sqrt(norm_q2);
71  sc_p_q = p[0]*q[0]+p[1]*q[1];
72  delta = 4*(norm_p2*norm_q2-sc_p_q*sc_p_q);
73  tmp = sc_p_q/norm_p2;
74
75  ppq = mxCalloc(2, sizeof(double));
76  pmq = mxCalloc(2, sizeof(double));
77  ppq[0] = p[0]+q[0];
78  ppq[1] = p[1]+q[1];
79  pmq[0] = p[0]-q[0];
80  pmq[1] = p[1]-q[1];
81
82  norm_ppq2 = ppq[0]*ppq[0]+ppq[1]*ppq[1];
83  norm_pmq2 = pmq[0]*pmq[0]+pmq[1]*pmq[1];
84
85  /* case k==0 */
86  if (delta>0)
87  {
88  G(&G_p_q_0,0,p,q);
89  val[0] = (1+tmp) * log( norm_ppq2 ) + (1-tmp) * log( norm_pmq2 ) -4
90  + 2*(norm_q2-tmp*sc_p_q)*G_p_q_0;
91  }
92  else
93  val[0] = (1+tmp) * log( (sc_p_q+norm_p2)*(sc_p_q+norm_p2) / norm_p2 )
94  + (1-tmp) * log( (sc_p_q-norm_p2)*(sc_p_q-norm_p2) / norm_p2 )
95  -4;
96
97  /* case k==1 */
98  if (k>=1)
99  val[1] = ( norm_ppq2*log(norm_ppq2) - norm_pmq2*log(norm_pmq2)
100  - 4*sc_p_q - 2*sc_p_q*val[0] ) / ( 2*norm_p2 );
101
102  /*case k>1 */
103  for (j=2; j<=k; ++j)
104  {
105  tmp = 2 * ( (j+1)%2 ) / (j+1);
106  tmp1 = 1-2*(j%2);
107  tmp2 = 2 * (j%2) / j;
108  val[j] = ( norm_ppq2*log(norm_ppq2) + tmp1*norm_pmq2*log(norm_pmq2)
109  - 2*norm_p2*tmp - 2*sc_p_q*tmp2 - 2*sc_p_q*j*val[j-1]
110  - norm_q2*(j-1)*val[j-2] ) / ( (j+1)*norm_p2 );
111  }
112  mxFree(ppq);
113  mxFree(pmq);
114 }
115
116
117 /*****
118 void I (double** val, int k, int ell, double* u, double* v, double* w,
119 double* n, int type)
120 {
121 int i,j;
122 double *wpu, *wmu, *wpu, *wmu;
123 double sc_u_n, sc_w_n, sc_wpu_n, sc_wmu_n;
124 double *G_u_wpu, *G_u_wmu, *G_v_wpu, *G_v_wmu;

```

```

125  double mu, mu1, mu2;
126  int kpell = k+ell;
127
128  wpv = mxCalloc(2, sizeof(double));
129  wmv = mxCalloc(2, sizeof(double));
130  wpu = mxCalloc(2, sizeof(double));
131  wmu = mxCalloc(2, sizeof(double));
132  wpv[0] = w[0]+v[0];
133  wpv[1] = w[1]+v[1];
134  wmv[0] = w[0]-v[0];
135  wmv[1] = w[1]-v[1];
136  wpu[0] = w[0]+u[0];
137  wpu[1] = w[1]+u[1];
138  wmu[0] = w[0]-u[0];
139  wmu[1] = w[1]-u[1];
140
141  sc_u_n = u[0]*n[0]+u[1]*n[1];
142  sc_w_n = w[0]*n[0]+w[1]*n[1];
143  sc_wpu_n = wpu[0]*n[0]+wpu[1]*n[1];
144  sc_wmu_n = wmu[0]*n[0]+wmu[1]*n[1];
145
146  /* case: integrals don't touch */
147  if (type == 0)
148  {
149  /* case u // v  <=>  u = mu*v */
150  if (fabs(u[0]*v[1]-u[1]*v[0]) < EPS)
151  {
152  G_u_wmv = mxCalloc(k+2, sizeof(double));
153  G_u_wpv = mxCalloc(k+2, sizeof(double));
154  G_v_wmu = mxCalloc(kpell+2, sizeof(double));
155  G_v_wpu = mxCalloc(kpell+2, sizeof(double));
156  G(G_u_wpv, k+1, u, wpv);
157  G(G_u_wmv, k+1, u, wmv);
158  G(G_v_wpu, kpell+1, v, wpu);
159  G(G_v_wmu, kpell+1, v, wmu);
160
161  if (fabs(v[0]) < EPS)
162  mu = u[1]/v[1];
163  else
164  mu = u[0]/v[0];
165
166  /* I(0, j) */
167  for (j=0; j<=kpell; j++)
168  {
169  val[0][j] = ( sc_w_n*G_u_wpv[0]
170  + ( 1-2*(j%2) )*sc_w_n*G_u_wmv[0]
171  - mu*sc_w_n*G_v_wpu[j+1]
172  + mu*sc_w_n*G_v_wmu[j+1] ) / (j+1);
173  /* I(j, ell+k-j) */
174  for (i=1; i<=k; i++)
175  {
176  val[i][j] = ( sc_w_n*G_u_wpv[j]
177  + ( 1-2*((kpell-j)%2) )*sc_w_n*G_u_wmv[j]
178  - mu*sc_w_n*G_v_wpu[kpell-j+1]
179  + ( 1-2*(j%2) )*mu*sc_w_n*G_v_wmu[kpell-j+1]
180  + j*mu*val[i-1][j+1] ) / (kpell-j+1);
181  }
182  }
183  }
184  /* case u not // v  <=>  w = mu1*u + mu2*v */
185  else

```

```

186     {
187         G_u_wmv = mxCalloc(k+2, sizeof(double));
188         G_u_wpv = mxCalloc(k+2, sizeof(double));
189         G_v_wmu = mxCalloc(ell+2, sizeof(double));
190         G_v_wpu = mxCalloc(ell+2, sizeof(double));
191         G(G_u_wpv, k+1, u, wpv);
192         G(G_u_wmv, k+1, u, wmv);
193         G(G_v_wmu, ell+1, v, wmu);
194         G(G_v_wpu, ell+1, v, wpu);
195
196         mu1 = ( w[0]*v[1]-w[1]*v[0] ) / ( u[0]*v[1]-u[1]*v[0] );
197         mu2 = ( w[0]*u[1]-w[1]*u[0] ) / ( v[0]*u[1]-v[1]*u[0] );
198
199         /* I(0,0) */
200         val[0][0] = (mu1+1)*sc_wpu_n*G_v_wpu[0]
201                   - (mu1-1)*sc_wmu_n*G_v_wmu[0]
202                   + (mu2+1)*sc_u_n*G_u_wpv[1] + (mu2+1)*sc_w_n*G_u_wpv[0]
203                   - (mu2-1)*sc_u_n*G_u_wmv[1] - (mu2-1)*sc_w_n*G_u_wmv[0];
204
205         /* I(0,j) */
206         for (j=1; j<=ell; j++)
207         {
208             val[0][j] = ( (mu1+1)*sc_wpu_n*G_v_wpu[j]
209                       - (mu1-1)*sc_wmu_n*G_v_wmu[j]
210                       + (mu2+1)*sc_u_n*G_u_wpv[1] + (mu2+1)*sc_w_n*G_u_wpv[0]
211                       - ( 1-2*(j%2) )*(mu2-1)*sc_u_n*G_u_wmv[1]
212                       - ( 1-2*(j%2) )*(mu2-1)*sc_w_n*G_u_wmv[0]
213                       - j*mu2*val[0][j-1] ) / (j+1);
214         }
215
216         /* I(i,j) */
217         for (i=1; i<=k; i++)
218         {
219             val[i][0] = ( (mu1+1)*sc_wpu_n*G_v_wpu[0]
220                       - ( 1-2*(i%2) )*(mu1-1)*sc_wmu_n*G_v_wmu[0]
221                       + (mu2+1)*sc_u_n*G_u_wpv[i+1]
222                       + (mu2+1)*sc_w_n*G_u_wpv[i]
223                       - (mu2-1)*sc_u_n*G_u_wmv[i+1]
224                       - (mu2-1)*sc_w_n*G_u_wmv[i]
225                       - i*mu1*val[i-1][0] ) / (i+1);
226             for (j=1; j<=ell; j++)
227             {
228                 val[i][j] = ( (mu1+1)*sc_wpu_n*G_v_wpu[j]
229                           - ( 1-2*(i%2) )*(mu1-1)*sc_wmu_n*G_v_wmu[j]
230                           + (mu2+1)*sc_u_n*G_u_wpv[i+1]
231                           + (mu2+1)*sc_w_n*G_u_wpv[i]
232                           - ( 1-2*(j%2) )*(mu2-1)*sc_u_n*G_u_wmv[i+1]
233                           - ( 1-2*(j%2) )*(mu2-1)*sc_w_n*G_u_wmv[i]
234                           - i*mu1*val[i-1][j] - j*mu2*val[i][j-1] ) / (i+j+1);
235             }
236         }
237     }
238     mxFree(G_v_wmu);
239     mxFree(G_u_wpv);
240     mxFree(G_v_wpu);
241     mxFree(G_u_wmv);
242 }
243
244 /* case: bb == a */
245 else if (type == 1)
246 {

```



```

308         - i*val[i-1][j] - j*val[i][j-1] ) / (i+j+1);
309     }
310 }
311 mxFree(G_u_wmv);
312 mxFree(G_v_wpu);
313 }
314
315 else
316     mexPrintf("Something is wrong! this type does not exist!");
317 }

```

A.2 rechte Seite der Symm'schen Integralgleichung

A.2.1 exakte rechte Seite

```

1  #include <math.h>
2  #include "mex.h"
3
4  #define EPS 1e-13
5  #define PI 3.141592653589793116
6
7  void mexFunction(int nlhs, mxArray* plhs[], int nrhs, const mxArray* prhs[]);
8
9  void rhs(double* b, double* coordinates, double* elements, int nC, int nE, char* g);
10
11 void adlp(double* returnvec, double* sx, double a0, double a1, double b0, double b1,
12          double n0, double n1, int order);
13
14 double arctan(double x0, double x1, double a0, double a1, double b0, double b1);
15
16
17 /* transfers data from matlab to C vice versa */
18 /* replaces main - function */
19 void mexFunction(int nlhs, mxArray* plhs[], int nrhs, const mxArray* prhs[])
20 {
21     const char* functionName = mexFunctionName();
22     char errorMessage[255];
23     int j;
24     int nE, nC;
25     double* elements;
26     double* coordinates;
27     char* g;
28     double* b;
29
30
31     /* check data */
32     if (nlhs != 1) {
33         sprintf(errorMessage, "Use b = %s(coordinates,elements,'g').",
34                 functionName);
35         mexErrMsgTxt(errorMessage);
36     }
37
38     if (nrhs != 3) {
39         sprintf(errorMessage, "Use b = %s(coordinates,elements,'g').",
40                 functionName);
41         mexErrMsgTxt(errorMessage);
42     }
43

```

```

44  /* Read input data */
45  coordinates = mxGetPr(prhs[0]);
46  nC = mxGetM(prhs[0]);          /* number of nodes */
47
48  elements = mxGetPr(prhs[1]);
49  nE = mxGetM(prhs[1]);          /* number of elements */
50
51  /* (K+1/2)g has to be computed -> g is the name (string!) of a matlab */
52  /* function realizing the evaluation */
53  g = mxArrayToString(prhs[2]);
54
55  /* create output vector vecb */
56  plhs[0] = mxCreateDoubleMatrix(nE,1,mxREAL);
57  b = mxGetPr(plhs[0]);
58
59  rhs(b,coordinates,elements,nC,nE,g);
60 }
61
62 /* returns approximation of right-hand-side for Galerkin scheme */
63 /* val(j) = < (K+1/2)*g ; \chi_{T_j} > */
64 /*           = (1/2) * < g ; \chi_{T_j} > + < g ; K' \chi_{T_j} > */
65 /* where K is built with respect to the fundamental solution */
66 /* of the Laplacian G(z) = -1/(2*PI) * log |z| */
67 void rhs(double* brhs, double* coordinates, double* elements,
68          int nC, int nE, char* g) {
69
70  const order = 16;
71  const log_order = 16;
72  int i,j,k,ell;
73  int aidx, bidx, cidx, didx;
74  double a0,a1, b0,b1, c0,c1, d0,d1, n0,n1;
75  double hj, hk;
76  double D, u[2*order], v[2], vn;
77  double singular, regular, regular1[order], regular2[order];
78  double tmp;
79  double *sx, *gsx, *tmpgsx, *tmpgsxlog;
80  double tmpsx[2*order], tmpsxlog[2*log_order];
81  double norm_sxam, norm_sxbm;
82  double *sxlog1, *sxlog2;
83  double* wl1, *wl2;
84  double* tmpvec;
85  mxArray *g_input, *g_output;
86  double *pr;
87
88  /* 16-point Gaussian quadrature on [-1,1] */
89  const double wht[] = { 0.027152459411754, 0.062253523938648, 0.095158511682493,
90                       0.124628971255534, 0.149595988816577, 0.169156519395003,
91                       0.182603415044924, 0.189450610455069, 0.189450610455069,
92                       0.182603415044924, 0.169156519395003, 0.149595988816577,
93                       0.124628971255534, 0.095158511682492, 0.062253523938648,
94                       0.027152459411753 };
95  const double pt[] = { -0.989400934991650, -0.944575023073233, -0.865631202387832,
96                      -0.755404408355003, -0.617876244402644, -0.458016777657227,
97                      -0.281603550779259, -0.095012509837637, 0.095012509837637,
98                      0.281603550779259, 0.458016777657228, 0.617876244402644,
99                      0.755404408355003, 0.865631202387832, 0.944575023073232,
100                     0.989400934991650 };
101
102  /* 16-point logarithmic-weighted Gaussian quadrature on [-1,1] */
103  const double log_pt[] = { 0.38978344871159e-02, 0.23028945616873e-01,
104                          0.58280398306240e-01, 0.10867836509105,

```

```

105             0.17260945490984,      0.24793705447058,
106             0.33209454912992,      0.42218391058195,
107             0.51508247338146,      0.60755612044773,
108             0.69637565322821,      0.77843256587327,
109             0.85085026971539,      0.91108685722227,
110             0.95702557170354,      0.98704780024798};
111  const double log_wht []= {-0.60791710043591e-01, -0.10291567751758,
112                          -0.12235566204601,  -0.12756924693702,
113                          -0.12301357460007,  -0.11184724485549,
114                          -0.96596385152124e-01, -0.79356664351473e-01,
115                          -0.61850494581965e-01, -0.45435246507727e-01,
116                          -0.31098974751582e-01, -0.19459765927361e-01,
117                          -0.10776254963206e-01, -0.49725428900876e-02,
118                          -0.16782011100512e-02, -0.28235376466844e-03};
119
120  /* collect all evaluations of the Dirichlet data in one matrix */
121  sx = mxMalloc(2*order*nE*sizeof(double));
122  gsx = mxMalloc(order*nE*sizeof(double));
123  sxlog1 = mxMalloc(2*log_order*nE*sizeof(double));
124  sxlog2 = mxMalloc(2*log_order*nE*sizeof(double));
125  wl1 = mxMalloc(nE*sizeof(double));
126  wl2 = mxMalloc(nE*sizeof(double));
127
128  for (j=0; j<nE; ++j) {
129
130      aidx = (int) elements[j]-1;      /* 1st node of element Tj = [a,b] */
131      a0 = coordinates[aidx];
132      a1 = coordinates[aidx+nC];
133
134      bidx = (int) elements[j+nE]-1;  /* 2nd node of element Tj = [a,b] */
135      b0 = coordinates[bidx];
136      b1 = coordinates[bidx+nC];
137
138      v[0] = b0-a0;
139      v[1] = b1-a1;
140
141      /* gauss quadrature*/
142      g_input = mxCreateDoubleMatrix(order,2,mxREAL);
143      pr = mxGetPr(g_input);
144      for (i=0; i<order; ++i)
145      {
146          pr[i]= 0.5 * ( (1.-pt[i]) * a0 + (1.+pt[i]) * b0 );
147          pr[i+order] = 0.5 * ( (1.-pt[i]) * a1 + (1.+pt[i]) * b1);
148          sx[2*j*order+i] = pr[i];
149          sx[(2*j+1)*order+i] = pr[i+order];
150      }
151      mexCallMATLAB(1,&g_output,1,&g_input,g);
152      tmpgsx = mxGetPr(g_output);
153      for(i=0; i<order; ++i)
154          gsx[j*order+i] = tmpgsx[i];
155      mxDestroyArray(g_input);
156      mxDestroyArray(g_output);
157
158      /* log-weighted gauss quadrature */
159      /* this is just needed in case a=bb */
160      g_input = mxCreateDoubleMatrix(order,2,mxREAL);
161      pr = mxGetPr(g_input);
162      for (i=0; i<log_order; ++i)
163      {
164          pr[i]= a0 + (1.-log_pt[i]) * v[0];
165          pr[i+log_order] = a1 + (1.-log_pt[i]) * v[1];

```

```

166     sxlog1[2*j*log_order+i] = a0 + (1.-log_pt[i]) * v[0];
167     sxlog1[(2*j+1)*log_order+i] = a1 + (1.-log_pt[i]) * v[1];
168 }
169 mexCallMATLAB(1,&g_output,1,&g_input,g);
170 tmpgsxlog = mxGetPr(g_output);
171 w11[j] = tmpgsxlog[0] * log_wht[0];
172 for (i=1; i<log_order; ++i)
173     w11[j] += tmpgsxlog[i]*log_wht[i];
174 mxDestroyArray(g_input);
175 mxDestroyArray(g_output);
176
177 /* log-weighted gauss quadrature */
178 /* this is just needed in case b=aa */
179 g_input = mxCreateDoubleMatrix(order,2,mxREAL);
180 pr = mxGetPr(g_input);
181 for (i=0; i<log_order; ++i)
182 {
183     pr[i]= a0 + log_pt[i] * v[0];
184     pr[i+log_order] = a1 + log_pt[i] * v[1];
185     sxlog2[2*j*log_order+i] = pr[i];
186     sxlog2[(2*j+1)*log_order+i] = pr[i+log_order];
187 }
188 mexCallMATLAB(1,&g_output,1,&g_input,g);
189 tmpgsxlog = mxGetPr(g_output);
190 w12[j] = tmpgsxlog[0]*log_wht[0];
191 for (i=1; i<log_order; ++i)
192     w12[j] += tmpgsxlog[i]*log_wht[i];
193 mxDestroyArray(g_input);
194 mxDestroyArray(g_output);
195 }
196
197 /* starting calculation*/
198 for (j=0; j<nE; ++j)
199 {
200     regular = 0.;
201
202     aidx = (int) elements[j]-1;      /* 1st node of element Tj = [a,b] */
203     a0 = coordinates[aidx];
204     a1 = coordinates[aidx+nC];
205
206     bidx = (int) elements[j+nE]-1;  /* 2nd node of element Tj = [a,b] */
207     b0 = coordinates[bidx];
208     b1 = coordinates[bidx+nC];
209
210     v[0] = b0-a0;
211     v[1] = b1-a1;
212
213     hj = v[0]*v[0] + v[1]*v[1] ;    /* hj = norm(b-a)^2 */
214
215     /* ( \int_{T_j} g(x) ds_x ) / 2 */
216     tmp = wht[0] * gsx[j*order];
217     for (i=1; i<order; ++i)
218         tmp += wht[i] * gsx[j*order+i];
219     brhs[j] = 0.25 * tmp * sqrt(hj);
220
221     for (k=0; k<nE; ++k)
222     {
223         cidx = (int) elements[k]-1;      /* 1st node of element Tk = [c,d] */
224         c0 = coordinates[cidx];
225         c1 = coordinates[cidx+nC];
226

```

```

227     didx = (int) elements[k+nE]-1;      /* 2nd node of element Tk = [c,d] */
228     d0 = coordinates[didx];
229     d1 = coordinates[didx+nC];
230
231     hk = (d0-c0)*(d0-c0) + (d1-c1)*(d1-c1);      /* hk = norm(d-c)^2 */
232
233     n0 = (d1-c1) / sqrt(hk);      /* n = n_x normale vector */
234     n1 = (c0-d0) / sqrt(hk);
235
236     vn = v[0] * n0 + v[1] * n1;      /* < b-a , n > */
237
238     /* case 2.2: intervals [a,b] and [c,d] are in contact */
239     if ( (a0==d0 && a1==d1) || (c0==b0 && c1==b1) )
240     {
241
242         /* the normal vectors of [a,b] and [c,d] differ */
243         if ( fabs(vn) >= EPS*sqrt(hj) )
244         {
245
246             for (i=0; i<order; ++i)
247             {
248                 u[i] = a0 + b0 - 2*sx[2*k*order+i];
249                 u[i+order] = a1 + b1 - 2*sx[(2*k+1)*order+i];
250             }
251
252             /* case a = d */
253             if ( a0==d0 && a1==d1 )
254             {
255                 for (ell=0; ell<order; ++ell)
256                 {
257                     D = fabs( u[ell] * v[1] - u[ell+order] * v[0] );
258
259                     norm_sxbm = sqrt( (sx[2*k*order+ell]-b0) * (sx[2*k*order+ell]-b0)
260                                     + (sx[(2*k+1)*order+ell]-b1) * (sx[(2*k+1)*order+ell]-b1) );
261
262                     /* regular1 = log(|sx-b|/|d-c|) */
263                     regular1[ell] = log( norm_sxbm / sqrt(hk) );
264                     /* regular2 = 1/D * arctan */
265                     regular2[ell] = arctan( sx[2*k*order+ell], sx[(2*k+1)*order+ell], a0, a1,
266                                             b0, b1 ) / D;
267                 }
268                 singular = -vn * sqrt(hk) * w1[k];
269
270                 for (i=0; i<order; ++i)
271                 {
272                     /* regular = Gauss quadrature of
273
274                                     */
275                     /* <d,normvec> * regular1 + (<u,n>*<b-a,b-a> - <b-a,n>*<u,b-a>) *
276                                     regular2 */
277                     regular += wht[i] * gsx[k*order+i] * 0.5 * sqrt(hk) * (
278                         ( ( u[i] * n0 + u[i+order]*n1 ) * hj
279                           - ( u[i] * v[0] + u[i+order] * v[1] ) * vn ) *regular2[i]
280                         + vn * regular1[i] ) ;
281                 }
282             }
283
284             /* case b = c */
285             else
286             {
287                 for (ell=0; ell<order; ++ell)

```

```

285     {
286         D = fabs( u[ell] * v[1] - u[ell+order] * v[0] );
287
288         norm_sxam = sqrt( (sx[2*k*order+ell]-a0) * (sx[2*k*order+ell]-a0)
289             + ( sx[(2*k+1)*order+ell]-a1) * (sx[(2*k+1)*order+ell]-a1) );
290         /* regular1 = log (|d-c|/|sx-a|) */
291         regular1[ell] = log( sqrt(hk) / norm_sxam );
292         /* regular2 = 1/D * arctan */
293         regular2[ell] = arctan( sx[2*k*order+ell],sx[(2*k+1)*order+ell],a0,a1,
                b0,b1 ) / D;
294     }
295
296     /* singular = <d,n> * |d-c| * gauss-log-quadrature */
297     singular = vn * sqrt(hk) * wl2[k];
298
299     for (i=0; i<order; ++i)
300     {
301         /* regular = Gauss quadrature of */
302         /* <d,normvec> * regular1 + (<u,n>*<d,d> - <d,n>*<u,d>) * regular2 */
303         regular += wht[i] * gsx[k*order+i] * 0.5 * sqrt(hk) *
304             ( ( u[i] * n0 + u[i+order] * n1) * hj
305             -(u[i] * v[0] + u[i+order] * v[1]) *vn ) * regular2[i]
306             + vn * regular1[i] );
307     }
308 }
309 /* b(j) = rhs(j) = sum_[a,b] 1/(2*pi*|b-a|)(regular+singular) */
310 brhs[j] += ( regular + singular ) / ( 2. * PI * sqrt(hj) );
311 }
312 }
313 /* case 1: intervals [a,b] and [c,d] are not in contact */
314 else
315 {
316     tmp = 0.;
317     for (i=0; i<order; ++i)
318     {
319         tmpsx[i] = sx[2*k*order+i];
320         tmpsx[i+order] = sx[(2*k+1)*order+i];
321     }
322     tmpvec = mxMalloc(order*sizeof(double));
323     adlp(tmpvec, tmpsx, a0, a1, b0, b1, n0, n1, order);
324     for (i=0; i<order; ++i)
325         tmp += wht[i]*gsx[k*order+i]*tmpvec[i];
326     /* b(j) = rhs(j) = sum_[a,b] 1/(2*pi*|b-a|) <g;K'_chi_{[a,b]} > */
327     brhs[j] += tmp*0.5*sqrt(hk);
328
329     mxFree(tmpvec);
330 }
331 }
332 }
333
334 /* Free memory */
335 mxFree(sx);
336 mxFree(gsx);
337 mxFree(sxlog1);
338 mxFree(sxlog2);
339 mxFree(wl1);
340 mxFree(wl2);
341 }
342
343
344

```

```

345 /* *****
346 * computes double layer potential K'
347 * K'\phi = -1/(2pi) \int_Gamma <x-y,n(x)>/|x-y|^2 g(y) ds_y
348 * ***** */
349 void adlp(double* returnvec, double* sx, double a0, double a1, double b0, double b1,
350          double n0, double n1, int order)
351 {
352     int j;
353     double d[2], c[2];
354     double sxam[2], sxbm[2];
355     double D, norm_d, norm2_c, norm2_d, dn;
356     double tmp1, tmp2, maxtmp;
357
358     d[0] = b0-a0; /* d = b-a */
359     d[1] = b1-a1;
360     norm2_d = d[0]*d[0]+d[1]*d[1]; /* norm2_d = |d|^2 */
361     norm_d = sqrt(norm2_d); /* norm_d = |d| */
362     dn = d[0]*n0+d[1]*n1; /* dn = <d,n > */
363
364     for(j=0; j<order; ++j)
365     {
366         c[0] = a0+b0-2.*sx[j]; /* c = a+b-2*x */
367         c[1] = a1+b1-2.*sx[j+order];
368         D = fabs( c[0]*d[1]-c[1]*d[0] ); /* D = |c,d| */
369         norm2_c = c[0]*c[0]+c[1]*c[1]; /* norm2_c = |c|^2 */
370
371         /* case 2. */
372         if ( D<=EPS*norm_d )
373         {
374             if ( (norm2_c <= norm2_d) || (fabs(dn) <= EPS*norm_d) )
375                 returnvec[j] = 0.;
376
377             /* case 2.2. */
378             else
379             {
380                 tmp1 = b0+b1-sx[j]-sx[j+order];
381                 tmp2 = a0+a1-sx[j]-sx[j+order];
382
383                 maxtmp = fabs(tmp1);
384                 if(fabs(tmp2)>maxtmp)
385                     maxtmp = fabs(tmp2);
386
387                 if ( fabs(tmp1-tmp2) <= EPS*maxtmp )
388                     returnvec[j] = 0.;
389                 else if ( (tmp1==0. && fabs(tmp2)<=EPS) || (tmp2==0. && fabs(tmp1)<=EPS) )
390                     returnvec[j] = 0.;
391                 else if ( tmp1*tmp2 < 0. && maxtmp<=EPS )
392                     returnvec[j] = 0.;
393                 else
394                     returnvec[j] = dn*log(tmp1/tmp2)/(2.*PI*norm_d);
395             }
396         }
397         /* case 1. */
398         else
399         {
400             sxam[0] = sx[j]-a0;
401             sxam[1] = sx[j+order]-a1;
402             sxbm[0] = sx[j]-b0;
403             sxbm[1] = sx[j+order]-b1;
404             returnvec[j] = ( dn*log( sqrt(sxbm[0]*sxbm[0]+sxbm[1]*sxbm[1])/
405                               sqrt(sxam[0]*sxam[0]+sxam[1]*sxam[1]) ) )

```

```

406         + (n1*d[0]-n0*d[1])*(c[1]*d[0]-c[0]*d[1])
407         *arctan(sx[j],sx[j+order],a0,a1,b0,b1)/D ) / (2*PI*norm_d);
408     }
409 }
410 }
411
412 /* *****
413 * computes function arctan *
414 * arctan ( ( |b-a|^2 + < a+b-2*x , b-a > ) / D ) *
415 * + arctan ( ( |b-a|^2 - < a+b-2*x , b-a > ) / D ) *
416 * ***** */
417 double arctan(double x0, double x1, double a0, double a1, double b0, double b1)
418 {
419
420     double d[2], c[2], axm[2], bxm[2];
421     double D;
422     double val;
423     double norm2_c, norm2_d;
424
425     c[0] = a0 + b0 - 2. * x0;
426     c[1] = a1 + b1 - 2. * x1;
427     d[0] = b0 - a0;
428     d[1] = b1 - a1;
429     axm[0] = a0 - x0;
430     axm[1] = a1 - x1;
431     bxm[0] = b0 - x0;
432     bxm[1] = b1 - x1;
433     norm2_c = c[0] * c[0] + c[1] * c[1];
434     norm2_d = d[0] * d[0] + d[1] * d[1];
435
436     D = fabs( c[0] * d[1] - c[1] * d[0] );
437
438     /* in this case we use the addition theorem */
439     if (norm2_d != norm2_c)
440     {
441         val = atan( D / (2. * (axm[0]*bxm[0]+axm[1]*bxm[1])) );
442
443         /* in this case we have to add pi*/
444         if (norm2_d > norm2_c)
445             val += PI;
446         return val;
447     }
448
449     /* in this case we cannot use the addition theorem */
450     else
451     {
452         val = atan( ( bxm[0] * d[0] + bxm[1] * d[1] ) * 2. / D )
453             + atan( ( axm[0] * d[0] + axm[1] * d[1] ) * (-2.) / D );
454         return val;
455     }
456 }

```

A.2.2 approximative rechte Seite

```

1 /* *****
2 * returns approximation of right-hand-side for Galerkin scheme *
3 * val(j) = < (K+1/2)*g ; \chi_{T_j} > *
4 * = (1/2) * < g ; \chi_{T_j} > + < g ; K' \chi_{T_j} > *
5 * where K is built with respect to the fundamental solution *
6 * of the Laplacian G(z) = -1/(2*PI) * log |

```

```

7  *****/
8  #include <math.h>
9  #include "mex.h"
10
11 #define EPS 1e-15
12 #define PI 3.141592653589793116
13
14 void mexFunction(int nlhs, mxArray* plhs[], int nrhs, const mxArray* prhs[]);
15
16 void rhs(double* returnvalue, double* coordinates, double* elements,
17         int nC, int nE, double* gx, double eta);
18
19 void computeKij(double* val0, double* val1,
20               double a0, double a1, double b0, double b1,
21               double c0, double c1, double d0, double d1, double eta);
22 void computeKij_analytic(double* I0, double* I1,
23                          double a0, double a1, double b0, double b1,
24                          double c0, double c1, double d0, double d1);
25 void computeKijT_analytic(double* I0, double* I1,
26                           double a0, double a1, double b0, double b1,
27                           double c0, double c1, double d0, double d1);
28 void computeKij_semianalytic(double* I0, double* I1,
29                              double a0, double a1, double b0, double b1,
30                              double c0, double c1, double d0, double d1);
31 void computeKijT_semianalytic(double* I0, double* I1,
32                               double a0, double a1, double b0, double b1,
33                               double c0, double c1, double d0, double d1);
34
35 double dlpWrapper(int k, double u[2], double v[2]);
36 double dlp(int k, double a, double b, double c);
37
38 double ptoseg(double p0, double p1, double a0, double a1, double b0, double b1);
39 double dist2(double a0, double a1, double b0, double b1,
40             double c0, double c1, double d0, double d1);
41
42 /* ----- MEX interface ----- */
43 void mexFunction(int nlhs, mxArray* plhs[], int nrhs, const mxArray* prhs[])
44 {
45     int i;
46     const char* functionName = mexFunctionName();
47     char errorMessage[255];
48     int nE, nC;
49     double* elements;
50     double* coordinates;
51     double eta;
52     char* g;
53     double* vecb;
54     mxArray *g_input, *g_output;
55     double *pr, *gx;
56
57     /* check data */
58     if (nlhs != 1) {
59         sprintf(errorMessage, "Use either b = %s(coordinates, elements, 'g')\n or b = %s(
60             coordinates, elements, 'g', eta).", functionName, functionName);
61         mexErrMsgTxt(errorMessage);
62     }
63
64     if ((nrhs != 3) && (nrhs != 4)) {
65         sprintf(errorMessage, "Use either b = %s(coordinates, elements, 'g')\n or b = %s(
66             coordinates, elements, 'g', eta).", functionName, functionName);
67         mexErrMsgTxt(errorMessage);
68     }

```

```

66     }
67
68     if (nrhs == 4) {
69         pr = mxGetPr(prhs[3]);
70         eta = *pr;
71     }
72     else {
73         eta = 0.;
74     }
75
76     /* Read input data */
77     coordinates = mxGetPr(prhs[0]);
78     nC = mxGetM(prhs[0]);          /* number of nodes */
79
80     elements = mxGetPr(prhs[1]);
81     nE = mxGetM(prhs[1]);          /* number of elements */
82
83     /* (K+1/2)g has to be computed -> g is the name (string!) of a matlab */
84     /* function realizing the evaluation */
85     g = mxArrayToString(prhs[2]);
86
87     /* create output vector vecb */
88     plhs[0] = mxCreateDoubleMatrix(nE,1,mxREAL);
89     vecb = mxGetPr(plhs[0]);
90
91     /* compute all evaluations of function g */
92     mexCallMATLAB(1,&g_output,1,prhs,g);
93     gx = mxGetPr(g_output);
94
95     mxDestroyArray(g_input);
96
97     rhs(vecb,coordinates,elements,nC,nE,gx,eta);
98
99     mxDestroyArray(g_output);
100 }
101
102 /* *****
103 * returns approximation of right-hand-side for Galerkin scheme *
104 * val(j) = < (K+1/2)*g ; \chi_{T_j} > *
105 *          = (1/2) * < g ; \chi_{T_j} > + < g ; K' \chi_{T_j} > *
106 * where K is built with respect to the fundamental solution *
107 * of the Laplacian G(z) = -1/(2*PI) * log | *
108 ***** */
109 void rhs(double* returnvalue, double* coordinates, double* elements,
110         int nC, int nE, double* gx, double eta)
111 {
112     int i,j;
113     double linetest1, linetest2;
114     double I0,I1;
115     int aidx, bidx, cidx, didx;
116     double a0,a1, b0,b1, c0,c1, d0,d1;
117     double hi, hj;
118     double *K = mxCalloc(nE*nC,sizeof(double));
119
120     /* Fill matrix < (K+1/2)g, \chi > */
121     for (j=0; j<nE; ++j) {
122
123         cidx = (int) elements[j]-1;          /* 1st node of element Tj = [c,d] */
124         c0 = coordinates[cidx];
125         c1 = coordinates[cidx+nC];

```

```

127     didx = (int) elements[j+nE]-1;      /* 2nd node of element Tj = [c,d] */
128     d0 = coordinates[didx];
129     d1 = coordinates[didx+nC];
130
131     for (i=0; i<nE; ++i) {
132
133         aidx = (int) elements[i]-1;      /* 1st node of element Ti = [a,b] */
134         a0 = coordinates[aidx];
135         a1 = coordinates[aidx+nC];
136
137         bidx = (int) elements[i+nE]-1;  /* 2nd node of element Ti = [a,b] */
138         b0 = coordinates[bidx];
139         b1 = coordinates[bidx+nC];
140
141         hi = (b0-a0)*(b0-a0) + (b1-a1)*(b1-a1); /* hi = norm(b-a)^2 */
142         hj = (d0-c0)*(d0-c0) + (d1-c1)*(d1-c1); /* hj = norm(d-c)^2 */
143
144         /* if two intervals are in line the scalar-product with */
145         /* the normal vector is zero */
146         /* --> double-layer-potential is zero! */
147         /* this is tested beneath and in this case nothing */
148         /* should be calculated! */
149         linetest1 = fabs( (a0+b0-2*c0)*(b1-a1)-(a1+b1-2*c1)*(b0-a0) );
150         linetest2 = fabs( (a0+b0-2*d0)*(b1-a1)-(a1+b1-2*d1)*(b0-a0) );
151
152         if ( linetest1 > EPS || linetest2 > EPS ) {
153             computeKij(&I0,&I1, a0,a1,b0,b1, c0,c1,d0,d1,eta);
154             K[j+aidx*nE] += I0 - I1;
155             K[j+bidx*nE] += I0 + I1;
156         }
157     }
158
159     /* 1/2 * <\eta_j, \chi_k> */
160     K[j+aidx*nE] += 0.25*sqrt(hj);
161     K[j+didx*nE] += 0.25*sqrt(hj);
162 }
163 /* compute (K+1/2)*g */
164 for (j=0; j<nE; ++j)
165 {
166     returnvalue[j] = 0.;
167     for (i=0; i<nC; ++i)
168         returnvalue[j] += K[j+i*nE]*gx[i];
169 }
170 mxFree(K);
171 }
172
173 /* ----- WRAPPER: Double Integrals for DLP ----- */
174
175 void computeKij(double* I0, double* I1,
176               double a0, double a1, double b0, double b1,
177               double c0, double c1, double d0, double d1,
178               double eta) {
179     /*
180     * INPUT: elements Ti = [a,b], Tj = [c,d] with a,b,c,d \in \R^2
181     * OUTPUT: Galerkin integral
182     *          -1/(2pi) \int_{Tj} \int_{Ti} 1/2 <y-x, n(y)>/|x-y|^2 \phi(y) ds_y ds_x
183     *          \phi(\gamma(t)) \in [-1,1]: \phi(\gamma(t)) = 1/2 + 1/2t
184     *                                     resp. \phi(\gamma(t)) = 1/2 - 1/2t
185     *          thus \phi(\gamma) is the hat function on [-1,1],
186     *          resp. \phi is the hat function on T_i
187     */

```

```

188
189 double hi = (b0-a0)*(b0-a0) + (b1-a1)*(b1-a1); /* hi = norm(b-a)^2 */
190 double hj = (d0-c0)*(d0-c0) + (d1-c1)*(d1-c1); /* hj = norm(d-c)^2 */
191 double tmp, det;
192 double n[2];
193 double x[2], y[2], z[2];
194 double zxp[2], zxm[2], zyp[2], zym[2];
195 double yn, zn, zypn, zymn;
196 double lambda, mu;
197 int swap;
198
199 /* *****
200 * For stability reasons, we guarantee hj <= hi to ensure that *
201 * outer integration is over smaller domain. This is done by *
202 * swapping Tj and Ti if necessary. *
203 * ***** */
204 if ( hi < hj )
205     swap = 1;
206 else
207     swap = 0;
208
209 if (eta == 0) { /* compute all matrix entries analytically */
210
211     if (swap == 0)
212         computeKij_analytic(I0,I1, a0,a1, b0,b1, c0,c1, d0,d1);
213     else
214         computeKij_analytic(I0,I1, a0,a1, b0,b1, c0,c1, d0,d1);
215 }
216 else { /* compute admissible matrix entries semi-analytically */
217
218     if ( dist2(a0,a1,b0,b1,c0,c1,d0,d1) > eta*sqrt(hj) ) {
219         if (swap == 0)
220             computeKij_semianalytic(I0,I1, a0,a1, b0,b1, c0,c1, d0,d1);
221         else
222             computeKijT_semianalytic(I0,I1, a0,a1, b0,b1, c0,c1, d0,d1);
223     }
224     else {
225         if (swap == 0)
226             computeKij_analytic(I0,I1, a0,a1, b0,b1, c0,c1, d0,d1);
227         else
228             computeKijT_analytic(I0,I1, a0,a1, b0,b1, c0,c1, d0,d1);
229     }
230 }
231 }
232
233
234 /* ----- Double Integrals for DLP: analytic, no swap ----- */
235
236 void computeKij_analytic(double* I0, double* I1,
237                         double a0, double a1, double b0, double b1,
238                         double c0, double c1, double d0, double d1) {
239     /*
240     * INPUT: elements Ti = [a,b], Tj = [c,d] with a,b,c,d in R^2
241     * OUTPUT: Galerkin integral
242     *          -1/(2pi) \int_{Tj} \int_{Ti} 1/2 <y-x,n(y)>/|x-y|^2 \phi(y) ds_y ds_x
243     *          \gamma(\phi(t)) \in [-1,1]: \gamma(\phi(t)) = 1/2 + 1/2t
244     *          resp. \gamma(\phi(t)) = 1/2 - 1/2t
245     *          thus \phi(\gamma) is the hat function on [-1,1],
246     *          resp. \phi is the hat function on T_i
247     */
248

```

```

249 double hi = (b0-a0)*(b0-a0) + (b1-a1)*(b1-a1); /* hi = norm(b-a)^2 */
250 double hj = (d0-c0)*(d0-c0) + (d1-c1)*(d1-c1); /* hj = norm(d-c)^2 */
251 double tmp, det;
252 double n[2];
253 double x[2], y[2], z[2];
254 double zxp[2], zxm[2], zyp[2], zym[2];
255 double yn, zn, zypn, zymn;
256 double lambda, mu;
257
258 n[0] = ( b1-a1 ) / sqrt(hi); /* n = n_y normale vector */
259 n[1] = ( a0-b0 ) / sqrt(hi);
260
261 x[0] = b0 - a0; /* x = b-a */
262 x[1] = b1 - a1;
263 y[0] = c0 - d0; /* y = c-d */
264 y[1] = c1 - d1;
265 z[0] = a0 + b0 - c0 - d0; /* z = a+b-c-d */
266 z[1] = a1 + b1 - c1 - d1;
267
268 zxp[0] = z[0] + x[0]; /* zxp = z+x = 2b-c-d */
269 zxp[1] = z[1] + x[1];
270 zxm[0] = z[0] - x[0]; /* zxm = z-x = 2a-c-d */
271 zxm[1] = z[1] - x[1];
272 zyp[0] = z[0] + y[0]; /* zyp = z+y = a+b-2d */
273 zyp[1] = z[1] + y[1];
274 zym[0] = z[0] - y[0]; /* zym = z-y = a+b-2c */
275 zym[1] = z[1] - y[1];
276
277 yn = y[0]*n[0]+y[1]*n[1]; /* yn = <y,n> */
278 zn = z[0]*n[0]+z[1]*n[1]; /* zn = <z,n> */
279 zypn = zyp[0]*n[0]+zyp[1]*n[1]; /* zypn = <z+y,n> = <a+b-2d,n> */
280 zymn = zym[0]*n[0]+zym[1]*n[1]; /* zymn = <z-y,n> = <a+b-2c,n> */
281
282 /* There hold different recursion formulae if Ti and Tj *
283 * are parallel (det = 0) or not */
284 det = x[0]*y[1] - x[1]*y[0];
285
286 /* case that x and y are linearly dependent, i.e., Ti and Tj are parallel */
287 if ( fabs(det) <= EPS*sqrt(hi*hj) ) {
288
289     if ( fabs(y[0]) < fabs(y[1]) )
290         lambda = x[1] / y[1];
291     else
292         lambda = x[0] / y[0];
293
294     *I0 = ( dlpWrapper(0, y, zxp) + dlpWrapper(0, y, zxm)
295           - lambda * dlpWrapper(1, x, zyp) + lambda * dlpWrapper(1, x, zym) );
296
297     *I1 = 0.5 * zn * ( dlpWrapper(0, y, zxp) - dlpWrapper(0, y, zxm)
298                   - lambda * dlpWrapper(2, x, zyp) + lambda * dlpWrapper(2, x, zym) );
299 }
300
301 else { /* case that x and y are linearly independent */
302
303     /* if intervals are in touch recursion formulae reduce */
304     if ( b0==c0 && b1==c1 ) {
305
306         *I0 = 2 * ( zypn * dlpWrapper(0, x, zyp) + yn * dlpWrapper(1, y, zxm)
307                 + zn * dlpWrapper(0, y, zxm) );
308
309         *I1 = 0.5 * ( 2 * zypn * dlpWrapper(1, x, zyp)

```

```

310     - 2 * yn * dlpWrapper(1, y, zxm) - 2 * zn * dlpWrapper(0, y, zxm) + *I0 );
311 }
312
313 else if (a0==d0 && a1==d1) {
314
315     *I0 = 2 * ( zymn * dlpWrapper(0, x, zym) + yn * dlpWrapper(1, y, zxp)
316             + zn * dlpWrapper(0, y, zxp) );
317
318     *I1 = 0.5 * ( 2 * zymn * dlpWrapper(1, x ,zym)
319                 + 2 * yn * dlpWrapper(1, y, zxp) + 2 * zn * dlpWrapper(0, y, zxp) - *I0 );
320 }
321
322 else {
323
324     lambda = (z[0]*y[1] - z[1]*y[0]) /det;
325     mu = (x[0]*z[1] - x[1]*z[0]) /det;
326
327     *I0 = (mu+1) * zypn * dlpWrapper(0, x, zyp)
328           - (mu-1) * zymn * dlpWrapper(0, x ,zym)
329           + (lambda+1) * yn * dlpWrapper(1, y, zxp)
330           + (lambda+1) * zn * dlpWrapper(0, y, zxp)
331           - (lambda-1) * yn * dlpWrapper(1, y, zxm)
332           - (lambda-1) * zn * dlpWrapper(0, y, zxm);
333
334     *I1 = 0.5 * ( (mu+1) * zypn * dlpWrapper(1, x, zyp)
335                 - (mu-1) * zymn * dlpWrapper(1, x ,zym)
336                 + (lambda+1) * yn * dlpWrapper(1, y, zxp)
337                 + (lambda+1) * zn * dlpWrapper(0, y, zxp)
338                 + (lambda-1) * yn * dlpWrapper(1, y, zxm)
339                 + (lambda-1) * zn * dlpWrapper(0, y, zxm) - lambda * *I0 );
340 }
341 }
342
343 *I0 *= -0.125 * sqrt(hi*hj) / PI; /* = - 1/(2*PI) * |Ti|/2 * |Tj|/2 * I0 */
344 *I1 *= -0.125 * sqrt(hi*hj) / PI; /* = - 1/(2*PI) * |Ti|/2 * |Tj|/2 * I1 */
345 }
346
347
348 /* ----- Double Integrals for DLP: analytic, swap ----- */
349
350 void computeKijT_analytic(double* I0, double* I1,
351                          double a0, double a1, double b0, double b1,
352                          double c0, double c1, double d0, double d1) {
353     /*
354     * INPUT: elements  $T_i = [a, b]$ ,  $T_j = [c, d]$  with  $a, b, c, d \in \mathbb{R}^2$ 
355     * OUTPUT: Galerkin integral
356     *  $-1/(2\pi) \int_{T_i} \int_{T_j} 1/2 \langle y-x, n(y) \rangle / |x-y|^2 \phi(y) ds_y ds_x$ 
357     *  $\int_{\gamma} \phi(t) \int_{-1,1} \int_{\gamma} \phi(t) = 1/2 + 1/2t$ 
358     * resp.  $\int_{\gamma} \phi(t) = 1/2 - 1/2t$ 
359     * thus  $\phi(\gamma)$  is the hat function on  $[-1,1]$ ,
360     * resp.  $\phi$  is the hat function on  $T_i$ 
361     */
362
363     double hi = (b0-a0)*(b0-a0) + (b1-a1)*(b1-a1); /* hi = norm(b-a)^2 */
364     double hj = (d0-c0)*(d0-c0) + (d1-c1)*(d1-c1); /* hj = norm(d-c)^2 */
365     double tmp, det;
366     double n[2];
367     double x[2], y[2], z[2];
368     double zxp[2], zxm[2], zyp[2], zym[2];
369     double xn, zn, zxp[2], zxm[2];
370     double lambda, mu;

```



```

432
433     *I0 = 2 * ( zxm * dlpWrapper(0, y, zxm) + xn * dlpWrapper(1, x, zyp)
434             + zn * dlpWrapper(0, x, zyp) );
435
436     *I1 = 0.5 * ( 2 * zxm * dlpWrapper(1, y, zxm)
437                 + 2 * xn * dlpWrapper(1, x, zyp) + 2 * zn * dlpWrapper(0, x, zyp) - *I0 );
438 }
439
440 else {
441
442     mu = (z[0]*y[1] - z[1]*y[0]) /det;
443     lambda = (x[0]*z[1] - x[1]*z[0]) /det;
444
445     *I0 = (mu+1) * zxp * dlpWrapper(0, y, zxp)
446           - (mu-1) * zxm * dlpWrapper(0, y, zxm)
447           + (lambda+1) * xn * dlpWrapper(1, x, zyp)
448           + (lambda+1) * zn * dlpWrapper(0, x, zyp)
449           - (lambda-1) * xn * dlpWrapper(1, x, zym)
450           - (lambda-1) * zn * dlpWrapper(0, x, zym);
451
452     *I1 = 0.5 * ( (mu+1) * zxp * dlpWrapper(1, y, zxp)
453                 - (mu-1) * zxm * dlpWrapper(1, y, zxm)
454                 + (lambda+1) * xn * dlpWrapper(1, x, zyp)
455                 + (lambda+1) * zn * dlpWrapper(0, x, zyp)
456                 + (lambda-1) * xn * dlpWrapper(1, x, zym)
457                 + (lambda-1) * zn * dlpWrapper(0, x, zym) - lambda * *I0 );
458 }
459 }
460
461 *I0 *= -0.125 * sqrt(hi*hj) / PI; /* = - 1/(2*PI) * |Ti|/2 * |Tj|/2 * I0 */
462 *I1 *= -0.125 * sqrt(hi*hj) / PI; /* = - 1/(2*PI) * |Ti|/2 * |Tj|/2 * I1 */
463 }
464
465
466 /* ----- Double Integrals for DLP: semianalytic, no swap ----- */
467
468 void computeKij_semianalytic(double* I0, double* I1,
469                             double a0, double a1, double b0, double b1,
470                             double c0, double c1, double d0, double d1) {
471     /*
472     * INPUT: elements  $T_i = [a, b]$ ,  $T_j = [c, d]$  with  $a, b, c, d \in \mathbb{R}^2$ 
473     * OUTPUT: Galerkin integral
474     *           $-1/(2\pi) \int_{T_j} \int_{T_i} 1/2 \langle y-x, n(y) \rangle / |x-y|^2 \phi(y) ds_y ds_x$ 
475     *           $\gamma(\phi(t)) \in [-1, 1]: \gamma(\phi(t)) = 1/2 + 1/2t$ 
476     *          resp.  $\gamma(\phi(t)) = 1/2 - 1/2t$ 
477     *          thus  $\phi(\gamma)$  is the hat function on  $[-1, 1]$ ,
478     *          resp.  $\phi$  is the hat function on  $T_i$ 
479     */
480
481     int i;
482     double hi = (b0-a0)*(b0-a0) + (b1-a1)*(b1-a1); /* hi = norm(b-a)^2 */
483     double hj = (d0-c0)*(d0-c0) + (d1-c1)*(d1-c1); /* hj = norm(d-c)^2 */
484     double n[2];
485     double x[2], y[2], z[2];
486     double v[2];
487     double vn;
488     double I0tmp = 0., I1tmp = 0.;
489
490     /* 16-point Gaussian quadrature on [-1,1] */
491     const order = 16;
492     const double wht[] = { 0.027152459411754, 0.062253523938648, 0.095158511682493,

```

```

493         0.124628971255534 , 0.149595988816577 , 0.169156519395003 ,
494         0.182603415044924 , 0.189450610455069 , 0.189450610455069 ,
495         0.182603415044924 , 0.169156519395003 , 0.149595988816577 ,
496         0.124628971255534 , 0.095158511682492 , 0.062253523938648 ,
497         0.027152459411753 };
498     const double pt[] = { -0.989400934991650 , -0.944575023073233 , -0.865631202387832 ,
499         -0.755404408355003 , -0.617876244402644 , -0.458016777657227 ,
500         -0.281603550779259 , -0.095012509837637 , 0.095012509837637 ,
501         0.281603550779259 , 0.458016777657228 , 0.617876244402644 ,
502         0.755404408355003 , 0.865631202387832 , 0.944575023073232 ,
503         0.989400934991650 };
504
505     /* n = n_y normale vector */
506     n[0] = ( b1-a1 ) / sqrt(hi);
507     n[1] = ( a0-b0 ) / sqrt(hi);
508
509     x[0] = b0 - a0;          /* x = b-a */
510     x[1] = b1 - a1;
511     y[0] = c0 - d0;          /* y = c-d */
512     y[1] = c1 - d1;
513     z[0] = a0 + b0 - c0 - d0; /* z = a+b-c-d */
514     z[1] = a1 + b1 - c1 - d1;
515
516
517     for (i=0; i<order; ++i) {
518
519         v[0] = pt[i] * y[0] + z[0];
520         v[1] = pt[i] * y[1] + z[1];
521
522         vn = v[0]*n[0]+v[1]*n[1];
523
524         I0tmp += wht[i] * vn * dlpWrapper(0, x, v);
525         I1tmp += wht[i] * vn * dlpWrapper(1, x, v);
526     }
527
528     *I0 = -0.125 * sqrt(hi*hj) * I0tmp / PI; /* = - 1/(2*PI) * |Ti|/2 * |Tj|/2 * val0
529         */
530     *I1 = -0.125 * sqrt(hi*hj) * I1tmp / PI; /* = - 1/(2*PI) * |Ti|/2 * |Tj|/2 * val1
531         */
532 }
533
534 /* ----- Double Integrals for DLP: semianalytic, swap ----- */
535 void computeKijT_semianalytic(double* I0, double* I1,
536     double a0, double a1, double b0, double b1,
537     double c0, double c1, double d0, double d1) {
538     /*
539     * INPUT: elements Ti = [a,b], Tj = [c,d] with a,b,c,d \in \R^2
540     * OUTPUT: Galerkin integral
541     *          -1/(2pi) \int_{Ti} \int_{Tj} 1/2 <y-x,n>/|x-y|^2 \phi(y) ds_y ds_x
542     *          \gamma(\phi(t)) \in [-1,1]: \gamma(\phi(t)) = 1/2 + 1/2t
543     *          resp. \gamma(\phi(t)) = 1/2 - 1/2t
544     *          thus \phi(\gamma) is the hat function on [-1,1],
545     *          resp. \phi is the hat function on T_i
546     */
547
548     int i;
549     double hi = (b0-a0)*(b0-a0) + (b1-a1)*(b1-a1); /* hi = norm(b-a)^2 */
550     double hj = (d0-c0)*(d0-c0) + (d1-c1)*(d1-c1); /* hj = norm(d-c)^2 */
551     double n[2];

```

```

552 double x[2], y[2], z[2];
553 double v[2];
554 double xn, zn;
555 double I0tmp = 0., I1tmp = 0.;
556
557 /* 16-point Gaussian quadrature on [-1,1] */
558 const order = 16;
559 const double wht[] = { 0.027152459411754, 0.062253523938648, 0.095158511682493,
560                      0.124628971255534, 0.149595988816577, 0.169156519395003,
561                      0.182603415044924, 0.189450610455069, 0.189450610455069,
562                      0.182603415044924, 0.169156519395003, 0.149595988816577,
563                      0.124628971255534, 0.095158511682492, 0.062253523938648,
564                      0.027152459411753 };
565 const double pt[] = { -0.989400934991650, -0.944575023073233, -0.865631202387832,
566                      -0.755404408355003, -0.617876244402644, -0.458016777657227,
567                      -0.281603550779259, -0.095012509837637, 0.095012509837637,
568                      0.281603550779259, 0.458016777657228, 0.617876244402644,
569                      0.755404408355003, 0.865631202387832, 0.944575023073232,
570                      0.989400934991650 };
571
572 /* n = n_y normale vector */
573 n[0] = ( b1-a1 ) / sqrt(hi);
574 n[1] = ( a0-b0 ) / sqrt(hi);
575
576 x[0] = c0 - d0;          /* x = c-d */
577 x[1] = c1 - d1;
578 y[0] = b0 - a0;        /* y = b-a */
579 y[1] = b1 - a1;
580 z[0] = a0 + b0 - c0 - d0; /* z = a+b-c-d */
581 z[1] = a1 + b1 - c1 - d1;
582
583
584 for (i=0; i<order; ++i) {
585     v[0] = pt[i] * y[0] + z[0];
586     v[1] = pt[i] * y[1] + z[1];
587
588     xn = x[0]*n[0]+x[1]*n[1];
589     zn = z[0]*n[0]+z[1]*n[1];
590
591
592     I0tmp += wht[i] * ( xn * dlpWrapper(1, x, v) + zn * dlpWrapper(0,x,v) );
593     I1tmp += wht[i] * pt[i] * ( xn * dlpWrapper(1, x, v) + zn * dlpWrapper(0,x,v));
594 }
595
596 *I0 = -0.125 * sqrt(hi*hj) * I0tmp / PI;
597 *I1 = -0.125 * sqrt(hi*hj) * I1tmp / PI;
598 }
599
600
601 /* ----- DLP ----- */
602
603 double dlpWrapper(int k, double u[2], double v[2]) {
604
605     /*
606     * INPUT: Vectors u,v,w \in \R^2, integer k
607     * OUTPUT: value of DLP-type integral
608     *          \int_{-1}^{+1} t^k 1 / |t*u+v|^2 dt
609     */
610
611     double a = u[0]*u[0] + u[1]*u[1];          /* a = <u,u> */
612     double b = 2 * ( u[0]*v[0] + u[1]*v[1] ); /* b = 2 <u,v> */

```

```

613  double c = v[0]*v[0] + v[1]*v[1];          /* c = <v,v> */
614  return dlp(k,a,b,c);
615 }
616
617
618  double dlp(int k, double a, double b, double c) {
619  /*
620   * INPUT: scalars a,c>0 and b \in \R, integer k
621   * OUPUT: value of DLP-type integral
622   *        \int_{-1}^{+1} t^k 1 / (a*t^2+b*t+c) dt
623   */
624
625
626  double val, val0, val1, val2;
627  double tmp;
628  double D;
629
630  /* Ensure that discriminant is either positive or zero */
631  tmp = 4*a*c - b*b; /* Note that by theory tmp >= 0 */
632
633  if (tmp > EPS * 4*a*c)
634      D = sqrt(tmp);
635  else
636      D = 0;
637
638  /* The case k=0 */
639  if (D == 0)
640  {
641      val0 = 2 / ( c - a );
642  }
643  else { /* also D > 0 */
644      tmp = c - a;
645      if (fabs(tmp) < EPS * fabs(c))
646          val0 = 0.5*PI;
647      else if (a < c)
648          val0 = atan( D /tmp );
649      else
650          val0 = atan( D /tmp ) + PI;
651      val0 *= 2/D;
652  }
653  val = val0;
654
655  /* The case k=1 */
656  if (k>=1) {
657      val1 = -b*val0;
658
659      tmp = a+b+c;
660      if (fabs(tmp) > EPS*fabs(a))
661          val1 += log(tmp);
662
663      tmp = a-b+c;
664      if (fabs(tmp) > EPS*fabs(a))
665          val1 -= log(tmp);
666
667      val1 /= (2*a);
668      val = val1;
669  }
670
671  /* The case k=2 */
672  if (k==2) {
673      val2 = ( 2 - b * val1 - c * val0 ) / a;

```

```

674     val = val2;
675 }
676
677 return val;
678 }
679
680 /* ----- Dist(Ti,Tj) ----- */
681 /* The closest distance between two segments is either zero */
682 /* if they intersect or the distance from one of the lines' */
683 /* end points to the other line. "dist" first asks if the */
684 /* segments intersect. If they do, it returns zero. */
685 /* Otherwise the function calculates the shortest distance */
686 /* from the first segment's end points to the second segment */
687 /* and vice versa and returns the shortest distance. */
688 /* ----- */
689 double dist2(double a0, double a1, double b0, double b1,
690             double c0, double c1, double d0, double d1) {
691
692     double test;
693     double best = sqrt((a0-c0)*(a0-c0)+(a1-c1)*(a1-c1));
694     double val;
695
696     /* The only possibility that these two segments intersect: */
697     if ((fabs(a0-d0)<=EPS && fabs(a1-d1)<=EPS) ||
698         (fabs(b0-c0)<=EPS && fabs(b1-c1)<=EPS))
699         best=0;
700     /* If segments do not intersect: */
701     else{
702         /* Calculate the distance from A to segment [C,D]: */
703         test = ptoseg(a0, a1, c0, c1, d0, d1);
704         if ((test-best)<=EPS){
705             best = test;
706         }
707         /* Calculate the distance from B to segment [C,D]: */
708         test = ptoseg(b0, b1, c0, c1, d0, d1);
709         if ((test-best)<=EPS){
710             best = test;
711         }
712         /* Calculate the distance from C to segment [A,B]: */
713         test = ptoseg(c0, c1, a0, a1, b0, b1);
714         if ((test-best)<=EPS){
715             best = test;
716         }
717         /* Calculate the distance from D to segment [A,B]: */
718         test = ptoseg(d0, d1, a0, a1, b0, b1);
719         if ((test-best)<=EPS){
720             best = test;
721         }
722     }
723
724     return best;
725 }
726
727
728 /* ----- ptoseg ----- */
729 /* This function treats the segment as a parameterized */
730 /* vector where the parameter t varies from 0 to 1. */
731 /* It finds the value of t that minimizes the distance */
732 /* from the point to the line. If t is between 0.0 and */
733 /* 1.0, then the closest point lies on the segment, */
734 /* otherwise the closest point is one of the segment's */

```

```

735 /* end points. The program finds this closest point */
736 /* and calculates the distance between it and the */
737 /* target point. */
738 /* ----- */
739 double ptoseg(double p0, double p1, double a0, double a1, double b0, double b1){
740
741 double t, tmp1, tmp2;
742 double val;
743
744 tmp1 = b0-a0;
745 tmp2 = b1-a1;
746
747 if (tmp1<=EPS && tmp2<=EPS){
748     tmp1 = p0-a0;
749     tmp2 = p1-a1;
750 }
751 else{
752     t = ((p0-a0)*(b0-a0)+(p1-a1)*(b1-a1))/((b0-a0)*(b0-a0)+(b1-a1)*(b1-a1));
753
754     if (t<=EPS){
755         tmp1 = p0-a0;
756         tmp2 = p1-a1;
757     }
758     else if ((1-t)<=EPS){
759         tmp1 = p0-b0;
760         tmp2 = p1-b1;
761     }
762     else{
763         tmp1 = p0 - a0 - t*tmp1;
764         tmp2 = p1 - a1 - t*tmp2;
765     }
766 }
767 val = sqrt(tmp1*tmp1 + tmp2*tmp2);
768 return val;
769 }

```

A.3 Einfach- und Doppelschichtpotential

A.3.1 Einfachschichtpotential

```

1 /* ***** */
2 * Compute Galerkin-Matrix for V and P0xP0 *
3 * Vjk = < Vchi_j , chi_k > with char. functions *
4 * ***** */
5 * Vphi = -1/(2pi) \int_Gamma log|x-y| phi(y) ds_y *
6 * ***** */
7
8 #include <math.h>
9 #include "mex.h"
10
11 #define EPS 1e-12
12 #define PI 3.141592653589793116
13
14 void mexFunction(int nlhs, mxArray* plhs[], int nrhs, const mxArray* prhs[]);
15
16 double computeVij(double a0, double a1, double b0, double b1,
17                 double c0, double c1, double d0, double d1,
18                 double eta);

```

```

19 double computeVij_analytic(double a0, double a1, double b0, double b1,
20                             double c0, double c1, double d0, double d1);
21 double computeVij_semianalytic(double a0, double a1, double b0, double b1,
22                                 double c0, double c1, double d0, double d1);
23 double slpWrapper(int k, double u[2], double v[2]);
24 double slp(int k, double a, double b, double c);
25
26 double ptoseg(double p0, double p1, double a0, double a1, double b0, double b1);
27 double dist2(double a0, double a1, double b0, double b1,
28              double c0, double c1, double d0, double d1);
29
30
31
32 /* ----- MEX interface ----- */
33
34
35 void mexFunction(int nlhs, mxArray* plhs[], int nrhs, const mxArray* prhs[]) {
36
37     const char* functionName = mexFunctionName();
38     char errorMessage[255];
39     int nC, nE;
40     int i, j;
41     double* V;
42     double* elements;
43     double* coordinates;
44     double* ptr;
45     double eta;
46     double a0,a1, b0,b1, c0,c1, d0,d1;
47     int aidx, bidx, cidx, didx;
48
49     if (nlhs != 1) {
50         sprintf(errorMessage, "Use either V = %s(coordinates,elements)\n          or V = %s
51             (coordinates,elements,eta).",
52                 functionName, functionName);
53         mexErrMsgTxt(errorMessage);
54     }
55
56     if ((nrhs != 2) && (nrhs != 3)) {
57         sprintf(errorMessage, "Use either V = %s(coordinates,elements)\n          or V = %s
58             (coordinates,elements,eta).",
59                 functionName, functionName);
60         mexErrMsgTxt(errorMessage);
61     }
62
63     /* Read input data */
64     coordinates = mxGetPr(prhs[0]);
65     nC = mxGetM(prhs[0]);          /* number of nodes */
66
67     elements = mxGetPr(prhs[1]);
68     nE = mxGetM(prhs[1]);          /* number of elements */
69
70     if (nrhs == 3) {
71         ptr = mxGetPr(prhs[2]);
72         eta = *ptr;
73     }
74     else {
75         eta = 0;
76     }
77
78     /* Allocate output data */
79     plhs[0] = mxCreateDoubleMatrix(nE, nE, mxREAL);

```

```

78  V = mxGetPr(plhs[0]);
79
80  /* Fill matrix V and use symmetry to reduce building time */
81  for (i=0; i<nE; ++i) {
82
83      aidx = (int) elements[i]-1;          /* 1st node of element Ti = [a,b] */
84      a0 = coordinates[aidx];
85      a1 = coordinates[aidx+nC];
86
87      bidx = (int) elements[i+nE]-1;      /* 2nd node of element Ti = [a,b] */
88      b0 = coordinates[bidx];
89      b1 = coordinates[bidx+nC];
90
91      for (j=i; j<nE; ++j) {
92
93          cidx = (int) elements[j]-1;      /* 1st node of element Tj = [c,d] */
94          c0 = coordinates[cidx];
95          c1 = coordinates[cidx+nC];
96
97          didx = (int) elements[j+nE]-1;  /* 2nd node of element Tj = [c,d] */
98          d0 = coordinates[didx];
99          d1 = coordinates[didx+nC];
100
101          V[i + j*nE] = computeVij(a0,a1,b0,b1, c0,c1,d0,d1,eta);
102          V[j + i*nE] = V[i + j*nE];
103
104      }
105  }
106 }
107
108
109 /* ----- WRAPPER: Galerkin-Element SLP ----- */
110
111
112 double computeVij(double a0, double a1, double b0, double b1,
113                  double c0, double c1, double d0, double d1, double eta) {
114     /*
115      * INPUT:  elements Ti = [a,b], Tj = [c,d] with a,b,c,d \in \R^2
116      * OUTPUT: Galerkin integral -1/(2pi) \int_{Tj} \int_{Ti} log|x-y| ds_y ds_x
117      */
118
119     double hi = (b0-a0)*(b0-a0) + (b1-a1)*(b1-a1); /* hi = norm(b-a)^2 */
120     double hj = (d0-c0)*(d0-c0) + (d1-c1)*(d1-c1); /* hj = norm(d-c)^2 */
121     double tmp;
122
123     /* For stability reasons, we guarantee  hj <= hi  to ensure that *
124      * outer integration is over smaller domain. This is done by *
125      * swapping Tj and Ti if necessary. *
126
127     if (hj > hi) {
128         tmp = a0; a0 = c0; c0 = tmp; /* swap a and c */
129         tmp = a1; a1 = c1; c1 = tmp;
130         tmp = b0; b0 = d0; d0 = tmp; /* swap b and d */
131         tmp = b1; b1 = d1; d1 = tmp;
132         tmp = hi; hi = hj; hj = tmp; /* ensure that hj <= hi */
133     }
134
135     if ( eta == 0 ) { /* compute all matrix entries analytically */
136
137         return computeVij_analytic(a0,a1, b0,b1, c0,c1, d0,d1);
138

```

```

139 }
140 else { /* compute admissible matrix entries semi-analytically */
141
142     if ( dist2(a0,a1,b0,b1,c0,c1,d0,d1) > eta*sqrt(hj) ) {
143         return computeVij_semianalytic(a0,a1, b0,b1, c0,c1, d0,d1);
144     }
145     else {
146         return computeVij_analytic(a0,a1, b0,b1, c0,c1, d0,d1);
147     }
148 }
149 }
150
151
152 /* ----- Galerkin-Element SLP (analytic computation) -----
153 */
154
155 double computeVij_analytic(double a0, double a1, double b0, double b1,
156                           double c0, double c1, double d0, double d1) {
157
158     /*
159     * INPUT:  elements  $T_i = [a,b]$ ,  $T_j = [c,d]$  with  $a,b,c,d \in \mathbb{R}^2$ 
160     * OUTPUT: Galerkin integral  $-1/(2\pi) \int_{T_j} \int_{T_i} \log|x-y| ds_y ds_x$ 
161     */
162
163     double hi = (b0-a0)*(b0-a0) + (b1-a1)*(b1-a1); /*  $hi = \text{norm}(b-a)^2$  */
164     double hj = (d0-c0)*(d0-c0) + (d1-c1)*(d1-c1); /*  $hj = \text{norm}(d-c)^2$  */
165     double tmp, val, det;
166     double x[2], y[2], z[2];
167     double zxp[2], zxm[2], zyp[2], zym[2];
168     double lambda, mu;
169
170     x[0] = 0.5*(b0 - a0);          /*  $x = (b-a)/2$  */
171     x[1] = 0.5*(b1 - a1);
172     y[0] = 0.5*(c0 - d0);          /*  $y = (c-d)/2$  */
173     y[1] = 0.5*(c1 - d1);
174     z[0] = 0.5*(a0 + b0 - c0 - d0); /*  $z = (a+b-c-d)/2$  */
175     z[1] = 0.5*(a1 + b1 - c1 - d1);
176
177     zxp[0] = z[0] + x[0];          /*  $zxp = z+x = (2b-c-d)/2$  */
178     zxp[1] = z[1] + x[1];
179     zxm[0] = z[0] - x[0];          /*  $zxm = z-x = (2a-c-d)/2$  */
180     zxm[1] = z[1] - x[1];
181     zyp[0] = z[0] + y[0];          /*  $zyp = z+y = (a+b-2d)/2$  */
182     zyp[1] = z[1] + y[1];
183     zym[0] = z[0] - y[0];          /*  $zym = z-y = (a+b-2c)/2$  */
184     zym[1] = z[1] - y[1];
185
186     /* There hold different recursion formulae if  $T_i$  and  $T_j$  *
187     * are parallel ( $\det = 0$ ) or not */
188
189     det = x[0]*y[1] - x[1]*y[0];
190
191     if ( fabs(det) <= EPS*sqrt(hi*hj) ) { /* case that  $T_i$  and  $T_j$  are parallel */
192
193         if ( fabs(x[0]) < fabs(x[1]) )
194             lambda = y[1] / x[1];
195         else
196             lambda = y[0] / x[0];
197
198         val = 0.5*( lambda * ( slpWrapper(1, y, zxm) - slpWrapper(1, y, zxp) )

```

```

199     + slpWrapper(0, x, zyp) + slpWrapper(0, x, zym) );
200 }
201
202 else { /* case that x and y are linearly independent */
203
204     lambda = (z[0]*y[1] - z[1]*y[0]) /det;
205     mu = (x[0]*z[1] - x[1]*z[0]) /det;
206
207     val = 0.25 * ( -8 + (lambda+1)*slpWrapper(0, y, zxp)
208                 - (lambda-1)*slpWrapper(0, y, zxm) + (mu+1)*slpWrapper(0, x, zyp)
209                 - (mu-1)*slpWrapper(0, x, zym) );
210 }
211
212 return -0.125*sqrt(hi*hj)*val /PI; /* = - 1/(2*PI) * |Ti|/2 * |Tj|/2 * val */
213 }
214
215
216 /* ----- Galerkin-Element SLP (semianalytic computation) ----- */
217
218
219 double computeVij_semianalytic(double a0, double a1, double b0, double b1,
220                               double c0, double c1, double d0, double d1) {
221
222     /*
223     * INPUT:  elements Ti = [a,b], Tj = [c,d] with a,b,c,d \in \R^2
224     * OUTPUT: approximate Galerkin integral -1/(2pi) \int_{Tj} \int_{Ti} log|x-y|
225     *         ds_y ds_x,
226     *         where outer integration is performed by Gaussian quadrature
227     */
228
229     int k;
230     double hi = (b0-a0)*(b0-a0) + (b1-a1)*(b1-a1); /* hi = norm(b-a)^2 */
231     double hj = (d0-c0)*(d0-c0) + (d1-c1)*(d1-c1); /* hj = norm(d-c)^2 */
232     double u[2], v[2];
233     double val = 0;
234     double sx0 = 0;
235     double sx1 = 0;
236
237     /* 16-point Gaussian quadrature on [-1,1] */
238     const order = 16;
239     const double wht[] = { 0.027152459411754, 0.062253523938648, 0.095158511682493,
240                          0.124628971255534, 0.149595988816577, 0.169156519395003,
241                          0.182603415044924, 0.189450610455069, 0.189450610455069,
242                          0.182603415044924, 0.169156519395003, 0.149595988816577,
243                          0.124628971255534, 0.095158511682492, 0.062253523938648,
244                          0.027152459411753 };
245     const double pt[] = { -0.989400934991650, -0.944575023073233, -0.865631202387832,
246                          -0.755404408355003, -0.617876244402644, -0.458016777657227,
247                          -0.281603550779259, -0.095012509837637, 0.095012509837637,
248                          0.281603550779259, 0.458016777657228, 0.617876244402644,
249                          0.755404408355003, 0.865631202387832, 0.944575023073232,
250                          0.989400934991650 };
251
252     u[0] = 0.5*(a0-b0);
253     u[1] = 0.5*(a1-b1);
254
255     for (k=0; k<order; ++k){
256         /* transformation of quadrature nodes from [-1,1] to [a,b] */
257         sx0 = ((1-pkt[k])*c0+(1+pkt[k])*d0)*0.5;
258         sx1 = ((1-pkt[k])*c1+(1+pkt[k])*d1)*0.5;
259     }
260 }

```

```

259     v[0] = sx0 - 0.5*(a0+b0);
260     v[1] = sx1 - 0.5*(a1+b1);
261
262     /* inner product wht*func(sx) */
263     val += wht[k]*slpWrapper(0, u, v);
264 }
265
266 return -0.0625*sqrt(hi*hj)*val /PI;
267 }
268
269
270 /* ----- SLP ----- */
271
272
273 double slpWrapper(int k, double u[2],double v[2]) {
274 /*
275  * INPUT: Vectors u,v \in \R^2, integer k
276  * OUTPUT: value of SLP-type integral
277  * \int_{-1}^{+1} s^k \log |s*u+v|^2 ds
278  */
279
280 double a = u[0]*u[0] + u[1]*u[1]; /* a = <u,u> */
281 double b = 2 * ( u[0]*v[0] + u[1]*v[1] ); /* b = 2 <u,v> */
282 double c = v[0]*v[0] + v[1]*v[1]; /* c = <v,v> */
283 return slp(k,a,b,c);
284 }
285
286
287 double slp(int k, double a, double b, double c) {
288 /*
289  * INPUT: scalars a,c>0 and b \in \R, integer k
290  * OUTPUT: value of SLP-type integral
291  * \int_{-1}^{+1} s^k \log |a*s^2+b*s+c| ds
292  */
293
294 double val;
295 double tmp;
296 double D;
297
298 /* Ensure that discriminant is either positive or zero */
299 tmp = 4*a*c - b*b; /* Note that by theory tmp >= 0 */
300 if (tmp > EPS*4*a*c)
301     D = sqrt(tmp);
302 else
303     D = 0;
304
305 /* The case k=0 */
306 if (D == 0) {
307     tmp = b + 2*a;
308     if (fabs(tmp) > EPS*a)
309         val = tmp * log( 0.25*tmp*tmp /a );
310     else
311         val = 0;
312     tmp = b - 2*a;
313     if (fabs(tmp) > EPS*a)
314         val -= tmp * log( 0.25*tmp*tmp /a );
315     val = 0.5*val /a - 4;
316 }
317 else { /* case D > 0 */
318     tmp = c - a;
319     if (fabs(tmp) < EPS*c)

```

```

320     val = 0.5*PI;
321     else if (a < c)
322         val = atan( D /tmp );
323     else
324         val = atan( D /tmp ) + PI;
325
326     val = ( 0.5*( (b+2*a) * log(a+b+c) - (b-2*a) * log(a-b+c) ) + D*val )/a - 4;
327 }
328
329 /* The case k=1 */
330 if (k==1) {
331     val = -b*(2+val);
332
333
334     tmp = a+b+c;
335     if (fabs(tmp) > EPS*a)
336         val += tmp * log(tmp);
337
338     tmp = a-b+c;
339     if (fabs(tmp) > EPS*a)
340         val -= tmp * log(tmp);
341
342     val /= (2*a);
343 }
344
345 return val;
346 }
347
348
349 /* ----- Dist(Ti,Tj) ----- */
350 /* The closest distance between two segments is either zero */
351 /* if they intersect or the distance from one of the lines' */
352 /* end points to the other line. "dist" first asks if the */
353 /* segments intersect. If they do, it returns zero. */
354 /* Otherwise the function calculates the shortest distance */
355 /* from the first segment's end points to the second segment */
356 /* and vice versa and returns the shortest distance. */
357 /* ----- */
358 double dist2(double a0, double a1, double b0, double b1,
359             double c0, double c1, double d0, double d1) {
360
361     double test;
362     double best = sqrt((a0-c0)*(a0-c0)+(a1-c1)*(a1-c1));
363     double val;
364
365     /* The only possibility that these two segments intersect: */
366     if ((fabs(a0-d0)<=EPS && fabs(a1-d1)<=EPS) ||
367         (fabs(b0-c0)<=EPS && fabs(b1-c1)<=EPS))
368         best=0;
369     /* If segments do not intersect: */
370     else{
371         /* Calculate the distance from A to segment [C,D]: */
372         test = ptoseg(a0, a1, c0, c1, d0, d1);
373         if ((test-best)<=EPS){
374             best = test;
375         }
376         /* Calculate the distance from B to segment [C,D]: */
377         test = ptoseg(b0, b1, c0, c1, d0, d1);
378         if ((test-best)<=EPS){
379             best = test;
380         }

```

```

381     /* Calculate the distance from C to segment [A,B]: */
382     test = ptoseg(c0, c1, a0, a1, b0, b1);
383     if ((test-best)<=EPS){
384         best = test;
385     }
386     /* Calculate the distance from D to segment [A,B]: */
387     test = ptoseg(d0, d1, a0, a1, b0, b1);
388     if ((test-best)<=EPS){
389         best = test;
390     }
391 }
392
393 return best;
394 }
395
396
397 /* ----- ptoseg ----- */
398 /* This function treats the segment as a parameterized */
399 /* vector where the parameter t varies from 0 to 1. */
400 /* It finds the value of t that minimizes the distance */
401 /* from the point to the line. If t is between 0.0 and */
402 /* 1.0, then the closest point lies on the segment, */
403 /* otherwise the closest point is one of the segment's */
404 /* end points. The program finds this closest point */
405 /* and calculates the distance between it and the */
406 /* target point. */
407 /* ----- */
408 double ptoseg(double p0, double p1, double a0, double a1, double b0, double b1){
409
410     double t, tmp1, tmp2;
411     double val;
412
413     tmp1 = b0-a0;
414     tmp2 = b1-a1;
415
416     if (tmp1<=EPS && tmp2<=EPS){
417         tmp1 = p0-a0;
418         tmp2 = p1-a1;
419     }
420     else{
421         t = ((p0-a0)*(b0-a0)+(p1-a1)*(b1-a1))/((b0-a0)*(b0-a0)+(b1-a1)*(b1-a1));
422
423         if (t<=EPS){
424             tmp1 = p0-a0;
425             tmp2 = p1-a1;
426         }
427         else if ((1-t)<=EPS){
428             tmp1 = p0-b0;
429             tmp2 = p1-b1;
430         }
431         else{
432             tmp1 = p0 - a0 - t*tmp1;
433             tmp2 = p1 - a1 - t*tmp2;
434         }
435     }
436     val = sqrt(tmp1*tmp1 + tmp2*tmp2);
437     return val;
438 }

```

A.3.2 Doppelschichtpotential

```

1 /* *****
2 * Compute Galerkin-Matrix for K and S1xP0
3 * K_kj = < K phi_j , chi_k >
4 * with chi characteristic and phi affine functions
5 * *****
6 * Kg = -1/(2pi) \int_Gamma <y-x,n(y)>/|x-y|^2 g(y) ds_y
7 * ***** */
8
9 #include <math.h>
10 #include "mex.h"
11
12 #define EPS 1e-12
13 #define PI 3.141592653589793116
14
15 void mexFunction(int nlhs, mxArray* plhs[], int nrhs, const mxArray* prhs[]);
16
17 void computeKij(double* val0, double* val1,
18                double a0, double a1, double b0, double b1,
19                double c0, double c1, double d0, double d1, double eta);
20 void computeKij_analytic(double* I0, double* I1,
21                          double a0, double a1, double b0, double b1,
22                          double c0, double c1, double d0, double d1);
23 void computeKijT_analytic(double* I0, double* I1,
24                            double a0, double a1, double b0, double b1,
25                            double c0, double c1, double d0, double d1);
26 void computeKij_semianalytic(double* I0, double* I1,
27                               double a0, double a1, double b0, double b1,
28                               double c0, double c1, double d0, double d1);
29 void computeKijT_semianalytic(double* I0, double* I1,
30                                double a0, double a1, double b0, double b1,
31                                double c0, double c1, double d0, double d1);
32
33 double dlpWrapper(int k, double u[2], double v[2]);
34 double dlp(int k, double a, double b, double c);
35
36 double ptoseg(double p0, double p1, double a0, double a1, double b0, double b1);
37 double dist2(double a0, double a1, double b0, double b1,
38              double c0, double c1, double d0, double d1);
39
40
41
42 /* ----- MEX interface ----- */
43
44 void mexFunction(int nlhs, mxArray* plhs[], int nrhs, const mxArray* prhs[]) {
45
46     const char* functionName = mexFunctionName();
47     char errorMessage[255];
48     int nC, nE;
49     int i, j;
50     double* K;
51     double* elements;
52     double* coordinates;
53     double* ptr;
54     double eta;
55     double a0,a1, b0,b1, c0,c1, d0,d1;
56     int aidx, bidx, cidx, didx;
57     double I0, I1;
58     double linetest1, linetest2;
59

```

```

60  if (nlhs != 1) {
61      sprintf(errorMessage,"Use either K = %s(coordinates,elements)\n          or K = %s
        (coordinates,elements,eta).",
62          functionName,functionName);
63      mexErrMsgTxt(errorMessage);
64  }
65
66  if ((nrhs != 2) && (nrhs != 3) ) {
67      sprintf(errorMessage,"Use either K = %s(coordinates,elements)\n          or K = %s
        (coordinates,elements,eta).",
68          functionName,functionName);
69      mexErrMsgTxt(errorMessage);
70  }
71
72
73  /* Read input data */
74  coordinates = mxGetPr(prhs[0]);
75  nC = mxGetM(prhs[0]);          /* number of nodes */
76
77  elements = mxGetPr(prhs[1]);
78  nE = mxGetM(prhs[1]);          /* number of elements */
79
80  if (nrhs == 3) {
81      ptr = mxGetPr(prhs[2]);
82      eta = *ptr;
83  }
84  else {
85      eta = 0.;
86  }
87
88  /* Allocate output data and initialize with zeros*/
89  plhs[0] = mxCreateDoubleMatrix(nE,nC,mxREAL);
90  K = mxGetPr(plhs[0]);
91
92  /* Fill matrix K */
93  for (j=0; j<nE; ++j) {
94
95      cidx = (int) elements[j]-1;          /* 1st node of element Tj = [c,d] */
96      c0 = coordinates[cidx];
97      c1 = coordinates[cidx+nC];
98
99      didx = (int) elements[j+nE]-1;      /* 2nd node of element Tj = [c,d] */
100     d0 = coordinates[didx];
101     d1 = coordinates[didx+nC];
102
103     for (i=0; i<nE; ++i) {
104
105         aidx = (int) elements[i]-1;      /* 1st node of element Ti = [a,b] */
106         a0 = coordinates[aidx];
107         a1 = coordinates[aidx+nC];
108
109         bidx = (int) elements[i+nE]-1;  /* 2nd node of element Ti = [a,b] */
110         b0 = coordinates[bidx];
111         b1 = coordinates[bidx+nC];
112
113         /* if two intervals are in line the scalar-product with */
114         /* the normal vector is zero */
115         /* --> double-layer-potential is zero! */
116         /* this is tested beneath and in this case nothing */
117         /* should be calculated! */
118         linetest1 = fabs( (a0+b0-2*c0)*(b1-a1)-(a1+b1-2*c1)*(b0-a0) );

```

```

119     linetest2 = fabs( (a0+b0-2*d0)*(b1-a1)-(a1+b1-2*d1)*(b0-a0) );
120
121     if ( linetest1 > EPS || linetest2 > EPS ) {
122         computeKij(&I0,&I1, a0,a1,b0,b1, c0,c1,d0,d1,eta);
123         K[j+aidx*nE] += I0 - I1;
124         K[j+bidx*nE] += I0 + I1;
125     }
126 }
127 }
128
129 }
130
131
132 /* ----- WRAPPER: Double Integrals for DLP ----- */
133
134 void computeKij(double* I0, double* I1,
135               double a0, double a1, double b0, double b1,
136               double c0, double c1, double d0, double d1,
137               double eta) {
138     /*
139     * INPUT: elements  $T_i = [a,b]$ ,  $T_j = [c,d]$  with  $a,b,c,d \in \mathbb{R}^2$ 
140     * OUTPUT: Galerkin integral
141     *           $-1/(2\pi) \int_{T_j} \int_{T_i} 1/2 \langle y-x, n(y) \rangle / |x-y|^2 \phi(y) ds_y ds_x$ 
142     *           $\int_{\gamma} \phi(t) dt$  in  $[-1,1]$ :  $\int_{\gamma} \phi(t) dt = 1/2 + 1/2t$ 
143     *          resp.  $\int_{\gamma} \phi(t) dt = 1/2 - 1/2t$ 
144     *          thus  $\phi$  is the hat function on  $[-1,1]$ ,
145     *          resp.  $\phi$  is the hat function on  $T_i$ 
146     */
147
148     double hi = (b0-a0)*(b0-a0) + (b1-a1)*(b1-a1); /*  $hi = \text{norm}(b-a)^2$  */
149     double hj = (d0-c0)*(d0-c0) + (d1-c1)*(d1-c1); /*  $hj = \text{norm}(d-c)^2$  */
150     int swap;
151
152     /* For stability reasons, we guarantee  $hj \leq hi$  to ensure that *
153     * outer integration is over smaller domain. This is done by *
154     * swapping  $T_j$  and  $T_i$  if necessary. */
155     if ( (hj-hi)/hj > EPS )
156         swap = 1;
157     else
158         swap = 0;
159
160     if (eta == 0) { /* compute all matrix entries analytically */
161
162         if (swap == 0)
163             computeKij_analytic(I0,I1, a0,a1, b0,b1, c0,c1, d0,d1);
164         else
165             computeKijT_analytic(I0,I1, a0,a1, b0,b1, c0,c1, d0,d1);
166     }
167     else { /* compute admissible matrix entries semi-analytically */
168
169         if ( dist2(a0,a1,b0,b1,c0,c1,d0,d1) > eta*sqrt(hj) ) {
170             if (swap == 0)
171                 computeKij_semianalytic(I0,I1, a0,a1, b0,b1, c0,c1, d0,d1);
172             else
173                 computeKijT_semianalytic(I0,I1, a0,a1, b0,b1, c0,c1, d0,d1);
174         }
175         else {
176             if (swap == 0)
177                 computeKij_analytic(I0,I1, a0,a1, b0,b1, c0,c1, d0,d1);
178             else
179                 computeKijT_analytic(I0,I1, a0,a1, b0,b1, c0,c1, d0,d1);

```

```

180     }
181   }
182 }
183
184
185 /* ----- Double Integrals for DLP: analytic, no swap ----- */
186
187 void computeKij_analytic(double* I0, double* I1,
188                        double a0, double a1, double b0, double b1,
189                        double c0, double c1, double d0, double d1) {
190   /*
191    * INPUT:  elements  $T_i = [a,b]$ ,  $T_j = [c,d]$  with  $a,b,c,d \in \mathbb{R}^2$ 
192    * OUTPUT: Galerkin integral
193    *           $-1/(2\pi) \int_{T_j} \int_{T_i} 1/2 \langle y-x, n(y) \rangle / |x-y|^2 \phi(y) ds_y ds_x$ 
194    *           $\gamma(\phi(t)) \in [-1,1]: \gamma(\phi(t)) = 1/2 + 1/2t$ 
195    *          resp.  $\gamma(\phi(t)) = 1/2 - 1/2t$ 
196    *          thus  $\phi(\gamma)$  is the hat function on  $[-1,1]$ ,
197    *          resp.  $\phi$  is the hat function on  $T_i$ 
198    */
199
200   double hi = (b0-a0)*(b0-a0) + (b1-a1)*(b1-a1); /*  $hi = \text{norm}(b-a)^2$  */
201   double hj = (d0-c0)*(d0-c0) + (d1-c1)*(d1-c1); /*  $hj = \text{norm}(d-c)^2$  */
202   double det;
203   double n[2];
204   double x[2], y[2], z[2];
205   double zxp[2], zxm[2], zyp[2], zym[2];
206   double yn, zn, zypn, zymn;
207   double lambda, mu;
208
209   /*  $n = n_y$  normale vector */
210   n[0] = ( b1-a1 ) / sqrt(hi);
211   n[1] = ( a0-b0 ) / sqrt(hi);
212
213   x[0] = b0 - a0; /*  $x = b-a$  */
214   x[1] = b1 - a1;
215   y[0] = c0 - d0; /*  $y = c-d$  */
216   y[1] = c1 - d1;
217   z[0] = a0 + b0 - c0 - d0; /*  $z = a+b-c-d$  */
218   z[1] = a1 + b1 - c1 - d1;
219
220   zxp[0] = z[0] + x[0]; /*  $zxp = z+x = 2b-c-d$  */
221   zxp[1] = z[1] + x[1];
222   zxm[0] = z[0] - x[0]; /*  $zxm = z-x = 2a-c-d$  */
223   zxm[1] = z[1] - x[1];
224   zyp[0] = z[0] + y[0]; /*  $zyp = z+y = a+b-2d$  */
225   zyp[1] = z[1] + y[1];
226   zym[0] = z[0] - y[0]; /*  $zym = z-y = a+b-2c$  */
227   zym[1] = z[1] - y[1];
228
229   yn = y[0]*n[0]+y[1]*n[1]; /*  $yn = \langle y, n \rangle$  */
230   zn = z[0]*n[0]+z[1]*n[1]; /*  $zn = \langle z, n \rangle$  */
231   zypn = zyp[0]*n[0]+zyp[1]*n[1]; /*  $zypn = \langle z+y, n \rangle = \langle a+b-2d, n \rangle$  */
232   zymn = zym[0]*n[0]+zym[1]*n[1]; /*  $zymn = \langle z-y, n \rangle = \langle a+b-2c, n \rangle$  */
233
234   /* There hold different recursion formulae if  $T_i$  and  $T_j$  *
235    * are parallel ( $\det = 0$ ) or not */
236   det = x[0]*y[1] - x[1]*y[0];
237
238   /* case that  $x$  and  $y$  are linearly dependent, i.e.,  $T_i$  and  $T_j$  are parallel */
239   if ( fabs(det) <= EPS*sqrt(hi*hj) ) {
240

```

```

241     if ( fabs(y[0]) < fabs(y[1]) )
242         lambda = x[1] / y[1];
243     else
244         lambda = x[0] / y[0];
245
246     *I0 = zn * ( dlpWrapper(0, y, zxp) + dlpWrapper(0, y, zxm)
247               - lambda * dlpWrapper(1, x, zyp) + lambda * dlpWrapper(1, x, zym) );
248
249     *I1 = 0.5 * zn * ( dlpWrapper(0, y, zxp) - dlpWrapper(0, y, zxm)
250                   - lambda * dlpWrapper(2, x, zyp) + lambda * dlpWrapper(2, x, zym) );
251 }
252
253 else { /* case that x and y are linearly independent */
254
255     /* if intervals are in touch recursion formulae reduce */
256     if (b0==c0 && b1==c1) {
257
258         *I0 = 2 * ( zypn * dlpWrapper(0, x, zyp) + yn * dlpWrapper(1, y, zxm)
259                 + zn * dlpWrapper(0, y, zxm) );
260
261         *I1 = 0.5 * ( 2 * zypn * dlpWrapper(1, x, zyp)
262                   - 2 * yn * dlpWrapper(1, y, zxm) - 2 * zn * dlpWrapper(0, y, zxm) + *I0 );
263     }
264
265     else if (a0==d0 && a1==d1) {
266
267         *I0 = 2 * ( zymn * dlpWrapper(0, x, zym) + yn * dlpWrapper(1, y, zxp)
268                 + zn * dlpWrapper(0, y, zxp) );
269
270         *I1 = 0.5 * ( 2 * zymn * dlpWrapper(1, x, zym)
271                   + 2 * yn * dlpWrapper(1, y, zxp) + 2 * zn * dlpWrapper(0, y, zxp) - *I0 );
272     }
273
274     else {
275
276         lambda = (z[0]*y[1] - z[1]*y[0]) /det;
277         mu = (x[0]*z[1] - x[1]*z[0]) /det;
278
279         *I0 = (mu+1) * zypn * dlpWrapper(0, x, zyp)
280               - (mu-1) * zymn * dlpWrapper(0, x, zym)
281               + (lambda+1) * yn * dlpWrapper(1, y, zxp)
282               + (lambda+1) * zn * dlpWrapper(0, y, zxp)
283               - (lambda-1) * yn * dlpWrapper(1, y, zxm)
284               - (lambda-1) * zn * dlpWrapper(0, y, zxm);
285
286         *I1 = 0.5 * ( (mu+1) * zypn * dlpWrapper(1, x, zyp)
287                   - (mu-1) * zymn * dlpWrapper(1, x, zym)
288                   + (lambda+1) * yn * dlpWrapper(1, y, zxp)
289                   + (lambda+1) * zn * dlpWrapper(0, y, zxp)
290                   + (lambda-1) * yn * dlpWrapper(1, y, zxm)
291                   + (lambda-1) * zn * dlpWrapper(0, y, zxm)
292                   - lambda * *I0 );
293     }
294 }
295
296 *I0 *= -0.125 * sqrt(hi*hj) / PI; /* = - 1/(2*PI) * |Ti|/2 * |Tj|/2 * I0 */
297 *I1 *= -0.125 * sqrt(hi*hj) / PI; /* = - 1/(2*PI) * |Ti|/2 * |Tj|/2 * I1 */
298 }
299
300
301 /* ----- Double Integrals for DLP: analytic, swap ----- */

```

```

302
303 void computeKijT_analytic(double* I0, double* I1,
304                          double a0, double a1, double b0, double b1,
305                          double c0, double c1, double d0, double d1) {
306 /*
307  * INPUT: elements  $T_i = [a, b]$ ,  $T_j = [c, d]$  with  $a, b, c, d \in \mathbb{R}^2$ 
308  * OUTPUT: Galerkin integral
309  *  $-1/(2\pi) \int_{T_j} \int_{T_i} 1/2 \langle y-x, n(y) \rangle / |x-y|^2 \phi(y) ds_y ds_x$ 
310  *  $\int_{\gamma(\phi(t)) \in [-1, 1]} \gamma(\phi(t)) = 1/2 + 1/2t$ 
311  *  $\text{resp. } \int_{\gamma(\phi(t))} = 1/2 - 1/2t$ 
312  *  $\text{thus } \phi(\gamma)$  is the hat function on  $[-1, 1]$ ,
313  *  $\text{resp. } \phi$  is the hat function on  $T_i$ 
314  */
315
316 double hi = (b0-a0)*(b0-a0) + (b1-a1)*(b1-a1); /* hi = norm(b-a)^2 */
317 double hj = (d0-c0)*(d0-c0) + (d1-c1)*(d1-c1); /* hj = norm(d-c)^2 */
318 double det;
319 double n[2];
320 double x[2], y[2], z[2];
321 double zxp[2], zxm[2], zyp[2], zym[2];
322 double xn, zn, zxp_n, zxm_n;
323 double lambda, mu;
324
325 /* n = n_y normale vector */
326 n[0] = ( b1-a1 ) / sqrt(hi);
327 n[1] = ( a0-b0 ) / sqrt(hi);
328
329 x[0] = c0 - d0; /* x = c-d */
330 x[1] = c1 - d1;
331 y[0] = b0 - a0; /* y = b-a */
332 y[1] = b1 - a1;
333 z[0] = a0 + b0 - c0 - d0; /* z = a+b-c-d */
334 z[1] = a1 + b1 - c1 - d1;
335
336 zxp[0] = z[0] + x[0]; /* zxp = z+x = a+b-2d */
337 zxp[1] = z[1] + x[1];
338 zxm[0] = z[0] - x[0]; /* zxm = z-x = a+b-2c */
339 zxm[1] = z[1] - x[1];
340 zyp[0] = z[0] + y[0]; /* zyp = z+y = 2b-c-d */
341 zyp[1] = z[1] + y[1];
342 zym[0] = z[0] - y[0]; /* zym = z-y = 2a-c-d */
343 zym[1] = z[1] - y[1];
344
345 xn = x[0]*n[0]+x[1]*n[1]; /* yn = <y,n> */
346 zn = z[0]*n[0]+z[1]*n[1]; /* zn = <z,n> */
347 zxp_n = zxp[0]*n[0]+zxp[1]*n[1]; /* zxp_n = <z+x,n> = <a+b,n> */
348 zxm_n = zxm[0]*n[0]+zxm[1]*n[1]; /* zxm_n = <z-x,n> = <a+b-2c,n> */
349
350
351 /* There hold different recursion formulae if  $T_i$  and  $T_j$  *
352  * are parallel (det = 0) or not */
353 det = x[0]*y[1] - x[1]*y[0];
354
355 /* case that x and y are linearly dependent, i.e.,  $T_i$  and  $T_j$  are parallel */
356 if ( fabs(det) <= EPS*sqrt(hi*hj) ) {
357
358     if ( fabs(y[0]) < fabs(y[1]) )
359         lambda = x[1] / y[1];
360     else
361         lambda = x[0] / y[0];
362

```

```

363     *I0 = zn * ( dlpWrapper(0, y, zxp) + dlpWrapper(0, y, zxm)
364             - lambda * dlpWrapper(1, x, zyp) + lambda * dlpWrapper(1, x, zym) );
365
366     *I1 = zn * ( dlpWrapper(1, y, zxp) + dlpWrapper(1, y, zxm)
367             - lambda * dlpWrapper(1, x, zyp) - lambda * dlpWrapper(1, x, zym)
368             + 0.5* lambda * ( dlpWrapper(0, y, zxp) - dlpWrapper(0, y, zxm)
369             - lambda * dlpWrapper(2, x, zyp) + lambda * dlpWrapper(2, x, zym) ) );
370 }
371
372 else { /* case that x and y are linearly independent */
373
374     /* if intervals are in touch recursion formulae reduce */
375     if (b0==c0 && b1==c1) {
376
377         *I0 = 2 * ( zxp * dlpWrapper(0, y, zxp) + xn * dlpWrapper(1, x, zym)
378             + zn * dlpWrapper(0, x, zym) );
379
380         *I1 = 0.5 * ( 2 * zxp * dlpWrapper(1, y, zxp)
381             - 2 * xn * dlpWrapper(1, x, zym) - 2 * zn * dlpWrapper(0, x, zym) + *I0 );
382     }
383
384     else if (a0==d0 && a1==d1) {
385
386         *I0 = 2 * ( zxm * dlpWrapper(0, y, zxm) + xn * dlpWrapper(1, x, zyp)
387             + zn * dlpWrapper(0, x, zyp) );
388
389         *I1 = 0.5 * ( 2 * zxm * dlpWrapper(1, y, zxm)
390             + 2 * xn * dlpWrapper(1, x, zyp) + 2 * zn * dlpWrapper(0, x, zyp) - *I0 );
391     }
392
393     else {
394
395         mu = (z[0]*y[1] - z[1]*y[0]) /det;
396         lambda = (x[0]*z[1] - x[1]*z[0]) /det;
397
398         *I0 = (mu+1) * zxp * dlpWrapper(0, y, zxp)
399             - (mu-1) * zxm * dlpWrapper(0, y, zxm)
400             + (lambda+1) * xn * dlpWrapper(1, x, zyp)
401             + (lambda+1) * zn * dlpWrapper(0, x, zyp)
402             - (lambda-1) * xn * dlpWrapper(1, x, zym)
403             - (lambda-1) * zn * dlpWrapper(0, x, zym);
404
405         *I1 = 0.5 * ( (mu+1) * zxp * dlpWrapper(1, y, zxp)
406             - (mu-1) * zxm * dlpWrapper(1, y, zxm)
407             + (lambda+1) * xn * dlpWrapper(1, x, zyp)
408             + (lambda+1) * zn * dlpWrapper(0, x, zyp)
409             + (lambda-1) * xn * dlpWrapper(1, x, zym)
410             + (lambda-1) * zn * dlpWrapper(0, x, zym)
411             - lambda * *I0 );
412     }
413 }
414
415 *I0 *= -0.125 * sqrt(hi*hj) / PI;
416 *I1 *= -0.125 * sqrt(hi*hj) / PI;
417 }
418
419
420 /* ----- Double Integrals for DLP: semianalytic, no swap ----- */
421
422 void computeKij_semianalytic(double* I0, double* I1,
423                             double a0, double a1, double b0, double b1,

```

```

424             double c0, double c1, double d0, double d1) {
425 /*
426  * INPUT:  elements  $T_i = [a,b]$ ,  $T_j = [c,d]$  with  $a,b,c,d \in \mathbb{R}^2$ 
427  * OUTPUT: Galerkin integral
428  *          $-1/(2\pi) \int_{T_j} \int_{T_i} 1/2 \langle y-x, n(y) \rangle / |x-y|^2 \phi(y) ds_y ds_x$ 
429  *          $\int_{\gamma(\phi(t)) \in [-1,1]} \gamma(\phi(t)) = 1/2 + 1/2t$ 
430  *         resp.  $\int_{\gamma(\phi(t))} = 1/2 - 1/2t$ 
431  *         thus  $\phi(\gamma)$  is the hat function on  $[-1,1]$ ,
432  *         resp.  $\phi$  is the hat function on  $T_i$ 
433  */
434
435 int i;
436 double hi = (b0-a0)*(b0-a0) + (b1-a1)*(b1-a1); /* hi = norm(b-a)^2 */
437 double hj = (d0-c0)*(d0-c0) + (d1-c1)*(d1-c1); /* hj = norm(d-c)^2 */
438 double n[2];
439 double x[2], y[2], z[2];
440 double v[2];
441 double vn;
442 double I0tmp = 0., I1tmp = 0.;
443
444 /* 16-point Gaussian quadrature on [-1,1] */
445 const order = 16;
446 const double wht[] = { 0.027152459411754, 0.062253523938648, 0.095158511682493,
447                       0.124628971255534, 0.149595988816577, 0.169156519395003,
448                       0.182603415044924, 0.189450610455069, 0.189450610455069,
449                       0.182603415044924, 0.169156519395003, 0.149595988816577,
450                       0.124628971255534, 0.095158511682492, 0.062253523938648,
451                       0.027152459411753 };
452 const double pt[] = { -0.989400934991650, -0.944575023073233, -0.865631202387832,
453                      -0.755404408355003, -0.617876244402644, -0.458016777657227,
454                      -0.281603550779259, -0.095012509837637, 0.095012509837637,
455                      0.281603550779259, 0.458016777657228, 0.617876244402644,
456                      0.755404408355003, 0.865631202387832, 0.944575023073232,
457                      0.989400934991650 };
458
459 /* n = n_y normale vector */
460 n[0] = ( b1-a1 ) / sqrt(hi);
461 n[1] = ( a0-b0 ) / sqrt(hi);
462
463 x[0] = b0 - a0;          /* x = b-a */
464 x[1] = b1 - a1;
465 y[0] = c0 - d0;          /* y = c-d */
466 y[1] = c1 - d1;
467 z[0] = a0 + b0 - c0 - d0; /* z = a+b-c-d */
468 z[1] = a1 + b1 - c1 - d1;
469
470
471 for (i=0; i<order; ++i) {
472
473     v[0] = pt[i] * y[0] + z[0];
474     v[1] = pt[i] * y[1] + z[1];
475
476     vn = v[0]*n[0]+v[1]*n[1];
477
478     I0tmp += wht[i] * vn * dlpWrapper(0, x, v);
479     I1tmp += wht[i] * vn * dlpWrapper(1, x, v);
480 }
481
482 *I0 = -0.125 * sqrt(hi*hj) * I0tmp / PI;
483 *I1 = -0.125 * sqrt(hi*hj) * I1tmp / PI;
484 }

```

```

485
486
487 /* ----- Double Integrals for DLP: semianalytic, swap ----- */
488
489 void computeKijT_semianalytic(double* I0, double* I1,
490                               double a0, double a1, double b0, double b1,
491                               double c0, double c1, double d0, double d1) {
492 /*
493  * INPUT: elements  $T_i = [a, b]$ ,  $T_j = [c, d]$  with  $a, b, c, d \in \mathbb{R}^2$ 
494  * OUTPUT: Galerkin integral
495  *           $-1/(2\pi) \int_{T_j} \int_{T_i} 1/2 \langle y-x, n(y) \rangle / |x-y|^2 \hat{\phi}(y) ds_y ds_x$ 
496  *           $\int_{\gamma(\phi(t)) \in [-1, 1]} \gamma(\phi(t)) = 1/2 + 1/2t$ 
497  *          resp.  $\int_{\gamma(\phi(t))} = 1/2 - 1/2t$ 
498  *          thus  $\hat{\phi}(\gamma)$  is the hat function on  $[-1, 1]$ ,
499  *          resp.  $\hat{\phi}$  is the hat function on  $T_i$ 
500  */
501
502 int i;
503 double hi = (b0-a0)*(b0-a0) + (b1-a1)*(b1-a1); /*  $hi = \text{norm}(b-a)^2$  */
504 double hj = (d0-c0)*(d0-c0) + (d1-c1)*(d1-c1); /*  $hj = \text{norm}(d-c)^2$  */
505 double n[2];
506 double x[2], y[2], z[2];
507 double v[2];
508 double xn, zn;
509 double I0tmp = 0., I1tmp = 0.;
510
511 /* 16-point Gaussian quadrature on  $[-1, 1]$  */
512 const order = 16;
513 const double wht[] = { 0.027152459411754, 0.062253523938648, 0.095158511682493,
514                       0.124628971255534, 0.149595988816577, 0.169156519395003,
515                       0.182603415044924, 0.189450610455069, 0.189450610455069,
516                       0.182603415044924, 0.169156519395003, 0.149595988816577,
517                       0.124628971255534, 0.095158511682492, 0.062253523938648,
518                       0.027152459411753 };
519 const double pt[] = { -0.989400934991650, -0.944575023073233, -0.865631202387832,
520                      -0.755404408355003, -0.617876244402644, -0.458016777657227,
521                      -0.281603550779259, -0.095012509837637, 0.095012509837637,
522                      0.281603550779259, 0.458016777657228, 0.617876244402644,
523                      0.755404408355003, 0.865631202387832, 0.944575023073232,
524                      0.989400934991650 };
525
526 /*  $n = n_y$  normale vector */
527 n[0] = ( b1-a1 ) / sqrt(hi);
528 n[1] = ( a0-b0 ) / sqrt(hi);
529
530 x[0] = c0 - d0; /*  $x = c-d$  */
531 x[1] = c1 - d1;
532 y[0] = b0 - a0; /*  $y = b-a$  */
533 y[1] = b1 - a1;
534 z[0] = a0 + b0 - c0 - d0; /*  $z = a+b-c-d$  */
535 z[1] = a1 + b1 - c1 - d1;
536
537 xn = x[0]*n[0]+x[1]*n[1];
538 zn = z[0]*n[0]+z[1]*n[1];
539
540
541 for (i=0; i<order; ++i) {
542
543     v[0] = pt[i] * y[0] + z[0];
544     v[1] = pt[i] * y[1] + z[1];
545

```

```

546     I0tmp += wht[i] * ( xn * dlpWrapper(1, x, v) + zn * dlpWrapper(0,x,v) );
547     I1tmp += wht[i] * pt[i] * ( xn * dlpWrapper(1, x, v) + zn * dlpWrapper(0,x,v));
548 }
549
550 *I0 = -0.125 * sqrt(hi*hj) * I0tmp / PI;
551 *I1 = -0.125 * sqrt(hi*hj) * I1tmp / PI;
552
553 }
554
555 /* ----- DLP ----- */
556
557 double dlpWrapper(int k, double u[2], double v[2]) {
558
559     /*
560     * INPUT: Vectors u,v,w \in \R^2, integer k
561     * OUTPUT: value of DLP-type integral
562     *         \int_{-1}^{+1} t^k 1 / |t*u+v|^2 dt
563     */
564
565     double a = u[0]*u[0] + u[1]*u[1];          /* a = <u,u> */
566     double b = 2 * ( u[0]*v[0] + u[1]*v[1] ); /* b = 2 <u,v> */
567     double c = v[0]*v[0] + v[1]*v[1];          /* c = <v,v> */
568     return dlp(k,a,b,c);
569 }
570
571
572 double dlp(int k, double a, double b, double c) {
573     /*
574     * INPUT: scalars a,c>0 and b \in \R, integer k
575     * OUTPUT: value of DLP-type integral
576     *         \int_{-1}^{+1} t^k 1 / (a*t^2+b*t+c) dt
577     */
578
579
580     double val, val0, val1, val2;
581     double tmp;
582     double D;
583
584     /* Ensure that discriminant is either positive or zero */
585     tmp = 4*a*c - b*b; /* Note that by theory tmp >= 0 */
586
587     if (tmp > EPS * 4*a*c)
588         D = sqrt(tmp);
589     else
590         D = 0;
591
592     /* The case k=0 */
593     if (D == 0)
594     {
595         val0 = 2 / ( c - a );
596     }
597     else { /* also D > 0 */
598         tmp = c - a;
599         if (fabs(tmp) < EPS * fabs(c))
600             val0 = 0.5*PI;
601         else if (a < c)
602             val0 = atan( D /tmp );
603         else
604             val0 = atan( D /tmp ) + PI;
605         val0 *= 2/D;
606     }

```

```

607 val = val0;
608
609 /* The case k=1 */
610 if (k>=1) {
611     val1 = -b*val0;
612
613     tmp = a+b+c;
614     if (fabs(tmp) > EPS*fabs(a))
615         val1 += log(tmp);
616
617     tmp = a-b+c;
618     if (fabs(tmp) > EPS*fabs(a))
619         val1 -= log(tmp);
620
621     val1 /= (2*a);
622     val = val1;
623 }
624
625 /* The case k=2 */
626 if (k==2) {
627     val2 = ( 2 - b * val1 - c * val0 ) / a;
628     val = val2;
629 }
630
631 return val;
632 }
633
634 /* ----- Dist(Ti,Tj) ----- */
635 /* The closest distance between two segments is either zero */
636 /* if they intersect or the distance from one of the lines' */
637 /* end points to the other line. "dist" first asks if the */
638 /* segments intersect. If they do, it returns zero. */
639 /* Otherwise the function calculates the shortest distance */
640 /* from the first segment's end points to the second segment */
641 /* and vice versa and returns the shortest distance. */
642 /* ----- */
643 double dist2(double a0, double a1, double b0, double b1,
644             double c0, double c1, double d0, double d1) {
645
646     double test;
647     double best = sqrt((a0-c0)*(a0-c0)+(a1-c1)*(a1-c1));
648     double val;
649
650     /* The only possibility that these two segments intersect: */
651     if ((fabs(a0-d0)<=EPS && fabs(a1-d1)<=EPS) ||
652         (fabs(b0-c0)<=EPS && fabs(b1-c1)<=EPS))
653         best=0;
654     /* If segments do not intersect: */
655     else{
656         /* Calculate the distance from A to segment [C,D]: */
657         test = ptoseg(a0, a1, c0, c1, d0, d1);
658         if ((test-best)<=EPS){
659             best = test;
660         }
661         /* Calculate the distance from B to segment [C,D]: */
662         test = ptoseg(b0, b1, c0, c1, d0, d1);
663         if ((test-best)<=EPS){
664             best = test;
665         }
666         /* Calculate the distance from C to segment [A,B]: */
667         test = ptoseg(c0, c1, a0, a1, b0, b1);

```

```

668     if ((test-best)<=EPS){
669         best = test;
670     }
671     /* Calculate the distance from D to segment [A,B]: */
672     test = ptoseg(d0, d1, a0, a1, b0, b1);
673     if ((test-best)<=EPS){
674         best = test;
675     }
676 }
677
678 return best;
679 }
680
681
682 /* ----- ptoseg ----- */
683 /* This function treats the segment as a parameterized */
684 /* vector where the parameter t varies from 0 to 1. */
685 /* It finds the value of t that minimizes the distance */
686 /* from the point to the line. If t is between 0.0 and */
687 /* 1.0, then the closest point lies on the segment, */
688 /* otherwise the closest point is one of the segment's */
689 /* end points. The program finds this closest point */
690 /* and calculates the distance between it and the */
691 /* target point. */
692 /* ----- */
693 double ptoseg(double p0, double p1, double a0, double a1, double b0, double b1){
694
695     double t, tmp1, tmp2;
696     double val;
697
698     tmp1 = b0-a0;
699     tmp2 = b1-a1;
700
701     if (tmp1<=EPS && tmp2<=EPS){
702         tmp1 = p0-a0;
703         tmp2 = p1-a1;
704     }
705     else{
706         t = ((p0-a0)*(b0-a0)+(p1-a1)*(b1-a1))/((b0-a0)*(b0-a0)+(b1-a1)*(b1-a1));
707
708         if (t<=EPS){
709             tmp1 = p0-a0;
710             tmp2 = p1-a1;
711         }
712         else if ((1-t)<=EPS){
713             tmp1 = p0-b0;
714             tmp2 = p1-b1;
715         }
716         else{
717             tmp1 = p0 - a0 - t*tmp1;
718             tmp2 = p1 - a1 - t*tmp2;
719         }
720     }
721     val = sqrt(tmp1*tmp1 + tmp2*tmp2);
722     return val;
723 }

```

A.4 Fehlerschätzer

A.4.1 Datenfehlerschätzer

```

1  function val = data_error_estimator(coordinates,elements)
2
3  % computes  $\| h^{(1/2)}*(1-PI_h) dg/ds \| (L_2)$ 
4
5  val = zeros(length(elements),1);
6
7  % computes  $h^{(-1)}*\| g_{hat} - g_{h\_hat} \|^2(L_2)$ 
8  %  $g_{h\_hat}$ : nodale interpolation of g
9  %  $g_{hat}$ : approximative calculation of g using interpolating Gauss
10 % quadrature with two nodes
11 %  $\| g_{hat} - g_{h\_hat} \|^2(L_2) \sim \text{gauss\_quadrature} ( (g_{hat}-g_{h\_hat})^2 , 2 )$ 
12
13 % gauss nodes and weights for quadrature - now: just two points
14 NOQP = 2;
15 [gauss_nodes,gauss_weights] = gauss(2);
16
17 for i=1:length(elements)
18     a = coordinates(elements(i,1),:);
19     b = coordinates(elements(i,2),:);
20     ga = g(a);
21     gb = g(b);
22     g_h_hat = zeros(NOQP,1);
23     g_hat = zeros(NOQP,1);
24     for j=1:NOQP
25         g_h_hat(j) = 0.5* (ga+gb+gauss_nodes(j)*(gb-ga) );
26         g_hat(j) = g( 0.5*(a+b+gauss_nodes(j)*(b-a)) );
27         val(i) = val(i) + gauss_weights(j)* ( g_hat(j)-g_h_hat(j) )^2;
28     end
29     val(i) = val(i)*0.5;
30 end

```

A.4.2 Residualfehlerschätzer

```

1  #include <math.h>
2  #include "mex.h"
3
4  #define EPS 1e-15
5  #define PI 3.141592653589793116
6
7  void mexFunction(int nlhs, mxArray* plhs[], int nrhs, const mxArray* prhs[]);
8
9  double residual(double* elements, double* coordinates, int nE, int nC,
10                double* g_nodes, double* x_tilde, double x0, double x1,
11                double* aa, double* bb, double gaa, double gbb);
12
13 void residual_error_estimator(double* rho, double* elements, int nE,
14                              double* coordinates, int nC, double* phi, int p,
15                              double* gx);
16
17 void divided_differences(double* lambda, double* x, double* y, int length);
18
19 void G (double* val, int k, double* p, double* q);
20 void L (double* val, int k, double* p, double* q);
21

```

```

22
23 /******
24 /* transfers data from matlab to C vice versa */
25 /* replaces main - function */
26 /******
27
28 void mexFunction(int nlhs, mxArray* plhs[], int nrhs, const mxArray* prhs[])
29 {
30     const char* functionName = mexFunctionName();
31     char errorMessage[255];
32     int j;
33     int nE, nC;
34     double* elements;
35     double* coordinates;
36     double* phi;
37     double* p;
38     int converted_p;
39     char* g;
40     double* rho;
41     mxArray *g_output;
42     double *gx;
43
44     /* check data */
45     if (nlhs != 1) {
46         sprintf(errorMessage, "Use rho_T = %s(coordinates,elements,'g').",functionName);
47         mexErrMsgTxt(errorMessage);
48     }
49
50     if (nrhs != 5) {
51         sprintf(errorMessage, "Use rho_T = %s(coordinates,elements,'g').",functionName);
52         mexErrMsgTxt(errorMessage);
53     }
54
55     /* Read input data */
56     coordinates = mxGetPr(prhs[0]);
57     nC = mxGetM(prhs[0]); /* number of nodes */
58
59     elements = mxGetPr(prhs[1]);
60     nE = mxGetM(prhs[1]); /* number of elements */
61
62     phi = mxGetPr(prhs[2]);
63
64     p = mxGetPr(prhs[3]);
65     converted_p = (int) p[0];
66
67     /* (K+1/2)g has to be computed -> g is the name (string!) of a matlab */
68     /* function realizing the evaluation */
69     g = mxArrayToString(prhs[4]);
70
71     /* compute all evaluations of function g */
72     mexCallMATLAB(1,&g_output,1,prhs,g);
73     gx = mxGetPr(g_output);
74
75     /* create output vector rho */
76     plhs[0] = mxCreateDoubleMatrix(nE,1,mxREAL);
77     rho = mxGetPr(plhs[0]);
78
79     /* compute entries of rho */
80     residual_error_estimator(rho,elements,nE,coordinates,nC,phi,converted_p,gx);
81     mxDestroyArray(g_output);
82 }

```

```

83
84 /******
85 /* computes residual Rh = V\phi - (K+1/2)g */
86 /******
87 double residual(double* elements, double* coordinates, int nE, int nC,
88                 double* g_nodes, double* x_tilde, double x0, double x1,
89                 double* aa, double* bb, double gaa, double gbb)
90 {
91     int i;
92     double Rh = 0.;
93     int nodesi[2];
94     double a[2], b[2], d0, d1, n0, n1;
95     double norm_d, qn, dlp_ab, slp_ab;
96     double p[2], q[2], gp, gq;
97     double tmp[2], tmp1;
98     double ga, gb;
99
100    for (i=0; i<nE; ++i)
101    {
102        nodesi[0] = (int) elements[i]-1;
103        nodesi[1] = (int) elements[i+nE]-1;
104
105        a[0] = coordinates[nodesi[0]];
106        a[1] = coordinates[nodesi[0]+nC];
107        b[0] = coordinates[nodesi[1]];
108        b[1] = coordinates[nodesi[1]+nC];
109
110
111        q[0] = 0.5 * ( a[0] + b[0] ) - x0;
112        q[1] = 0.5 * ( a[1] + b[1] ) - x1;
113        p[0] = 0.5 * ( b[0] - a[0] );
114        p[1] = 0.5 * ( b[1] - a[1] );
115
116        ga = g_nodes[nodesi[0]];
117        gb = g_nodes[nodesi[1]];
118
119        gp = gb-ga;
120        gq = gb+ga;
121
122        d0 = b[0] - a[0];
123        d1 = b[1] - a[1];
124        norm_d = sqrt( d0 * d0 + d1 * d1 );
125
126        n0 = d1 / norm_d;
127        n1 = -d0 / norm_d;
128        qn = q[0] * n0 + q[1] * n1;
129
130        /* compute dlp */
131        /* tmp is a vector containing [G(0,p,q),G(1,p,q)] */
132        /* G(k,p,q) = \int_{-1}^1 t^k / ( |p|^2 t^2 + 2<p,q>t + |q|^2 ) */
133        G(tmp,1,p,q);
134        dlp_ab = gq * tmp[0];
135        dlp_ab += gp * tmp[1];
136        dlp_ab = -0.125 * norm_d * qn * dlp_ab / PI;
137        /* compute slp */
138        /* tmp contains L(0,p,q) */
139        /* L(k,p,q) = \int_{-1}^1 t^k * log ( |p|^2 t^2 + 2<p,q>t + |q|^2 ) */
140        L(tmp,0,p,q);
141        slp_ab = -0.125 * norm_d * tmp[0] / PI;
142        /* build Kg-V\phi */
143        Rh = Rh + dlp_ab - x_tilde[i]*slp_ab;

```

```

144 }
145
146 tmp1 = sqrt ( (x0-aa[0]) * (x0-aa[0]) + (x1-aa[1]) * (x1-aa[1]) );
147 tmp1 = tmp1 / sqrt ( (bb[0]-aa[0]) * (bb[0]-aa[0])
148     + (bb[1]-aa[1]) * (bb[1]-aa[1]) );
149
150 tmp1 = tmp1 * ( gbb - gaa ) + gaa;
151
152 Rh = Rh + 0.5 * tmp1;
153 return Rh;
154 }
155
156 *****
157 /* returns residual error estimator rho */
158 /* val(j) = rho,T */
159 /*      = || h^(1/2) * Rh' || */
160 *****
161 void residual_error_estimator(double* rho, double* elements, int nE,
162     double* coordinates, int nC, double* phi, int p,
163     double* g_nodes)
164 {
165     int m,ell,j,i,k;
166     double *nodes, *weights;
167     double *trafo_nodes;
168     double *Rh;
169     int nodesm[2], nodesell[2];
170     double aa[2], bb[2], dd0, dd1;
171     double norm_dd;
172     double x0,x1;
173     double tmp, sum, product;
174     double* lambda;
175     double rh_prime;
176     double gaa, gbb;
177
178     nodes = mxMalloc(p*sizeof(double));
179     weights = mxMalloc(p*sizeof(double));
180     gauss(nodes, weights, p);
181     trafo_nodes = mxMalloc(2*p*nE*sizeof(double));
182
183     /* rh is a vector containing the residual of length p */
184     /* rh(x) = (K+1/2)g_ell(x)-V\phi_hH(x) */
185     Rh = mxCalloc(p,sizeof(double));
186
187     /* loop runs through the elements */
188     for (m=0; m<nE; ++m)
189     {
190         tmp = 0.;
191
192         /* build vector containing the nodes of an element m */
193         /* be careful - matlab's indices: 1,...,n */
194         /*      C's indices: 0,...,n-1 */
195         nodesm[0] = (int) elements[m]-1;
196         nodesm[1] = (int) elements[m+nE]-1;
197
198         /* a contains the coordinates of the first node and */
199         /* b contains the coordinates of the second node of */
200         /* element k */
201         aa[0] = coordinates[nodesm[0]];
202         aa[1] = coordinates[nodesm[0]+nC];
203         bb[0] = coordinates[nodesm[1]];
204         bb[1] = coordinates[nodesm[1]+nC];

```

```

205
206  /* dd = bb-aa */
207  dd0 = bb[0]-aa[0];
208  dd1 = bb[1]-aa[1];
209  norm_dd = sqrt(dd0*dd0+dd1*dd1);
210
211  /* search g(aa) and g(bb) in vector g_nodes */
212  /* you don't have to compute it twice !!! */
213  gaa = g_nodes[nodesm[0]];
214  gbb = g_nodes[nodesm[1]];
215
216  /* transformation of quadrature points [-1,1] -> [aa,bb] */
217  /* the residual is evaluated at the parameterized gauss nodes */
218  for (ell=0; ell<p; ++ell)
219  {
220      x0 = 0.5 * ( (1.-nodes[ell])*aa[0] + (1.+nodes[ell])*bb[0] );
221      x1 = 0.5 * ( (1.-nodes[ell])*aa[1] + (1.+nodes[ell])*bb[1] );
222      Rh[ell] = residual(elements, coordinates, nE, nC, g_nodes, phi,
223                      x0, x1, aa, bb, gaa, gbb);
224  }
225
226  /* interpolation polynomial rh through p points ( nodes, Rh(nodes) ) */
227  /* of degree p-1 */
228  /* in Newton basis with coefficients lambda */
229  lambda = mxCalloc(p, sizeof(double));
230  divided_differences(lambda, nodes, Rh, p);
231
232  /* compute rh' */
233  /* compute approximation of rho(T) for an element T=[aa,bb] */
234  /* rho(T) approx 2 * sum_{ell=1}^p w_ell (rh')^2 */
235  for (ell=0; ell<p; ++ell)
236  {
237      rh_prime = 0.;
238      for(j=0; j<p-1; ++j)
239      {
240          sum = 0.;
241          for (i=0; i<=j; ++i)
242          {
243              product = 1.;
244              for (k=0; k<=j; ++k)
245              {
246                  if (k != i)
247                      product *= (nodes[ell]-nodes[k]);
248              }
249              sum += product;
250          }
251          rh_prime += lambda[j+1]*sum;
252      }
253      tmp += weights[ell]*rh_prime*rh_prime;
254  }
255  rho[m] += 2.*tmp;
256  mxFree(lambda);
257  }
258
259  mxFree(nodes);
260  mxFree(weights);
261  mxFree(trafo_nodes);
262  mxFree(Rh);
263  }
264
265  /*****

```

```

266 /* divided differences compute polynomial in Newton basis */
267 /* with coefficients lambda_i out of given points (x_i,y_i) */
268 /*****
269 void divided_differences(double* lambda, double* x, double* y, int length)
270 {
271     int m,j;
272
273     for (m=0; m<length; m++)
274         lambda[m]=y[m];
275     for (m=1; m<length; m++)
276         for(j=m; j<length; j++)
277             lambda[j] = ( lambda[j]-lambda[j-1] ) / ( x[j]-x[j-m] );
278 }
279
280 /*****
281 /* G(k,p,q) = \int_{-1}^1 t^k / ( |p|^2 t^2 + 2<p,q>t + |q|^2 ) *
282 /*****
283 void G (double* val, int k, double* p, double* q)
284 {
285     double norm_p, norm_q, norm_p2, norm_q2;
286     double sc_p_q, delta;
287     double tmp;
288     double* ppq, *pmq;
289     int j;
290
291     norm_p2 = p[0]*p[0]+p[1]*p[1];
292     norm_p = sqrt(norm_p2);
293     norm_q2 = q[0]*q[0]+q[1]*q[1];
294     norm_q = sqrt(norm_q2);
295     sc_p_q = p[0]*q[0]+p[1]*q[1];
296     tmp = 4*(norm_p2*norm_q2-sc_p_q*sc_p_q);
297
298     if (tmp > EPS * 4*norm_p2*norm_q2)
299         delta = sqrt(tmp);
300     else
301         delta = 0;
302
303     /* case k==0 */
304     if (delta == 0)
305         val[0] = 2 / (norm_q2-norm_p2);
306     else
307     {
308         if (fabs(norm_p-norm_q) < EPS * norm_q)
309             val[0] = PI/2;
310         else if (norm_p < norm_q)
311             val[0] = atan( delta / (norm_q2-norm_p2) );
312         else
313             val[0] = atan ( delta / (norm_q2-norm_p2) ) + PI;
314         val[0] *= 2 / delta;
315     }
316
317     /* case k==1 */
318     if (k>=1)
319     {
320         ppq = mxCalloc(2, sizeof(double));
321         pmq = mxCalloc(2, sizeof(double));
322         ppq[0] = p[0]+q[0];
323         ppq[1] = p[1]+q[1];
324         pmq[0] = p[0]-q[0];
325         pmq[1] = p[1]-q[1];
326         val[1] = ( log( ppq[0]*ppq[0]+ppq[1]*ppq[1] )

```

```

327         - log( pmq[0]*pmq[0]+pmq[1]*pmq[1] )
328         - 2*sc_p_q*val[0] )*0.5/norm_p2;
329     mxFree(ppq);
330     mxFree(pmq);
331 }
332 /* case k>1 */
333 for(j=2; j<=k; j++)
334 {
335     tmp = 2 * ( (j+1)%2 ) / (j-1);
336     val[j] = ( tmp - 2*sc_p_q*val[j-1] - norm_q2*val[j-2] )/norm_p2;
337 }
338 }
339
340 /*****
341 /* L(k,p,q) = \int_{-1}^1 t^k * log ( |p|^2 t^2 + 2<p,q>t + |q|^2 ) */
342 /*****
343 void L (double* val, int k, double* p, double* q)
344 {
345     double norm_p, norm_q, norm_p2, norm_q2;
346     double norm_ppq2, norm_pmq2;
347     double sc_p_q, delta;
348     double tmp, tmp1, tmp2;
349     double* ppq, *pmq;
350     double G_p_q_0;
351     int j;
352
353     norm_p2 = p[0]*p[0]+p[1]*p[1];
354     norm_p = sqrt(norm_p2);
355     norm_q2 = q[0]*q[0]+q[1]*q[1];
356     norm_q = sqrt(norm_q2);
357     sc_p_q = p[0]*q[0]+p[1]*q[1];
358
359     ppq = mxCalloc(2, sizeof(double));
360     pmq = mxCalloc(2, sizeof(double));
361     ppq[0] = p[0]+q[0];
362     ppq[1] = p[1]+q[1];
363     pmq[0] = p[0]-q[0];
364     pmq[1] = p[1]-q[1];
365
366     norm_ppq2 = ppq[0]*ppq[0]+ppq[1]*ppq[1];
367     norm_pmq2 = pmq[0]*pmq[0]+pmq[1]*pmq[1];
368
369     tmp = 4*(norm_p2*norm_q2-sc_p_q*sc_p_q);
370     if (tmp > EPS * 4*norm_p2*norm_q2)
371         delta = sqrt(tmp);
372     else
373         delta = 0;
374
375     tmp = sc_p_q/norm_p2;
376
377     /* case k==0 */
378     if (delta>0)
379     {
380         G(&G_p_q_0,0,p,q);
381         val[0] = (1+tmp) * log( norm_ppq2 ) + (1-tmp) * log( norm_pmq2 ) - 4
382             + 2*(norm_q2-tmp*sc_p_q)*G_p_q_0;
383     }
384     else
385         val[0] = (1+tmp) * log( 2*sc_p_q+norm_p2+2*sc_p_q*tmp*0.5 )
386             + (1-tmp) * log( -2*sc_p_q+norm_p2+2*sc_p_q*tmp*0.5 )
387             -4;

```

```
388
389  /* case k==1 */
390  if (k>=1)
391      val[1] = ( norm_ppq2*log(norm_ppq2) - norm_pmq2*log(norm_pmq2)
392                - 4*sc_p_q - 2*sc_p_q*val[0] ) / ( 2*norm_p2 );
393
394  /*case k>1 */
395  for (j=2; j<=k; ++j)
396  {
397      tmp = 2 * ( (j+1)%2 ) / (j+1);
398      tmp1 = 1-2*(j%2);
399      tmp2 = 2 * (j%2) / j;
400      val[j] = ( norm_ppq2*log(norm_ppq2) + tmp1*norm_pmq2*log(norm_pmq2)
401                - 2*norm_p2*tmp - 2*sc_p_q*tmp2 - 2*sc_p_q*j*val[j-1]
402                - norm_q2*(j-1)*val[j-2] ) / ( (j+1)*norm_p2 );
403  }
404  mxFree(ppq);
405  mxFree(pmq);
406 }
```

Literaturverzeichnis

- [1] M. AINSWORTH, W. MCLEAN, T. TRAN: *The Conditioning of Boundary Element Equations on Locally Refined Meshes and Preconditioning by Diagonal Scaling*, SIAM J.Sci.Comp., volume 36, number 6 (1901-1932), 1999
- [2] H. W. ALT: *Lineare Funktionalanalysis*, Springer-Verlag, Berlin, Heidelberg, New York, 2002
- [3] J. BERGH, J. LÖFSTRÖM: *Interpolation Spaces: An Introduction*, Springer-Verlag, Berlin, Heidelberg, New York, 1976
- [4] D. BRAESS: *Finite Elemente*, Springer-Verlag, Berlin, Heidelberg, New York, 2003
- [5] S.C. BRENNER, L.R. SCOTT: *The Mathematical Theory of Finite Element Methods*, Springer-Verlag, Berlin, Heidelberg, New York, 2002
- [6] C. CARSTENSEN: *An A Posteriori Error Estimator for the First Kind Integral Equation*, Mathematics of Computation, volume 66, number 217 (139-155), 1997
- [7] C. CARSTENSEN, M. MAISCHAK, E.P. STEPHAN: *A posteriori error estimate and h-adaptive algorithm on surfaces for Symm's integral equation*, Numer.Math.90, number 2 (197-213), 2001
- [8] C. CARSTENSEN, D. PRAETORIUS: *Averaging techniques for the a posteriori BEM error control for a hypersingular integral equation in two dimensions*, SIAM J.Sci.Comp., volume 29, number 2 (782-810), 2007
- [9] C. CARSTENSEN, D. PRAETORIUS: *Averaging techniques for the effective numerical solution of Symm's integral equation of the first kind*, SIAM J.Sci.Comp., volume 27, number 4 (1226-1260), 2006
- [10] L. C. EVANS: *Partial Differential Equations*, American Mathematical Society, Providence, Rhode Island, 1998
- [11] S. FERRAZ-LEITE: *Simple A Posteriori Fehlerschätzer für die Symmsche Integralgleichung in 3D*, Diplomarbeit, Institute for Analysis and Scientific Computing, Vienna University of Technology, Wien, 2007
- [12] S. FERRAZ-LEITE, D. PRAETORIUS: *Simple A Posteriori Error Estimators for the h Version of the Boundary Element Method*, ASC Report 01/2007, Institute for Analysis and Scientific Computing, Vienna University of Technology, Wien, 2007
- [13] I. G. GRAHAM, W. HACKBUSCH, S. A. SAUTER: *Finite Elements on degenerate meshes: inverse-type inequalities and applications*, IMA J. Numer. Anal. 25 (379-407), 2005

- [14] M. MAISCHAK: *The analytical computation of the Galerkin elements for the Laplace, Lamé and Helmholtz equation in 2D-BEM*, Preprint, Institut für Angewandte Mathematik, University of Hannover, Germany, 2001
- [15] W. MCLEAN: *Strongly Elliptic Systems and Boundary Integral Equations*, Cambridge University Press, Cambridge, New York, Melbourne, Madrid, 2000
- [16] R. PLATO: *Numerische Mathematik kompakt*, Friedr. Vieweg & Sohn Verlagsgesellschaft mbH, Braunschweig/Wiesbaden, 2000
- [17] D. PRAETORIUS: *Introduction to Boundary Element Method*, lecture notes, Institute for Analysis and Scientific Computing, Vienna University of Technology, Wien, 2007
- [18] D. PRAETORIUS: *Integral Equations and Boundary Element Methods*, lecture notes, Institute for Analysis and Scientific Computing, Vienna University of Technology, Wien, 2007
- [19] S. SAUTER, C. SCHWAB: *Analyse, Numerik und Implementierung schneller Algorithmen*, Teubner Verlag, Stuttgart, Leipzig, Wiesbaden, 2004
- [20] M. SCHECHTER: *Principles of Functional Analysis*, American Mathematical Society, Providence, Rhode Island, 2002
- [21] S. STEINBACH: *Numerische Näherungsverfahren für elliptische Randwertprobleme: Finite Elemente und Randelemente*, Teubner Verlag, Stuttgart, Leipzig, Wiesbaden, 2004
- [22] D. WERNER: *Funktionalanalysis*, Springer-Verlag, Berlin, Heidelberg, New York, 2000
- [23] J. WLOKA: *Partielle Differentialgleichungen*, Teubner Verlag, Stuttgart, 1982
- [24] H. WORACEK, M. KALTENBÄCK: *Funktionalanalysis*, Vorlesungsskriptum, Institute for Analysis and Scientific Computing, Vienna University of Technology, Wien, 2007